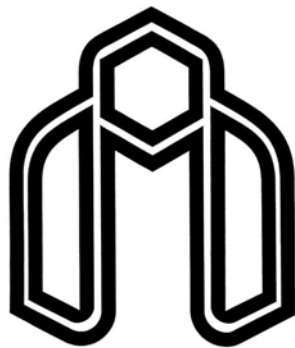


بِسْمِ اللَّهِ الرَّحْمَنِ الرَّحِيمِ





دانشگاه صنعتی شهروود

دانشکده عمران و معماری

گروه عمران - سازه

پایان نامه کارشناسی ارشد

## بررسی الزامات تعیین ضریب رفتار سازه‌های بتُنی با دیوار پرکننده آجری

کمیل کریمی

اساتید راهنما:

دکتر وحیدرضا کلات جاری

دکتر محمدرضا تابش پور

استاد مشاور:

مهندس محمدی

پایان نامه جهت اخذ درجه کارشناسی ارشد

تابستان ۱۳۹۰

## سر آغاز

به نام خدای که نام او راحت روح است و پیغام او مفتاح فتوح  
است و سلام او وقت صباح مؤمنان را صبح است و ذکر او مرهم دل  
مجروح است و مهر او بلانشینان را کشتی نوح است.

ای کریمی که بخشندۀ عطایی و ای حکیمی که پوشندۀ خطایی و  
ای صمدی که از ادراک خلق جدایی و ای احدی که در ذات و صفات،  
بی‌همتایی و ای خالقی که راهنمایی و ای قادری که خدایی را سزاوی،  
جان ما را صفائ خود ده و دل ما را هوای خود ده و چشم ما را ضیای  
خود ده و ما را آن ده که آن به و مگذار ما را به که و مه.

الهی، عذر ما را بپذیر؛ بر عیوب‌های ما مگیر. الهی در دل‌های ما جز  
تخم محبت خود مکار و بر تن و جان‌های ما جز الطاف و مرحمت خود  
منگار و بر کشته‌های ما جز باران رحمت خود مبار.

(یکی از مناجات‌های خواجه عبدالله انصاری)

## تقدیم به:

پدر و مادر عزیزتر از جانم

آنانی که با راهنمایی‌ها و زحمات بی‌دربارگشان

مسیر پیشرفت و خوشبختی را آشکار ساخته،

دعای خالصانه شان بدرقه راه

و وجودشان دلگرمی وجودم است.

آنانی که کوشیدند تا بدانم هدف غایی وجود این است

که هستی را پروردگاریست بی‌مانند.

## قدردانی

حال که به لطف و رحمت لایتناهی حضرت حق، مراحل این پایان‌نامه رو به اتمام نهاده، برخود لازم دانسته تا از همه دوستانی که در پیشبرد اهداف این پایان‌نامه اینجانب را مساعدت و یاری نموده‌اند، سپاس و قدردانی به عمل آورم.

ابتدا برخود لازم می‌دانم تا از زحمات و پشتیبانی بی‌دریغ و بی‌شائبه استاد محترم، جناب آقای دکتر محمد رضا تابش‌پور که راهنمای این تحقیق را بر عهده داشته و از هرگونه راهنمایی و مساعدت مضایقه نکردند، تشکر و قدردانی ویژه‌ای داشته باشم. بی‌شک بدون حمایت و پشتیبانی ایشان انجام این تحقیق مقدور نمی‌بود.

همچنانی از جناب آقای دکتر وحید رضا کلات جاری که به عنوان استاد راهنمای، نقشی ارزنده و مکمل در انجام این پایان‌نامه داشتند سپاس‌گزاری کرده و موفقیت ایشان در مراحل زندگی را از خداوند متعال مسائلت دارم.

از جناب آقای دکتر احمد احمدی ریاست محترم دانشکده عمران و معماری دانشگاه صنعتی شاهروド به جهت مساعدت‌های ایشان در طی دوره کارشناسی ارشد قدردانی می‌نمایم.

در انتها از خانم‌ها مهندس افسانه سادات موسوی و مهندس سمیرا علمدار و آقایان مهندس امیر آزاد و مهندس یونس کماچی و مهندس هادی کنارنگی که مرا برای پیمودن این راه دشوار همراهی نمودند و رهنمودهای آنها روشنگر این مسیر گردید سپاس‌گزارم.

## پیشگفتار

۳	.....
۴	..... ۱-۱- مقدمه
۹	..... ۲-۱- تاریخچه
۹	..... ۱-۲-۱- مدل سازی دیوار پر کننده آجری
۱۱	..... ۱-۲-۲- اندر کنش بین قاب و دیوار پر کننده آجری
۱۲	..... ۱-۳-۲- شکست طبقه نرم (یا ضعیف)
۱۳	..... ۱-۴-۲-۱- شکست پیچشی
۱۵	..... ۱-۵-۲-۱- شکست ستون کوتاه
۱۹	..... ۱-۳- تاریخچه مدل سازی دیوار آجری پر کننده و قاب
۲۰	..... ۱-۱-۳-۱- مدل های پایه ای (میکرو)
۲۳	..... ۱-۲-۳-۱- مدل های ساده (ماکرو)
۲۶	..... ۱-۳-۳-۱- مدول یانگ مصالح بنایی
۲۷	..... ۱-۴- ملاحظات آیین نامه ای مربوط به اثر دیوار پر کننده آجری
۲۸	..... ۱-۴-۱- بند "۲-۱-۸-۱" آیین نامه ۲۸۰۰: منظم بودن در ارتفاع
۲۸	..... ۱-۴-۲- بند "۶-۳-۲" آیین نامه ۲۸۰۰: زمان تناوب اصلی نوسان ( $T$ )
۲۹	..... ۱-۵- روش تحقیق

## معیارهای سنجش رفتار لرزه ای سازه

۳۱	.....
۳۲	..... ۲-۱- مقدمه
۳۲	..... ۲-۲- تاریخچه
۳۵	..... ۲-۳- روش های محاسبه ضریب رفتار
۳۶	..... ۲-۴- روش های کاربردی:
۳۷	..... ۲-۱-۱-۳-۲- تعیین ضرایب اصلاح پاسخ سازه ای توسط روش پیشنهادی (ATC-19)
۳۷	..... ۲-۱-۱-۱-۳-۲- تأثیر ضریب $R$ روی طراحی
۳۷	..... ۲-۱-۱-۳-۲- اجزای تشکیل دهنده $R$
۳۸	..... ۲-۱-۱-۳-۲- پاسخ نیرو - تغییر مکان سازه ها
۴۰	..... ۲-۱-۱-۳-۲- اجزای کلیدی $R$
۴۱	..... ۲-۱-۱-۳-۲- ضریب مقاومت: $R_s$
۴۲	..... ۲-۱-۱-۳-۲- ضریب شکل پذیری: $\mu$
۴۸	..... ۲-۱-۱-۳-۲- ضریب قید اضافی: $R_R$
۴۹	..... ۲-۱-۱-۳-۲- نتایج روش ATC-19
۵۰	..... ۲-۱-۱-۳-۲- روش ضریب شکل پذیری یانگ
۵۶	..... ۲-۱-۱-۳-۲- ضریب کاهش در اثر شکل پذیری ( $R_\mu$ ) و مروری بر تحقیقات انجام شده
۶۴	..... ۲-۱-۱-۳-۲- نتایج روش پیشنهادی یانگ

## نتایج تحلیل الاستیک

۴۶	.....
۶۷	..... ۳-۱- مدل سازی
۶۷	..... ۳-۱-۱- طراحی سازه های مورد مطالعه و فرضیات
۷۱	..... ۳-۱-۱-۱- طراحی سازه ۳
۷۲	..... ۳-۱-۱-۲- طراحی سازه ۵ طبقه
۷۳	..... ۳-۱-۱-۳- طراحی سازه ۹ طبقه
۷۵	..... ۳-۲- توزیع نیروهای محوری، برشی و خمشی در قاب ۱ دهانه ۱ طبقه
۷۹	..... ۳-۳- اثر دیوار روی پر بود سازه
۷۹	..... ۳-۳-۱- بررسی تطبیقی آیین نامه های مختلف دنیا در مورد اثر دیوار پر کننده آجری
۷۹	..... ۳-۳-۲- مقایسه های آیین نامه کشورهای مختلف:

۸۲	۲-۱-۳-۲- روابط تجربی برای پریود طبیعی
۸۶	۲-۳-۲- قاب ۳ طبقه
۸۹	۳-۲-۳- ۳- قاب ۵ طبقه
۹۲	۴-۳-۴- قاب ۹ طبقه
۱۰۱	۴-۳-۴- تعیین سهم قاب و دیوار از بار جانبی
۱۰۳	۳-۵-۵- جایه‌جایی نسبی جانبی
۱۰۵	۳-۵-۱- قاب ۳ طبقه
۱۰۶	۳-۵-۲- قاب ۵ طبقه
۱۰۷	۳-۵-۳- قاب ۹ طبقه
۱۰۹	۴-۵-۴- نتیجه‌گیری
۱۱۰	<b>بررسی مبانی تئوری گسیختگی برشی</b>
۱۱۱	۱-۴- مقدمه
۱۱۲	۱-۱-۱- ۱- گسیختگی مؤلفه‌های موثر در فروریش
۱۱۲	۱-۱-۱-۱- ۱- گسیختگی ستون
۱۱۳	۱-۱-۱-۲- ۱- گسیختگی اتصالات تیر-ستون
۱۱۴	۱-۱-۳- ۱-۱-۳- ساخت یکپارچه که در چند دهه اخیر رایج شده
۱۱۴	۱-۲-۴- دسته‌بندی ستون‌ها
۱۱۵	۲-۲-۴- مدهای گسیختگی
۱۱۶	۱-۲-۲-۴- مد گسیختگی خمی
۱۱۶	۲-۲-۲-۴- مد گسیختگی برشی
۱۱۶	۳-۲-۲-۴- مد گسیختگی برشی - خمی
۱۱۶	۳-۴- مدل‌های ظرفیت جابجایی نسبی پیشنهادی
۱۱۹	۱-۳-۴- مدل گسیختگی محوری
۱۱۹	۱-۱-۳-۴- رخدادهای تجربی
۱۲۱	۲-۳-۴- مدل اصطکاک - برش
۱۲۳	۱-۲-۳-۴- زاویه ترک بحرانی
۱۲۴	۳-۳-۴- ظرفیت جابجایی نسبی در گسیختگی محوری
۱۲۴	۴-۴- برش در آیین نامه‌های مختلف
۱۲۴	۱-۴-۴- مقدمه
۱۲۵	۲-۴-۴- ترک‌های برشی جان
۱۲۵	۳-۲-۴- ترک‌های خمی - برشی
۱۲۶	۴-۲-۴- ترک‌های خمی
۱۲۶	۳-۴- حالت‌های شکست عضو بتنی
۱۲۷	۱-۳-۴- شکست خمی
۱۲۷	۲-۳-۴- شکست قطری کششی
۱۲۷	۳-۳-۴- شکست برشی فشاری و شکست برشی کششی
۱۲۸	۴-۴- برشی معادلات مقاومت برشی پیشنهادی
۱۲۸	۱-۴-۴- آشتو
۱۲۹	۲-۴-۴- کمیته (1973-1977) ASCE-ACI
۱۳۱	۳-۴-۴- پیشنهادات (1973) SEAOC
۱۳۲	۴-۴-۴- پیشنهادات (1999) Aschheim and Moehle
۱۳۳	۵-۴-۴- پیشنهادات (1995) Caltrans
۱۳۳	۶-۴-۴- (1994) Pristly

۱۳۶	(1997) Kowalski -۷-۴-۴
۱۳۷	(1996) Konwinski -۸-۴-۴
۱۳۷	(1997) FEMA 273 -۹-۴-۴
۱۳۸	۱۰-۴-۴ - مدل مقاومت برشی جایگزین.
۱۴۰	۱۱-۴-۴ - رابطه پیشه‌های Sezen و Moehle
۱۴۰	ATC/MCEER -۱۲-۴-۴
۱۴۱	ATC-32 -۱۳-۴-۴
۱۴۲	۱۴-۴-۴ - استاندارد نیوزیلند.
۱۴۲	FEMA 356 - ۱۲-۴-۴
۱۴۵	<b>تحلیل استاتیکی افزاینده</b>
۱۴۶	۱-۵ - مقدمه
۱۴۷	۲-۵ - روش های تحلیل
۱۴۸	۱-۲-۵ - روش های تحلیل خطی
۱۴۸	۲-۲-۵ - روش های تحلیل غیرخطی
۱۴۹	۱-۲-۲-۵ - روش استاتیکی غیرخطی
۱۴۹	۲-۲-۲-۵ - روش دینامیکی غیرخطی
۱۴۹	۳-۵ - آالیزهای استاتیکی غیرخطی
۱۴۹	۱-۳-۵ - تحلیل استاتیکی غیرخطی
۱۵۱	۲-۳-۵ - روش ضرایب FEMA 356
۱۵۴	۳-۳-۵ - مدل رفتار دوخطی نیرو - تغییرمکان در استاندارد FEMA 356
۱۵۵	۴-۵ - سطح عملکرد
۱۵۵	۱-۴-۵ - سطح عملکرد ساختمان
۱۵۵	۲-۴-۵ - سطوح و محدوده های عملکرد لرزه ای
۱۵۶	۳-۴-۵ - سطوح و محدوده های عملکرد اجزای سازه ای
۱۵۸	۶-۵ - مقایسه اصول طراحی بر اساس مقاومت و طراحی بر اساس عملکرد
۱۵۸	۵-۵ - تقریب منحنی ظرفیت سازه به صورت دو خطی
۱۵۹	۶-۵ - تعیین نقطه عملکرد
۱۵۹	۱-۶-۵ - روش طیف ظرفیت
۱۶۳	۲-۶-۵ - روش ضربیت تغییرمکان
۱۶۴	۷-۵ - ارزیابی عملکرد
۱۶۵	۹-۵ - مقایسه آئین نامه ۲۸۰۰ (ویرایش سوم) و دستورالعمل بهسازی لزهای
۱۶۵	۹-۵ - مدل کردن رفتار غیرخطی اعضاء
۱۶۶	۱۰-۵ - نرم افزارهای تحلیل غیرخطی سازه ها
۱۶۸	۱۱-۵ - نمودارهای پوش اور مربوط به حالت های مختلف وجود دیوار
۱۶۸	۱-۱۱-۵ - قاب ۱ طبقه
۱۶۹	۲-۱۱-۵ - قاب ۳ طبقه
۱۷۴	۳-۱۱-۵ - قاب ۵ طبقه
۱۷۹	<b>معرفی نرم افزار OpenSees و نحوه مدل سازی در آن</b>
۱۸۰	۱-۶ - معرفی نرم افزار OpenSees
۱۸۱	۱-۱-۶ - ساخت مدل (Model-Building)
۱۸۱	۱-۱-۱-۶ - انواع مدل های مصالح تک محوره
۱۸۲	۲-۱-۱-۶ - انواع مدل های مقاطع
۱۸۲	۳-۱-۱-۶ - انواع المان (اعضاء)
۱۸۳	۲-۶ - فرضیات مدل سازی در OpenSees

۱۸۴	۱-۲-۶- تعریف المان‌های سازه‌ای
۱۸۶	۲-۲-۶- مدل‌های مصالح تک محوره مورد استفاده در OpenSees
۱۸۸	۳-۲-۶- مدل کردن ستون:
۱۸۹	۴-۲-۶- سیستم فنر برشی:
۱۹۰	۵-۲-۶- سیستم فنر محوری:
۱۹۵	۶-۳-۶- مدل‌های مورد بررسی در نرم‌افزار OpenSees
۱۹۵	۱- قاب ۱ دهانه ۱ طبقه
۱۹۶	۲- قاب ۲ دهانه ۱ طبقه
۱۹۷	۳- قاب ۳ دهانه ۳ طبقه
۱۹۸	۴- جمع‌بندی و نتیجه‌گیری

## لیست جداول

جدول ۱-۱ اثرات مثبت و منفی دیوار پرکننده آجری در قاب فولادی یا بتونی .....	۸
جدول ۲-۱ روابط مختلف برای پهنانی مؤثر بادیند معادل دیوار پرکننده آجری .....	۲۶
جدول ۳-۱ روابط مختلف برای مدول یانگ دیوار آجری .....	۲۷
جدول ۴-۱ پارامترهای پاسخ لرزه‌ای برای دو قاب یک طبقه مثال .....	۴۴
جدول ۵-۲ مقادیر مختلف ضریب قید اضافی برای استفاده در طراحی طبق توصیه (ATC -19) .....	۴۹
جدول ۶-۲ ضرایب رابطه لای و بیگز .....	۵۸
جدول ۷-۲ ضرایب رابطه ربدل، هیدالگو و کروز .....	۶۱
جدول ۸-۳ جزئیات مقاطع قاب ۳ طبقه .....	۷۱
جدول ۹-۳ جزئیات مقاطع قاب ۵ طبقه .....	۷۳
جدول ۱۰-۳ جزئیات مقاطع قاب ۹ طبقه .....	۷۴
جدول ۱۱-۳ فهرست آیین‌نامه‌ی کشورهای مختلف .....	۸۱
جدول ۱۲-۳ اثر دیوار ۱۷ و ۲۳ سانتی‌متری روی پریود سازه .....	۸۶
جدول ۱۳-۳ اثر دیوار ۱۷ و ۲۳ سانتی‌متری روی پریود سازه .....	۸۹
جدول ۱۴-۳ اثر دیوار ۱۷ و ۲۳ سانتی‌متری روی پریود سازه .....	۹۲
جدول ۱۵-۳ روابط تجربی پریود در آیین‌نامه‌های مختلف .....	۹۵
جدول ۱۶-۳ جدول پیشنهاد برای اتصال با عدم اتصال دیوار به قاب .....	۱۰۸
جدول ۱۷-۴ مقایسه روابط پیشنهاد شده برای برش .....	۱۴۴
جدول ۱۸-۵ مقادیر ضریب $C_0$ .....	۱۵۲
جدول ۱۹-۵ مقادیر ضریب $C_2$ .....	۱۵۳
جدول ۲۰-۵ شرایط عمومی قابل پذیرش در آئین نامه ATC 40 .....	۱۶۵

## لیست شکل‌ها

۴	شکل ۱-۱ زلزله‌های اخیر در ایران.....
۷	شکل ۲-۱ دیوار مجزا از قاب بوسیله درز انقطاع.....
۹	شکل ۳-۱ رفتار ترکیبی دیوار و قاب.....
۹	شکل ۴-۱ مدل سازی دیوار به صورت دستک فشاری.....
۱۰	شکل ۵-۱ تبدیل کنش خمی به کنش محوری به علت وجود دیوار.....
۱۱	شکل ۶-۱ مدل تیر به تیر برای بادیند معادل.....
۱۱	شکل ۷-۱ معادل سازی دیوار پرکننده با دو میله‌ی فشاری گره به گره.....
۱۱	شکل ۸-۱ مدل ستون به ستون برای بادیند معادل.....
۱۲	شکل ۹-۱ شکست برشی ستون به علت تقابل با دیوار پرکننده آجری با بلوك سفالی.....
۱۲	شکل ۱۰-۱ شکست برشی تیر بتن مسلح به علت اندرکنش با دیوار پرکننده آجری.....
۱۲	شکل ۱۱-۱ پتانسیل ایجاد طبقه‌ی نرم به علت فقدان دیوارهای پرکننده.....
۱۲	شکل ۱۲-۱ ایجاد مکانیزم طبقه در ساختمان در حال احداث و آستانه‌ی فرو ریزش (ایتالیا ۱۹۷۶).....
۱۳	شکل ۱۳-۱ ایجاد طبقه نرم در طبقات فوقانی.....
۱۳	شکل ۱۴-۱ شکست طبقه‌ی نرم.....
۱۴	شکل ۱۵-۱ چیدمان نامتقارن دیوار در پلان.....
۱۴	شکل ۱۶-۱ ترکیب طبقه نرم و پیچش ..
۱۵	شکل ۱۷-۱ شکست برشی به دلیل عدم در نظر گرفتن اثر دیوار پرکننده(کوبه، ۱۹۹۵).....
۱۵	شکل ۱۸-۱ شکست برشی به دلیل عدم در نظر گرفتن اثر دیوار پرکننده(زلزله بم، ۱۳۸۲).....
۱۶	شکل ۱۹-۱ جذب نیروی زیاد در ستون کوتاه.....
۱۷	شکل ۲۰-۱ شکست ستون کوتاه.....
۱۷	شکل ۲۱-۱ شکست خمی ستون کوتاه.....
۱۸	شکل ۲۲-۱ ستون کوتاه به علت هندسه‌ی معماري وجود دیوارها.....
۱۹	شکل ۲۳-۱ ایجاد شکست ترد برشی در ستون به علت پدیده ستون کوتاه و اندرکنش دیوار با قاب.....
۲۰	شکل ۲۴-۱ مدل المان محدودی قاب و دیوار پرکننده‌ی آجری.....
۲۲	شکل ۲۵-۱ مودهای شکست قاب پر شده با دیوار.....
۲۴	شکل ۲۶-۱ بارگذاری قطری در سیستم قاب و دیوار.....
۲۵	شکل ۲۷-۱ مدل دارای شش میله.....
۳۰	شکل ۲۸-۱ اهداف تحقیق به صورت شماتیک.....
۳۸	شکل ۱-۲ استفاده از ضرایب $R$ به منظور کاهش مطلوب طیف کشسان به سطح نیروی طراحی .....
۳۹	شکل ۲-۲ رابطه برش پایه در مقابل تغییر مکان بام .....
۴۰	شکل ۳-۲ تقریب‌های دو خطی رابطه نیرو - تغییر مکان .....
۴۳	شکل ۴-۲ تعریف اصطلاحات برای دو قاب یک طبقه.....
۴۵	شکل ۵-۲ روابط $T_{\mu} - \mu - R_{\mu}$ - نیومارک و هال .....
۴۶	شکل ۶-۲ روابط $T_{\mu} - \mu - R_{\mu}$ - کراوینکلر و نسار .....
۴۷	شکل ۷-۲ مقایسه ضریب شکل پذیری .....
۴۸	شکل ۸-۲ سیستم‌های قاب خمی مقاوم در برابر بارهای لرزه‌ای .....
۵۱	شکل ۹-۲ منحنی پاسخ واقعی و ایده‌آل کلی سازه .....
۵۹	شکل ۱۰-۲ ضریب $R_{\mu}$ در تحقیق لای و بیگز .....
۵۹	شکل ۱۱-۲ ضریب $R_{\mu}$ در تحقیق ریدل و نیومارک .....
۶۱	شکل ۱۲-۲ ضریب $R_{\mu}$ در تحقیق محرز و القادامسی .....
۶۱	شکل ۱۳-۲ ضریب $R_{\mu}$ در تحقیق ریدل، هیدالگو و کروز .....
۶۳	شکل ۱۴-۲ ضریب $R_{\mu}$ در تحقیق آرایز و هیدالگو .....
۶۳	شکل ۱۵-۲ ضریب $R_{\mu}$ در تحقیق ویدیک، فایفو ویشینگر .....

شکل ۱-۳ الگوهای قرارگیری دیوار پرکننده آجری با وجود درز در ساختمان ۳ طبقه برای دیوار ۱۷ سانتی‌متری.....	۶۸
شکل ۲-۳ الگوهای قرارگیری دیوار پرکننده آجری متصل با قاب در تمام دهانه‌ها در ساختمان ۳ طبقه برای دیوار ۱۷ سانتی‌متری.....	۶۸
شکل ۳-۳ الگوهای قرارگیری دیوار پرکننده آجری متصل با قاب در دهانه وسطی در ساختمان ۳ طبقه برای دیوار ۱۷ سانتی‌متری.....	۶۸
شکل ۴-۳ الگوهای قرارگیری دیوار پرکننده آجری متصل با قاب در تمام دهانه‌ها در ساختمان ۳ طبقه برای دیوار ۱۷ سانتی‌متری در حالت طبقه نرم.....	۶۹
شکل ۵-۳ الگوهای قرارگیری دیوار پرکننده آجری متصل با قاب در دهانه وسطی در ساختمان ۳ طبقه برای دیوار ۱۷ سانتی‌متری در حالت طبقه نرم.....	۶۹
شکل ۶-۳ نمای سازه ۳ طبقه.....	۶۹
شکل ۷-۳ نمای سازه ۵ طبقه.....	۶۹
شکل ۸-۳ نمای سازه ۹ طبقه.....	۷۰
شکل ۹-۳ پلان تمام سازه‌ها.....	۷۰
شکل ۱۰-۳ نیروی محوری تحت بار ثقل در حالت عدم اتصال دیوار با قاب.....	۷۵
شکل ۱۱-۳ نیروی محوری تحت بار ثقل در حالت اتصال دیوار با قاب.....	۷۵
شکل ۱۲-۳ نیروی برشی تحت بار ثقل در حالت عدم اتصال دیوار با قاب.....	۷۵
شکل ۱۳-۳ نیروی برشی تحت بار ثقل در حالت اتصال دیوار با قاب.....	۷۵
شکل ۱۴-۳ لنگرهای خمشی تحت بار ثقل در حالت عدم اتصال دیوار با قاب.....	۷۶
شکل ۱۵-۳ لنگرهای خمشی تحت بار ثقل در حالت اتصال دیوار با قاب.....	۷۶
شکل ۱۶-۳ نیروی محوری تحت بار جانبی در حالت عدم اتصال دیوار با قاب.....	۷۶
شکل ۱۷-۳ نیروی محوری تحت بار جانبی در حالت اتصال دیوار با قاب.....	۷۶
شکل ۱۸-۳ نیروی برشی تحت بار جانبی در حالت عدم اتصال دیوار با قاب.....	۷۷
شکل ۱۹-۳ نیروی برشی تحت بار جانبی در حالت اتصال دیوار با قاب.....	۷۷
شکل ۲۰-۳ لنگرهای خمشی تحت بار جانبی در حالت عدم اتصال دیوار با قاب.....	۷۷
شکل ۲۱-۳ لنگرهای خمشی تحت بار جانبی در حالت اتصال دیوار با قاب.....	۷۷
شکل ۲۲-۳ اثر دیوار در پریود سازه در نرمافزار SAP (نسبت پریود قاب با دیوار به پریود قاب خالی).....	۸۷
شکل ۲۳-۳ اثر دیوار در پریود سازه در نرمافزار OpenSees (نسبت پریود قاب با دیوار به پریود قاب خالی).....	۸۸
شکل ۲۴-۳ اثر دیوار در پریود سازه در نرمافزار OpenSees و Sap (نسبت پریود قاب با دیوار به پریود قاب خالی).....	۸۸
شکل ۲۵-۳ اثر دیوار در پریود سازه در نرمافزار Sap (نسبت پریود قاب با دیوار به پریود قاب خالی).....	۹۰
شکل ۲۶-۳ اثر دیوار در پریود سازه در نرمافزار OpenSees (نسبت پریود قاب با دیوار به پریود قاب خالی).....	۹۱
شکل ۲۷-۳ اثر دیوار در پریود سازه در نرمافزار Sap و OpenSees (نسبت پریود قاب با دیوار به پریود قاب خالی).....	۹۱
شکل ۲۸-۳ اثر دیوار در پریود سازه در نرمافزار Sap (نسبت پریود قاب با دیوار به پریود قاب خالی).....	۹۳
شکل ۲۹-۳ اثر دیوار در پریود سازه در نرمافزار OpenSees (نسبت پریود قاب با دیوار به پریود قاب خالی).....	۹۴
شکل ۳۰-۳ اثر دیوار در پریود سازه در نرمافزار OpenSees و Sap (نسبت پریود قاب با دیوار به پریود قاب خالی).....	۹۵
شکل ۳۱-۳ مقادیر پریود در آیننامه‌های مختلف دنیا برای ساختمان ۳ طبقه.....	۹۷
شکل ۳۲-۳ مقادیر پریود در آیننامه‌های مختلف دنیا برای ساختمان ۵ طبقه.....	۹۸
شکل ۳۳-۳ مقادیر پریود در آیننامه‌های مختلف دنیا برای ساختمان ۵ طبقه.....	۹۸
شکل ۳۴-۳ میزان تاثیر دیوار در پریود سازه ۳ طبقه بتنی.....	۹۹
شکل ۳۵-۳ میزان تاثیر دیوار در پریود سازه ۵ طبقه بتنی.....	۱۰۰
شکل ۳۶-۳ میزان تاثیر دیوار در پریود سازه ۹ طبقه بتنی.....	۱۰۰
۳۱-۳ جابجایی نسبی مربوط به ساختمان ۳ طبقه.....	۱۰۵
۳۲-۳ جابجایی نسبی مربوط به ساختمان ۵ طبقه.....	۱۰۶
۳۳-۳ جابجایی نسبی مربوط به ساختمان ۵ طبقه.....	۱۰۷
شکل ۱-۴ آمار خرابی ۴ زلزله.....	۱۱۲
شکل ۲-۴ گسیختگی برشی و محوری ستون، زلزله Kokaeli (۱۹۹۹).....	۱۱۳
شکل ۳-۴ گسیختگی متناظر با فروریزش اتصال تیر-ستون.....	۱۱۳
شکل ۴-۴ تعریف تصویری از مدهای گسیختگی ستون.....	۱۱۵

شکل ۴-۵ تأثیر پارامترهای کلیدی در جابجایی نسبی گسیختگی برشی .....	۱۱۷
شکل ۴-۶ مقایسه جابجایی نسبی محاسبه شده در گسیختگی برشی با توجه به معادله ۲-۴ .....	۱۱۸
شکل ۴-۷ محاسبه جابجایی نسبی در گسیختگی برشی .....	۱۱۹
شکل ۴-۸ جابجایی نسبی به عنوان تابعی از بار محوری برای ستون‌های بتنی .....	۱۲۰
شکل ۴-۹ ستون گسیخته شده در زلزله kokaeli در سال ۱۹۹۹ .....	۱۲۲
شکل ۴-۱۰ دیاگرام جسم آزاد ستون پس از گسیختگی برشی .....	۱۲۳
شکل ۴-۱۱ ارتباط بین زاویه مشاهده شده ترک بحرانی و بار محوری .....	۱۲۴
شکل ۴-۱۲ کاهش مقاومت برشی بتن با افزایش شکل‌بذری .....	۱۳۴
شکل ۴-۱۳ سهم بار محوری در مقاومت برشی .....	۱۳۵
شکل ۴-۱۴ کاهش مقاومت برشی با افزایش شکل‌بذری .....	۱۳۶
شکل ۴-۱۵ پارامتر k .....	۱۳۹
شکل ۵-۱ روش ضرائب برای تعیین جابجایی هدف .....	۱۵۱
شکل ۵-۲ منحنی ساده شده نیرو تغییر مکان .....	۱۵۴
شکل ۵-۳ الف- تقریب منحنی ظرفت سازه به صورت دو خطی ب- تقریب منحنی ظرفیت دندانه ای .....	۱۵۹
شکل ۵-۴ تعیین نقطه عملکرد با استفاده از روش ATC-40 .....	۱۶۰
شکل ۵-۵ الف- منحنی شتاب در دستگاه استاندارد ب- طیف شتاب در دستگاه ADRS .....	۱۶۱
شکل ۵-۶ الف- منحنی ظرفیت در دستگاه استاندارد ب- طیف ظرفیت در دستگاه ADRS .....	۱۶۲
شکل ۵-۷ منحنی رفتار اعضای سازه و پارامترهای مدلسازی .....	۱۶۶
شکل ۸-۱ قاب خالی ۱ طبقه .....	۱۶۸
شکل ۹-۱ منحنی‌های پوش اور برای قاب ۱ طبقه .....	۱۶۸
شکل ۹-۲ منحنی‌های پوش اور برای قاب خالی ۳ طبقه .....	۱۶۹
شکل ۱۱-۵ منحنی‌های پوش اور برای قاب ۳ طبقه در حالت وجود دیوار ۱۷ سانتی‌متری در تمام دهانه‌ها .....	۱۶۹
شکل ۱۲-۵ منحنی‌های پوش اور برای قاب ۳ طبقه در حالت وجود دیوار ۲۳ سانتی‌متری در تمام دهانه‌ها .....	۱۷۰
شکل ۱۳-۵ منحنی‌های پوش اور برای قاب ۳ طبقه در حالت وجود دیوار ۱۷ سانتی‌متری در دهانه وسطی .....	۱۷۰
شکل ۱۴-۵ منحنی‌های پوش اور برای قاب ۳ طبقه در حالت وجود دیوار ۲۳ سانتی‌متری در دهانه وسطی .....	۱۷۱
شکل ۱۵-۵ منحنی‌های پوش اور قاب‌های ۳ طبقه در حالت ۱ دهانه دیوار .....	۱۷۱
شکل ۱۶-۵ منحنی‌های پوش اور قاب‌های ۳ طبقه در حالت ۳ دهانه دیوار .....	۱۷۲
شکل ۱۷-۵ منحنی‌های پوش اور تمام قاب‌های ۳ طبقه .....	۱۷۳
شکل ۱۸-۵ منحنی‌های پوش اور برای قاب خالی ۵ طبقه .....	۱۷۴
شکل ۱۹-۵ منحنی‌های پوش اور برای قاب ۵ طبقه در حالت وجود دیوار ۱۷ سانتی‌متری در تمام دهانه‌ها .....	۱۷۴
شکل ۲۰-۵ منحنی‌های پوش اور برای قاب ۵ طبقه در حالت وجود دیوار ۲۳ سانتی‌متری در تمام دهانه‌ها .....	۱۷۵
شکل ۲۱-۵ منحنی‌های پوش اور برای قاب ۵ طبقه در حالت وجود دیوار ۱۷ سانتی‌متری در دهانه وسطی .....	۱۷۵
شکل ۲۲-۵ منحنی‌های پوش اور برای قاب ۵ طبقه در حالت وجود دیوار ۲۳ سانتی‌متری در دهانه وسطی .....	۱۷۶
شکل ۲۳-۵ منحنی‌های پوش اور قاب‌های ۵ طبقه در حالت ۱ دهانه دیوار .....	۱۷۶
شکل ۲۴-۵ منحنی‌های پوش اور قاب‌های ۵ طبقه در حالت ۳ دهانه دیوار .....	۱۷۷
شکل ۲۵-۵ منحنی‌های پوش اور تمام قاب‌های ۵ طبقه .....	۱۷۷
شکل ۱-۶ عضو با مقاطع فایبر .....	۱۸۴
شکل ۲-۶ استفاده از دستور Layer برای ساخت مقطع فایبر .....	۱۸۵
شکل ۳-۶ استفاده از دستور Patch برای ساخت مقطع فایبر .....	۱۸۵
شکل ۴-۶ نمونه یک مقطع فایبر ساخته شده با دستورات Patch و Layer .....	۱۸۵
شکل ۵-۶ روابط بین مصالح و المان‌ها در OpenSees .....	۱۸۷
شکل ۶-۶ مصالح تک محوره هیسترتیک .....	۱۸۷
شکل ۷-۶ فن برشی در مدل مصالح هیسترتیک .....	۱۸۹
شکل ۸-۶ فن برشی در مدل استفاده شده برای مصالح حالت حدی .....	۱۸۹
شکل ۹-۶ تعریف شیب نزولی، $K_{deg}$ .....	۱۹۱

۱۹۲	شکل ۱۰-۶ فتر محوری در مدل.....
۱۹۲	شکل ۱۱-۶ فتر ترکیبی برشی - محوری بعد از گسیختگی محوری مدل نشان داده شده در شکل ۱۰-۶ .....
۱۹۳	شکل ۱۲-۶ جزئیات افت بار محوری شکل ۱۱-۶
۱۹۳	شکل ۱۳-۶ تعریف پارامترهای Backbone مربوط به مصالح هیسترتیک.
۱۹۳	شکل ۱۴-۶ تعریف پارامترهای باربرداری در مصالح هیسترتیک
۱۹۴	شکل ۱۵-۶ روند تعریف مراحل انجام کار در OpenSees
۱۹۵	شکل ۱۶-۶ منحنی های پوش اور برای قاب ۱ طبقه
۱۹۶	شکل ۱۷-۶ منحنی های پوش اور برای قاب ۱ طبقه ۲ دهانه
۱۹۷	شکل ۱۸-۶ منحنی های پوش اور برای قاب ۳ طبقه ۳ دهانه
۲۰۲	شکل ۱۹-۶ نتایج کارهای انجام شده.....

## چکیده

در دهه‌های گذشته محققین و مهندسین زیادی روی اثرات دیوارهای آجری پرکننده‌ی درون قاب‌های سازه‌ای، تحقیق و پژوهش نموده‌اند و همواره اثراتی که دیوارهای آجری پرکننده می‌توانند بر روی رفتار سازه داشته باشند یکی از دغدغه‌های مهندسین بوده است. از آن‌جا که مصالح مورد استفاده و در نتیجه مقاومت و سختی این دیوارها تا حد بسیار زیادی به محل ساخت و مصالح در دسترس وابسته است، اکثر کشورها با توجه به شرایط اقلیمی موجود خود ضوابطی را برای در نظر گرفتن اثرات دیوارهای آجری پرکننده، در طراحی‌ها و آیین‌نامه‌های خود وارد کرده‌اند. کشور ما ایران هم از این قاعده مستثنی نبوده است و در طی سال‌های گذشته شاهد بودیم که در بعضی از بندهای آیین‌نامه ۲۸۰۰ اثر وجود دیوار پرکننده آجری در رفتار ساختمان لاحظ شده است. یکی از این بندها که وجود دیوار در ساختمان روی آن تاثیر می‌گذارد بند ۱-۵-۶ آیین‌نامه ۲۸۰۰ می‌باشد که مطابق این بند اگر اعضای غیرسازه‌ای مزاحمتی برای حرکت اعضای سازه‌ای در زمان وقوع زلزله ایجاد کند، باید اثر اندرکنش این اعضا با سیتم سازه را در تحلیل در نظر گرفت.

در ایران به دلیل عدم شناخت کافی مهندسین از چگونگی رفتار دیوار پرکننده آجری در زلزله از مدل‌سازی دیوار پرکننده پرهیز می‌کنند و همچنین اثرات مثبت و منفی دیوار پرکننده بر روی

رفتار سازه را نادیده می‌گیرند.

هدف اصلی این تحقیق بررسی الزامات تعیین ضریب رفتار سازه‌های بتنی با دیوار پرکننده آجری

می‌باشد که چندی از این الزامات عبارتند از:

- بررسی اندرکنش بین دیوار پرکننده آجری و ستون قاب بتنی

- تأثیر دیوار پرکننده آجری بر پریود سازه‌های بتنی

- تأثیر دیوار پرکننده آجری بر مقاومت و سختی اولیه سازه

- چگونگی پخش نیرو در حالات خطی و غیرخطی بین دیوار پرکننده آجری و قاب بتنی

- تأثیر دیوار پرکننده آجری بر جابجایی نسبی سازه (دریفت)

در این تحقیق با استفاده از آنالیز استاتیکی غیرخطی (پوشاور) اندرکنش بین ستون بتنی و

دیوار پرکننده آجری و همچنین تأثیر دیوار بر پریود سازه‌های بتنی و جابجایی نسبی (دریفت) طبقات

تعیین شده است.

کلمات کلیدی: ۱- اندرکنش بین دیوار پرکننده آجری و ستون بتنی ۲- دیوار پرکننده آجری

۳- پریود سازه ۴- جابجایی نسبی

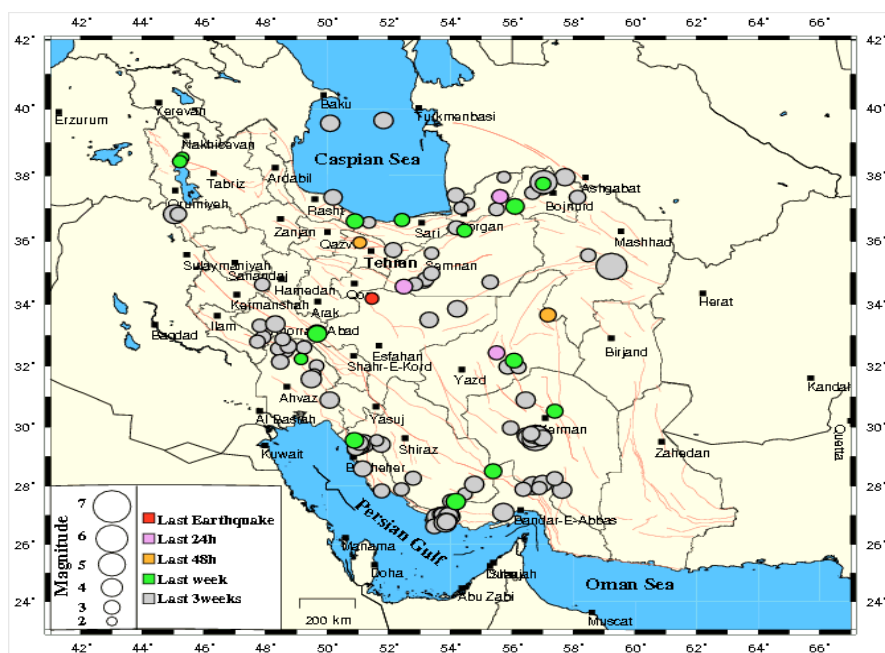
فصل ۱

# پیشگفتار

## ۱-۱- مقدمه

زلزله به عنوان یک پدیده مخرب در اغلب مناطق دنیا اینمی سازه‌ها و زندگی ساکنان آن را در معرض تهدید قرار داده است، بطوری‌که کاهش خسارات جبران‌ناپذیر پدیده زلزله همواره هدف نهایی محققین و دانشمندان علم مهندسی زلزله بوده است و عامل زلزله موجب اهمیت طراحی سازه‌ها در کشورهای لرزه‌خیز می‌باشد. ایران نیز به دلیل قرارگیری بر روی کمریند زلزله‌ای ویرانگر در نقاط مختلف کشورهای لرزه‌خیز محسوب می‌شود و هر چند سال یکبار شاهد زلزله‌ای ویرانگر در نتایج مختلف کشور هستیم. وقوع ۲۱۸ زلزله با بزرگی بیشتر از ۴ ریشتر در سال‌های ۱۳۸۵ و نشان‌دهنده وجود یک خطر دائمی است.

در شکل ۱-۱ هم زلزله‌های اخیر را که توسط شبکه لرزه‌نگاری کشور ثبت شده است نشان داده شده است.



شکل ۱-۱ زلزله‌های اخیر در ایران

در دهه‌های گذشته محققین و مهندسین زیادی روش اثرات دیوارهای آجری پرکننده‌ی درون

قبهای ساختمانی، تحقیق و پژوهش نموده‌اند و همواره اثراتی که دیوارهای آجری پرکننده می‌توانند بر روی رفتار سازه داشته باشند یکی از دغدغه‌های مهندسین بوده است. از آن‌جا که مصالح مورد استفاده و در نتیجه مقاومت و سختی این دیوارها تا حد بسیار زیادی به محل ساخت و مصالح در دسترس وابسته است، اکثر کشورها با توجه به شرایط اقلیمی موجود خود ضوابطی را برای در نظر گرفتن اثرات دیوارهای آجری پرکننده، در طراحی‌ها و آیین‌نامه‌های خود وارد کرده‌اند. کشور ما ایران هم از این قاعده مستثنی نبوده است و در طی سال‌های گذشته شاهد بودیم که در بعضی از بندهای آیین‌نامه اثر وجود دیوار پرکننده آجری در رفتار ساختمان لحاظ شده است و همچنین برگزاری سمینارها و کنفرانس‌های در این رابطه نشان دهنده اهمیت این موضوع در بین مهندسین و محققین کشور بوده است چنان‌چه در ۳۰ و ۳۱ خرداد ماه سال ۱۳۸۹ جمع کثیری از مهندسین برتر و اساتید برتر کشور در سمیناری ۲ روزه با نام بررسی سازه‌ای دیوارهای جداکننده به بحث و گفت‌و‌گو در این زمینه پرداخته‌اند.

در بسیاری از ساختمان‌ها، دیوارهای آجری به دلایل معماري (جدا کردن فضاهای داخلی) ساخته می‌شوند لیکن بدليل پیچیده بودن مسئله و عدم وجود مدل تحلیلی منطقی و در عین حال ساده، ترکیب دیوارهای پرکننده آجری اغلب در تحلیل سازه‌های ساختمانی صرفنظر می‌شود. این فرض ممکن است باعث کاهش دقت در تخمین سختی جانبی، مقاومت و شکل‌پذیری سازه شود. تحقیق بر روی عملکرد دیوارهای پرکننده موضوع جدیدی نیست، مطالعات اولیه در حدود ۵۰ سال پیش آغاز شده است. علیرغم تداوم مطالعات در سال‌های اخیر بعضی از آیین‌نامه‌های ساختمانی هنوز به طور دقیق نحوه طراحی سیستم‌های سازه‌ای دارای دیوار پرکننده و نحوه ارزیابی خسارت را در این سیستم‌ها مشخص نکرده‌اند. علت امر دو نکته زیر است:

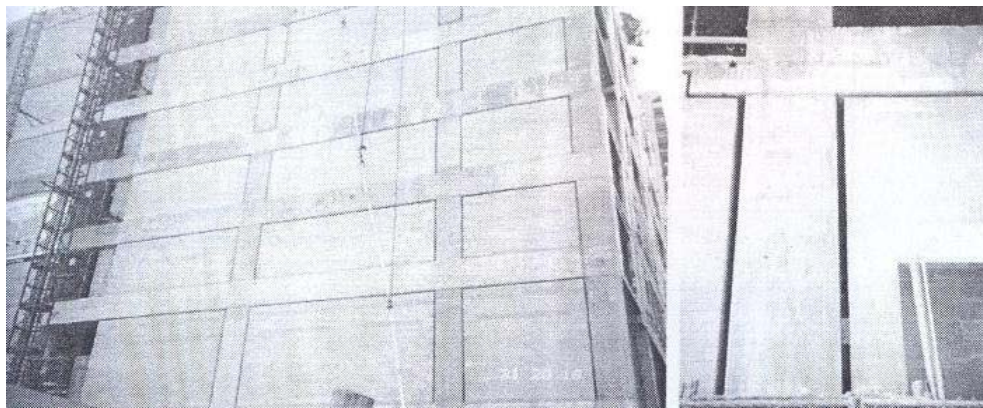
- دیوارهای آجری از زمان گذشته تا کنون همواره به عنوان المان‌های غیر سازه‌ای شناسایی شده‌اند بنابراین در آیین‌نامه‌های ساختمانی جزئیات طراحی برای آن‌ها ذکر نشده است.

- اندرکنش بین دیوارهای پرکننده آجری و مصالح سازه‌ای ساخته شده از فولاد و بتن مسلح نه تنها از دیدگاه مکانیک سازه‌ای پیچیده است بلکه وارد کردن مصالح بنایی در آئیننامه‌های فولاد و بتن مسلح بدلیل عدم ساختیت این مصالح با فولاد و بتن خالی از اشکال نیست.

دیوارهای پرکننده آجری در بسیاری از قاب‌های ساختمانی کشور ما وجود دارند ولی نقش آن‌ها در مقاومسازی و تحکیم سازه توسط طراحان صرفنظر می‌شود. از حدود سال‌های ۱۹۵۰ تحقیق و مطالعه بر روی رفتار قاب‌های دارای دیوار پرکننده شروع شده است. از آن زمان تا کنون آزمایشات بارگذاری جانبی استاتیکی بر روی مدل‌های با مقیاس کوچک و بزرگ در سیستم‌های مت Shank از دیوارهای پرکننده انجام شده است. مصالح قاب از جنس فولاد و بتن مسلح و مصالح دیوار پرکننده از نوع آجر، بلوک‌های بتنی (مسلح و غیر مسلح) و یا بتن مسلح ساخته می‌شوند. پارامترهای اصلی تأثیرگذار بر روی رفتار و مودهای گسیختگی قاب‌های دارای دیوار پرکننده عبارتند از: مقاومت، سختی، خصوصیات جذب انرژی پسماند، شرایط مرزی دیوار پرکننده، نحوه توزیع تنش‌ها و کرنش‌ها در داخل پانل دیوار پرکننده، نیروهای وارد بر روی قاب، وجود بازشوها و نحوه ساخت و اجرا.

به دلیل وجود پارامترهای اندرکنش متفاوت، عدم وجود مبنای طراحی واحد در آئیننامه‌های علیرغم مطالعات وسیع در دهه‌های گذشته، موضوع تعجب برانگیزی نیست. به منظور طراحی لرزه‌ای دو روش جهت در نظرگیری اثر دیوارهای پرکننده در قاب اصلی قابل بررسی است:

الف) دیوار پرکننده به صورت مجزا از قاب فرض شود و از مشارکت آن در رفتار سازه‌ای صرفنظر شود که در شکل ۲-۱ نشان داده شده است [۱].



شکل ۲-۱ دیوار مجزا از قاب بوسیله درز انقطاع

ب) دیوار پرکننده در داخل قاب و متصل به قاب فرض می‌شود و اندکنش بین قاب اصلی و دیوار پرکننده در نظر گرفته شود.

اگر دیوار پرکننده به قاب بچسبد این امکان وجود دارد که در حین وقوع زلزله دیوار پرکننده به قاب ضربه وارد کند و باعث ایجاد نیروهای برشی و ممانهای خمشی بزرگی در ستون‌ها و تشکیل مکانیزم ستون کوتاه شود. در این حالت گسیختگی برشی به خصوص در سازه‌های بتنی اجتناب‌ناپذیر خواهد بود. سختی و مقاومت اضافی به دلیل وجود دیوارهای پرکننده در حین اعمال بارگذاری دینامیکی عمدتاً رفتار سازه‌ای را تغییر خواهد داد. در حین تحریک لرزه‌ای افزایش سختی باعث کاهش پریود ارتعاش می‌شود که به تبع آن نیروهای وارد به سازه بزرگتر می‌شود. از سوی دیگر ظرفیت مقاومت افزایش یافته و تقاضای شکل‌پذیری المان‌های سازه تغییر خواهد کرد.

در ایران معمولاً ساختمان‌ها بدون در نظر گرفتن اثرات دیوارهای پرکننده بر رفتار لرزه‌ای سازه طراحی می‌شوند. این در حالی است که مشاهدات انجام شده در طی زلزله‌های گذشته و همچنین تحقیقات صورت پذیرفته در سال‌های اخیر نشان‌دهنده آن است که قاب‌های میان‌پر باعث افزایش سختی و مقاومت سازه شده و در نتیجه موجب تغییر در پاسخ لرزه‌ای سازه می‌شوند [۲]. با توجه به اهمیت این موضوع لازم است تا ضمن بررسی چگونگی تغییرات مزبور، تاثیرات مطلوب و یا نامطلوب دیوارهای پرکننده بر عملکرد سازه را مشخص نمود. دیوارهای پرکننده آجری دارای اثرات مثبت و

منفی هستند. چه بسا سازه‌هایی که از نظر اسکلت وضعیت خوبی دارند ولی به علت عدم توجه به دیوارهای پرکننده در فرایند طراحی ساختمان‌ها آسیب جدی دیده‌اند. مهمترین اثرات منفی دیوارهای آجری در سازه‌ها عبارت‌اند از:

- شکست طبقه‌ی نرم (نامنظمی در ارتفاع)

- پیچش (نامنظمی در پلان)

- ستون کوتاه (سازه‌های بتني)

- اندرکنش بین قاب و دیوار پرکننده (سازه‌های بتني)

به علت سختی و مقاومت قابل ملاحظه دیوارهای پرکننده وجود دیوارها ممکن است باعث نامنظمی شدید در سختی و مقاومت در نما و پلان شود [۳]. اثرات مختلف دیوار پرکننده آجری مطابق جدول ۱-۱ است که از صفحه‌ی ۴ دستنامه ۱۸ آورده شده است:[۱]

جدول ۱-۱ اثرات مثبت و منفی دیوار پرکننده آجری در قاب فولادی یا بتني [۱]

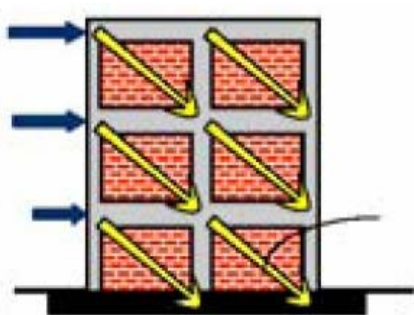
ردیف	اثرات منفی	اثرات مثبت
۱	نامنظمی سختی در ارتفاع (طبقه‌ی نرم)	افزایش سختی و کاهش تغییرمکان
۲	نامنظمی مقاومت در ارتفاع (طبقه‌ی ضعیف)	افزایش مقاومت
۳	نامنظمی سختی در پلان (پیچش)	کاهش شکل‌پذیری نیاز
۴	توزیع نامناسب نیرو بین ستون‌های یک قاب بتني (ستون کوتاه بتني)	بالا آمدن تراز پایه در شرایط خاص
۵	توزیع نامناسب نیرو در پلان (ستون کوتاه فولادی)	شکست برشی شکل‌پذیر در ستون کوتاه فولادی
۶	افزایش نیروی طراحی به علت کاهش پریود	طرح قاب برای نیروی جانبی اندک
۷	افزایش نیروی طراحی به علت کاهش ضریب رفتار سیستم توأم	ایجاد سیستم دوگانه با کنش محوری قاب

چه بسا سازه‌هایی که از نظر طراحی اسکلت شرایط قابل قبولی برای زلزله‌ای که رخ داده است نداشته‌اند ولی به علت اثرات مثبت افزایش سختی و مقاومت دیوارهای پرکننده (و عدم ایجاد نامنظمی در ارتفاع و پلان) ساختمان رفتار بسیار مناسبی از خود نشان داده است. به این ترتیب در زلزله‌های گذشته برخی از ساختمان‌ها که توسط مهندسین طراحی و اجرا شده‌اند به علت عدم توجه به اثرات منفی دیوارها آسیب جدی دیده‌اند ولی برخی از سازه‌ها که توسط افراد غیر متخصص ساخته شده است به علت اثرات مثبت دیوارها کاملاً پایدار مانده‌اند [۱].

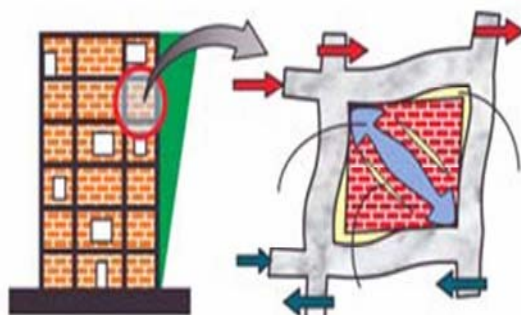
## ۲-۱- تاریخچه

### ۱-۲-۱- مدل‌سازی دیوار پرکننده آجری

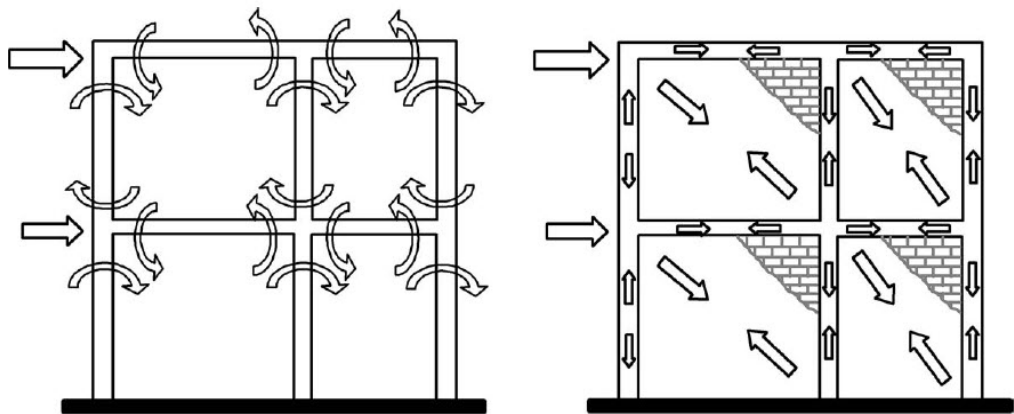
رفتار ترکیبی دیوار پرکننده و قاب سازه‌ای طوری است که می‌توان دیوار را مطابق شکل ۳-۱ به صورت عضو میله‌ای فشاری مدل‌سازی کرد. به این ترتیب می‌توان دیوارهای پرکننده را مطابق شکل ۴-۱ با بادبندهای فشاری مدل‌سازی کرد. چنان‌که از شکل ۵-۱ بdst می‌آید وجود دیوارهای پرکننده باعث می‌شود که رفتار سازه‌ای از کنش خمشی به کنش محوری تبدیل شود [۲].



شکل ۴-۱ مدل‌سازی دیوار به صورت دستک فشاری



شکل ۳-۱ رفتار ترکیبی دیوار و قاب



شکل ۱-۵ تبدیل کنش خمشی به کنش محوری به علت وجود دیوار

مزایای تبدیل کنش خمشی به کنش محوری:

- سهم اندک قاب در باربری جانبی و کفايت طرح آن برای بار ثقلی به علاوه اندکی از بار جانبی
- محدود شدن تغییرشکل‌های جانبی

معایب تبدیل کنش خمشی به کنش محوری:

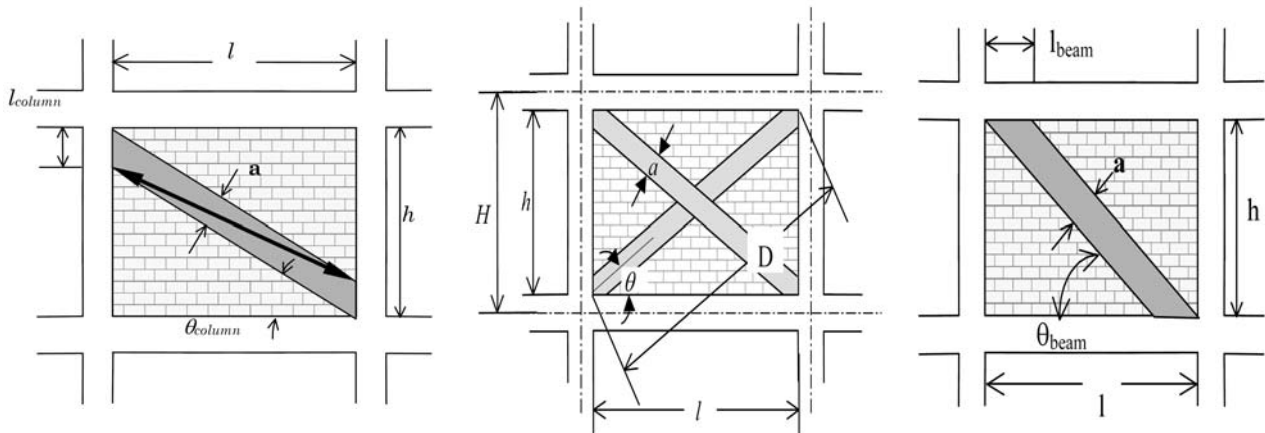
- افزایش نیروی محوری در ستون و پی
- ایجاد برش‌های متتمرکز در بالا و پایین ستون
- ایجاد برش‌های متتمرکز در ابتدا و انتهای تیر
- ایجاد برش‌های بزرگ در روی پی

ممکن است بادبند معادل دیوار پرکننده آجری به ۳ صورت تیر به تیرشکل ۱-۶، گره به گره

شکل ۱-۷ و یا ستون به ستون شکل ۱-۸ مدل شود. اگر مطابق شکل ۱-۸ به صورت ستون به ستون

عمل کند، در این صورت در طول تماس موثر بین دیوار و ستون ( $l_{column}$ ) نیروهایی بین دیوار و ستون

ردوبدل می‌شود. این قسمت از ستون را اصطلاحاً ستون کوتاه می‌نامند [۵].



شکل ۱-۶ مدل تیر به تیر برای  
بادبند معادل

شکل ۱-۷ معادل سازی دیوار پرکننده با دو  
میله‌ی فشاری گره به گره

شکل ۱-۸ مدل ستون به ستون برای بادبند  
معادل

## ۱-۲-۲-۱- اندرکنش بین قاب و دیوار پرکننده آجری

در شکل ۱-۹ نمونه‌ای از اندرکنش بین قاب و دیوار پرکننده و ستون بتُنی نشان داده شده است چنان‌که ملاحظه می‌شود به علت عدم یکپارچگی بین ستون و تیر و همچنین عدم مقاومت برشی ستون در قسمت فوقانی چنین شکستی رخ داده است. مطابق شکل مشاهده می‌شود که حتی در صورت وجود دیوار پرکننده با بلوك سفالی غیر ضخیم نیز در ستون شکست برشی شدید ایجاد می‌شود [۶]. چنان‌که توضیح داده شد ممکن است رفتار بادبند معادل دیوار مطابق شکل ۱-۶ به صورت تیر به تیر باشد در این صورت شکست برشی متوجه در لبه‌ی تیر رخ می‌دهد. شکل ۱-۱۰ نمونه‌ای از این شکست را نشان می‌دهد [۷].



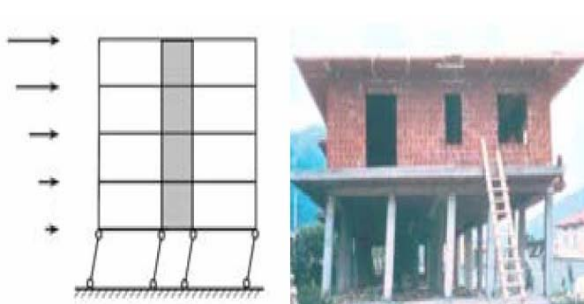
شکل ۱۰-۱ شکست برشی ستون به علت تقابل با دیوار  
اندرکنش با دیوار پرکننده آجری



شکل ۹-۹ شکست برشی ستون به علت تقابل با دیوار  
پرکننده آجری با بلوک سفالی

### ۳-۲-۱- شکست طبقه نرم (یا ضعیف)

یکی از دلایل مهم شکست ساختمان‌ها در زلزله انقطاع سیستم باربر جانبی نظیر بادبند یا دیوار برشی و دیوار پرکننده‌ی آجری مطابق شکل ۱۱-۱ در طبقه‌ی همکف است. بنابراین طبقه‌ی همکف به صورت طبقه‌ی نرم عمل می‌کند. در این حالت ستون‌ها تحت تغییرشکل‌های بزرگی قرار می‌گیرند و معمولاً در آن‌ها مفصل پلاستیک در نقاط بالایی و پایینی به وجود می‌آید. این حالت مکانیزم طبقه (جابجایی نسبی شدید طبقه) نامیده می‌شود. معمولاً در این حالت ساختمان فرو ریخته یا تا آستانه‌ی فرو ریزش پیش می‌رود. طبقه فوقانی دارای دیوارهای پرکننده‌ی زیادی است و در نتیجه سختی آن طبقات در مقایسه با طبقه‌ی زیرین بیشتر است [۱].



شکل ۱۲-۱ ایجاد مکانیزم طبقه در ساختمان در حال احداث  
و آستانه‌ی فرو ریزش (ایتالیا ۱۹۷۶)

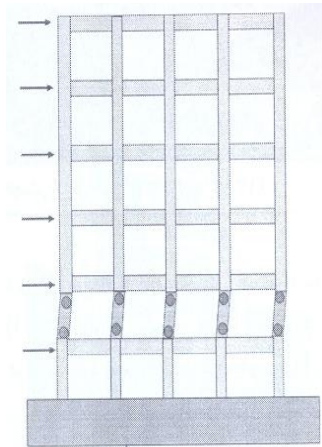


شکل ۱۱-۱ پتانسیل ایجاد طبقه‌ی نرم به علت  
فقدان دیوارهای پرکننده

در صورت فقدان دیوار پرکننده در یکی از طبقات در زلزله شکست طبقه‌ی نرم رخ خواهد داد. در شکل ۱۲-۱ نمونه‌ای از شکست طبقه‌ی نرم مشاهده می‌شود. در طبقات فوقانی برخی از دیوارهای آجری پرکننده دارای بازشووهای بزرگی هستند. با وجود این به علت افزایش سختی طبقات فوقانی، در طبقه اول، شکست طبقه نرم رخ داده است. توجه شود که شکست طبقه‌ی نرم به ایجاد مفصل پلاستیک در بالا و پایین ستون‌های آن طبقه مربوط است. در صورت ضعیف بودن یا حذف بادبند یا دیواربرشی و دیوار پرکننده آجری در هر یک از طبقات فوقانی مقاومت آن طبقه شدیداً کاهش می‌یابد و ممکن است مشابهی شکل ۱۳-۱ طبقه‌ی نرم رخ دهد. این مکانیزم شکست نیز بسیار خطرناک است. در شکل ۱۴-۱ نیز نمونه‌ی دیگری از شکست طبقه نرم مشاهده می‌شود [۱].



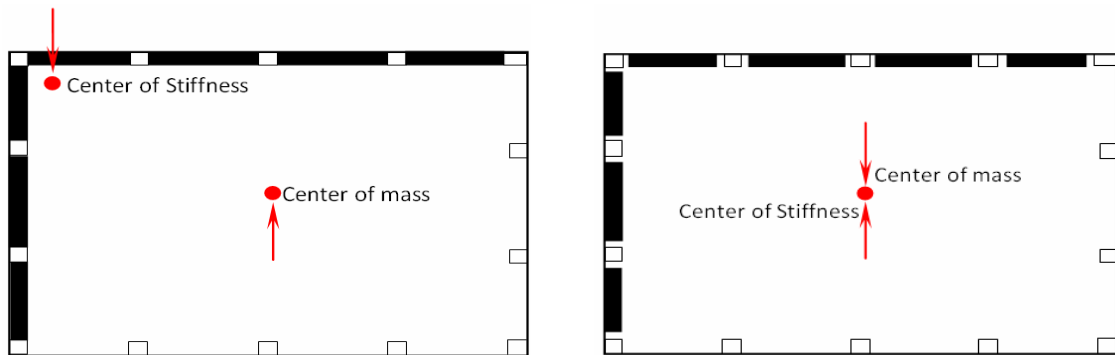
شکل ۱۴-۰ شکست طبقه‌ی نرم



شکل ۱۳-۰ ایجاد طبقه نرم در طبقات فوقانی

#### ۴-۲-۱- شکست پیچشی

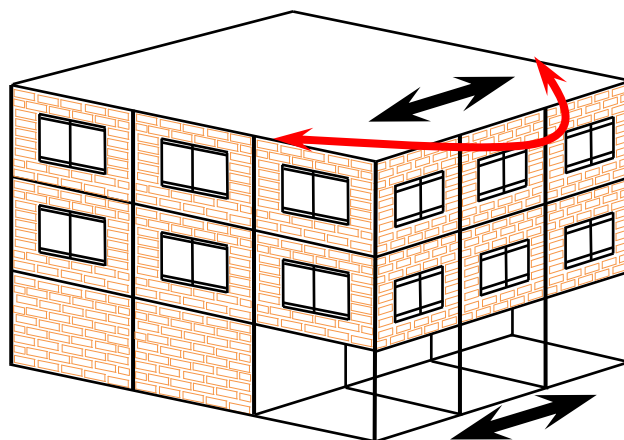
یکی دیگر از نکات بسیار مهم در خصوص دیوارهای پرکننده‌ی آجری، چیدمان آن‌ها در پلان است. در صورت چیدمان نامتقارن دیوارهای پرکننده‌ی آجری در پلان، فاصله‌ی بین مرکز جرم تا مرکز سختی، افزایش می‌یابد و منجر به پیچش شدیدی تحت بار جانبی می‌شود. به عنوان مثال، ممکن است رفتار پیچشی مطابق شکل ۱۵-۱ رخ دهد [۹-۸].



شکل ۱۵-۱ چیدمان نامتقارن دیوار در پلان

همچنین ممکن است مطابق شکل ۱۶-۱ پیچش و طبقه‌ی نرم به طور همزمان رخ دهد.

معمولًا در این حالت شکست طبقه به صورت انهدام کامل است.



شکل ۱۶-۱ ترکیب طبقه نرم و پیچش

در شکل‌های ۱۷-۱ و ۱۸-۱ شکست‌هایی از سازه به دلیل بوجود آمدن پیچش در سازه

مشاهده می‌شود.



شکل ۱۷-۱ شکست برشی به دلیل عدم در نظر گرفتن اثر دیوار پرکننده (کوبه، ۱۹۹۵)

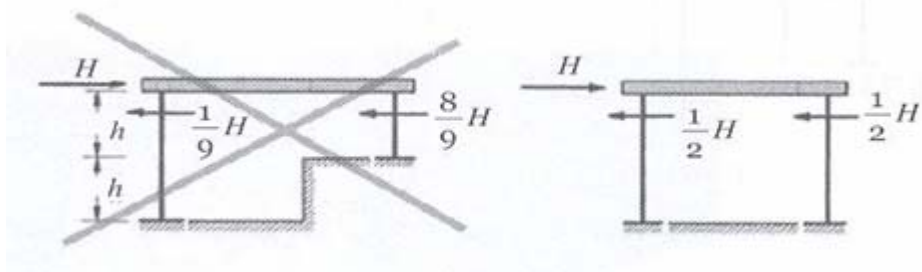


شکل ۱۸-۱ شکست برشی به دلیل عدم در نظر گرفتن اثر دیوار پرکننده (زلزله بم، ۱۳۸۲)

## ۱-۵-۲-۱- شکست ستون کوتاه

یکی از نکات مهم در رفتار لرزه‌ای سازه‌ها توجه به پدیده ستون کوتاه است. این پدیده می‌تواند باعث نامنظمی شدید در توزیع نیرو در ستون‌های طبقه شود و همچنین ممکن است منجر به پیچش گردد. در مورد ستون‌های بتونی به علت جذب نیروی زیاد، ستون در برش شکست شدیدی می‌بیند. در

شکل ۱۹-۱ دو حالت مختلف برای ارتفاع ستون‌ها نشان داده شده است [۱۰].



شکل ۱۹-۱ جذب نیروی زیاد در ستون کوتاه

اگر هر دو طرف ستون کوتاه توسط دیوار مهار شود تا حد زیادی مانع شکست ستون کوتاه می‌شود. اما اگر طول این دیوارها کافی نباشد یا مطابق شکل ۱۹-۱ فقط دیوار در یک طرف ستون تا بالا امتداد یابد، باز هم شکست ستون کوتاه رخ خواهد داد. همچنین در صورت کافی نبودن خاموت محصور کننده‌ی قسمت ستون کوتاه، در ستون شکست برشی ایجاد می‌شود.



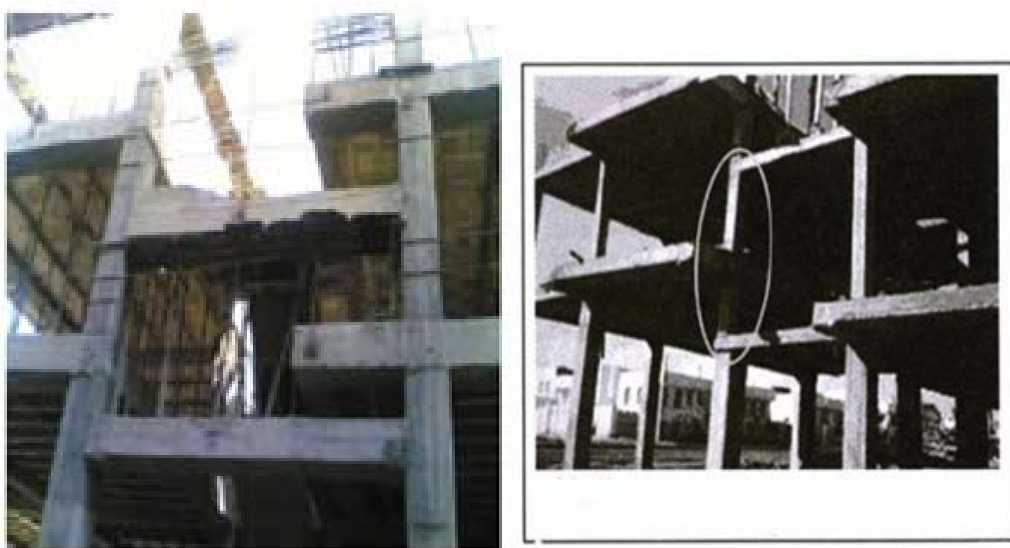
شکل ۱-۲۰ شکست ستون کوتاه

اگر ارتفاع ستون کوتاه، بسیار کم (قابل مقایسه با ابعاد مقطع ستون) باشد، شکست برشی که منجر به ترک‌های قطری و یا خرد شدگی شدید بتن می‌شود مانند شکل ۱-۲۰ رخ خواهد داد و در صورتی که ستون، باریک باشد و یا ارتفاع دیوار زیاد نباشد، شکست ایجاد شده به صورت خمشی خواهد بود.



شکل ۱-۲۱ شکست خمشی ستون کوتاه

شکل ۲۱-۱ تعداد قابل ملاحظه‌ای از ساختمان‌های بتنی که امروزه در شهرهای مختلف ایران ساخته می‌شود، پتانسیل شکست ستون کوتاه را دارند. به عنوان مثال در شکل ۲۲-۱ که نماهای مختلف از یک ساختمان بتنی در تهران را نشان می‌دهد، پتانسیل شکست ستون کوتاه به علت وجود بازشو، به دلیل نیروی متمرکز در قسمت میانی ستون، مشاهده می‌شود [۱۱].



شکل ۲۲-۱ ستون کوتاه به علت هندسه‌ی معماری و وجود دیوارها

در شکل ۲۳-۱ دهانه سمت چپ دارای دیوار آجری پرکننده و دهانه سمت راست دارای بازشوی طویل است که ستون کوتاه ایجاد کرده است. در حرکت سازه به سمت راست، ستون میانی به صورت ستون کوتاه عمل می‌کند و در حرکت سازه به سمت چپ، ستون سمت راست به صورت ستون کوتاه است و ستون میانی به همراه ستون سمت چپ و دیوار بین آنها تشکیل یک دهانه با دیوار پرکننده می‌دهند. به علت نیروی محوری فشاری در راستای قطر دیوار پرکننده نیروی برشی متمرکزی، در پایین سمت چپ وارد شده و منجر به خرابی برشی شده است.



شکل ۱۲۳-۱ ایجاد شکست ترد برشی در ستون به علت پدیده ستون کوتاه و اندرکنش دیوار با قاب

### ۳-۱- تاریخچه‌ی مدل‌سازی دیوار آجری پرکننده و قاب

مدل‌سازی المان محدودی دیوار پرکننده‌ی آجری به علت وجود پارامترهای متعدد نظیر: مشخصات آجر، خصوصیات ملات، تقابل بین آجر و ملات، تقابل بین دیوار و نیز به علت وجود عدم قطعیت‌های زیاد در مورد این پارامترها، می‌توان گفت که کار بسیار پیچیده و در عین حال غیر قابل اطمینان است. مباحث مهم ممکن در این زمینه عبارتند از:

الف- از نقطه نظر تکنیک‌های شبیه‌سازی مدل‌ها را می‌توان به دو دسته‌ی زیر تقسیم کرد:

- مدل‌های پایه‌ای (میکرو)

- مدل‌های ساده (ماکرو)

دسته‌ی اول بر اساس ارائه‌ی المان محدودی پانل دیوار پرکننده است و در آن از روش‌های متداول در تئوری الاستیسیته و پلاستیسیته استفاده می‌شود. در دسته‌ی دوم در ک فیزیکی از رفتار کل دیوار پرکننده مورد نظر است، در این حالت برای مدل‌سازی دیوار پرکننده می‌توان از یک یا چند عضو سازه‌ای استفاده کرد.

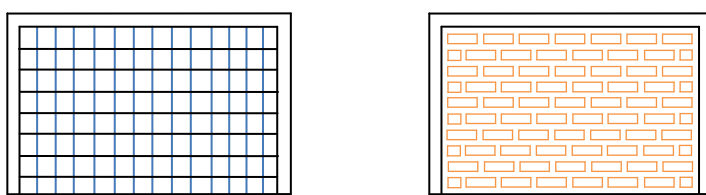
ب- دومین مقوله‌ی مهم مربوط است به ظرفیت مدل به نحوی که برخی یا همه‌ی پدیده‌های غیرخطی مرتبط را در نظر بگیرد. برای مثال برخی از مدل‌ها توجه چندانی به سختی واقعی (و در نتیجه فرکانس‌ها و مودهای ارتعاشی) در محدوده‌ی الاستیک ندارند. بر عکس سایر مدل‌ها با دقت زیادی به سختی و کاهندگی آن و نیز زوال مقاومت توجه ویژه‌ای دارند. به این صورت می‌توان رفتار سازه را تا لحظه‌ی شکست مورد بررسی قرار داد.

ج- مقوله‌ی دیگر عبارت است از بررسی اثرات بارگذاری یک جهت و سیکلی بر رفتار و خصوصیات سیستم.

د- مبحث دیگر به بررسی تقابل بین رفتار خارج از صفحه‌ی دیوار و رفتار درون صفحه‌ای دیوار به صورت توأم می‌پردازد. این قسمت برگرفته از فصل ۲ صفحه‌ی ۴۹ دستنامه ۱۸ می‌باشد [۱].

### [۱]-۳-۱- مدل‌های پایه‌ای (میکرو)

تمام مدل‌های مورد بحث در اینجا بر اساس روش المان محدود است و عموماً ۳ نوع المان برای ارائه دیوار پرکننده‌ی آجری، قاب و تقابل بین آن دو استفاده شده است. در اغلب موارد توجه خاصی به المان‌های تماسی بین قاب و دیوار شده است که شبیه‌سازی عددی خود دیوار پرکننده، دارای اهمیت زیادی است و پدیده‌های غیرخطی آن باید با دقت بالایی مدل شوند. تحقیق در این زمینه شدیداً در وابستگی با توسعه‌ی المان‌های مورد استفاده در سازه‌های بنایی است [۱].



شکل ۱ ۲۴-۱ مدل المان محدودی قاب و دیوار پرکننده‌ی آجری

مالیک و سورن (Mallick and Severn, 1967) مطابق شکل ۱ ۲۴-۱ به مسئله‌ی تماس بین

دیوار و قاب توجه خاصی داشتند. پانل‌های پرکننده‌ی آجری به صورت المان‌های مستطیلی الاستیک خطی مدل شده و در هر گوشه دارای ۲ درجه آزادی بودند. همچنین قاب با استفاده از المان‌های تیر بدون تغییرشکل محوری مدل شد. در این مدل لغزش بین قاب و دیوار نیز به همراه اصطکاک بین آن‌ها در نظر گرفته شد. آن‌ها نتایج تحلیل‌ها را با کارهای آزمایشگاهی مقایسه کردند و به ارائه دقیقی از سختی توجه خاص کردند [۱۲].

گودمن و همکاران (Goodman et al, 1968) یک المان را برای شبیه‌سازی اندرکنش بین قاب و دیوار توسعه دادند. المان مستطیلی کرنش مسطح با ۴ گره و ۲ درجه آزادی انتقالی در هر گره طوری اصلاح شد که شرایط تماسی را به نحو مناسبی درنظر بگیرد. مقاومت برشی المان به چسبندگی و اصطکاک بستگی دارد. در این مطالعه مدل بینابینی بین دیوار و قاب با یک طول معلوم و پهنانی اولیه‌ی صفر پیشنهاد شد [۱۳].

تحقیقات مالیک و گارگ (Malik and Garg, 1971): آن‌ها اثر وجود برش‌گیر بین قاب و دیوار را نیز مدل کردند. مانند روش فوق‌الذکر از المان مستطیلی کرنش مسطح برای دیوار استفاده کردند. همچنین آن‌ها پیشنهاد دادند که در مدل عضو تیر برای قاب، درجه‌ی آزادی چرخشی لحاظ نشود، یعنی قاب فقط تحت برش و نیروی محوری تغییرشکل دهد. این مدل برای بررسی ۲ مسئله مورد استفاده قرار گرفت: اثر بازشوهای موجود در پانل دیوار و اثر وجود برش‌گیرها بین قاب و پانل دیوار. برای بررسی صحت نتایج مطالعات آزمایشگاهی مربوطه نیز انجام شد [۱۴].

کاست و همکاران (Koset et aal, 1974) مشاهده کردند که ترک بین پانل دیوار و قاب پیرامونی حتی در مقادیر اندک نیروی جانبی نیز ایجاد شده و توسعه می‌یابد. این امر به علت مقاومت کششی اندک در سطح تماس دیوار و قاب است. در نتیجه برای شبیه‌سازی پاسخ سیستم تحت بار جانبی باید باز و بسته شدن گپ‌های بین قاب و دیوار در نظر گرفته شود [۱۵].

کینگ و پاندی (King and Pandey, 1978) از المان پیشنهاد شده توسط گودمن و همکاران

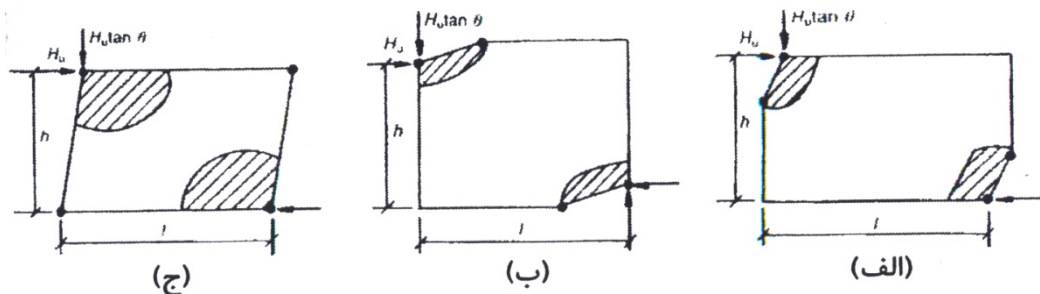
استفاده کردند. آزمایش‌های اولیه نشان داد که منحنی‌های تنش برشی بر حسب جابجایی نسبی مماسی در محل تماس المان‌ها به صورت الاستو پلاستیک بود. خصوصیات سختی مماسی  $K_s$  و  $K_n$  المان‌های بینابینی تعریف شدند که این مقادیر به صورت تابعی از شرایط بین المان‌ها انتخاب شدند. بدین صورت لغزش اصطکاکی اتصال یا جدایش بین المان‌های قاب و دیوار بررسی شد. آن‌ها همان مدل‌هایی را که توسط مالیک و سورن مورد آزمایش قرار گرفته بود تحلیل کردند و نتایج بسیار خوبی گرفتند [۱۶].

لیا و کوان (Liauw and Kwan, 1984) یک تئوری پلاستیک را پیشنهاد دادند که در آن ۳ مد شکست امکان ایجاد داشت. بر حسب مقاومت نسبی ستون‌ها و تیرها و دیوار پرکننده آجری یکی از ۳ حالت زیر مطابق شکل ۲۵-۱ رخ خواهد داد [۱۷-۲۱].

الف-لهیدگی گوشه‌های دیوار و ایجاد شکست در ستون‌ها

ب-لهیدگی گوشه‌های دیوار و ایجاد شکست در تیرها

ج-شکست قطری دیوار پرکننده‌ی آجری



شکل ۲۵-۱ مودهای شکست قاب پر شده با دیوار

ریور و والکر (Rivero and Walker, 1984) یک مدل غیرخطی را بری شبیه‌سازی پاسخ سیستم قاب پر شده با دیوار و تحت تحريك زلزله، توسعه دادند. برای شبیه‌سازی سطح بین قاب و دیوار ۲ نوع المان توسعه یافت: المان گپ و المان اتصال. المان گپ برای نشان دادن فاصله‌ی بین قاب و دیوار در شرایط غیرتماسی و المان اتصال برای مدل‌سازی حالت تماس مورد استفاده قرار گرفت.

روندهای ایجاد ترک و توسعه آن با دقت خوبی بررسی شد [۲۲].

شینگ و همکاران (Shing et all, 1992) با استفاده از تئوری پلاستیسیته رفتار غیر خطی المان‌های دیوار آجری را شبیه‌سازی کردند. ترک‌های بین آجرها و درز ملات و همچنین ترک‌های بین درز ملات با اعضای قاب بتن مسلح مدل شد و مورد بررسی قرار گرفت. در این مدل رفتار کلی سیستم مرکب قبل از ترک‌خوردن به صورت همگن و ایزوتروپیک در نظر گرفته شد. رفتار مصالح به صورت الاستوپلاستیک بر اساس معیار تسلیم فون مایزر به همراه کشش از نوع رانکین در نظر گرفته شد. پس از کالیبره کردن مدل با استفاده از مطالعات آزمایشگاهی مدل المان محدودی توانست به طور مناسبی رفتار سیستم واقعی را شبیه‌سازی کند [۲۳-۲۷].

### ۱-۳-۲- مدل‌های ساده (ماکرو)

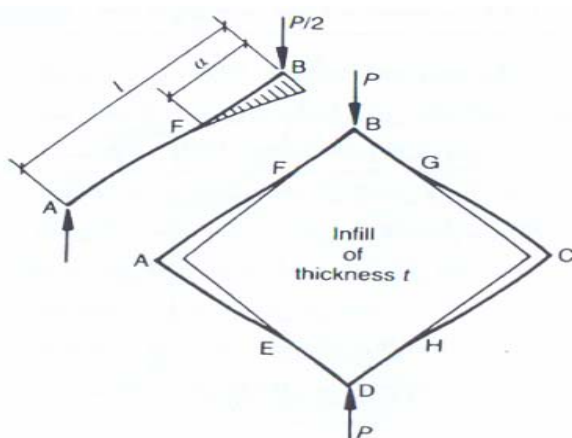
این ایده که از یک عضو ساده برای شبیه‌سازی دیوار داخل قاب استفاده شود همواره جذاب و مورد توجه بوده است زیرا دارای مزایای زیادی در امر فرایند تحلیل و طراحی است. در همان اوایل کار مشخص شد که یک میله‌ی قطری با خواص مکانیکی مناسب می‌تواند جایگزین خوبی برای دیوار باشد. با استفاده از مدل میله‌ی قطری معادل می‌توان موارد زیر را وارد مدل کرد:

- سختی برشی دیوار پرکننده
- مقاومت کششی و برشی اندک ستون در محل تماس دیوار با قاب
- البته این روش ساده نمی‌تواند پیچیدگی‌های زیر را در مدل لحاظ کند:
  - کاهندگی سختی و زوال مقاومت تحت بارهای رفت و برگشتی
  - رفتار خارج از صفحه‌ی دیوار پس از ایجاد ترک‌های قطری
  - لغزش برشی در طول درزها که تقریباً در وسط ارتفاع دیوار رخ می‌دهد
- البته بعدها تاحدی این اشکالات در مدل میله‌ی معادل رفع شد. به عنوان مثال کلینگر و برترو (1976) [۲۸-۳۰] دیوار را با دو میله‌ی معادل مدل‌سازی کردند و اثرات کاهندگی سختی را در نظر

گرفتند. پولیاکف (1956) [۳۱] تنش‌های نرمال و برشی در وسط پانل دیوار را با استفاده از روش حساب تغیرات مطالعه کرد و با مقایسه نتایج آزمایشگاهی و عددی روشی را برای تخمین تحلیلی نیرویی که باعث ترک قطری می‌شود ارائه کرد.

هولمز (1961) [۳۲ و ۳۳] برای اولین بار رابطه‌ای برای میله‌ی قطری معادل ارائه کرد. او فرض کرد که پهنه‌ای میله‌ی معادل برابر است با یک-سوم طول قطر. از آن به بعد مطالعات زیادی برای تعیین پهنه‌ای میله‌ی معادل انجام گرفت.

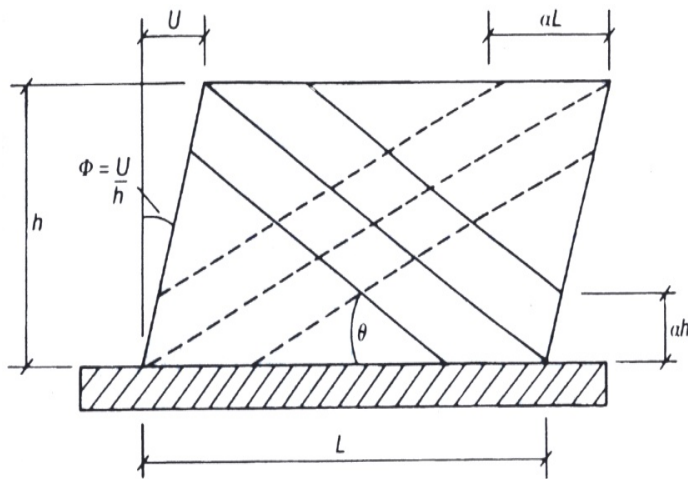
استافورد اسمیت (Stafford Smith, 1966, 1968) [۳۷-۳۴] مشاهده کرد که میله‌ی قطری معادل دارای ساده سازی بسیار زیادی است و باید اصلاحاتی برای پهنه‌ای معادل آن صورت گیرد. او با استفاده از ایده‌ی تیر در بستر ارتجاعی فرض کرد که توزیع نیروی اندرکنش بین قاب و دیوار به صورت مثلثی است (شکل ۱-۲۶). این ایده دارای دقت بسیار بالایی است و هنوز هم مورد استفاده قرار می‌گیرد. بر اساس طول تماس دیوار با قاب پیشنهادات دیگری برای تعیین پهنه‌ای معادل عضو قطری توسط ماینستن (Mainstone, 1971) [۳۸] و کادیر (Kadir, 1971) [۳۹] ارائه شد.



شکل ۱-۲۶ بارگذاری قطری در سیستم قاب و دیوار

کلینگر و برترو (Klinger and Bertero, 1976) اولین عضو قطری با رفتار چرخه‌ای که قادر بود رفتار کاهندگی سختی را در مدل سازی لحاظ کند پیشنهاد دادند. کریسوستمو (Chrysostomou, 1991) [۴۰] رفتار سیستم قاب و دیوار پرکننده را تحت

بارگذاری زلزله با در نظر گرفتن اثرات کاهندگی سختی و زوال مقاومت دیوار بررسی کرد. او دیوار را در هر جهت قطری با سه میله مطابق شکل ۲۷-۱ مدل سازی کرد. طول  $\alpha L$  برابر طول مفصل پلاستیک در تیر یا ستون است. در هر زلزله در تحلیل فقط ۳ عدد از این شش میله فعال هستند. این عضوها فقط به صورت فشاری عمل می‌کنند.



شکل ۲۷-۱ مدل دارای شش میله

همچنین پهنهای مؤثر بادبند معادل دیوار پرکننده که توسط محققین مختلف پیشنهاد شده شدیداً دارای پراکندگی است و بین ۰.۳۵٪ تا ۱۰٪ در تغییر است. در جد. ۱-۲ روابط مختلف برای پهنهای مؤثر بادبند معادل دیوار پرکننده آجری و پیشنهاد دکتر تابش پور در دستنامه ۱۸ در صفحه‌ی ۶۵ نیز نشان داده شده است [۱].

جدول ۲-۱ روابط مختلف برای پهنهای مؤثر بادیند معادل دیوار پرکننده آجری [۱]

$b_w, d_w = 500 \text{ cm}$	$h\lambda$	$b_w$ پهنهای مؤثر	محقق
170	-	$[0.33]d_w$	[۲۶] هولمز (۱۹۶۱)
50	5	$[0.16(\lambda h)^{-0.3}]d_w$	[۳۲] ماینستون (۱۹۷۱)
45	5	$[0.175(\lambda h)^{-0.4}]d_w$	[۲۳] کلینگر و برترو (۱۹۶۹)
90	5	$[0.95(\lambda h)^{-0.5} \cos\theta]h_w$	لیاو و کوان [۱۱] (۱۹۸۴)
125	-	$[0.25]d_w$	پاولی و پریستلی
80 ترک خورده ترک نخورده 115	5	منحنی	دکانینی و فانتین (۱۹۸۶)
100	-	$[0.2]d_w$	حد بالا (اثرات منفی)
50	-	$[0.1]d_w$	حد پایین (اثرات مثبت)

$$\theta = \tan^{-1}\left(\frac{h}{l}\right)$$

$$\lambda = \sqrt[4]{\frac{E_m t_w \sin(2\theta)}{4E_c I_c h_w}}$$

### ۱-۳-۳-۱- مدول یانگ مصالح بنایی

یک نکته مهم در خصوص مدول یانگ مصالح بنایی پراکندگی مقادیر حاصل از روابط ارائه شده توسط محققین مختلف است. این امر به ماهیت رفتار مصالح بنایی مربوط است. در جدول ۳-۱ روابط پیشنهادی توسط برخی از محققین و مقدار مدول یانگ برای مقاومت فشاری ۱۵ کیلو گرم بر سانتی متر مربع ارائه شده است [۱].

جدول ۱-۳ روابط مختلف برای مدول یانگ دیوار آجری

1100	$E_m = 750 f_m$	ساهلین (۱۹۷۱)
1100	$E_m = 750 f_m$	پاولی و پریستلی (۱۹۹۲)
7500 (min)	$E_m = 500 f_m$	سانبار تولومه (۱۹۹۰)
16000	$E_m = 1180 f_m$	سینهها و پدرشچی (۱۹۸۳)
25000 (max)	$E_m = 2116 f_m$	هندری (۱۹۹۰)
15000	$E_m = 1000 f_m$	برخی دیگر از محققین
12000	$E_m = 800 f_m$	اثرات منفی (طبقه‌ی نرم، طبقه‌ی ضعیف، پیچش)
9000	$E_m = 600 f_m$	اثرات مثبت

#### ۴-۱- ملاحظات آیین‌نامه‌ای مربوط به اثر دیوار پرکننده آجری

در این فصل به طور مختصر به بندهایی از آیین‌نامه ۲۸۰۰ [۴۱] که به اثر دیوار پرکننده آجری مربوط است، پرداخته می‌شود. توجه شود که اثر دیوار پرکننده آجری بر بخش عظیمی از آیین‌نامه سایه افکنده است و بدون در نظر گرفتن اثر آن برخی از طرح‌ها به طور ناخواسته دست بالا یا دست پایین می‌شوند [۷].

این بندها عبارت‌اند از:

۱-۵-۳ و ۶-۵-۱ و ۷-۵-۱ و ۱-۸-۱ و ۲-۱-۸-۱ و ۴-۱-۲ و ۶-۳-۲ و ۸-۳-۲ و ۹-۸-۳-۲ و ۲-۱۰-۳-۲ و ۲-۴-۲ و ۳-۴-۳ و ۵-۲ و ۸-۲ و ۱۰-۲

در اینجا به توضیح بعضی از این بندها می‌پردازیم. (توضیح کامل بندها در دستنامه ۲۰ موجود می‌باشد.)

#### ۱-۴-۱- بند "۲-۱-۸-۱" آیین‌نامه ۲۸۰۰: منظم بودن در ارتفاع

**الف-** توزیع جرم در ارتفاع ساختمان، تقریباً یکنواخت باشد به طوری که جرم هیچ طبقه‌ای، به استثنای بام و خر پشتی بام نسبت به جرم طبقه زیر خود بیشتر از ۵۰ درصد تغییر نداشته باشد.

ب- سختی جانبی در هیچ طبقه‌ای کمتر از ۷۰ درصد سختی جانبی طبقه روی خود و یا کمتر از ۸۰ درصد متوسط سختی سه طبقه روی خود نباشد. طبقه‌ای که سختی جانبی آن کمتر از محدوده عنوان شده در این بند باشد، انعطاف پذیر تلقی شده و طبقه (نرم) نامیده می‌شود.

پ- مقاومت جانبی هیچ طبقه‌ای کمتر از ۸۰ درصد مقاومت جانبی طبقه روی خود نباشد. مقاومت هر طبقه برابر با مجموع مقاومت جانبی کلیه اجزای مقاومی است که برش طبقه را در جهت مورد نظر تحمل می‌نمایند. طبقه‌ای که مقاومت جانبی آن کمتر از حدود عنوان شده در این بند باشد، ضعیف تلقی شده و طبقه (ضعیف) نامیده می‌شود.

**توضیح:** بدون اثر دیوار نمی‌توان نامنظمی در ارتفاع و پلان را کنترل کرد زیرا با اضافه کردن دیوار در یک طبقه، سختی و مقاومت آن طبقه تغییر خواهد کرد.

#### (۱-۴-۲-۳-۶-۲" بند آیین نامه ۲۸۰۰: زمان تناوب اصلی نوسان ( $T$ )

زمان تناوب اصلی نوسان با توجه به مشخصات ساختمان و ارتفاع آن از تراز پایه برابر است با:  
الف- برای ساختمان با سیستم قاب خمی

- ۱- در صورتی که دیوار پرکننده آجری برای حرکت قابها مانعی به وجود نیاورند:  
- در قاب‌های فولادی

$$T = 0.08H^{\frac{3}{4}} \quad (1-1)$$

- در قاب‌های بتونی

$$T = 0.07H^{\frac{3}{4}} \quad (2-1)$$

- ۲- در صورتی که دیوار پرکننده آجری برای حرکت قابها مانعی به وجود آورند:  
مقدار  $T$  را باید برابر با ۸۰ درصد مقادیر عنوان شده در بالا در نظر گرفت.

## ۱-۵- روش تحقیق

هدف اصلی این پایان‌نامه بررسی میزان تاثیر دیوار پرکننده آجری بر مقاومت، سختی، پریود و جابجایی نسبی سازه‌های بتنی و همچنین بررسی اندرکنش بین قاب بتنی و دیوار پرکننده آجری می‌باشد. این‌ها همان الزامات تعیین ضریب رفتار سازه دارای دیوار پرکننده می‌باشند.

در مدل‌سازی، دیوار را با میله‌ی فشاری معادل، مدل‌سازی می‌کنیم و اثر آن را روی مقاومت، سختی، پریود و جابجایی نسبی سازه‌های بتنی بررسی می‌کنیم تا نوع تحلیل مورد نیاز را بیابیم سپس با استفاده از تحلیل‌های استاتیکی خطی و غیرخطی در نرم افزارهای SAP2000 [۴۲] و OpenSees [۴۳] مدل‌سازی چند سازه را انجام می‌دهیم و با مقایسه نتایج حاصل از تحلیل‌ها راهکارهایی ارائه می‌دهیم.

در شکل ۱-۲۸ اهداف این تحقیق به صورت شماتیک در یک چارت آورده شده است.



## فصل ۲

# معیارهای سنجش رفتار لرزه‌ای سازه

## ۱-۲ - مقدمه

بدلیل پیچیده بودن ماهیت زلزله و رفتار لرزمای سازه‌ها در برابر این پدیده طبیعی، اصولاً معیارهای سنجش رفتار لرزمای سیستم‌های سازه‌ای بیشتر کیفی هستند. ولی برای ارزیابی و بیان کمی مناسب بودن رفتار یک سیستم و اطمینان از ایمن بودن آن در هنگام زلزله، پارامترهای مختلفی معرفی شده‌اند که به نام پارامترهای لرزمای شناخته می‌شوند. عموماً برای بیان مقبولیت رفتار یک سیستم از این پارامترها استفاده می‌شود و مقدار نیروی زلزله ارتباط خوبی با این پارامترها دارد. در این فصل برخی از مهمترین این پارامترها معرفی می‌شود.

امروزه در اکثر کارهای تحقیقاتی و آیین‌نامه‌ها استفاده از عملکرد غیرارتجاعی سازه‌ها به منظور جذب قسمتی از انرژی ناشی از زلزله مجاز شمرده شده است زیرا طراحی ارتجاعی در مقابل زلزله‌های شدید غیراقتصادی می‌باشد و علاوه بر آن ابعاد بزرگ اعضای (تیرها و ستون‌ها) سازه‌ها، عملکرد معماری در طبقات پایین را مختل می‌سازد. برای در نظر گرفتن عملکرد غیر ارتجاعی سازه‌ها به تحلیل دینامیکی غیرارتجاعی است، که بسیار پیچیده و وقت‌گیر می‌باشد. در بسیاری از مقالات تحقیقاتی و همچنین آیین‌نامه‌های طرح لرزمای به منظور پرهیز از تحلیل دینامیکی غیرارتجاعی روشی وجود دارد که به کمک آن می‌توان بدون انجام تحلیل غیرارتجاعی، عملکرد غیرارتجاعی سازه‌ها را در تحلیل و طراحی سازه‌ها اعمال نمود و آن استفاده از ضربیب به نام ضربیب رفتار یا ضربیب کاهش نیرو می‌باشد که با  $R$  نشان داده می‌شود.

## ۲-۲ - تاریخچه

تا چند دهه قبل مفهومی به نام‌های کلی "ضریب رفتار"، "ضریب اصلاح پاسخ"، "ضریب کاهش نیرو"، و یا "ضریب کاهش مقاومت سازه" در تاریخچه سازه‌ها وجود نداشت و برای طراحی لرزمای ساختمان‌ها این گونه عمل می‌شد که درصدی از وزن ساختمان به صورت بار افقی معادل بار

زلزله به ساختمان اثر داده می‌شد و ساختمان برای آن طراحی می‌شد. به عبارت دیگر نیروی معادل افقی به صورت  $V = C_1 W$  محاسبه می‌شد، که در آن  $W$  وزن ساختمان و  $C_1$  ضریب زلزله است و در دهه‌های اخیر برای تعديل نیروی برشی پایه و در نظر گرفتن پارامترهای موثر بر نیروی زلزله ضرایب دیگری به رابطه فوق اضافه شد. این ضرایب به طور مستقیم در ضریب  $C_1$  ضرب و تعديل صورت می‌گرفت. ( $V = ZIKC_0 SW = KC_1 W$ ) دستیابی به این ضریب برای سیستم‌های گوناگون سازه‌ای غالب بر اساس قضاؤت و درک مهندسی تهیه کنندگان آئین‌نامه‌ها و بر پایه مشاهدات تجربی از رفتار مشترک سیستم‌های سازه‌ای در طی زمین لرزه‌ها (که گاهی تطابق کامل با واقعیت نداشت) صورت می‌گرفت. مفهوم اخیر مورد استفاده بود تا اینکه  $K$  جای خود را به ضریب رفتار  $R$  داد. در واقع همه مسائل در مورد  $R$  با تکمیل پروژه انجمن فن آوری کاربردی امریکا (ATC 3-06, 1978) آغاز شد.

وجود گسل بزرگ سان‌اندریاس به موازات ساحل غربی آمریکا که مسبب زلزله‌های مخرب فراوانی در قرن حاضر بوده است موجب توجه روزافزون آمریکائیان به ویژه اهالی کالیفرنیا به مساله زلزله شده است. در دهه هفتاد، انجمن مهندسان ساختمان کالیفرنیا (SEAOC)<sup>1</sup> کمیته‌ای به نام ATC<sup>2</sup> را مأمور بازنگری آئین‌نامه زلزله و تهیه پیش‌نویس یک آئین‌نامه جدید نمود. حاصل تلاش این کمیته در سال ۱۹۷۸ منتشر شد. در این اثر برای اولین بار ایده‌های جدیدی چون نیروی ارجاعی زلزله، جابجایی غیرارجاعی زلزله و ضریب اصلاح پاسخ مطرح شده بود. ضوابط ATC خیلی زود مورد اقتباس سایر کشورها قرار گرفت. در آئین‌نامه اروپا<sup>3</sup> ضریب اصلاح پاسخ با پارامتر  $q$  ظاهر شد و در ایران آئین‌نامه با اقتباس از ATC جانشین بخش زلزله آئین‌نامه قدیمی ۵۱۹ شد. در خود ایالات متحده، آئین‌نامه UBC<sup>4</sup> تا سال ۱۹۸۵ میل چندانی به تغییر بنیادی ضوابط از خود نشان نداد لیکن در سال ۱۹۸۸ ضوابط جدید خود را با اقتباس از ATC منتشر ساخت که به ضوابط سیاک شبیه

---

1- SEAOC (*Structural Engineers Association of California*).

2- ATC (*Applied Technology Council*)

1- *Euro code -8*

2- UBC (*Uniform Building Code*)

است. از سوی دیگر برنامه ملی کاهش خطر زلزله<sup>۱</sup> در آمریکا ضوابطی را در سال ۱۹۸۵<sup>۲</sup> منتشر نمود که به ضوابط ATC شباhtت بسیار دارد. آینین نامه های فعلی امریکا همگی براساس پیشنهاد ATC ایده نیروی ارجاعی زلزله و ضربی رفتار را پذیرفته اند و به دو گروه عمدۀ تقسیم می شوند:

۱- ضوابط ATC و ۲- ضوابط NEHRP-85 و UBC-88 SEAOC

طی مراحل اولیه پژوهه ATC پیشنهادهایی برای ایجاد دو روش طرح لرزه‌ای سازه‌ها در دو سطح طراحی حدی و طراحی بهره‌برداری مطرح شد. چون این راه حل‌ها برای حرفه مهندسی دشوار به نظر می‌رسید، مقرر شد طراحی در یک مرحله و به صورت استاتیکی خطی انجام شود، با این حال تغییراتی نیز از جمله پذیرش روش طراحی بر اساس مقاومت نهایی به جای تنش مجاز و نیز جایگزینی  $K$  به وسیله  $R$  به وجود آمد. اما برخی از آئین نامه‌ها همچنان طراحی بر مبنای تنش مجاز  $R_W$  را اساس کار خود قرار داده و به این ترتیب ضربی رفتار جدید  $R_W$  بر مبنای تنش مجاز به جای  $R$  بر مبنای تنش نهایی (تسليیم) در آنها پدید آمد. در بخش‌های بعدی این فصل مفاهیم  $R$  و  $R_W$  به شکل مفصل‌تری مورد ارزیابی قرار خواهند گرفت. لازم به یادآوری است که در تغییر ضربی  $K$  به  $R_W$  مقادیر اولیه‌ای که برای  $R_W$  پیشنهاد شده برای ضربی ( $R$  و  $R_W$ ) نیز تنها بر تجارت محدود و قضاوت مهندسی استوار بود. قابل ذکر است که تا حدود دو دهه پیش هیچ روش تحلیلی یا عددی جهت محاسبه ضربی رفتار ساختمان‌ها که نمادی از یک واقعیت فیزیکی باشد ارائه نشده بود. هر چند محققین تا حدی به عوامل موثر در افزایش یا کاهش مقدار ضربی در انواع سیستم‌های سازه‌ای آگاهی داشته و حتی روش‌هایی نیز جهت تخمین مقدار تقریبی آن برای انواع سیستم‌های ساختمانی در اختیار داشتنند، لیکن در سال‌های اخیر کوشش‌هایی جهت بدست آوردن دقیق‌تر مقدار تحلیلی این ضربی صورت گرفته است که مهمترین هدف در این کارهای پژوهشی ارائه روابطی است که برای بدست آوردن و تخمین ضربی رفتار از دقت و سهولت کافی برخوردار باشند.

3- NEHRP (National Earthquake Hazard Reduction Program)

4- NERP -85

اولین تلاش‌هایی که پیرامون ابداع روش محاسبه ضریب رفتار به عمل آمد مربوط به کارهای نیومارک از دانشگاه ایلینوی می‌باشد. وی در مقاله‌ای که در سال ۱۹۸۲ همراه با هال منتشر کرد روشی جهت ساختن طیف غیرخطی از روی طیف خطی برای سازه‌های یک درجه آزادی ارائه کرد. هر چند این روش برای سازه‌های با یک درجه آزادی تدوین شده بود اما گام بزرگی در راستای محاسبه ضریب رفتار ساختمان‌ها به حساب می‌آمد. از اواخر دهه هشتاد میلادی دو گروه از محققان در آمریکا و اروپا به طور جداگانه به تحقیق در مورد ضریب رفتار، عوامل موثر بر آن و روش‌های محاسبه آن پرداختند. دو تن از شاخص‌ترین افراد، پروفسور فریمن از محققان ارشد شورای فن‌آوری کاربردی آمریکا و پروفسور یوانگ از اعضای برجسته انجمن مهندسین ساختمان آمریکا و استاد دانشگاه نورث امیتون هستند که هر یک روشی را جهت محاسبه مقدار  $R$  ابداع نمودند که این دو روش تحت عنوان روش‌های کاربردی در این فصل مورد بحث قرار خواهند گرفت. در بین محققان اروپائی پروفسور مازولانی استاد برجسته دانشگاه ناپل و دیگر محققان، همچون کوسنزا، گمو، جیانینی و کاتو تلاش‌های زیادی در راستای ابداع روش‌های تحلیلی مختلف جهت محاسبه ضریب رفتار ساختمان به انجام رسانده‌اند. همچنین پروفسور آکیاها استاد دانشگاه توکیو نیز در تکمیل روش‌های انرژی گام‌های بلندی را برداشته است. سه روشی که تحت عنوان روش‌های تحلیلی در این فصل مورد بحث قرار خواهند گرفت از این مراجع اقتباس شده است.

### ۳-۲- روش‌های محاسبه ضریب رفتار

اساس تمامی روش‌های محاسبه ضریب رفتار یکسان است و آن عبارت است از محاسبه میزان نیرو یا انرژی است که یک قاب از زمانی که اولین مفصل پلاستیک در آن تشکیل می‌شود تا زمانی که به مکانیزم خرایی کامل می‌رسد، تحمل یا جذب می‌نماید. روش‌هایی را که در مقالات و منابع موجود جهت محاسبه  $R$  وجود دارد، می‌توان به دو گروه کلی تقسیم نمود:

۱) روش‌های محققان آمریکایی

۲) روش‌های محققان اروپایی

روش‌های امریکایی عموماً از مبانی تئوری ساده‌تری برخوردار بوده و در عین حال کاربردی‌تر هستند. در حالی که روش‌های اروپایی دارای مبانی تئوری و تحلیلی پیچیده‌ای بوده و استفاده از آنها در عمل و برای قاب‌های واقعی ساختمان مشکل و در بعضی موارد غیر عملی است. در واقع می‌توان روش‌های محققان امریکایی را روش‌های کاربردی و روش‌های محققان اروپایی را روش‌های تحلیلی نامید. در ذیل روش‌های دو گروه مورد بحث قرار گرفته است.

روش محققان امریکایی (روش‌های کاربردی) شامل ۳ روش زیر می‌باشد:

۱) روش‌های پیشنهادی (ATC-19)

۲) روش ضریب شکل‌پذیری

۳) روش طیف ظرفیت

و همچنین روش محققان اروپایی (روش‌های تحلیلی) شامل ۳ روش زیر می‌باشد:

۱) روش‌های تئوری ضریب شکل‌پذیری

۲) روش‌های پاسخ دینامیکی غیرالاستیک سیستم‌های یک درجه آزادی

۳) روش‌های انرژی

### ۱-۳-۲- روش‌های کاربردی:

در این گروه سه روش شاخص‌تر از بقیه بوده و دیگر روش‌ها نیز عمدهاً شبیه به این سه روش و احیاناً دارای کمی اختلاف هستند. یکی از این روش‌ها روش پیشنهادی (ATC-19) می‌باشد [۴۴]. و روش دوم که به روش ضریب شکل‌پذیری مشهور است دست آورده تحقیقات پروفسور یوانگ می‌باشد [۴۵]. و روش سوم نیز که به روش طیف ظرفیت معروف است، نتایج تحقیقات فریمن می‌باشد که در ذیل به معرفی کامل سه روش پرداخته شده است.

تفسیر قواعد NEHRP ضریب  $R$  را به عنوان یک ضریب اصلاح (کاهش) پاسخ برای به حساب

آوردن هر دو عامل میرایی و شکل‌پذیری ذاتی در یک سیستم سازه‌ای در تغییرمکان‌های بزرگ به منظور رسیدن به حداقل تغییرمکان سیستم تعریف می‌کند.

به سطح کارایی مورد بررسی، بستگی دارند. در این بخش، فقط کارایی ایمنی جانی (اطمینان از زنده ماندن) مورد بررسی قرار گرفته است.

### ۲-۱-۱-۳-۲- تأثیر ضریب $R$ روی طراحی:

اثر ضریب  $R$  روی طراحی لرزه‌ای ساختمان‌ها با مقایسه معادلات برش پایه طراحی برای پاسخ غیرکشسان (معادله ۲-۱) و معادله برش پایه برای پاسخ کشسان (معادله ۲-۲) به وضوح مشاهده می‌شود.

$$V = \frac{2.5A_a}{R}W \quad (1-1)$$

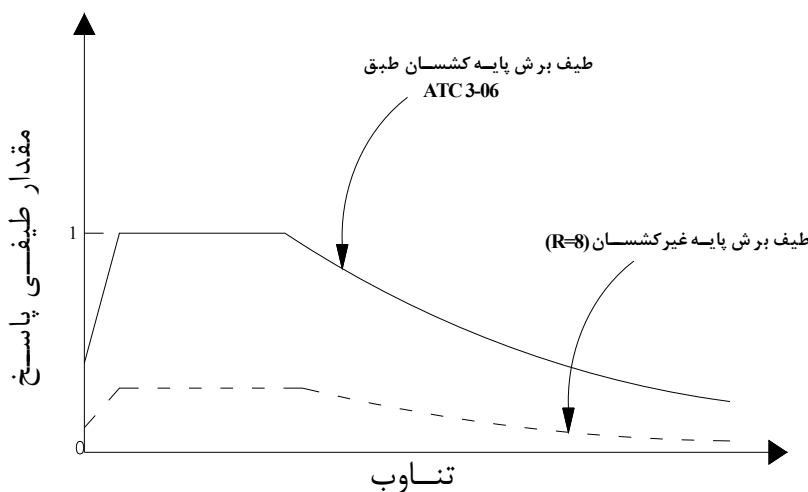
$$V_e = S_e \circ W \quad (\text{F-2})$$

در معادله (۱-۲)،  $V$  نیروی برش پایه لرزه‌ای،  $A_a$  حداکثر شتاب موثر مربوط به تکان زمین طراحی (که به عنوان تابعی از  $g$  بیان می‌شود)،  $R$  ضریب اصلاح پاسخ و  $W$  وزن موثر نهایی می‌باشند. همچنین در معادله (۲-۲)،  $S_{e,5}$  مقدار طیفی پاسخ کشسان شبه شتاب با میرایی ۵٪ است که در پریود اصلی ساختمان محاسبه شده است و  $W$  وزن موثر است که برابر است با حاصلضرب جرم در  $g$  یعنی  $mg$ . باید دقت شود که  $W$  وزن موثر نهایی است و وزن موثر در مود اصلی نمی‌باشد.

بنابراین اگر ضریب اصلاح پاسخ ( $R$ ) در معادله (۲-۱) برابر با واحد باشد، معادلات (۱-۲) و (۲-۲) با مقدار طیفی پاسخ کشسان در معادله (۲-۲) معادل است با قسمت  $2.5A_a$  در معادله (۱-۲)،

هم یکسان هستند.

در عمل، برش پایه طراحی (برای پاسخ غیرکشسان) از تقسیم برش پایه برای پاسخ کشسان بر ضریب اصلاح پاسخ  $R$  محاسبه می‌شود، که این ضریب اصلاح پاسخ عموماً بین ۴ تا ۸ تغییر می‌کند. تفاوت اساسی بین مقادیر طیفی برش پایه کشسان و طراحی به وضوح در شکل ۱-۲ مشاهده می‌شود.



شکل ۱-۲ استفاده از ضرایب  $R$  به منظور کاهش مطلوب طیف کشسان به سطح نیروی طراحی [۴۴].

### ۱-۱-۳-۲- پاسخ نیرو - تغییر مکان سازه‌ها:

یک ارتباط کلی نیرو - تغییر مکان برای یک قاب سازه‌ای در شکل ۲-۲ نشان داده شده است. این رابطه پاسخ قاب سازه‌ای را برای افزایش یکنواخت تغییر مکان‌ها تشریح می‌کند. برای هدف طراحی، این رابطه غیر خطی اغلب توسط یک رابطه دو خطی ایده‌آل تقریب زده می‌شود. دو نوع تقریب دو خطی بطور گسترده برای برآورد نیروها و تغییر مکان‌های گسیختگی می‌توانند استفاده شوند که این دو روش عموماً نتایج مشابهی برای اکثر سیستم‌های قابی شکل پذیر بدست می‌دهند.

اولین تقریب توسعه یافته برای مشخصه‌های رابطه بار - تغییر مکان مربوط به عناصر بتونی مسلح (پائولی و پریستلی، ۱۹۹۲) [۴۶]، یک مقاومت گسیختگی برای قاب ( $V_y$ ) فرض می‌کند. سختی کشسان از نقطه تقاطع منحنی نیرو - تغییر مکان واقعی با نیروی مطابق با ( $0.75V_y$ ) به دست می‌آید.

تخمین سختی کشسان ( $K$ ) در شکل ۲-۲ الف نشان داده شده است.

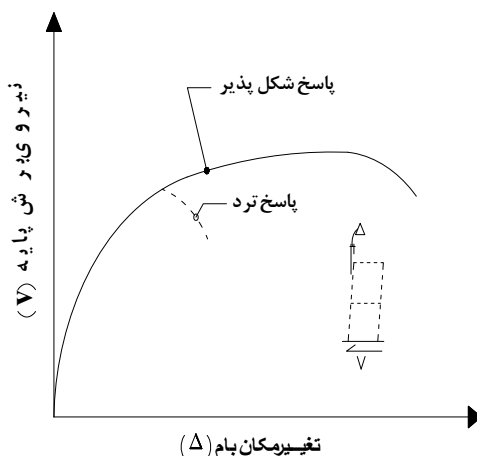
روش دوم استفاده شده برای تقریب رابطه نیرو - تغییرمکان یک قاب، عموماً روش انرژی معادل می‌باشد. این روش فرض می‌کند که سطح زیر منحنی و سطح زیر خط تقریب با هم برابرند. این تقریب دوخطی در شکل ۲-۳-ب نشان داده شده است. منحنی غیرخطی که در شکل ۲-۳ مشاهده شده توسط موارد زیر تشریح می‌شود:

نیروی گسیختگی یا جاری شدن ( $V_y$ )، تغییرمکان گسیختگی ( $\Delta_y$ )، نیروی حداکثر ( $V_0$ ،  $\Delta_m$ )، تغییرمکان مطابق با حالت حدی ( $\Delta_u$ )، تغییرمکان درست در لحظه قبل از شکست و خرابی ( $\Delta_s$ )، تغییرمکان‌های  $\Delta_m$  و  $\Delta_u$  در سیستم‌های قابی شکل‌پذیر از تغییرمکان گسیختگی خیلی بیشترند. سختی کشسان ( $k_0$ ) از تقسیم نیروی گسیختگی بر تغییرمکان گسیختگی بدست می‌آید. سختی در ناحیه بعد از گسیختگی ( $k_1$ ) بطور عمومی به صورت ضریبی از سختی کشسان ( $k_0$ )  $\alpha$  مطابق زیر

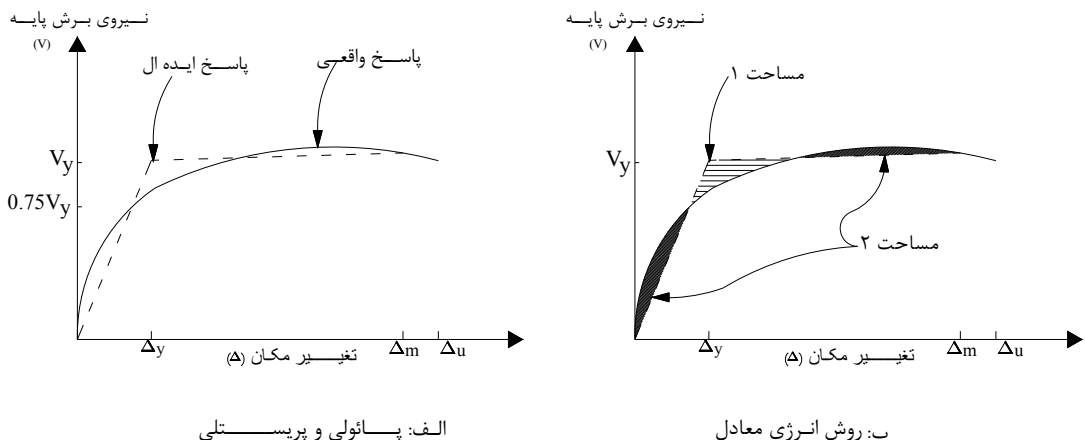
تعریف می‌شود:

$$k_1 = \alpha k_0 = \frac{V_0 - V_y}{\Delta_m - \Delta_y} \quad (3-2)$$

که تمام پارامترهای این معادله در فوق تعریف شده‌اند.



شکل ۲-۲ رابطه برش پایه در مقابل تغییر مکان بام [۴۴]



شکل ۳-۲ تقریب های دو خطی رابطه نیرو - تغییر مکان [۴۴]

شکل پذیری با توجه به توانایی یک قاب سازه‌ای در محدوده بعد از حد کشسان برای نیروی قابل توجه مقاوم و جذب انرژی توسط رفتار غیرارتجاعی، تشکیل می‌شود. شکل پذیری تغییرمکانی در حد فاصل بین  $\Delta_y$  و  $\Delta_m$  تعریف می‌شود که حد اکثر شکل پذیری تغییرمکانی اختلاف بین  $\Delta_y$  و  $\Delta_m$  می‌باشد و نسبت شکل پذیری تغییرمکانی عموماً به صورت نسبت  $\Delta_m$  به  $\Delta_y$  تعریف می‌شود:

$$\mu_\Delta = \frac{\Delta_m}{\Delta_y} \quad (4-2)$$

که  $\Delta_m$  همیشه از  $\Delta_y$  بزرگتر است. روابط نیرو - تغییرمکان یک سازه می‌توانند بصورت آزمایشی یا تحلیلی برآورد شوند. نرمافزار تحلیل اجزاء محدود غیرخطی یک ابزار تحلیلی موثر در هزینه‌ها می‌باشد که توسط حرفه‌ای‌ها در طراحی برای برآورد روابط نیرو - تغییرمکان سازه‌ها استفاده می‌شود.

### ۴-۱-۳-۲- اجزای کلیدی $R$ :

تحقیقات گسترده‌تری پس از طرح اولین فرمول  $R$  انجام شد. مطالعات اخیر، در راهنمای  $ATC-34$  یک فرمول جدید برای  $R$  ارائه کرد که در آن  $R$  به عنوان حاصل ضرب سه ضریب به

صورت زیر بیان شده است:

$$R = R_s R_\mu R_R \quad (5-2)$$

که در آن:  $R_s$  ضریب مقاومت وابسته به پریود و  $R_\mu$  ضریب شکل‌پذیری وابسته به پریود،  $R_R$  ضریب قیود اضافی (درجه افزونگی) می‌باشد. این فرمول با در نظر گرفتن ضریب قید اضافی، شبیه به فرمول طرح شده توسط محققان برکلی و فریمن ۱۹۹۰ است. ضریب قید اضافی، به عنوان قسمتی از پروژه ATC-34 توسعه یافت و در گزارش ۱۹-ATC برای اولین بار طرح شد. تابع این ضریب برای کمیت دادن به افزایش درجه اطمینان در سیستم‌های لرزه‌ای است که از چندین قاب قائم مقاوم برخوردارند. یکی از مقاصد گزارش ۱۹-ATC این بود که خواننده با استفاده از اطلاعات مربوط به ضرایب کلیدی، تأثیر مقادیر عددی اختصاص یافته به  $R$  در آمریکا را به دست آورد. فرمول  $R$  در معادله (۵-۲) یک چارچوب برای ارزیابی نسبی این پارامترها فراهم می‌کند. هر ارزیابی از اجزای کلیدی  $R$  باید این حقیقت را نشان دهد که اجزای  $R$  به یکدیگر وابسته نیستند. فرمول طرح شده اثرات نامنظمی در پلان و ارتفاع سیستم‌های قابی را در نظر نمی‌گیرد. نامنظمی و بی‌قاعدگی می‌تواند توسط کاهش ضریب اصلاح پاسخ به وسیله یک ضریب نامنظمی مشخص شود شبیه به آنچه در طراحی لرزه‌ای سطح II در BSL ژاپن ۱۹۸۱ مطرح شده است.

### ۱-۳-۲- ضریب مقاومت: $R_s$

آنچه در گزارش ۱۹-ATC بیان شده است این است که جهت یافتن مقاومت یک سازه یا قاب سازه‌ای از تحلیل استاتیکی غیرخطی (تحلیل بار افزون) می‌توان استفاده نمود. روش به کار برده شده جهت برآوردن مقاومت یک سازه نیاز به انتخاب یک حالت حدی پاسخ دارد. پاسخ‌های حدی کلی شامل حداقل تغییر مکان بین طبقه‌ای و حداقل چرخش مفاصل پلاستیک می‌باشند. مراحل این روش به ترتیب زیر است:

۱- با استفاده از تحلیل‌های استاتیکی غیرخطی، رابطه برش پایه - تغییرمکان بام را برای یک ساختمان بدست می‌آوریم.

۲- در تغییرمکان بام مطابق با حالت حدی پاسخ، نیروی برش پایه  $V_0$  در ساختمان محاسبه شود. مقاومت ذخیره شده ساختمان متناسب است با اختلاف بین برش پایه طراحی  $V_0$  و  $V_d$

۳- ضریب مقاومت با استفاده از فرمول زیر محاسبه می‌شود:

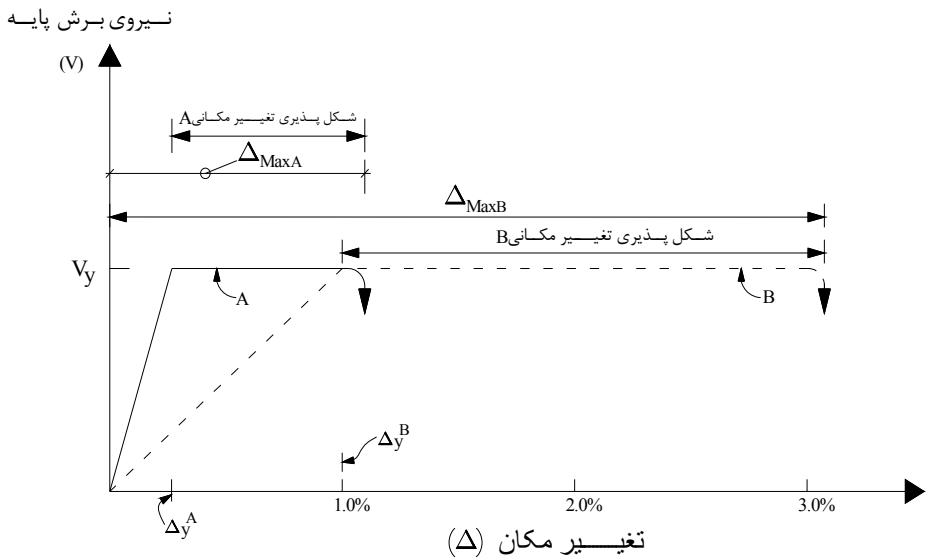
$$R_s = \frac{V_0}{V_d} \quad (6-2)$$

این روش ارزیابی ضریب مقاومت، توسط برخی از محققین استفاده شده است.

#### ۲-۴-۱-۱-۳-۲- ضریب شکل‌پذیری: $R_\mu$

پارامترهای پاسخ لرزه‌ای ظرفیت تغییرمکانی، شکل‌پذیری و نسبت شکل‌پذیری بطور نزدیکی با هم در ارتباط هستند، اما غالباً این پارامترها گیج کننده‌اند. به عنوان مثال، یک قاب با ظرفیت تغییرمکانی بزرگ، ممکن است شکل‌پذیری و نسبت شکل‌پذیری کوچکی داشته باشد، و یک قاب با ظرفیت تغییرمکانی کوچک ممکن است شکل‌پذیری کوچک ولی نسبت شکل‌پذیری بزرگی داشته باشد.

روابط نیرو - تغییرمکان برای دو قاب سازه‌ای یک طبقه نشان داده شده در شکل ۴-۲ را ملاحظه کنید. روابط نیرو - تغییر مکان به صورت کشسان - مومسان ایده‌آل‌سازی می‌شوند. نسبت‌های تغییرمکان تسلیم فرض می‌شوند که برای قاب  $A$ ،  $2/0$  درصد و برای قاب  $B$ ،  $1$  درصد باشند، و حداقل نسبت‌های تغییرمکان بین طبقه‌ای برای قاب  $A$ ،  $1/2$  درصد و برای قاب  $B$ ،  $3$  درصد فرض می‌شوند.



شکل ۴-۲ تعریف اصطلاحات برای دو قاب یک طبقه [۴۴]

پارامترهای کلیدی پاسخ لرزه‌ای در جدول ۱-۲ لیست شده‌اند. مقادیر پارامترهای پاسخ توسط جابجایی بین طبقه‌ای حدی  $1/5$  درصد محدود می‌شوند که این مقدار با مقدار حدی جابجایی داده شده در *UBC* سازگار است. مقادیر جابجایی در جدول ۱-۲ بصورت درصدی از ارتفاع طبقه بیان می‌شوند. این اطلاعات اهمیت تعریف پارامترهای پاسخ را با در نظر گرفتن حالتهای حدی ویژه روشن می‌کنند. با محدود کردن تغییرمکان‌ها به  $1/5$  درصد، قاب سخت‌تر (قاب A) شکل‌پذیرتر است و نسبت شکل‌پذیری بزرگتری از قاب انعطاف‌پذیرتر (قاب B) دارد. هرچند، اگر حالت حدی جابجایی از بین بود، قاب انعطاف‌پذیرتر اساساً شکل‌پذیری بیشتری (برابر با  $2$  درصد) از قاب سخت‌تر دارد.

نسبت‌های شکل‌پذیری  $\mu$  می‌توانند در سطوح سیستم، طبقه و عضو محاسبه شوند. در سطوح سیستم و طبقه، نسبت شکل‌پذیری بطور معمول در فرم نسبت شکل‌پذیری تغییرمکانی بیان می‌شود، در سطح عضو، نسبت شکل‌پذیری بازگو کننده نسبت شکل‌پذیری کرنشی، انحنایی و یا چرخشی آن می‌باشد. با توجه به مقوله مورد بحث آنچه از نسبت شکل‌پذیری در نظر داریم شکل‌پذیری تغییرمکانی است که در سازه‌های مورد بحث ارزیابی می‌شود.

این موضوع مشخص می‌کند که ضریب شکل‌پذیری یک اندازه از پاسخ غیرخطی سیستم قابی

کامل است نه اجزای سیستم قابی. با مشخص شدن نسبت شکل‌پذیری  $\mu$  طبق رابطه (۵-۲) هم‌اکنون بدنبال یافتن فرمولی برای محاسبه ضریب شکل‌پذیری و ایجاد یک رابطه بین شکل‌پذیری تغییرمکانی و ضریب شکل‌پذیری هستیم. ارائه فرمولی مناسب برای محاسبه ضریب شکل‌پذیری یکی از موضوعاتی بوده است که در سال‌های اخیر محققین مختلفی را بر آن داشته است تا تحقیقات زیادی را در این مقوله انجام دهند. از میان تحقیقات به عمل آمده، توصیه ۱۹-ATC مبتنی بر روابط گسترش یافته نیومارک - هال، کراوینکلر - نسار و میراندا - برتر و تشریح می‌شد.

جدول ۲-۱ پارامترهای پاسخ لرزه‌ای برای دو قاب یک طبقه مثال [۴۴]

پارامتر پاسخ	قاب A	قاب B
تغییر مکان تسلیم	0.2%	1.0%
ظرفیت تغییر مکانی	1.2%	1.5%
شکل‌پذیری تغییر مکانی	1.0%	0.5%
نسبت شکل‌پذیری تغییر مکانی	6	1.5

نیومارک و هال با توجه به زمان‌های تناوب اصلی سازه ( $T$ ) روابطی را برای یافتن ضریب شکل‌پذیری یک سازه یک درجه آزادی با رفتار کشسان - مومنسان به شکل زیر معرفی می‌کنند: [۴۷ و ۴۸] برای فرکанс‌های بیشتر از ۳۳ هرتز (پریودهای کمتر از  $3 \times 10^{-3}$  ثانیه):

$$R_\mu = 1 \quad T < 0.03_{sec} \quad (7-2)$$

برای فرکанс‌های بین ۲ هرتز و ۸ هرتز (پریودهای بین  $12 \times 10^{-3}$  و  $5 \times 10^{-3}$  ثانیه):

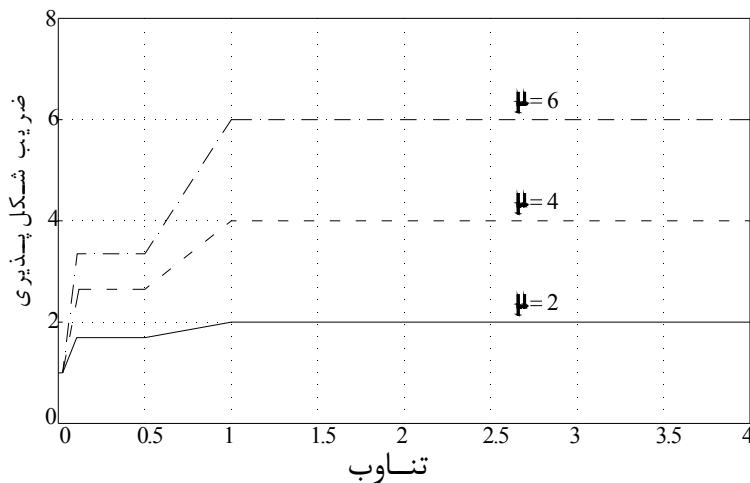
$$R_\mu = \sqrt{2\mu - 1} \quad 0.12 < T < 0.5_{sec} \quad (8-2)$$

برای فرکанс‌های کمتر از ۱ هرتز (پریودهای بزرگتر از ۱ ثانیه):

$$R_\mu = \mu \quad T > 1_{sec} \quad (9-2)$$

شکل ۵-۲ روابط نیومارک و هال را برای نسبت‌های شکل‌پذیری تغییرمکانی ۲، ۴ و ۶ به تصویر

می‌کشد. برآوردهای مربوط به  $R_\mu$  برای پریودهای بین 0.03 ثانیه تا 0.12 و همچنین بین 0.5 ثانیه تا 1 ثانیه با استفاده از درونیابی خطی بین مقادیر حدی داده شده توسط معادلات (۷-۲) و (۸-۲) و (۹-۲) بدست می‌آیند.



شکل ۲-۵ روابط  $R_\mu - T$  نیومارک و هال [۴۴]

کراوینکلر و نسار یک رابطه  $R_\mu - T$  را برای سیستم‌های یک درجه آزادی روی زمین‌های سنگی یا خاکی سخت گسترش دادند. [۴۳ و ۴۷] آنها از نتایج یک مطالعه استاتیکی بر روی ۱۵ زمین لرزه ثبت شده در غرب آمریکا با زلزله‌هایی در محدوده شدت ۷/۷ تا ۵/۷ استفاده کردند. میرایی فرض شده در این روابط برابر با میرایی بحرانی ۵٪ است. آنها رابطه‌ای را برای محاسبه ضریب شکل‌پذیری ارائه دادند که بر حسب مقادیر مختلف زمان تناوب سازه ( $T$ ) و شیب منحنی نیرو - تغییر مکان در قسمت ثانویه ( $\alpha$ ) تغییر می‌کند.

$$R_\mu = [c(\mu-1)+1]^{\frac{1}{c}} \quad (10-2)$$

$$c(T, \alpha) = \frac{T^a}{1+T^a} + \frac{b}{T} \quad (11-2)$$

پارامترهای  $b$  و  $a$  برای نسبتهای سخت‌شوندگی کرنشی متفاوت ( $\alpha$ ) به طریق زیر بدست می‌آیند:

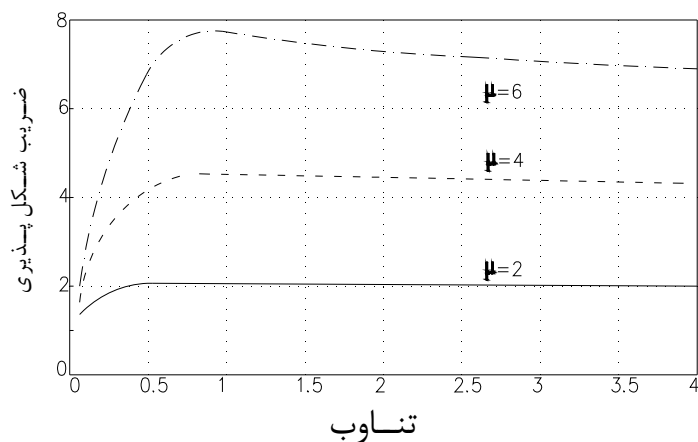
$$\alpha = 0\% : a = 1.00 \quad , \quad b = 0.42$$

$$\alpha = 2\% : a = 1.00 \quad , \quad b = 0.37$$

$$\alpha = 10\% : a = 1.00 \quad , \quad b = 0.29$$

توجه شود که  $\alpha = 0\%$  مطابق است با یک سیستم کشسان - مومسان.

برای مقادیر مختلف  $\alpha$  از درونیابی خطی استفاده می‌شود. روابط بین  $R_\mu$  و  $T$  برای نسبت‌های شکل پذیری تغییرمکانی ۲، ۴ و ۶ برای یک نسبت سخت شوندگی کرنشی ۱۰ درصد (۳) در شکل ۶-۲ نشان داده شده است.



شكل ٢-٦ روابط  $R_{\mu} - \mu$  كراوينكلر و نسار [٤٤]

میراندا و برترو در سال ۱۹۹۴ روابط  $T - \mu$ - <sub>$R$</sub>  گسترش یافته توسط تعدادی از محققین از جمله: نیومارک و هال (۱۹۸۲)، ریدل و نیومارک (۱۹۷۹) و کراونیکلر و نسار (۱۹۹۲) را خلاصه‌سازی کردند. [۴۶ و ۴۸] به علاوه معادلات عمومی  $T - \mu$ - <sub>$R$</sub>  را برای زمین‌های سنگی، رسوبی (آبرفتی) و خاکی نرم گسترش دادند. این روش نسبت به دو روش قبلی جدیدتر می‌باشد و طبق توصیه ATC-۱۹ در بین سه روش پیشنهادی از درجه اعتبار بالاتری پرخور دارد.

معادلات میراندا و برترو که در زیر نشان داده شده‌اند، با استفاده از ۱۲۴ زمین لرزه ثبت شده در محدوده وسیعی از شرایط خاک گسترش یافته‌ند. میرایی بحرانی ۵ درصد فرض شده است. فرمول

محاسبه ضریب شکل‌پذیری بر حسب زمان تناوب سازه و محل قرارگیری ساختمان مورد نظر به صورت زیر است:

$$R_\mu = \frac{\mu - 1}{\Phi} + 1 \geq 1 \quad (12-2)$$

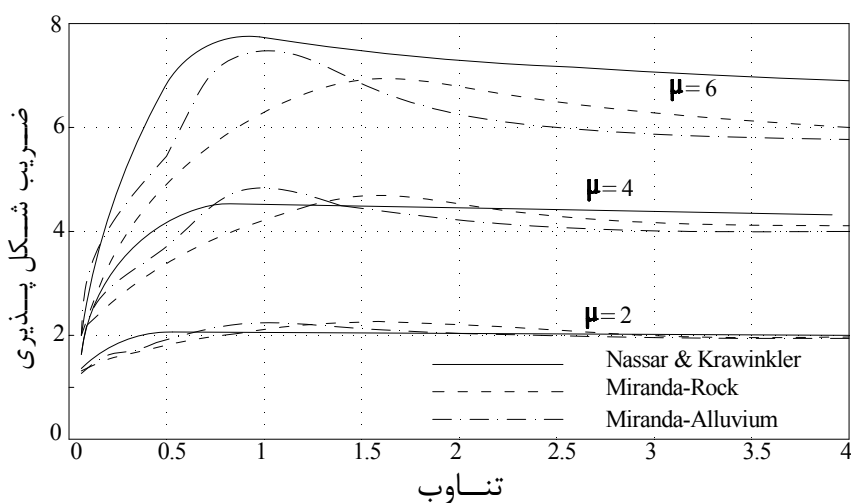
برای زمینهای سنگی  $\Phi = 1 + \frac{1}{10T - \mu T} - \frac{1}{2T} \exp \left[ -\frac{2}{3} \left( \ln T - \frac{3}{5} \right)^2 \right] \quad (13-2)$

برای زمینهای رسوبی  $\Phi = 1 + \frac{1}{12T - \mu T} - \frac{2}{5T} \exp \left[ -2 \left( \ln T - \frac{1}{5} \right)^2 \right] \quad (14-2)$

برای زمینهای با خاک نرم  $\Phi = 1 + \frac{T_g}{3T} - \frac{3T_g}{4T} \exp \left[ -3 \left( \ln \frac{T}{T_g} - \frac{1}{4} \right)^2 \right] \quad (15-2)$

در رابطه اخیر:  $T_g$  پریود غالب زمین لرزه می‌باشد.

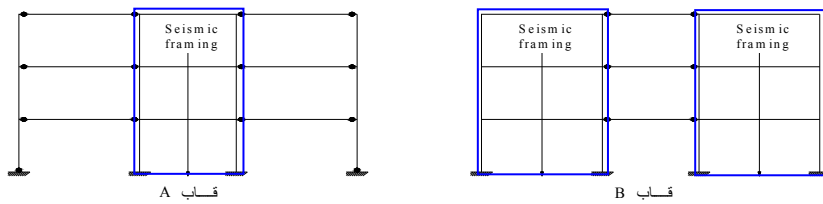
یک مقایسه بین روابط  $R_\mu = T - \mu$  کراوینکلر و نسار و میراندا و برtero برای زمینهای سنگی و رسوبی در شکل ۷-۲ نشان داده شده است، با توجه به این که اختلافهای بین این روابط نسبتاً کوچک می‌باشند، می‌توان از این اختلاف‌ها در هدف‌های مهندسی چشم‌پوشی نمود.



شکل ۷-۲ مقایسه ضریب شکل‌پذیری [۴۴]

### $R_R$ -۱-۳-۴-۳- ضریب قید اضافی:

یک سامانه مقاوم در برابر زلزله باید دارای قاب‌های مقاومی باشد که نقش انتقال بارهای لرزه‌ای و نیروهای اینرسی ناشی از زمین لرزه را به پی ساختمان دارا باشند. ضریب قید اضافی، افزایش درجه اطمینان در سیستم‌های لرزه‌ای را که از چندین قاب قائم مقاوم برخوردارند منعکس می‌سازد. جهت روشن شدن مطلب دو سیستم قاب A و B را مطابق شکل ۸-۲ در نظر می‌گیریم، در قاب A یک پانل مقاوم در برابر بارهای لرزه‌ای موجود است در حالیکه در قاب B دو پانل مقاوم وجود دارد.



شکل ۸-۲ سیستم‌های قاب خمشی مقاوم در برابر بارهای لرزه‌ای [۴۹ و ۴۴]

اگر لنگر پلاستیک مربوط به اعضای پانل مقاوم در قاب A، ۲۰۰ واحد و لنگر پلاستیک در اعضای پانل‌های مقاوم در قاب B، ۱۰۰ واحد باشد، هم‌اکنون با انجام یک تحلیل بارافزون برای هر دو قاب تا رسیدن به حالت حد نهایی ملاحظه می‌شود در قاب A هشت مفصل پلاستیک ایجاد گشته است و این در حالی است که در قاب B شانزده مفصل پلاستیک بوجود آمده است. با استفاده از یک روش مطابق آنچه توسط موسز در سال ۱۹۷۴ برای سیستم‌های قابی سازه‌های بادی طرح شد، نسبت مقاومت خمشی اسمی ( $M_p$ ) تیرها در قاب A و قاب B برابر است با:

$$\frac{M_p^A}{M_p^B} = \frac{\sqrt{8}}{\sqrt{16}} \cong 1.4 \quad (16-2)$$

نتایج تحقیقات روی این مقوله نشان می‌دهد جهت دستیابی به یک سطح اطمینان در هر دو قاب، مقاومت مورد نیاز طراحی در قاب A باید ۴۰ درصد بیشتر از مقاومت مورد نیاز در قاب B

باشد. خاطر نشان می شود تا کنون راه حل دقیقی برای محاسبه ضریب قیداضافی ارائه نشده است، ولی آنچه در (ATC-19) توصیه شده است، معرفی مقادیر مختلف این ضریب بر حسب پانل های مقاوم سازه در برابر بارهای لرزه ای می باشد که در جدول ۲-۲ ارائه شده است.

جدول ۲-۲ مقادیر مختلف ضریب قید اضافی برای استفاده در طراحی طبق توصیه (ATC-19) و [۴۴ و ۴۹]

تعداد پانل های مقاوم در برابر بارهای جانبی	ضریب قیداضافی ( $R_R$ )
2	0.71
3	0.86
4	1

### ATC-19-۱-۱-۳-۲- نتایج روش

موضوع گزارش ATC-19 مرور نقش ضرایب اصلاح پاسخ ( $R$ ) در طراحی لرزه ای ساختمان ها در آمریکا بود که نشان داد مقادیر  $R$  و  $R_w$  می توانند بطور مستقیم به جای ضریب نیروی افقی ( $K$ ) در نظر گرفته شوند. ضریب  $K$  در ابتدا در آیین نامه لرزه ای آمریکا در سال ۱۹۵۹ مورد استفاده قرار می گرفت.

نتایج بررسی های ATC-19 به قرار زیر است:

هیچ پایه و اساس ریاضی برای ضرایب اصلاح پاسخ ( $R$ ) جدول بندی شده در آیین نامه های لرزه ای جدید آمریکا وجود ندارد.

در نظر گرفتن یک مقدار مشخص  $R$  برای تمامی ساختمان ها که دارای یک نوع قاب هستند، بدون توجه به پلان و هندسه قائم، قابل توجیه نمی باشد.

به منظور اطمینان از سطوح سازگار خرابی، مقادیر  $R$  باید به هر دو مقدار پریود اصلی سازه و نوع خاکی که سازه بر روی آن بنا شده است، وابسته باشند.

مقادیر کنونی تخصیص داده شده به  $R$  برای سیستم‌های قابی مختلف احتمالاً به سطوح یکنواخت ریسک برای تمام سازه‌ها منتج نمی‌شوند.

مقادیر اختصاص یافته به  $R$  برای سیستم‌های قابی مشخص شده باید بین مناطق لرزه‌ای تغییرکنند زیرا ذخیره مقاومت در یک سیستم قابی احتمالاً تابعی از نسبت بارهای ثقلی به بارهای لرزه‌ای خواهد بود، همچنین، جزئیات مورد نیاز در هر نقطه تغییر می‌کند.

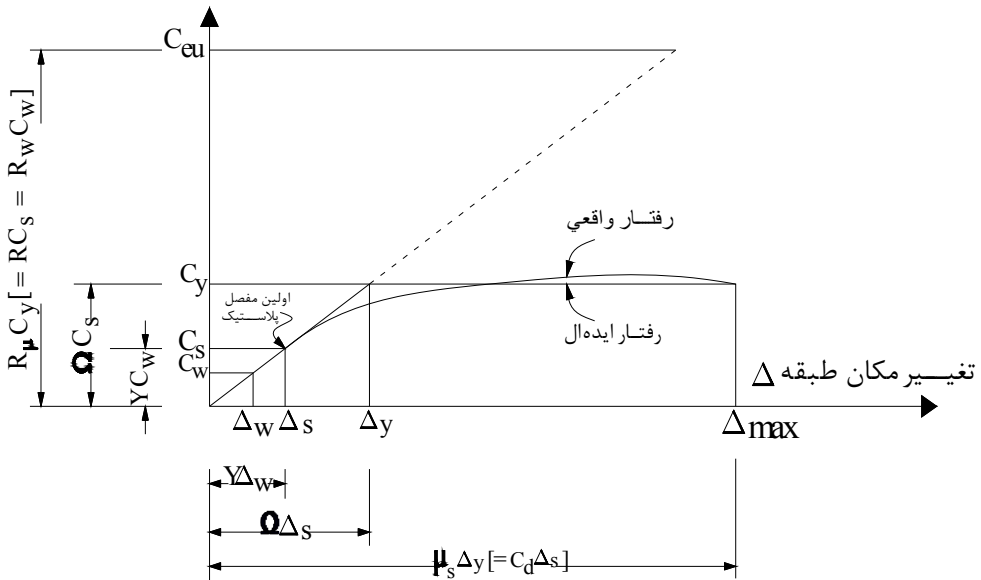
### ۲-۱-۳-۲- روش ضریب شکل‌پذیری یانگ [۴۵]

رفتار کلی یک سازه متعارف را در نظر بگیرید شکل ۹-۲ مقدار مقاومت الاستیک مورد نیاز را که بر حسب ضریب برش پایه ( $C_{eu}$ ) تعریف شده به شرح زیر بیان می‌نماید:

$$C_{eu} = \frac{V_e}{W} \quad (17-2)$$

در رابطه فوق  $W$  وزن موثر و  $V_e$  حداکثر برش پایه در صورتی است که سازه کلاً در محدوده الاستیک باقی بماند. در یک سازه با طراحی مناسب به دلیل وجود مقدار شکل‌پذیری و به منظور کاهش مصالح، سازه را می‌توان به نحوی طراحی نمود که قادر باشد با رفتار غیرالاستیک مناسب (منحنی رفتار واقعی غیرخطی سازه و منحنی رفتار ایده‌آل شده الاستیک - پلاستیک) کامل معادل آن در شکل (۹-۲) به مقاومت حداکثر  $W$  برسد.

$$C = \frac{\text{برش پایه}}{\text{وزن غیر متحرک}}$$



شکل ۹-۲ منحنی پاسخ واقعی و ایدهال کلی سازه [۴۵ و ۴۹]

که در این صورت یک ساختمان می‌تواند به صورت اقتصادی برای یک حداکثر مقاومت واقعی طراحی شود. حداکثر تغییر شکل مطلوب مطابق که در فرم تغییر مکان طبقه  $\Delta$  بیان می‌شود،  $C_y W$  است. محاسبه  $C_y W$  که مطابق با مکانیزم سازه‌ای یا مقاومت تسلیم است و همچنین محسوبه  $\Delta_{\max}$  مستلزم تحلیل‌های غیرخطی هستند، به همین دلیل این مقادیر عموماً در یک روش صریح مشخص نمی‌شوند.

به منظور هدف طراحی،  $NEHRP$  سطح  $C_s$  را به سطح  $C_y$  که مطابق است با تشکیل اولین مفصل پلاستیک، کاهش می‌دهد. این سطح عموماً اولین تسلیم قابل توجه نامیده می‌شود که در بالای این سطح پاسخ کلی سازه‌ای شروع به انحراف به اندازه قابل توجهی از پاسخ کشسان می‌کند. به منظور سازگاری با آیین‌نامه‌های مصالح که از روش‌های تنش مجاز (یا عملی) استفاده می‌کنند، از قبیل طراحی تنش مجاز  $ASD$  [۵۰] و  $UBC$  [۵۱]، سطح  $C_s$  را به سطح بار سرویس  $C_w$  کاهش می‌دهند. مزیت مشخص کردن  $C_s$  یا  $C_w$  به عنوان سطح طراحی در این است که طراحان فقط به

انجام یک تحلیل سازه‌ای کشسان نیاز دارند تا با استفاده از آئیننامه‌های جاری مصالح (بتن و فولاد)، بعد قطعات و جزئیات اجرایی را تعیین نماید.

مضرات استفاده از آنالیز الاستیک برای نیرو در سطوح  $C_s$  و یا  $C_w$  در آن است که:

- ۱- محاسب قادر نخواهد بود مقاومت واقعی سازه را تعیین کند. در صورتی که مقدار اضافه مقاومتی که بطور تلویحی در آئیننامه زلزله در مقدار ضریب کاهش فرض شده است در سازه موجود نباشد رفتار سازه در زلزله شدید رضایت‌بخش نخواهد بود.
- ۲- مقادیر تغییرمکان‌های غیرالاستیک را نمی‌توان با یک آنالیز الاستیک خطی محاسبه نمود.

با توجه به شکل ۹-۲ می‌توان تعاریف زیر را بیان نمود.

- ۱- ضریب شکل پذیری کلی سازه ( $\mu_s$ ) عبارت است از خارج قسمت تغییرشکل جانبی نسبی حد اکثر ( $\Delta_{MAX}$ ) به تغییر شکل جانبی نسبی ( $\Delta_y$ )

$$\mu_s = \frac{\Delta_{MAX}}{\Delta_y} \quad (18-2)$$

- ۲- ضریب کاهش در اثر شکل پذیری ( $R_\mu$ ) عبارت است از خارج قسمت نیروی نهایی واردہ به سازه (در صورتی که رفتارسازه الاستیک باقی بماند)  $C_{eu}$ ، به نیروی متناظر به حد تسلیم عمومی سازه در هنگام تشکیل مکانیزم خرابی،  $C_y$

$$R_\mu = \frac{C_{eu}}{C_y} \quad (19-2)$$

- ۳- ضریب اضافه مقاومت ( $\Omega$ ) عبارت است از خارج قسمت نیروی متناظر، حد تسلیم کلی سازه در هنگام تشکیل مکانیزم خرابی،  $C_y$  به نیروی متناظر با تشکیل اولین لولای خمیری در سازه ( $C_s$ )

$$\Omega = \frac{C_y}{C_s} \quad (20-2)$$

که این ضریب بستگی به پارامترهای متفاوتی دارد.

۴- ضریب تنش مجاز ( $Y$ ) عبارت است از ضریبی که بر اساس نحوه برخورد آئیننامه‌های مصالح با تنش‌های طراحی (بار مجاز و یا بار نهایی) تعیین می‌شود و مقدار آن عبارت است از نسبت نیرو در حد تشکیل اولین لولای خمیری ( $C_s$ ) به نیرو در حد تنشهای مجاز ( $C_w$ )

$$Y = \frac{C_s}{C_w} \quad (21-2)$$

ضریب فوق در حدود ۱,۴ و ۱,۵ می‌باشد. مثلاً این ضریب بر اساس آئین نامه ( $AICS - ASD$ )

به صورت زیر تخمین زده می‌شود:

$$Y = \frac{C_s}{C_w} = \frac{M_p}{M_w} = \frac{ZF_y}{S\left(0.6F_y \times \frac{4}{3}\right)} \quad (22-2)$$

در رابطه فوق  $Z$  و  $S$  به ترتیب مدول‌های پلاستیک و الاستیک مقطع هستند و  $\frac{4}{3}$  اضافه

تنش مجاز هنگامی که نیروهای زلزله وجود داشته باشند می‌باشد. نسبت  $\frac{Z}{S}$  که به آن ضریب شکل

(*Shape factor*) نیز گفته می‌شود برای قطعات بال پهن در حدود ۱,۱۵ است در این حالت:

$$Y = \frac{1.15F_y}{0.8F_y} = 1.44 \quad (23-2)$$

باید توجه داشت که در حالت‌هایی که طراحی در مرحله بار نهایی انجام می‌شود در صورتی که از نیروی زلزله در سطح متناظر با بار مجاز استفاده می‌شود مقادیر نیروی زلزله را باید با ضریب  $Y$  افزایش داد و در صورتی که از نیروی زلزله در سطح متناظر با بار نهایی استفاده می‌شود، مقادیر نیروی زلزله را باید با منظور نمودن ضریب  $Y$  برابر با واحد ( $C_w = C_s$ ) منظور نمود، همین‌طور در صورتی که طراحی در محدوده بار مجاز انجام می‌شود و نیروی زلزله از سطح متناظر با بار مجاز به دست می‌آید. ضریب  $Y$  برابر با واحد و در صورتی که در این حالت نیروی زلزله از سطح متناظر با بار نهایی ( $C_s$ ) به دست می‌آید، باید نیروی زلزله را به ضریب  $Y$  (۱,۴ و ۱,۵) تقسیم و در طراحی

منظور نمود با توجه به تعاریف فوق می‌توان روابط زیر را به دست آورد.

با توجه به شکل ۹-۲، ضریب کاهش نیروی نهایی (یا ضریب اصلاح پاسخ نرپ  $R$ ) مطابق با

قالب طراحی مقاومت می‌تواند به صورت زیر نتیجه گرفته شود:

$$R = \frac{C_{eu}}{C_s} = \frac{C_{eu}}{C_y} \cdot \frac{C_y}{C_s} = R_\mu \Omega \quad (24-2)$$

ضریب کاهش نیروی نهایی مطابق با قالب تنش مجاز  $UBC$  برابر است با:

$$R_w = \frac{C_{eu}}{C_w} = \frac{C_{eu}}{C_y} \cdot \frac{C_y}{C_s} \cdot \frac{C_s}{C_w} = R_\mu \Omega Y \quad (25-2)$$

همچنین ضریب تشدید تغیییرمکان نرپ  $C_d$  که نسبت بین  $\Delta_{max}$  و  $\Delta_s$  است،

می‌تواند با توجه به شکل ۹-۲ به طریق زیر نتیجه گرفته شود:

$$C_d = \frac{\Delta_{max}}{\Delta_s} = \frac{\Delta_{max}}{\Delta_y} \cdot \frac{\Delta_y}{\Delta_s} \quad (26-2\text{-الف})$$

که  $\frac{\Delta_{max}}{\Delta_y}$  برابر است با ضریب شکل‌پذیری سازه‌ای ( $\mu_s$ ) و  $\frac{\Delta_y}{\Delta_s}$  با توجه به شکل ۹-۲ برابر

است با:

$$\frac{\Delta_y}{\Delta_s} = \frac{C_y}{C_s} = \Omega \quad (26-2\text{-ب})$$

بنابراین معادله (۲۷-۲-الف) می‌تواند به صورت زیر بیان شود:

$$C_d = \mu_s \Omega \quad (27-2)$$

از این نتایج، چنین مشاهده می‌شود که هر دو ضریب  $R$  (یا  $R_w$ ) و  $C_d$  توابعی از ضریب

افزایش مقاومت سازه‌ای، ضریب شکل‌پذیری سازه‌ای و نسبت میرایی هستند. (اثر میرایی عموماً در

ضریب کاهش شکل‌پذیری  $R_\mu$  در نظر گرفته می‌شود).

به علاوه، معادلات (۲۴-۲) و (۲۵-۲) نشان می‌دهند که این مساله گمراه کننده است که  $R$  یا

$R_w$  را ضریب کاهش شکل‌پذیری بنامیم، زیرا افزایش مقاومت سازه‌ای می‌تواند نقش تقریباً مهمی را

برای شکل‌پذیری در این ضرایب ایفا کند.

یانگ فرمول پایه‌ای را برای برقرار کردن ضریب اصلاح پاسخ  $R$  و ضریب تشدید تغییرمکان  $C_d$  مورد استفاده در برنامه ملی کاهش خطر زلزله (NEHRP) به دست آورد [۵۲]. همچنین ضریب کارایی سیستم  $R_w$  مورد استفاده در UBC1988 را نتیجه گرفت. ضریب کاهش نیرو، که توسط یک ضریب اصلاح‌پاسخ  $R$  در NEHRP و یا یک ضریب کارایی سیستم  $R_w$  در UBC و SEAOC بیان می‌شود، به منظور کاهش طیف پاسخ طراحی کشسان خطی استفاده می‌شود، و ضریب تشدید تغییرمکان  $C_d$  در NEHRP برای محاسبه حداکثر تغییرمکان مورد انتظار غیرکشسان از تغییرمکان کشسان به دست آمده از نیروهای لرزه‌ای طراحی استفاده می‌شود.

#### - ضریب شکل‌پذیری کلی سازه ( $\mu_s$ )

اگر چه ضرایب افزایش مقاومت می‌توانند توسط روش‌های تحلیلی برآورد شوند، لیکن منطقی‌تر است که ظرفیت‌های شکل‌پذیری (یا اتلاف انرژی) اعضای سازه‌ای سیستم‌های سازه‌ای با استفاده از ابزار و امکانات آزمایشی بدست آید. پاسخ سازه‌ای نشان داده شده در شکل ۹-۲ فقط مربوط به سیستم‌هایی است که می‌تواند انرژی را با یک رفتار پایدار مستهلك کنند مانند قاب‌های مقاوم خمشی با شکل‌پذیری ویژه و قاب‌های مهاربندی شده خارج از مرکز. برای سیستم‌های دیگر که کاهش شدید و زوال سختی و مقاومت دارند تعریف تغییرمکان تسلیم و تغییرمکان حداکثر در معادله

$$\mu_s = \frac{\Delta_{\max}}{\Delta_y}$$

می‌تواند نادرست باشد.

همچنین در سازه‌های با چند درجه آزادی، تعریف یک شکل‌پذیری مشخص و تعیین این ضریب برای کل سیستم کار پیچیده‌ای می‌باشد و هنوز یک رابطه دقیق و مشخص برای این منظور به دست نیامده است و تحقیقات در این زمینه ادامه دارد. در نتیجه یکی از تعاریف برای محاسبه این ضریب در سازه‌های با چند درجه آزادی می‌تواند تغییرمکان نسبی طبقه (شکل‌پذیری طبقه‌ای) باشد. به این صورت که برای هر طبقه یک درجه آزادی تعریف کرد [۵۳].

## ۲-۱-۳-۲- ضریب کاهش در اثر شکل‌پذیری ( $R_\mu$ ) و مرواری بر تحقیقات انجام

شده

سازه‌ها در اثر وجود شکل‌پذیری مقدار قابل توجهی از انرژی زلزله را به صورت هیسترزیس تلف می‌کنند و مقدار این اتلاف انرژی بستگی به مقدار شکل‌پذیری کلی سازه دارد. این شکل‌پذیری کلی باید به گونه‌ای باشد که شکل‌پذیری محلی اعضاء از مقدار مجاز خود بیشتر نشود. بدین منظور در موقع طراحی لازم است که حداقل مقاومت لازم سازه برای کسب شکل‌پذیری مطلوب مشخص شود.

ضریب کاهش در اثر شکل‌پذیری ( $R_\mu$ ) با نسبت مقاومت الاستیک مورد نیاز به مقاومت غیرالاستیک مورد نیاز تعریف می‌شود.

$$R_\mu = \frac{F_Y(\mu=1)}{F_Y(\mu=\mu_i)} \quad (28-2)$$

که  $F_Y(\mu=1)$  مقاومت جانبی تسلیم مورد نیاز برای جلوگیری از تسلیم در سیستم در اثر یک زلزله مشخص می‌باشد و  $F_Y(\mu=\mu_i)$  مقاومت جانبی تسلیم مورد نیاز برای محدود کردن ضریب شکل‌پذیری کلی سازه ( $\mu_s$ ) به مقداری کمتر و یا برابر با ضریب شکل‌پذیری کلی از پیش تعیین شده هدف ( $\mu_i$ ) وقتی که سیستم در معرض همان زلزله قرار گیرد، می‌باشد.

به طور کلی، در ساختمنهایی که در هنگام زلزله به طور غیرخطی رفتار می‌کنند، تغییر شکل‌های غیرخطی با کاهش مقاومت جانبی تسلیم سازه (یا با افزایش ضریب  $R_\mu$ ، افزایش می‌یابند).

برای یک زلزله مشخص و یک ضریب  $\mu$  معین مشکل اساسی محاسبه حداقل ظرفیت مقاومت جانبی ( $\mu=\mu_i$ ) است که باید در سازه‌ها به منظور جلوگیری از ضریب شکل‌پذیری بزرگتر از  $\mu$  تأمین شود. درنتیجه محاسبه  $F_Y(\mu=\mu_i)$  برای هر پریود و هر شکل پذیری هدف، شامل عملیاتی تکراری می‌باشد، بدین صورت که یک مقاومت جانبی تسلیم  $F_Y$  برای سیستم در نظر گرفته

و سیستم را تحلیل می‌کنند، این را تا زمانی ادامه می‌دهند که ضریب شکل‌پذیری کلی محاسبه شده با یک تلوانس مشخص، برابر ضریب شکل‌پذیری کلی هدف ( $\mu_i$ ) شود. آنگاه آن مقاومت جانبی در نظر گرفته شده که با آن به این ضریب شکل‌پذیری رسیدیم را ( $\mu = \mu_i$ ) نامند.

برای تعیین ضریب کاهش نیرو در اثر شکل‌پذیری ( $R_\mu$ ) روش کار به این صورت است که مقاومت جانبی الاستیک ( $F_y = (\mu = 1)$ ) و غیرالاستیک با ضریب شکل‌پذیری  $\mu_i$ ، ( $\mu = \mu_i$ ) برای هر سیستم با پریود مشخص بدست آورده سپس این نیروها را با وزن سیستم نزمال می‌کنند. این نیروها را برای پریودهای مختلف سازه به دست می‌آورند که با این کار طیف خطی  $\mu = 1$  و طیف غیرخطی  $m = m_i$  با ضریب شکل‌پذیری  $m_i$  به دست می‌آیند. از تقسیم طیف خطی به طیف غیرخطی مقدار ضریب کاهش در اثر شکل‌پذیری برای آن زلزله بخصوص و ضریب شکل‌پذیری هدف، به دست می‌آید.

در قسمت‌های بعدی مطالعاتی را که روی ضریب  $R_m$  انجام گرفته مرور کرده و روابط ارائه شده توسط محققین برای محاسبه  $R_m$  بیان می‌شود.

## - نیومارک و هال<sup>۱</sup>

در مطالعه آنان بر اساس طیف‌های خطی و غیرخطی حاصل از مولفه شمالی - جنوبی زلزله ال سنترو و رکوردهای دیگر این نتیجه به دست آمد که ۱- در نواحی طیفی با فرکانس پایین و متوسط یک سیستم خطی و یک سیستم غیرخطی تقریباً حداکثر تغییرمکان یکسان دارند. ۲- در ناحیه طیفی با فرکانس خیلی بالا یک سیستم خطی و یک سیستم غیرخطی نیروی یکسانی دارند. ۳- در ناحیه طیفی با فرکانس بالا، از اصل بقای انرژی استفاده کرد به این صورت که دیاگرام نیرو - تغییرمکان یک سیستم الاستیک تا حد اکثر تغییرمکان، مانند دیاگرام نیرو - تغییرمکان یک

---

1- Newmark and Hall

سیستم الاستیک - کاملاً پلاستیک است که در معرض همان تحریک قرار گرفته باشد. این یافته‌ها به پیشنهاد یک روش برای ساخت طیف غیرخطی از طیف خطی منجر شد. این روش شامل کاهش طیف خطی به وسیله ضرایب مختلف برای هر ناحیه طیفی می‌باشد. ضرایب کاهش در اثر شکل‌پذیری  $R_m$  این دو محقق قبلًا ارائه شده است [۴۷].

### ۱- لایی و بیگز<sup>۱</sup>

طیف پاسخ غیرخطی طراحی توسط این دو محقق بر اساس متوسط طیف غیرخطی محاسبه شده برای ۲۰ زلزله مصنوعی که طیف پاسخ الاستیک آنها با طیف طرح الاستیک نیومارک - هال مطابقت داشت، ارائه شد. تحلیل‌ها برای ۵۰ پریود طبیعی با فواصل مساوی از یکدیگر بین ۱/۰ تا ۱۰ ثانیه و در مقیاس لگاریتمی انجام شد. دو مقدار میرایی و چهار نسبت شکل‌پذیری درنظر گرفته شد و مطالعات صورت گرفته برای سیستم الاستوپلاستیک منتهی به ضریب  $R_m$  با فرمول زیر شد.

$$R_\mu = a + b(\log T) \quad (29-2)$$

ضرایب  $a$  و  $b$  در جدول ۳-۲ نشان داده شده است. همچنین ضرایب  $R_m$  محاسبه شده با این فرمول در شکل (۱۰-۲) ترسیم شده است [۴۹].

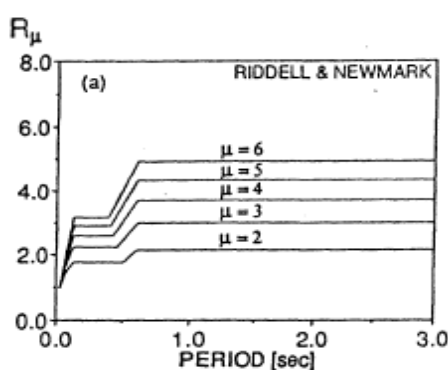
جدول ۳-۲ ضرایب رابطه لای و بیگز [۴۹]

زمان تناوب	ضریب	$\mu=4$	$\mu=3$	$\mu=4$	$\mu=5$
$0.1 \leq T \leq 0.5$	$\alpha$	1.57	2.229	2.66	3.11
	$\beta$	0.329	0.7296	1.058	1.43
$0.1 \leq T \leq 0.5$	$\alpha$	2.033	2.7722	3.37	3.83
	$\beta$	1.51	2.53	3.42	3.8223
$0.1 \leq T \leq 0.5$	$\alpha$	1.8409	2.48	2.98	3.42
	$\beta$	0.2642	0.6605	0.938	1.15

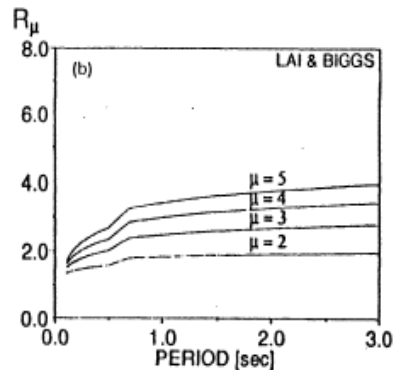
1- Lai and Biggs

## - ریدل و نیومارک<sup>۱</sup>

ضرایب  $R_\mu$  برای سیستم‌های الاستوپلاستیک با ۲، ۵ و ۱۰ درصد میرایی و برای سیستم‌های افت سختی و دو خطی با ۵ درصد میرایی برای مقادیر شکل‌پذیری از ۱ تا ۱۰ ارائه شده است. از مطالعات چنین نتیجه‌گیری می‌شود که پاسخ ماکزیمم الاستوپلاستیک، دوخطی و افت سختی خیلی مشابه هستند و اینکه استفاده از یک طیف الاستوپلاستیک برای تحلیل غیرخطی عموماً محافظه کارانه است. همچنین این مطالعه اولین مطالعه‌ای بود که از ۱۰ نگاشت مختلف که در سنگ و آبرفت ثبت شده بود استفاده می‌کرد. در مقایسه با ضرایب  $R_\mu$  نیومارک - هال، در این تحقیق ضرایب  $R_\mu$  ارائه شده به نسبت میرایی  $b$  نیز بستگی دارند. در شکل ۱۱-۲ نتایج به دست آمده برای میرایی ۵ درصد و برای شکل‌پذیری‌های مختلف نشان داده شده است [۴۷].



شکل ۱۱-۲ ضریب  $R_\mu$  در تحقیق ریدل و نیومارک [۴۷]



شکل ۱۱-۲ ضریب  $R_\mu$  در تحقیق لای و بیگز [۴۹]

## - اقا دامسی و محرز<sup>۲</sup>

این اولین مطالعه در مورد اثر خاک بر روی ضریب  $R_\mu$  توسط آنان انجام شد. در این مطالعه

1- Riddell and Newmark

2- Elghadamsi and Mohraz

طیف پاسخ غیرخطی برای سیستم‌های یک درجه آزادی با رفتار الاستیک - پلاستیک و تحت اثر ۵۰ حرکت افقی زمین ثبت شده در رسوب و ۲۶ حرکت افقی زمین ثبت شده در سنگ، به دست آمد. نامبردگان بر اساس تحلیل‌های آماری، روشی جدید برای تخمین طیف بازتاب غیرالاستیک پیشنهاد کردند. در این روش طیف غیرالاستیک را به وسیله درون‌یابی از دو محدوده طیفی صاف شده تهییه نمودند که این دو محدوده طیفی منطبق بر طیف‌های الاستیک و غیرالاستیک برای سطح تسليم ۵in بودند. با استفاده از طیف غیرالاستیک درون‌یابی شده، ضرایب کاهش برای خاک‌های آبرفتی و سخت محاسبه شدند. این تحقیق نشان داد که ضرایب  $R_\mu$  در زمین‌های رسوبی و سنگی تقریباً مشابه هستند. ضرایب  $R_\mu$  پیشنهاد شده توسط این دو محقق در شکل ۱۲-۲ نشان داده شده است [۴۹].

### - ریدل، هیدالگو و کروز<sup>۱</sup>

طیف غیرخطی در این مطالعه با استفاده از چهارگروه زلزله ثبت شده و برای یک سیستم یک درجه آزادی با رفتار الاستوپلاستیک هیسترزیس و ۵ درصد میرایی، محاسبه شدند. ضرایب  $R_\mu$  بر اساس متوسط ضرایب  $R_\mu$  تقریبی ارائه شدند. متوسط ضرایب  $R_\mu$  تنها تقریبی از متوسط ضرایب  $R_\mu$  دقیق هستند زیرا آن‌ها به صورت نسبت متوسط طیف مقاومت الاستیک مورد نیاز به طیف مقاومت غیرالاستیک مورد نیاز محاسبه شدند و به صورت متوسط نسبت طیف مقاومت الاستیک مورد نیاز به طیف مقاومت غیرالاستیک مورد نیاز تعیین نشدند. ضرایب  $R_\mu$  ارائه شده در این تحقیق عبارتند از:

$$\text{For } 0 \leq T \leq T^* \quad R_m = 1 + \frac{R^*}{T} T \quad (30-2)$$

$$\text{For } 0 \geq T^* \quad R_m = R^* \quad (31-2)$$

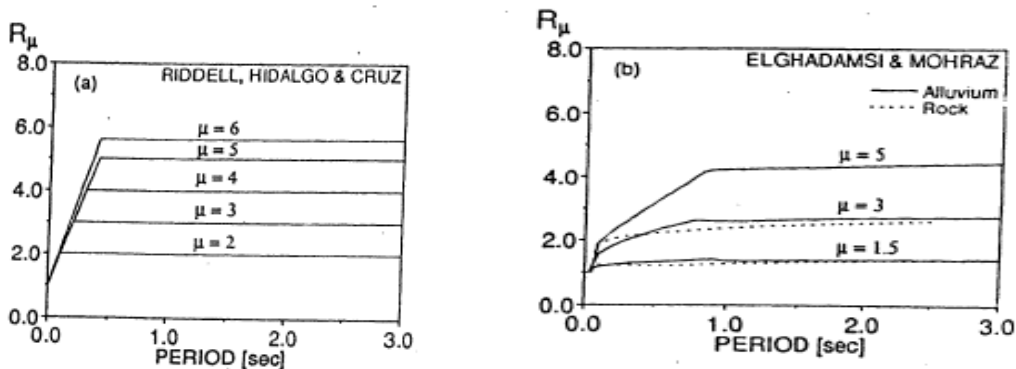
که مقادیر  $T^*$  و  $R^*$  در جدول ۴-۲ نشان داده شده‌اند. همچنین ضرایب  $R_m$  محاسبه شده با

1- Riddell , Hidalgo and Cruz

روابط فوق در شکل ۱۳-۲ ترسیم شده‌اند [۴۹].

جدول ۲-۴ ضرایب رابطه ریدل، هیدالگو و کروز [۴۹]

پارامتر	$\mu=2$	$\mu=3$	$\mu=4$	$\mu=5$	$\mu=6$	$\mu=7$	$\mu=8$
$R$	2	3	4	5	5.6	6.2	6.8
T	0.1	0.2	0.3	0.4	0.4	0.4	0.4



شکل ۲-۲ ضریب  $R_\mu$  در تحقیق محرز و القادامسی [۴۹] کروز [۴۹]

### - آرایز و هیدالگو ۱ -

بر اساس میانگین تقریبی متوسط ضرایب  $R_\mu$  محاسبه شده توسط ریدل، هیدالگو و کروز، در این مطالعه یک فرمول برای محاسبه ضرایب  $R_\mu$  شامل یک منحنی غیرخطی، ارائه شده که در تمام محدوده‌های پریود قابل استفاده می‌باشد. فرمول ارائه شده عبارتست از:

$$R = 1 + \frac{T}{KT_0 + \frac{T}{\mu - 1}} \quad (32-2)$$

در رابطه فوق فاکتور  $KT_0$  برای گروه‌های مختلف حرکتهای زمین (زمین لرزه‌ها) متفاوت است.

این رابطه در پیش نویس آیین‌نامه شیلی با  $K = 0.1$  توصیه شده است.

ضرایب  $R_m$  محاسبه شده، با رابطه فوق با فرض  $T_0 = 0.2$  ثانیه در شکل ۱۴-۲ ترسیم شده‌اند [۴۹].

## - ناسار و کراوینکلر<sup>۱</sup>

این مطالعه پاسخ سیستم‌های غیرخطی یک درجه آزادی را تحت اثر ۱۵ زلزله ثبت شده در آمریکای غربی، مورد توجه قرار دارد. زلزله‌هایی که مورد استفاده قرار گرفتند در زمین‌های رسوی و هم در زمین‌های سنگی بودند. هرچند که تاثیر خاک در این مطالعه به وضوح مورد بررسی قرار نگرفت، اما حساسیت ضریب  $R_\mu$  نسبت به فاصله مرکز سطحی زمین‌لرزه و پارامترهای سیستم ساختمانی مانند پریود، تراز تسلیم، نسبت سخت شوندگی کرنشی و نوع رفتار غیرخطی مصالح، مورد بررسی قرار گرفت. از این مطالعه این نتیجه به دست آمده که فاصله مرکز سطحی زلزله و افت سختی بر ضریب  $R_\mu$  اثر ناچیزی دارند. که روابط قبل ارایه شده است [۴۹].

## - ویدیک، فایفر و فیشینگر<sup>۲</sup>

بر اساس متوسط ضرایب  $R_\mu$  محاسبه شده برای ۲۰ زلزله ثبت شده در آمریکای غربی و زلزله ۱۹۷۹ مونته‌نگرو<sup>۳</sup> یوگسلاوی فرمول‌های ساده شده‌ای برای محاسبه ضریب  $R_\mu$  ارائه شد. در این مطالعه سیستم‌های یک درجه آزادی با رفتار هیسترزیس دو خطی و افت سختی (مدل  $Q$ ) و با میرایی ویسکوز متناسب با جرم و سختی لحظه‌ای سیستم در نظر گرفته شدند. رابطه پیشنهادی نامبردگان از دو قسمت خطی تشکیل می‌شود. در قسمت اول که به ناحیه زمان تناوب‌های کوتاه مربوط است  $R_\mu$  به صورت خطی با افزایش زمان تناوب، از  $R_\mu = 1$  تا مقداری برابر با نسبت شکل‌پذیری افزایش می‌باید. در قسمت دوم ضریب کاهش شکل‌پذیری دارای مقدار ثابتی برابر با ضریب شکل‌پذیری است. برای سیستم‌های با رفتار هیسترزیس مدل  $Q$  و ۵ درصد میرایی متناسب با جرم فرمول‌های زیر ارائه شدند:

2- Nassar and Krawinkler

1- Vidic , Fajfar and Fishinger

2- Montenegro

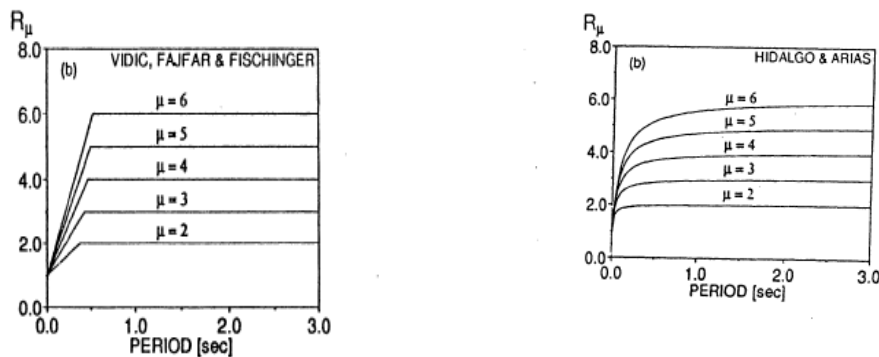
$$\text{For } T \leq T_0 \quad R_\mu = (\mu - 1) \frac{T}{T_0} + 1 \quad (33-2)$$

$$\text{For } T \geq T_0 \quad R_\mu = \mu \quad (34-2)$$

$$T_0 = 0.66\mu^{0.3}T_i \quad (35-2)$$

$$T_1 = 2\pi \frac{\Phi_{ev}v}{\Phi_{ea}A} \quad (36-2)$$

ضرایب  $R_\mu$  محاسبه شده با استفاده از متوسط ضرایب بزرگنمایی  $\Phi_{ea}$  و  $\Phi_{ev}$  برای ۲۰ زلزله در نظر گرفته شد. در این مطالعه (یعنی  $\Phi_{ev} = 2/5$  و  $\Phi_{ea} = 2/5$ ) در شکل ۱۵-۲ ترسیم شده‌اند [۴۹].



شکل ۱۵-۲ ضریب  $R_\mu$  در تحقیق ویدیک، فایفروفیشنگر [۴۹]

شکل ۱۴-۲ ضریب  $R_\mu$  در تحقیق آرایز و هیدالگو [۴۹]

- میراندا'

در این مطالعه سعی شد تعداد نسبتاً زیادی از زلزله‌های ثبت شده به منظور بررسی اثر شرایط خاک محل بر ضرایب  $R_\mu$  در نظر گرفته شود. به همین منظور ۱۲۴ زلزله ثبت شده در محدوده وسیعی از شرایط خاک، در هنگام زلزله‌های گوناگون در نظر گرفته شد. بر اساس شرایط محلی خاک در ایستگاه ثبت کننده زلزله‌ها به سه گروه تقسیم شدند.

زلزله‌های ثبت شده در سنگ، زلزله‌های ثبت شده در رسوب و زلزله‌های ثبت شده در خاک خیلی نرم که به وسیله سرعت پایین امواج برشی در آن مشخص می‌شود. که قبل از ارائه شده است [۴۹].

### ۲-۱-۳-۲- نتایج روش پیشنهادی یانگ

نتایج اصلی این روش عبارتند از:

۱- توسط معادلات (۱۹-۲) و (۲۲-۲) فرمول‌های مشخصی برای ضریب اصلاح پاسخ  $R$  و ضریب تشدید تغییرمکان  $C_d$  برای قواعد لرزه‌ای NEHRP نشان داده شد. همچنین معادله (۲۷-۲)، ضریب کارایی سیستم  $R_w$  مورد استفاده در UBC (که یک آیین نامه طراحی تنش مجاز است) را نشان داد. این ضرایب توابعی از ضریب افزایش مقاومت سازه‌ای  $\Omega$ ، ضریب شکل‌پذیری سازه‌ای  $\mu_s$  و نسبت میرایی ویسکوز معادل می‌باشند. (اثر میرایی عموماً در ضریب کاهش شکل‌پذیری  $\mu$  در نظر گرفته می‌شود).

۲- استفاده از یک مقدار ثابت  $R$  یا  $C_d$ ، سطح یکنواختی از اطمینان در برابر خرایی را برای تمام ساختمانها به وجود نمی‌آورد. برای سازه‌های با قیود اضافی کم، افزایش مقاومت سازه‌ای که توسط شرایط طراحی لرزه‌ای کنونی مشخص می‌شود، ممکن است کافی نباشد و ضروری است که در ارایه روابط طراحی روشنی برای مشخص کردن افزایش مقاومت سازه‌ای مشخص شود. این افزایش مقاومت نباید کمتر از مقداری باشد که در برقراری ضرایب  $R$  و  $C_d$  فرض می‌شوند.

۳- مقادیر  $R$  و  $C_d$  پیشنهاد شده توسط NEHRP برای سیستم‌های سازه‌ای مختلف سازگار نیستند. این مقادیر بایستی در یک روش منطقی‌تر ارزیابی مجدد شوند. فرمول اساسی بدست آمده در این روش می‌تواند به منظور رسیدن به این هدف به کار گرفته شود.

۴- تعریف شکل‌پذیری سازه‌ای برای سازه‌های چند طبقه که زوال سختی و مقاومت قابل توجهی دارند، هنوز یک مانع مهم و عمدی برای برقراری ضرایب  $R$  و  $C_d$  می‌باشد [۴۵].

برای مطالعه بیشتر در مورد ضریب رفتار به پایان‌نامه آقای محسن ابراهیمیان تحت عنوان "

تعیین ضریب رفتار سازه‌های فولادی متشکل از بادبند همگرا و واگرا و بررسی ضریب رفتار سیستم پیشنهادی بادبندی "مراجعه شود [۵۴].

فصل ٣

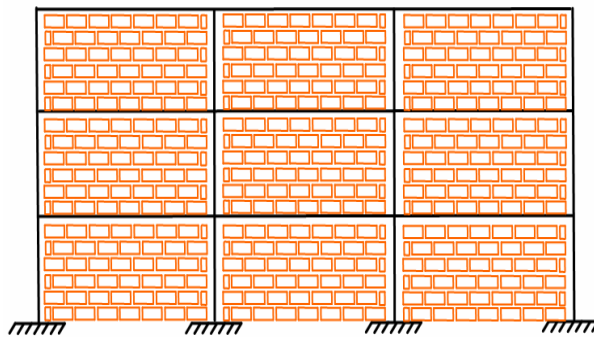
## نتائج تحليل الاستيك

## ۱-۳- مدل سازی

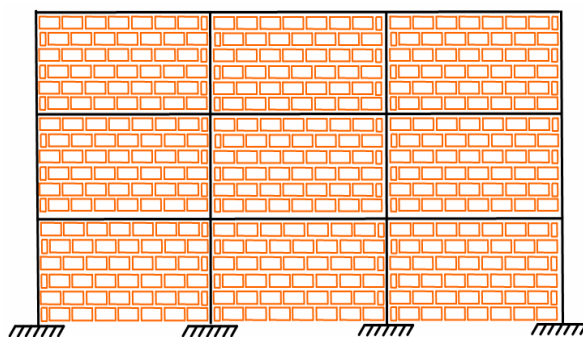
### ۱-۱-۳- طراحی سازه‌های مورد مطالعه و فرضیات

سازه‌های مورد بررسی در این تحقیق، قاب‌های ۳ طبقه ۳ دهانه، ۵ طبقه ۳ دهانه، ۹ طبقه ۳ دهانه می‌باشند. طول دهانه‌ها برابر ۵,۵ متر و ارتفاع طبقه اول ۳,۵ متر و ارتفاع طبقات دیگر ۳ متر می‌باشد. چیدمان دیوار هم به ۵ حالت: وجود دیوار بدون اتصال به قاب، هر ۳ دهانه، ۱ دهانه وسط با ۲ حالت کلی و طبقه نرم می‌باشد. در شکل ۱-۳ تا ۵-۳ حالت‌های مختلف قرارگیری دیوار برای سازه ۳ طبقه با دیوار ۱۷ سانتی متری نشان داده شده است. سیستم باربر جانبی قاب خمشی متوسط بوده و خاک منطقه نوع ۲ در نظر گرفته شد.

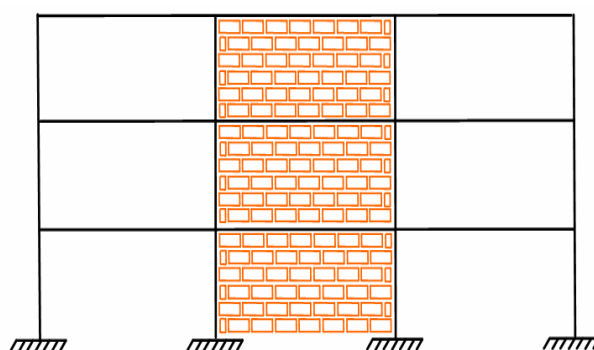
به جهت آنکه هدف بررسی اثر دیوار پرکننده آجری بر رفتار سازه می‌باشد، قاب‌های مذکور طبق روال موجود در طراحی بدون هرگونه دیوار پرکننده بر اساس آخرین استانداردهای موجود در ایران بارگذاری و طراحی شده‌اند. طراحی سازه‌ها با نرم‌افزار SAP2000 انجام شده است. برای بارگذاری ثقلی قاب‌ها از مقررات ملی ساختمان ایران، مبحث ششم (آیین‌نامه ۵۱۹ بارهای وارد بر ساختمان) و برای بارگذاری لرزه‌ای از استاندارد ۲۸۰۰ ویرایش سوم استفاده شده است. بار مرده بر واحد سطح در بام ۶۰۰ کیلوگرم بر مترمربع و در طبقات ۶۰۰ کیلوگرم بر مترمربع و بار زنده در بام ۱۵۰ کیلوگرم بر مترمربع و در طبقات ۲۰۰ کیلوگرم بر مترمربع در نظر گرفته شد. بار مرده دیوار ۱۷ سانتی‌متری ۱۰۰ کیلوگرم بر مترمربع دیوار و بار مرده دیوار ۲۳ سانتی‌متری ۱۳۳ کیلوگرم بر مترمربع دیوار در نظر گرفته شد.



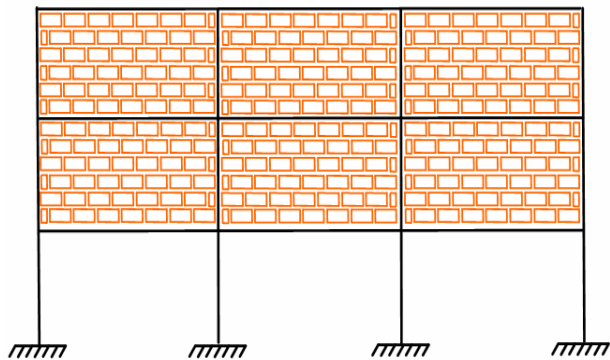
شکل ۱-۳ الگوهای قرارگیری دیوار پرکننده آجری با وجود درز در ساختمان ۳ طبقه برای دیوار ۱۷ سانتیمتری



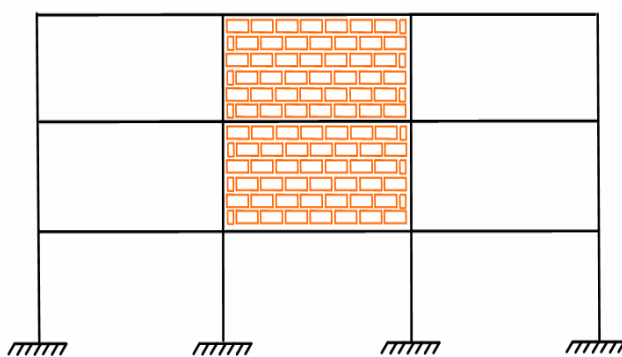
شکل ۲-۳ الگوهای قرارگیری دیوار پرکننده آجری متصل با قاب در تمام دهانه‌ها در ساختمان ۳ طبقه برای دیوار ۱۷ سانتیمتری



شکل ۳-۳ الگوهای قرارگیری دیوار پرکننده آجری متصل با قاب در دهانه وسطی در ساختمان ۳ طبقه برای دیوار ۱۷ سانتیمتری

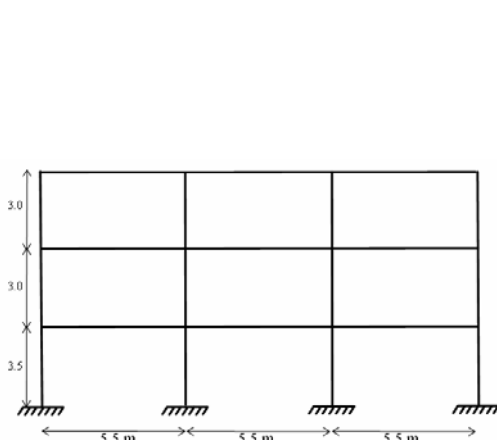


شکل ۴-۳ الگوهای قرارگیری دیوار پرکننده آجری متصل با قاب در تمام دهانه‌ها در ساختمان ۳ طبقه برای دیوار ۱۷ سانتی‌متری در حالت طبقه نرم

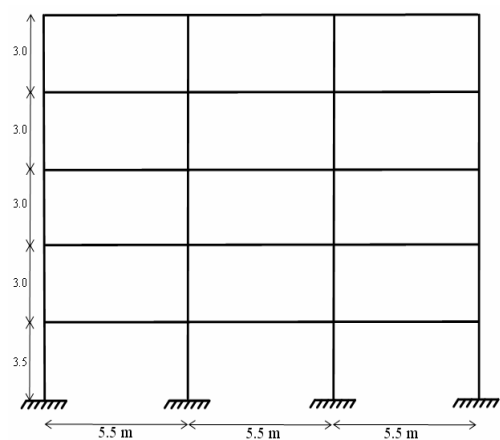


شکل ۴-۵ الگوهای قرارگیری دیوار پرکننده آجری متصل با قاب در دهانه وسطی در ساختمان ۳ طبقه برای دیوار ۱۷ سانتی‌متری در حالت طبقه نرم

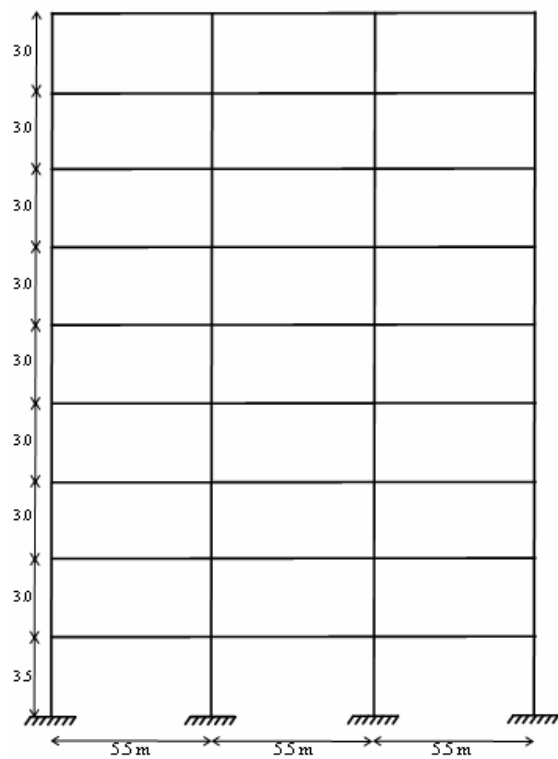
در شکل‌های ۶-۳ تا ۸-۳ نمای سازه‌ها مشخص شده است.



شکل ۶-۳ نمای سازه ۳ طبقه

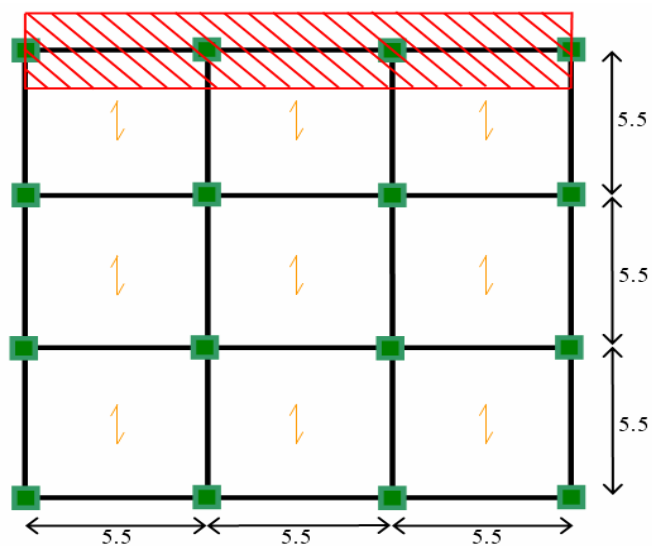


شکل ۷-۳ نمای سازه ۵ طبقه



شکل ۸-۳ نمای سازه ۹ طبقه

پلان سازه‌های مورد بررسی به صورت زیر می‌باشد.



شکل ۹-۳ پلان تمام سازه‌ها

### ۳-۱-۱-۱- طراحی سازه ۳ طبقه

وزن قاب با در نظر گرفتن بار مرده بعلاوه ۲۰ درصد بار زنده، بعنوان بار موثر لرزه‌ای برابر با ۲۰۷,۳۱۳ تن خواهد بود. محاسبات نیروی جانبی ناشی از زمین‌لرزه با توجه به استاندارد ۲۸۰۰ به

صورت زیر می‌باشد:

$$A = 0.3$$

$$T = 0.07H^{\frac{3}{4}} \rightarrow T = 0.07 \times (9.5)^{\frac{3}{4}} = 0.378$$

$$T_0 < T < T_s \rightarrow B = S + 1 = 2.5$$

$$I = 1$$

$$R = 7$$

$$C = \frac{ABI}{R} = 0.107$$

$$V = CW = 0.107 \times 207313 = 22212.16Kg = 22.2Ton$$

برش پایه محاسبه شده یعنی ۲۲,۲ تن، سهم قاب محور ۱ خواهد بود. با در نظر گرفتن بارگذاری فوق و فرضیات بیان شده جزئیات مقاطع طراحی شده در جدول ۱-۳ خلاصه شده است.

جدول ۱-۳ جزئیات مقاطع قاب ۳ طبقه

تیر			ستون		طبقه
آرماتور تحتانی	آرماتور فوقانی	ابعاد	آرماتور $\#$	ابعاد $\#$	
۲ # ۲۰	۴ # ۲۰	۴۵ × ۴۰	۱۲ # ۲۵	۴۵ × ۴۵	۱
۲ # ۲۰	۶ # ۲۰	۴۰ × ۳۵	۱۲ # ۱۸	۴۰ × ۴۰	۲
۲ # ۲۰	۳ # ۲۰	۳۵ × ۳۵	۱۲ # ۱۸	۳۵ × ۳۵	۳

$\#$  ابعاد بر حسب سانتیمتر (ارتفاع × عرض)

$\#$  قطر آرماتور (بر حسب میلیمتر) # تعداد آرماتور

### ۳-۱-۲- طراحی سازه ۵ طبقه

وزن قاب با در نظر گرفتن بار مرده بعلاوه ۲۰ درصد بار زنده، بعنوان بار موثر لرزه‌ای برابر با ۳۷۰,۶۵۷ تن خواهد بود. محاسبات نیروی جانبی ناشی از زمین‌لرزه با توجه به استاندارد ۲۸۰۰ به

صورت زیر می‌باشد:

$$A = 0.3$$

$$T = 0.07H^{\frac{3}{4}} \rightarrow T = 0.07 \times (15.5)^{\frac{3}{4}} = 0.5468$$

$$T > T_s \rightarrow B = (S + 1) \left( \frac{T_s}{T} \right)^{\frac{2}{3}} = 2.5 \left( \frac{0.5}{0.5468} \right)^{\frac{2}{3}} = 2.3552$$

$$I = 1$$

$$R = 7$$

$$C = \frac{ABI}{R} = 0.1$$

$$V = CW = 0.1 \times 370657 = 37065.7Kg = 37.06Ton$$

برش پایه محاسبه شده یعنی ۳۷,۰۶ تن، سهم قاب محور ۱ خواهد بود. با در نظر گرفتن

بارگذاری فوق و فرضیات بیان شده جزئیات مقاطع طراحی شده در جدول ۲-۳ خلاصه شده است.

جدول ۲-۳ جزئیات مقاطع قاب ۵ طبقه

تیر			ستون		طبقه
آرماتور تحتانی	آرماتور فوقانی	ابعاد	آرماتور $\frac{1}{4}$	ابعاد $\frac{1}{4}$	
۲ # ۲۰	۶ # ۲۰	۵۰ × ۴۰	۱۶ # ۲۵	۵۵ × ۵۵	۱
۴ # ۲۰	۶ # ۲۰	۵۰ × ۴۰	۱۶ # ۲۰	۵۰ × ۵۰	۲
۴ # ۲۰	۶ # ۲۰	۴۵ × ۴۰	۱۲ # ۲۰	۴۵ × ۴۵	۳
۲ # ۲۰	۵ # ۲۰	۴۰ × ۴۰	۱۲ # ۲۰	۴۰ × ۴۰	۴
۲ # ۲۰	۳ # ۲۰	۳۵ × ۳۵	۱۲ # ۲۰	۳۵ × ۳۵	۵

\* ابعاد بر حسب سانتیمتر (ارتفاع × عرض)  
 \*\* قطر آرماتور (بر حسب میلیمتر) # تعداد آرماتور

### ۳-۱-۱-۳- طراحی سازه ۹ طبقه

وزن قاب با در نظر گرفتن بار مرده بعلاوه ۲۰ درصد بار زنده، بعنوان بار موثر لرزه‌ای برابر با ۸۰۴,۱۷۴ تن خواهد بود. محاسبات نیروی جانبی ناشی از زمین‌لرزه با توجه به استاندارد ۲۸۰۰ به

صورت زیر می‌باشد:

$$A = 0.3$$

$$T = 0.07H^{\frac{3}{4}} \rightarrow T = 0.07 \times (27.5)^{\frac{3}{4}} = 0.8406$$

$$T > T_s \rightarrow B = (S + 1) \left( \frac{T_s}{T} \right)^{\frac{2}{3}} = 2.5 \left( \frac{0.5}{0.8406} \right)^{\frac{2}{3}} = 1.76816$$

$$I = 1$$

$$R = 7$$

$$C = \frac{ABI}{R} = 0.0754$$

$$V = CW = 0.0754 \times 804174.5 = 60634.7573 Kg = 60.63 Ton$$

برش پایه محاسبه شده یعنی ۶۰,۶۳ تن، سهم قاب محور ۱ خواهد بود. با در نظر گرفتن بارگذاری فوق و فرضیات بیان شده جزئیات مقاطع طراحی شده در جدول ۳-۳ مشاهده می‌شود.

جدول ٣-٣ جزئیات مقاطع قاب ٩ طبقه

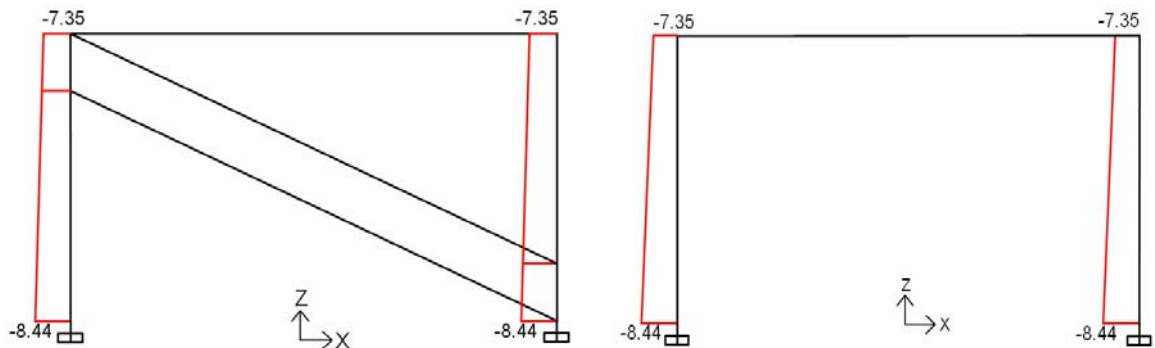
تیر			ستون		طبقه
آرماتور تحتانی	آرماتور فوقانی	ابعاد	آرماتور $\frac{1}{2}$	ابعاد $\frac{1}{4}$	
٣ # ٢٠	٦ # ٢٠	٦٥ × ٤٥	١٢ # ٢٢	٦٥ × ٦٥	١
٤ # ٢٠	٧ # ٢٠	٦٥ × ٤٥	١٢ # ٢٢	٦٥ × ٦٥	٢
٤ # ٢٠	٧ # ٢٠	٥٥ × ٤٥	١٢ # ١٨	٥٥ × ٥٥	٣
٤ # ٢٠	٧ # ٢٠	٥٥ × ٤٥	١٢ # ١٨	٥٥ × ٥٥	٤
٤ # ٢٠	٧ # ٢٠	٥٥ × ٤٥	١٢ # ١٨	٥٥ × ٥٥	٥
٣ # ٢٠	٦ # ٢٠	٥٠ × ٤٥	١٢ # ١٨	٥٠ × ٥٠	٦
٢ # ٢٠	٦ # ٢٠	٤٥ × ٤٠	١٢ # ١٨	٤٥ × ٤٥	٧
٢ # ٢٠	٥ # ٢٠	٤٠ × ٤٠	١٢ # ١٨	٤٠ × ٤٠	٨
٢ # ٢٠	٤ # ٢٠	٣٥ × ٣٥	١٢ # ١٨	٣٥ × ٣٥	٩

ابعاد بر حسب سانتیمتر (ارتفاع × عرض)

قطر آرماتور (بر حسب میلیمتر) # تعداد آرماتور

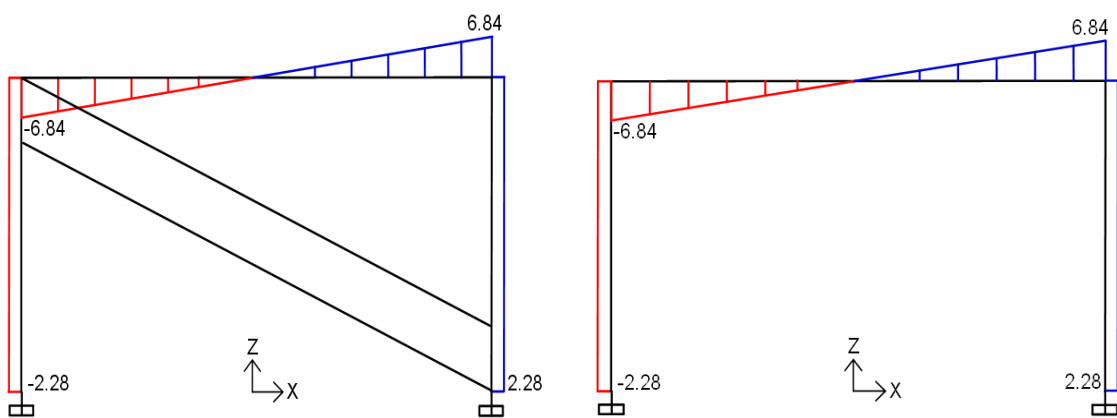
### ۲-۳- توزیع نیروهای محوری، برشی و خمشی در قاب ۱ دهانه ۱ طبقه

نیروهای محوری در حالت قاب بدون در نظر گرفتن اتصال دیوار با قاب بتني و همچنین در حالت اتصال دیوار پرکننده با قاب بتني تحت بار ثقل در شکل ۱۰-۳ و ۱۱-۳ نشان داده شده است.



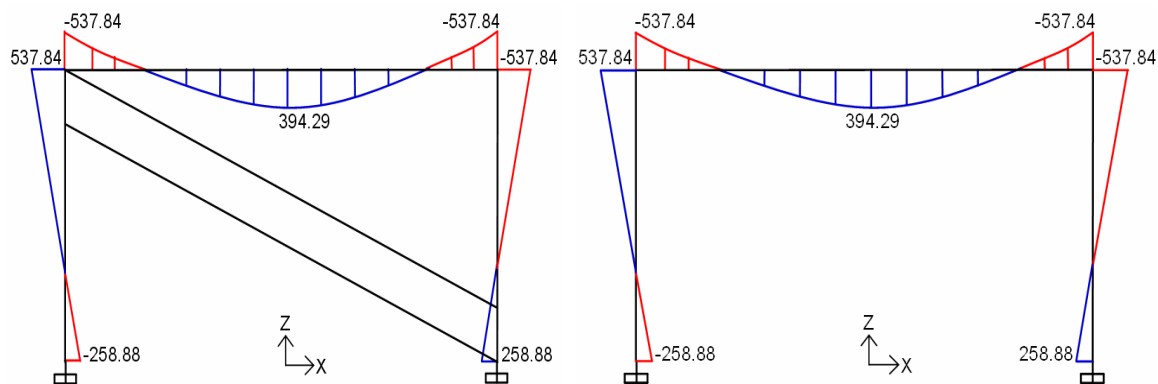
شکل ۳-۱۱ نیروی محوری تحت بار ثقل در حالت عدم اتصال دیوار با قاب

نیروهای برشی در حالت قاب بدون در نظر گرفتن اتصال دیوار با قاب بتني و همچنین در حالت اتصال دیوار پرکننده با قاب بتني تحت بار ثقل در شکل ۱۲-۳ و ۱۳-۳ نشان داده شده است.



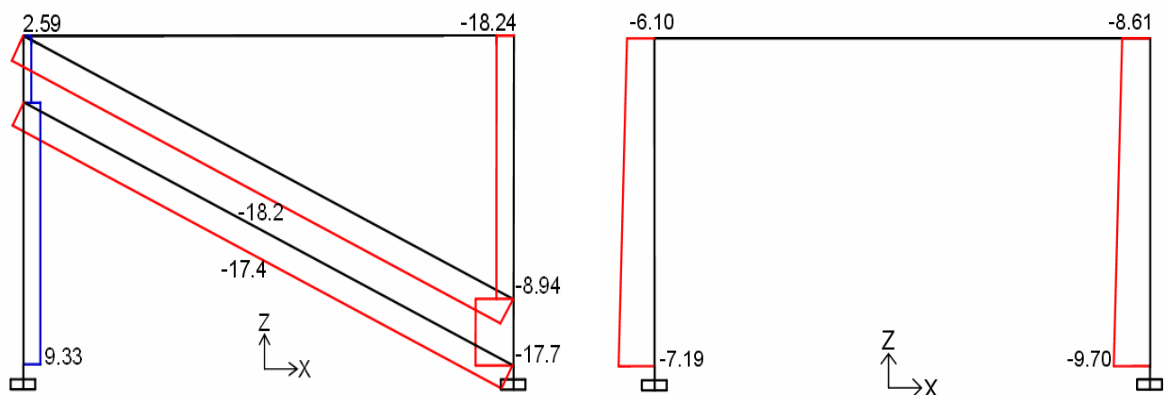
شکل ۳-۱۳ نیروی برشی تحت بار ثقل در حالت عدم اتصال دیوار با قاب

لنگرهای خمشی در حالت قاب بدون در نظر گرفتن اتصال دیوار با قاب بتني و همچنین در حالت اتصال دیوار پرکننده با قاب بتني تحت بار ثقل در شکل ۱۴-۳ و ۱۵-۳ نشان داده شده است.



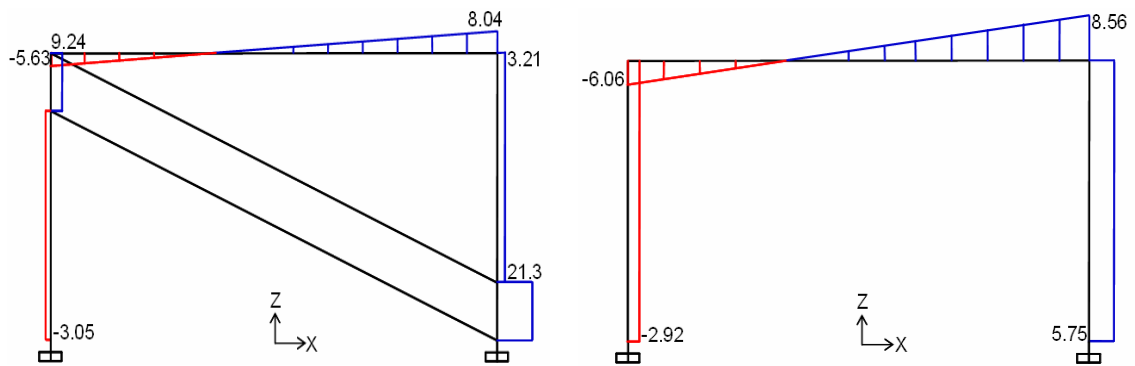
شکل ۱۴-۳ ۱۵ لنگرهای خمی تحت بار ثقل در حالت عدم اتصال دیوار با قاب

نیروهای محوری در حالت قاب بدون در نظر گرفتن اتصال دیوار با قاب بتی و همچنین در حالت اتصال دیوار پرکننده با قاب بتی تحت بار جانبی در مرحله قبل از شکست ستون بتی در شکل ۱۶-۳ و ۱۷-۳ نشان داده شده است.



شکل ۱۷-۳ نیروی محوری تحت بار جانبی در حالت عدم اتصال دیوار با قاب

نیروهای برشی در حالت قاب بدون در نظر گرفتن اتصال دیوار با قاب بتی و همچنین در حالت اتصال دیوار پرکننده با قاب بتی تحت بار جانبی در مرحله قبل از شکست ستون بتی در شکل ۱۸-۳ و ۱۹-۳ نشان داده شده است.

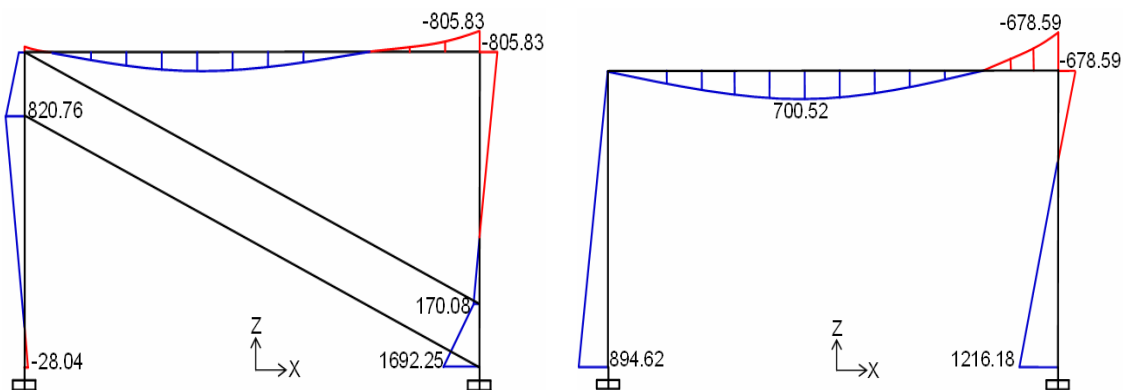


شکل ۱۸-۳ نیروی برشی تحت بار جانبی در حالت عدم اتصال دیوار با قاب

شکل ۱۸-۳ نیروی برشی تحت بار جانبی در حالت عدم اتصال دیوار با قاب

همانطور که در شکل ۱۸-۳ مشاهده می‌شود در حالت عدم وجود دیوار پرکننده برش‌ها به صورت یکنواخت در طول ستون پخش شده است، در صورتی که در شکل ۱۹-۳ مشاهده می‌شود در حالت وجود دیوار نیروهای برشی در محل اتصال دیوار با قاب بتُنی افزایش قابل توجهی یافته است که این افزایش ناشی از کاهش طول مؤثر ستون می‌باشد که نتیجه آن افزایش سختی و جذب نیروی بیشتر خواهد بود.

لنگرهای خمُشی در حالت قاب بدون در نظر گرفتن اتصال دیوار با قاب بتُنی و همچنین در حالت اتصال دیوار پرکننده با قاب بتُنی تحت بار جانبی در مرحله قبل از شکست ستون بتُنی در شکل ۲۰-۳ و ۲۱-۳ نشان داده شده است.



شکل ۲۰-۳ لنگرهای خمُشی تحت بار جانبی در حالت عدم اتصال دیوار با قاب

شکل ۲۰-۳ لنگرهای خمُشی تحت بار جانبی در حالت عدم اتصال دیوار با قاب

همانطور که در شکل ۲۰-۳ مشاهده می‌شود در حالت عدم وجود دیوار پرکننده لنگرهای خمثی به صورت تقریباً مثلثی پخش شده است، در صورتی که در شکل ۲۱-۳ مشاهده می‌شود در حالت وجود دیوار لنگرهای خمثی در محل اتصال دیوار با قاب بتنی افزایش قابل توجهی یافته است که این افزایش ناشی از کاهش طول مؤثر ستون می‌باشد که نتیجه آن افزایش سختی و جذب نیروی بیشتر خواهد بود.

### ۳-۳- اثر دیوار روی پریود سازه

پریود اصلی سازه یکی از خصوصیات اصلی ساختمان است. پریود، نشان دهندهٔ نسبت جرم به سختی سازه است. در محاسبات طراحی برای یک زلزله با شدت مشخص، پریود سازه، مهمترین عامل تعیین نیروی استاتیکی معادل است.

در فرایند طراحی، مصالح ساختمان دارای رفتار خطی الاستیک فرض می‌شوند. از اثرات اجزای غیر سازه‌ای (مانند تیغه‌بندی و غیره) صرف نظر می‌شود. همچنین شکل ساده‌ای برای مود اصلی ارتعاش سازه در نظر گرفته می‌شود، در حالی که وجود دیوار می‌تواند پریود را تا نصف کاهش دهد. در اینجا با محاسبه‌ی پریود سازه در حالت‌های مختلف وجود دیوار مقایسه آن‌ها با حالت قاب خالی اثر دیوار روی پریود سازه را بررسی می‌کنیم. اثر ترک‌خوردگی نیز با وارد کردن بار ثقلی و سپس محاسبه‌ی پریود در نظر گرفته شده است.

همچنین اثر بار شقلی را در ترک خوردگی و زیادتر شدن پریود سازه بررسی می‌کنیم و نشان می‌دهیم که گفته‌ی آیین‌نامه (تبصره ۲ بند ۳-۲-۶) در این مورد که اثر ترک خوردگی روی پریود را در سازه‌های بتُنی با در نظر گرفتن ممان اینرسی مقاطع تیرها برابر  $I_g/5$  و ممان اینرسی مقاطع ستون‌ها برابر  $I_g$  وارد می‌کند، درست می‌باشد.

### ۳-۱- بررسی تطبیقی آبین نامه های مختلف دنیا در مورد اثر دیوار پر کنده‌ی

آجري

### ۱-۱-۳-۳- مقایسه‌ی آیین‌نامه‌ی کشورهای مختلف:

در یک دسته‌بندی کلی می‌توان گفت که آیین‌نامه‌های لرزاکی کشورهای مختلف دنیا در دو گروه جای می‌گیرند. برخی از آن‌ها اثرات دیوار را در طراحی سازه لحاظ می‌کنند و برخی دیگر نیز این اثر را در نظر نمی‌گیرند. تعداد محدودی از آیین‌نامه‌ها به‌طور مشخص توصیه می‌کنند که دیوارهای بنایی از قاب‌ها ایزوله شوند تا تأثیری در سختی و مقاومت ساختمان نداشته باشند.

(نیوزلند 1996 SNIP-II-7-81، روسیه 1995 NZS-3101) در صورتی که دیوارها از قاب ایزوله شوند

در فرآیند تحلیل و طراحی نیز لحاظ نمی‌شوند. در این صورت هرچند از آثار منفی تماس دیوار با قاب، جلوگیری می‌شود ولی از اثرات مثبت آن نیز نمی‌توان استفاده کرد.

برخی از آییننامه‌ها نیز ترجیح می‌دهند از مزایای دیوار آجری در افزایش سختی اولیه و مقاومت جانبی ساختمان استفاده کنند. در این صورت باید اثر وجود دیوار در فرآیند تحلیل و طراحی ساختمان موردنظر قرار گیرد به عبارت دیگر این آییننامه‌ها تمایل دارند که از تمام پتانسیل دیوارهای پرکننده به عنوان اولین خط دفاعی در مقابل زلزله استفاده کنند.

در جدول ۳-۴ فهرست آییننامه‌ی کشورهای مورد بحث ارائه شده است. مشاهده می‌شود که برخی از آییننامه‌ها شباهت زیادی به یکدیگر دارند. زیرا معمولاً کمیته‌های تدوین هر آییننامه، با آییننامه‌ی سایر کشورها نیز به خوبی آشنا هستند.

IBC (ICC 2003) سیستم‌های متعددی به همراه قاب بتن مسلح و مصالح بنایی برای سازه‌های جدید ارائه داده است. ولی استفاده از دیوار پرکننده‌ی بنایی غیرمسلح را مجاز نمی‌داند.

جدول ۳-۴ فهرست آیین‌نامه‌ی کشورهای مختلف [۶]

خارج از صفحه	$O^*$	$K_i^5$	$\sigma_i^4$	جله‌جایی	$K^3$	نما	پلان	دیوار	قاب	$T_a^+$	$D^1$	کشور (آیین‌نامه)
×	×	×	×	×	1.2–1.5	×	×	×	×	Y	Y	آلبانی (۱۹۸۹)
×	×	×	×	×	1.42	×	×	×	25	Y	Y	الجزایر (۱۹۸۸)
×	×	×	×	×	1.5–3.0 <sup>v</sup>	Y	×	×	×	×	Y	بلغارستان (۱۹۸۷)
×	×	×	×	Y	×	×	×	×	×	Y	چین (۱۹۸۹) (GBJ-11-89)	
×	×	×	×	Y	×	×	×	10 0	25	Y	Y	کلمبیا (۱۹۸۸)
×	×	×	×	Y	×	Y	Y	×	×	Y	Y	کاستاریکا (۱۹۸۶)
×	×	×	×	Y	2	×	×	10 0	25	Y	Y	مصر (۱۹۸۸)
×	×	×	×	Y	1.25	Y	Y	10 0	25	Y	Y	اتیوبی (۱۹۸۳) (ESCP-1)
Y	Y	Y	Y	Y	1.2	Y	Y	50- 60	Y	Y	Y	یوروکد ۸ (۲۰۰۳)
×	×	×	Y	Y	Y	Y	Y	Y	Y	Y	Y	فرانسه (۱۹۹۰) (AFPS-90)
×	×	Y	Y	Y	Y	Y	Y	Y	Y	Y	Y	آمریکا (IBC-2003)
×	×	Y	Y	Y	Y	Y	Y	Y	Y	Y	Y	هند (۲۰۰۲) (IS-1893)
Y	Y	Y	Y	Y	2.0	Y	Y	Y	Y	Y	Y	نپال (۱۹۹۵) (NBC-105)
×	Y	Y	Y	Y	Y	Y	Y	Y	Y	Y	Y	فیلیپین (۱۹۹۲) (NSCP)
×	Y	Y	Y	Y	Y	Y	Y	Y	Y	Y	Y	ونزوئلا (۱۹۸۸)
Y	Y	Y	Y	Y	Y	Y	Y	Y	Y	Y	Y	<sup>۶</sup> FEMA-306

<sup>۱</sup> باید برای ساختمان‌های نامنظم، سازه‌های بلند، ساختمان‌های مهم و سازه‌های واقع در نواحی با لرزه‌خیزی بالا مورد تحلیل دینامیکی قرار گیرند.

<sup>۲</sup> عبارت است از پریود اصلی ارتعاش برای قاب‌های بتنی دارای دیوار پرکننده‌ی آجری

<sup>۳</sup> عبارت است از نسبت نیروهای طرح لرزه‌ای برای قاب‌های بتن مسلح دارای دیوار پرکننده‌ی آجری به قاب‌های بتن مسلح بدون دیوار بهعلت تفاوت در ضریب کاهش پاسخ

<sup>۴</sup> عبارت است از مقاومت دیوار پرکننده‌ی آجری

<sup>۵</sup> عبارت است از سختی دیوار پرکننده‌ی آجری

<sup>۶</sup> بازشوها در دیوار پرکننده‌ی آجری

<sup>۷</sup> ضریب پاسخ برای ساختمان‌های با طبقه‌ی نرم باید به اندازه‌ی دو برابر مقدار مربوط به ساختمان‌های منظم دارای دیوار پرکننده و سه برابر مقدار مربوط به ساختمان‌های بدون دیوار پرکننده افزایش یابد.

### ۳-۱-۲- روابط تجربی برای پریود طبیعی [۳]

توجه شود که وجود دیوار آجری در ساختمان باعث افزایش جرم و سختی می‌شود ولی تأثیر آن در افزایش سختی، دارای اهمیت بیشتری است. به علت افزایش سختی، پریود ساختمان‌های دارای دیوار آجری، کمتر از حالت بدون دیوار است. در نتیجه نیروهای طراحی در حالت وجود دیوار، عموماً بیشتر از حالت قاب بدون دیوار است. با این وجود تعداد اندکی از آیین‌نامه‌ها اثر وجود دیوار آجری را مستقیماً در کاهش پریود طبیعی ساختمان، منظور می‌کنند.

آیین‌نامه‌های متعددی نظیر هند (2002) IS-1893، کلمبیا (1998) NSR-98، آیین‌نامه‌ی مصر (۱۹۸۸)، آیین‌نامه‌ی ونزوئلا (۱۹۸۸)، اتیوبی (۱۹۸۹)، آلبانی (۱۹۸۹) و تایلند رابطه‌ی زیر را برای تعیین پریود طبیعی ساختمان‌های بتونی دارای دیوار آجری پیشنهاد می‌دهند:

$$T_a = \frac{0.09 h}{\sqrt{d}} \quad \text{units} \left\{ \begin{array}{l} T_a : s \\ h, d : m \end{array} \right\} \quad (1-3)$$

که در آن  $h$  ارتفاع ساختمان و  $d$  بعد ساختمان در جهت نیروی زلزله است.

برای تخمین  $T_a$ ، آیین‌نامه‌ی فرانسه (AFPS-90 1990) رابطه‌ی زیر را برای تعیین پریود این ساختمان‌ها پیشنهاد می‌کند:

$$T_a = 0.06 \frac{h}{\sqrt{d}} \sqrt{\frac{h}{2d + h}} \quad \text{units: } \{T : s\} \quad (2-3)$$

آیین‌نامه‌ی کاستاریکا (۱۹۸۶) برای تعیین پریود ساختمان‌های بتونی دارای دیوار آجری، رابطه‌ی زیر را پیشنهاد می‌دهد:

$$T_a = 0.08 N \quad (3-3)$$

که در آن  $N$  تعداد طبقات ساختمان است. کاهش ۲۰ درصدی در مقدار پریود در مقایسه با  $T_a = 0.1N$  برای درنظر گرفتن سختی دیوارها است.

آییننامه‌ی الجزیره (۱۹۸۸)، برای تعیین پریود ساختمان‌های بتنی با و بدون دیوار آجری، رابطه‌ی زیر را پیشنهاد می‌دهد:

$$T_a = C_t h_N^{0.75} \quad (4-3)$$

عدم وجود دیوار پرکننده:

$$C_t = 0.075 \quad (5-3)$$

در صورت وجود دیوار پرکننده:

$$C_t = 0.05 \quad (6-3)$$

با دقت در روابط (۱-۳) تا (۳-۳) از آییننامه‌های مختلف مشاهده می‌شود که  $T_a$ ، تابعی از مقدار دیوار در طبقات مختلف و توزیع آن در ارتفاع نیست. برخی از آییننامه‌ها نظیر EC8 2003، کلمبیا 1998 NSR-98، فیلیپین 1992 NSCP، روش‌های واقع‌بینانه‌ترینی برای تعیین  $T_a$  پیشنهاد داده‌اند.

استفاده از رابطه‌ی زیر را برای ساختمان‌هایی با ارتفاع ۴۰ متر یا کمتر پیشنهاد می‌کند:

$$T_a = C_t h^{0.75} \quad (7-3)$$

که در آن

$$C_t = \frac{0.075}{\sqrt{A_c}} \quad (8-3)$$

و

$$A_c = \sum A_i \left( 0.2 + \frac{l_{wi}}{h} \right); \frac{l_{wi}}{h} \leq 0.9 \quad units : \begin{cases} A_c, A_i & in \quad m^2 \\ l_{wi} & in \quad m \end{cases} \quad (9-3)$$

که در آن  $C_t$  ضریب تصحیح برای دیوار آجری است.  $A_c$  اثر وجود دیوار آجری در طبقه‌ی اول

را لحاظ می‌کند.  $A_i$  سطح مقطع مؤثر دیوار  $i$  در طبقه‌ی اول و  $l_{wi}$  طول دیوار  $i$  در طبقه‌ی اول در جهت موردنظر است.

ویرایش قدیمی آییننامه‌ی کلمبیا (NSR-84 1984) معادله‌ی (۱-۳) را برای تعیین  $T_a$  پیشنهاد کرده است که در آن  $d$  شامل اثر توزیع دیوار آجری در قاب است:

$$d = d_{s \max} \sum_{s=1}^{N_s} \left( \frac{d_s}{d_{s \max}} \right)^2 \quad \text{units: } \{d, d_s, d_{s \max} \text{ in m}\} \quad (10-3)$$

که در آن  $d_s$  طول قطعه دیوار،  $d_{s \max}$  طول بزرگترین قطعه دیوار و  $N_s$  تعداد قطعات دیوار در جهت موردنظر است. انتظار می‌رود که با استفاده از رابطه‌ی (۱۰-۳)، مقدار  $T_a$  در مقایسه با معادله‌ی (۱-۳) دارای دقت بیشتری است. در نسخه‌ی بعدی آییننامه‌ی کلمبیا (NSR-98 1998)، معادلات (۷-۳) و (۸-۳) برای تعیین  $T_a$  و  $C_t$  پیشنهاد شده است با این تفاوت که مقدار حد بالای  $C_t$  به ۰٪ محدود شده و رابطه‌ی جدیدی برای تعیین  $A_c$  پیشنهاد شده است:

$$A_c = \sum A_i \left( 0.02 + \left( \frac{l_{wi}}{h} \right)^2 \right); \quad \frac{l_{wi}}{h} \leq 0.9 \quad (11-3)$$

$$C_t \leq 0.07$$

آییننامه‌های بنگلادش و السالوادور، برای تعیین پریود ساختمان‌های بتنی رابطه‌ی زیر را پیشنهاد می‌دهند:

$$T = C_V h^{0.75} \quad (12-3)$$

$$C_V = 0.073 \quad (13-3)$$

آییننامه‌ی نپال، برای تعیین پریود ساختمان‌های بتنی رابطه‌ی زیر را پیشنهاد می‌دهد:

$$T = 0.06 h^{0.75} \quad (14-3)$$

آییننامه‌ی سوریه، برای تعیین پریود ساختمان‌های بتونی رابطه‌ی زیر را پیشنهاد می‌دهد:

$$T = \gamma_t h^{0.75} \quad (15-3)$$

$$\gamma_t = 0.0731 \quad (16-3)$$

آییننامه‌ی آمریکا، برای تعیین پریود ساختمان‌های بتونی رابطه‌ی زیر را پیشنهاد می‌دهد:

$$T_a = C_t h^x \quad (17-3)$$

$$\gamma_t = 0.055 \quad , \quad x = 0.75 \quad (18-3)$$

### ۳-۳-۳- قاب ۳ طبقه:

نتایج محاسبه‌ی پریود در حالات مختلف در جداول زیر نشان داده شده است:

جدول ۵-۳ اثر دیوار ۱۷ و ۲۳ سانتی‌متری روی پریود سازه

23 cm infill wall		17 cm infill wall		Infill
3 bay	1 bay	3 bay	1 bay	No. of Infill
0.3788	0.3788	0.3788	0.3788	T1 2800
0.303	0.303	0.303	0.303	T1 2800+Masonry
0.66891	0.66891	0.66891	0.6689	Sap 0.5Ig, Ig(Bare Frame)
0.26719	0.53304	0.29924	0.54406	T1 sap + strut
0.506613	0.506613	0.506613	0.506613	OpenSees befor gravity load
0.661279	0.661279	0.661279	0.661279	T1 OpenSees bare frame
0.240211	0.493998	0.270353	0.519768	T1 Op + strut
0.9375	0.3125	0.9375	0.3125	Masonry area %
0.8	0.8	0.8	0.8	T Coefficent 2800
0.39944	0.75247	0.44735	0.81335	T Coefficent Sap
0.36325	0.74703	0.40833	0.766	T Coefficent OpenSees

در این جداول (T<sub>1</sub> 2800) از رابطه ۱۹-۳ که همان رابطه (۶-۲) آینه‌نامه ۲۸۰۰ می‌باشد

به دست می‌آید و (T<sub>1</sub> 2800+Masonry) از رابطه ۲۰-۳ بدست می‌آید.

$$T = 0.07H^{\frac{3}{4}} \quad (19-3)$$

$$T = 0.056H^{\frac{3}{4}} \quad (20-3)$$

همان‌طور که در جدول ۵-۳ دیده می‌شود پریود مود اول در قاب خالی در نرم‌افزار Sap با در نظر گرفتن ممان اینرسی مقاطع تیرها برابر  $I_g/50$  و ممان اینرسی مقاطع ستون‌ها برابر  $I_g$  برابر

۰/۶۶۸۹۱ می باشد و با عدد ۰/۶۶۱۲۷ که پریود مود اول در نرم افزار OpenSees بعد از اعمال بار ثقلی

است تقریباً یکی می باشد، که این تصدیق تبصره ۲ بند ۳-۶ آیین نامه ۲۸۰۰ می باشد.

در جدول ذکر شده مشاهده می شود که در حالت های وجود دیوار پریود سازه کمتر می شود که

بیان گر این مطلب است که سازه سخت تر می شود. در شکل ۲۲-۳ میزان تغییر در پریود سازه در

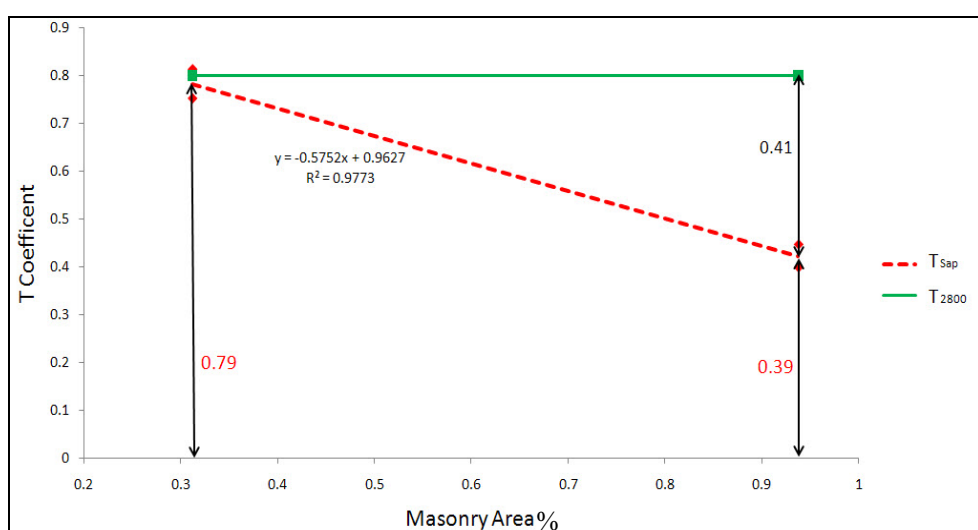
حالی که دیوار داریم نسبت به پریود قاب خالی در نرم افزار SAP سنجیده شده است. این نسبت در

آیین نامه ۲۸۰۰ برای تمامی حالات وجود دیوار برابر ۰/۸ معرفی شده است در حالی که در بعضی

حالات به عدد ۰/۴ هم می رسد، که این نشان می دهد آیین نامه ۲۸۰۰ در این قسمت در خلاف جهت

اطمینان کار کرده است زیرا با کمتر شدن پریود نیروی برش پایه ای که باید در طراحی لحاظ شود

بزرگتر می شود در حالی که به اشتباه سازه برش پایه ای کوچکتری طراحی شده است.



شکل ۲۲-۳ اثر دیوار در پریود سازه در نرم افزار SAP (نسبت پریود قاب با دیوار به پریود قاب خالی)

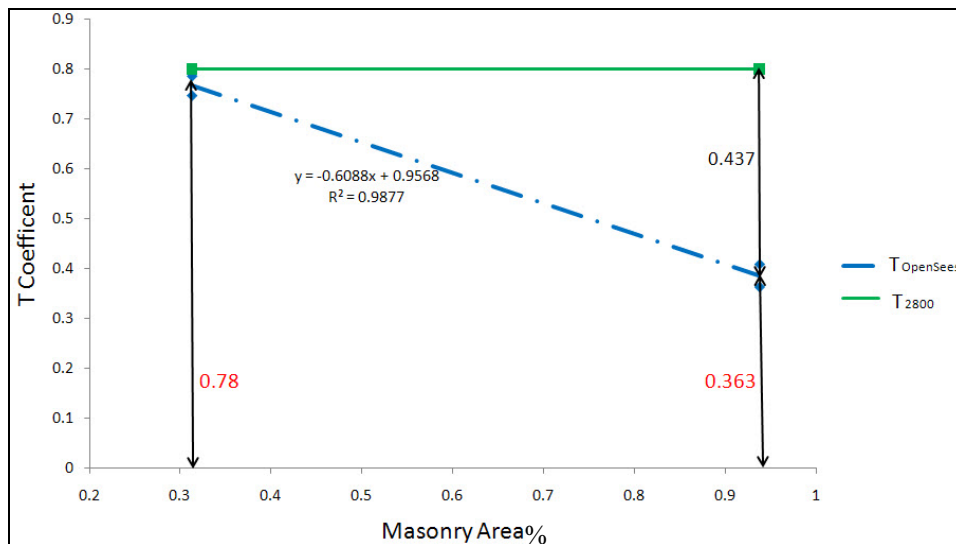
در شکل ۳ ۲۳-۳ میزان تغییر در پریود سازه در حالی که دیوار داریم نسبت به پریود قاب خالی

در نرم افزار OpenSees سنجیده شده است. این نسبت در آیین نامه ۲۸۰۰ برای تمامی حالات وجود

دیوار برابر ۰/۸ معرفی شده است در حالی که در بعضی حالات به عدد ۰/۳۶۳ هم می رسد، که این

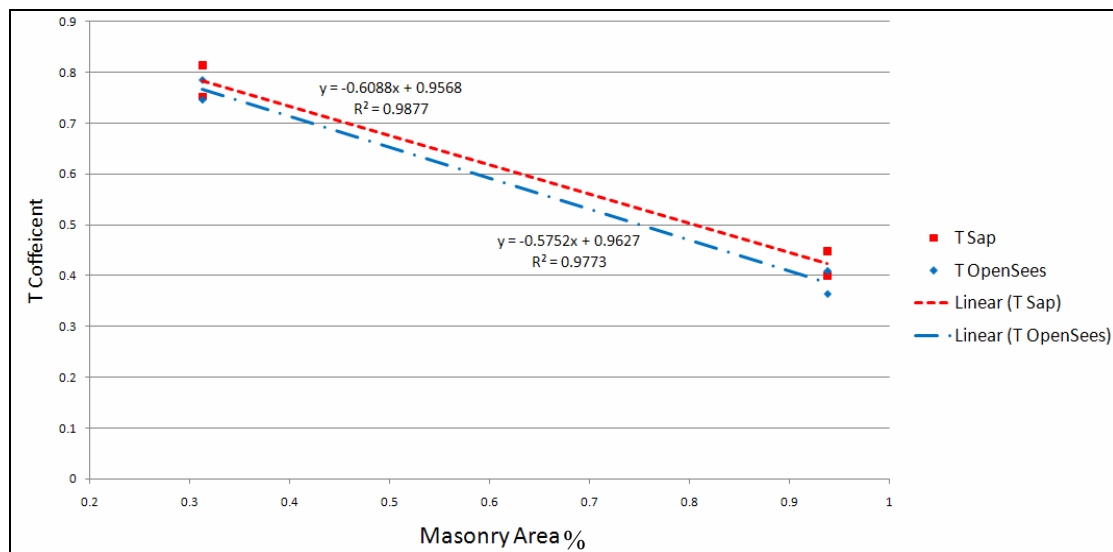
نشان می دهد آیین نامه ۲۸۰۰ در این قسمت در خلاف جهت اطمینان کار کرده است زیرا با کمتر

شدن پریود نیروی برش پایه‌ای که باید در طراحی لحاظ شود بزرگتر می‌شود در حالی که به اشتباه سازه برای برش پایه‌ی کوچکتری طراحی شده است.



شکل ۲۳-۳ اثر دیوار در پریود سازه در نرم‌افزار OpenSees (نسبت پریود قاب با دیوار به پریود قاب خالی)

در شکل ۲۴-۳ میزان تغییر در پریود سازه در حالتی که دیوار داریم نسبت به پریود قاب خالی در دو نرم‌افزار Sap و OpenSees مقایسه شده است.



شکل ۲۴-۳ اثر دیوار در پریود سازه در نرم‌افزار OpenSees و Sap (نسبت پریود قاب با دیوار به پریود قاب خالی)

همانطور که در شکل مشاهده می‌شود اختلاف اندکی بین دو نرم‌افزار وجود دارد که این اختلاف ناشی از عدم در نظر گرفتن میلگردها در محاسبه سختی در نرم‌افزار Sap می‌باشد.

### ۳-۳-۳- قاب ۵ طبقه

نتایج محاسبه‌ی پریود در حالات مختلف در جداول زیر نشان داده شده است:

جدول ۳-۶ اثر دیوار ۱۷ و ۲۳ سانتی‌متری روی پریود سازه

23 cm infill wall		17 cm infill wall		Infill
3 bay	1 bay	3 bay	1 bay	No. of Infill
0.5468	0.5468	0.5468	0.5468	T1 2800
0.4374	0.4374	0.4374	0.4374	T1 2800+Masonry
1.1049	1.1049	1.1049	1.1049	sap 0.5 Ig , Ig(Bare Frame)
0.41915	0.7442	0.46651	0.79643	T1 sap + strut
0.6878	0.6878	0.6878	0.6878	opensees before gravity load
0.9907	0.9907	0.9907	0.9907	T1 opensees bare frame
0.3625	0.6590	0.3955	0.7131	T1 op + strut
0.9375	0.3125	0.9375	0.3125	Masonry area %
0.8	0.8	0.8	0.8	T Coefficient 2800
0.3793	0.6735	0.4222	0.7208	T Coefficient Sap
0.3659	0.6651	0.3992	0.7197	T Coefficient OpenSees

در این جداول (T<sub>1</sub> 2800) از رابطه ۲۱-۳ که همان رابطه (۶-۲) آینه‌نامه ۲۸۰۰ می باشد

به دست می‌آید و (T<sub>1</sub> 2800+Masonry) از رابطه ۲۲-۳ بدست می‌آید.

$$T = 0.07H^{\frac{3}{4}} \quad (21-3)$$

$$T = 0.056H^{\frac{3}{4}} \quad (22-3)$$

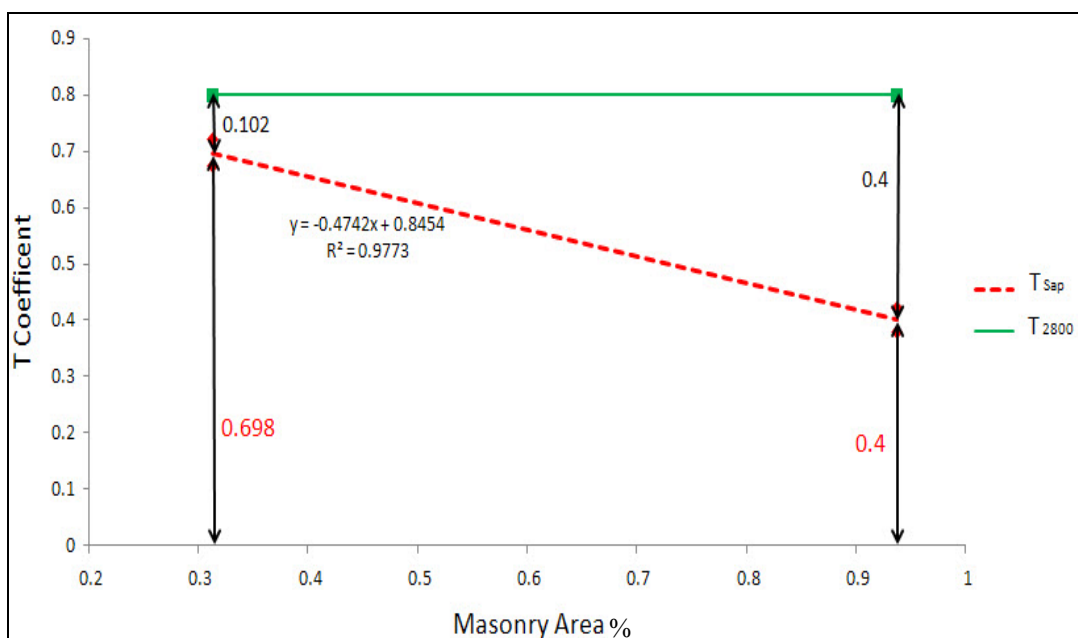
همان‌طور که در جدول ۳-۶ دیده می‌شود پریود مود اول در قاب خالی در نرم‌افزار Sap با در

نظر گرفتن ممان اینرسی مقاطع تیرها برابر  $I_g/50$  و ممان اینرسی مقاطع ستون‌ها برابر  $I_g$  برابر

۱/۱۰۴۹ می‌باشد و به عدد ۰/۹۹۰۷ که پریود مود اول در نرم‌افزار OpenSeas بعد از اعمال بار ثقلی

است خیلی نزدیک می‌باشد، که این تصدیق تبصره ۲ بند ۳-۲ آینه‌نامه ۲۸۰۰ می‌باشد.

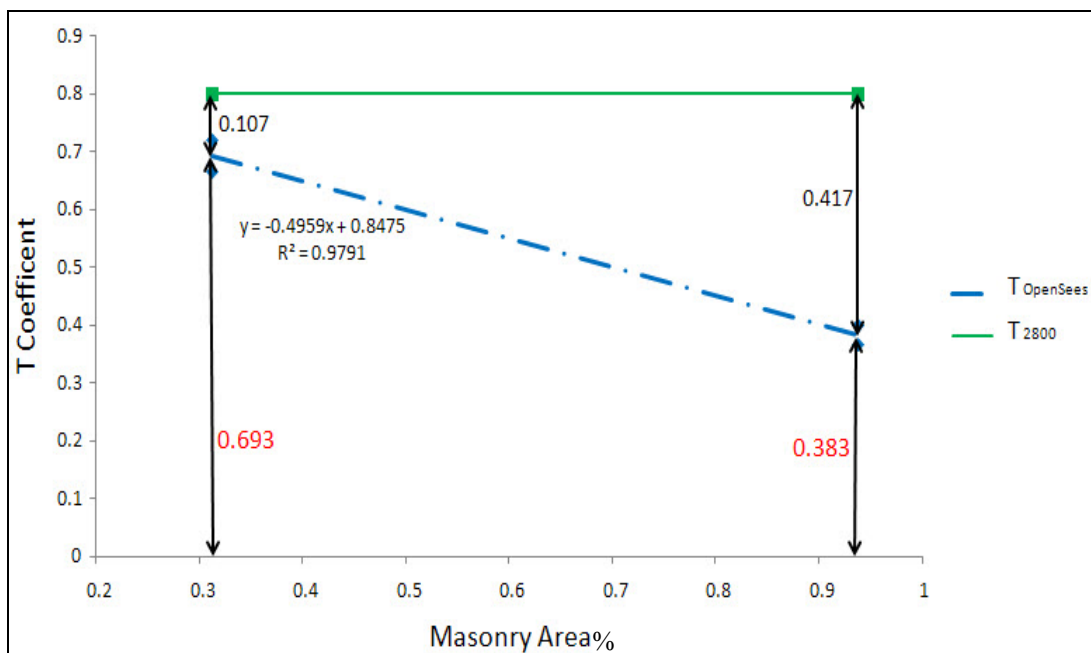
در جدول مذکور مشاهده می‌شود که در حالت‌های وجود دیوار پریود سازه کمتر می‌شود که بیان‌گر این مطلب است که سازه سخت‌تر می‌شود. در شکل ۲۵-۳ میزان تغییر در پریود سازه در حالتی که دیوار داریم نسبت به پریود قاب خالی در نرم‌افزار SAP سنجیده شده است. این نسبت در آیین‌نامه ۲۸۰۰ برای تمامی حالات وجود دیوار برابر  $1/8$  معرفی شده است در حالیکه در بعضی حالات به عدد  $379/0$  هم می‌رسد که این نشان می‌دهد آیین‌نامه ۲۸۰۰ در این قسمت در خلاف جهت اطمینان کار کرده است، زیرا با کمتر شدن پریود نیروی برش پایه‌ای که باید در طراحی لحاظ شود بزرگ‌تر می‌شود در حالی که به اشتباه سازه برای برش پایه‌ی کوچکتری طراحی شده است.



شکل ۲۵-۳ اثر دیوار در پریود سازه در نرم‌افزار Sap (نسبت پریود قاب با دیوار به پریود قاب خالی)

در شکل ۲۶-۳ میزان تغییر در پریود سازه در حالتی که دیوار داریم نسبت به پریود قاب خالی در نرم‌افزار OpenSees سنجیده شده است. این نسبت در آیین‌نامه ۲۸۰۰ برای تمامی حالات وجود دیوار برابر  $1/8$  معرفی شده است در بعضی حالات به عدد  $365/0$  هم می‌رسد که این نشان می‌دهد آیین‌نامه ۲۸۰۰ در این قسمت در خلاف جهت اطمینان کار کرده است، زیرا با کمتر شدن پریود نیروی برش پایه‌ای که باید در طراحی لحاظ شود بزرگ‌تر می‌شود در حالی که به اشتباه سازه

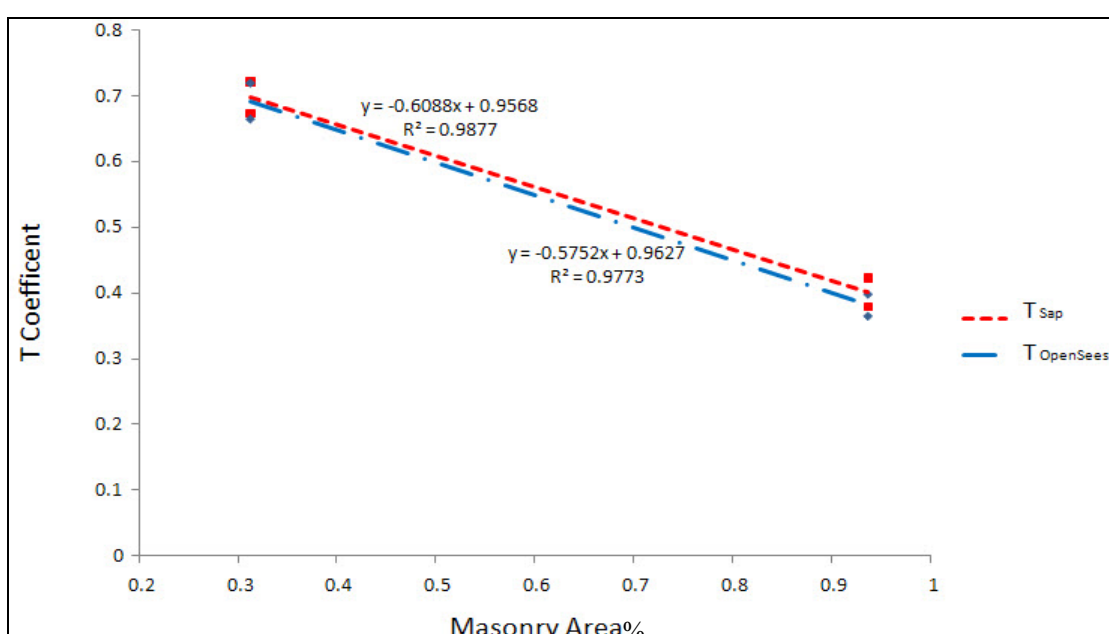
برای برش پایه‌ی کوچکتری طراحی شده است.



شکل ۲۶-۳ اثر دیوار در پریود سازه در نرم‌افزار OpenSees (نسبت پریود قاب با دیوار به پریود قاب خالی)

در شکل ۲۷-۳ میزان تغییر در پریود سازه در حالتی که دیوار داریم نسبت به پریود قاب خالی

در دو نرم‌افزار Sap و OpenSees مقایسه شده است.



شکل ۲۷-۳ اثر دیوار در پریود سازه در نرم‌افزار OpenSees و Sap (نسبت پریود قاب با دیوار به پریود قاب خالی)

همانطور که در شکل مشاهده می‌شود اختلاف اندکی بین دو نرمافزار وجود دارد که این اختلاف ناشی از عدم در نظر گرفتن میلگردها در محاسبه سختی در نرمافزار Sap می‌باشد.

### ۴-۳-۳- قاب ۹ طبقه

نتایج محاسبه‌ی پریود در حالات مختلف در جداول زیر نشان داده شده است:

جدول ۳- اثر دیوار ۱۷ و ۲۲ سانتی‌متری روی پریود سازه

23 cm infill wall		17 cm infill wall		Infill
3 bay	1 bay	3 bay	1 bay	No. of Infill
0.84062	0.84062	0.8406	0.8406	T1 2800
0.6725	0.6725	0.6725	0.6725	T1 2800+Masonry
1.2974	1.2974	1.2974	1.2974	sap 0.5 Ig , Ig(Bare Frame)
0.6107	0.9012	0.6779	0.9446	T1 sap + strut
0.9358	0.9358	0.9358	0.9358	opensees before gravity load
1.2477	1.2477	1.2477	1.2477	T1 opensees bare frame
0.5608	0.8439	0.6201	0.8827	T1 op + strut
0.9375	0.3125	0.9375	0.3125	Masonry area %
0.8	0.8	0.8	0.8	T Coefficent 2800
0.4707	0.6946	0.5225	0.728	T Coefficent Sap
0.4494	0.6763	0.4969	0.7074	T Coefficent OpenSees

در این جداول (T<sub>1</sub> 2800) از رابطه ۲۳-۳ که همان رابطه (۶-۲) آینه‌نامه ۲۸۰۰ می‌باشد به-

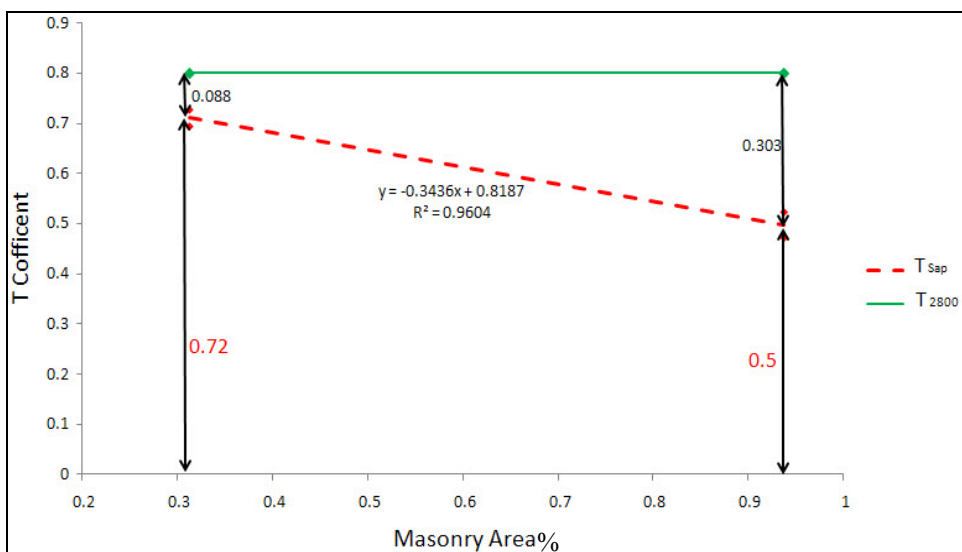
دست می‌آید و (T<sub>1</sub> 2800+Masonry) از رابطه ۲۴-۳ بدست می‌آید.

$$T = 0.07H^{\frac{3}{4}} \quad (23-3)$$

$$T = 0.056H^{\frac{3}{4}} \quad (24-3)$$

همان طور که در جدول ۷-۳ دیده می‌شود پریود مود اول در قاب خالی در نرم‌افزار Sap با در نظر گرفتن ممان اینرسی مقاطع تیرها برابر  $I_g^0 / 5$  و ممان اینرسی مقاطع ستون‌ها برابر  $I_g$  برابر  $1/2477$  می‌باشد و به عدد  $1/2477$  که پریود مود اول در نرم‌افزار OpenSees بعد از اعمال بار ثقلی  $1/2974$  است خیلی نزدیک می‌باشد، که این تصدیق تبصره ۲ بند ۲-۳-۶ آیین‌نامه ۲۸۰۰ می‌باشد.

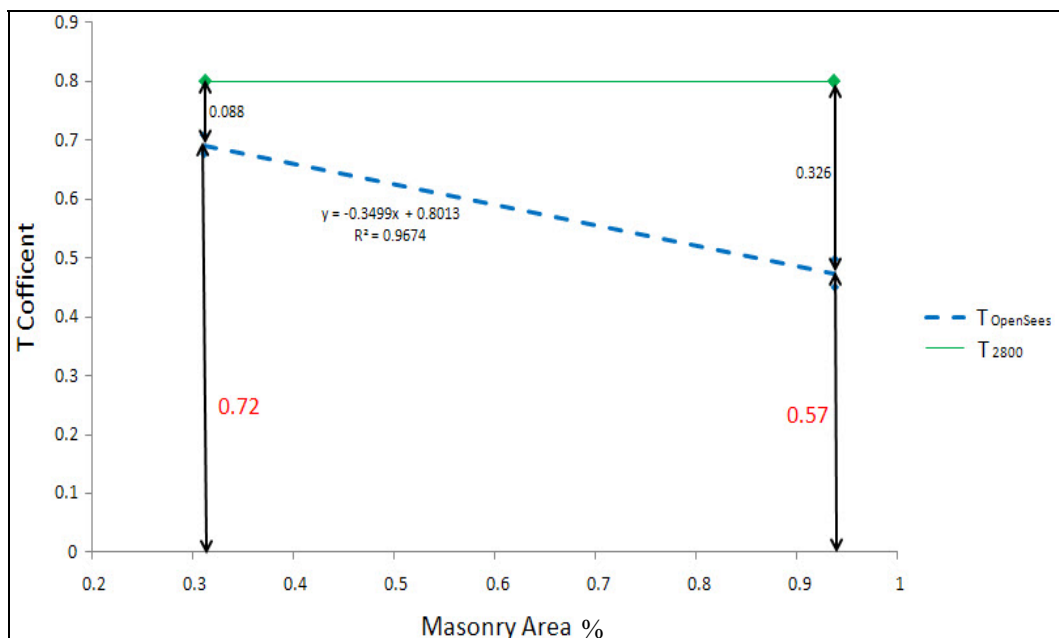
در جدول مذکور مشاهده می‌شود که در حالت‌های وجود دیوار پریود سازه کمتر می‌شود که بیان‌گر این مطلب است که سازه سخت‌تر می‌شود. در شکل ۲۸-۳ میزان تغییر در پریود سازه در حالتی که دیوار داریم نسبت به پریود قاب خالی در نرم‌افزار SAP سنجیده شده است. این نسبت در آیین‌نامه ۲۸۰۰ برای تمامی حالات وجود دیوار برابر  $0.8 / 0.72 = 0.88$  معرفی شده است در حالیکه در بعضی حالات به عدد  $0.72 / 0.5 = 1.47$  هم می‌رسد که این نشان می‌دهد آیین‌نامه ۲۸۰۰ در این قسمت در خلاف جهت اطمینان کار کرده است زیرا با کمتر شدن پریود نیروی برش پایه‌ای که باید در طراحی لحاظ شود بزرگ‌تر می‌شود در حالی که به اشتباه سازه برای برش پایه‌ی کوچکتری طراحی شده است.



شکل ۲۸-۳ اثر دیوار در پریود سازه در نرم‌افزار Sap (نسبت پریود قاب با دیوار به پریود قاب خالی)

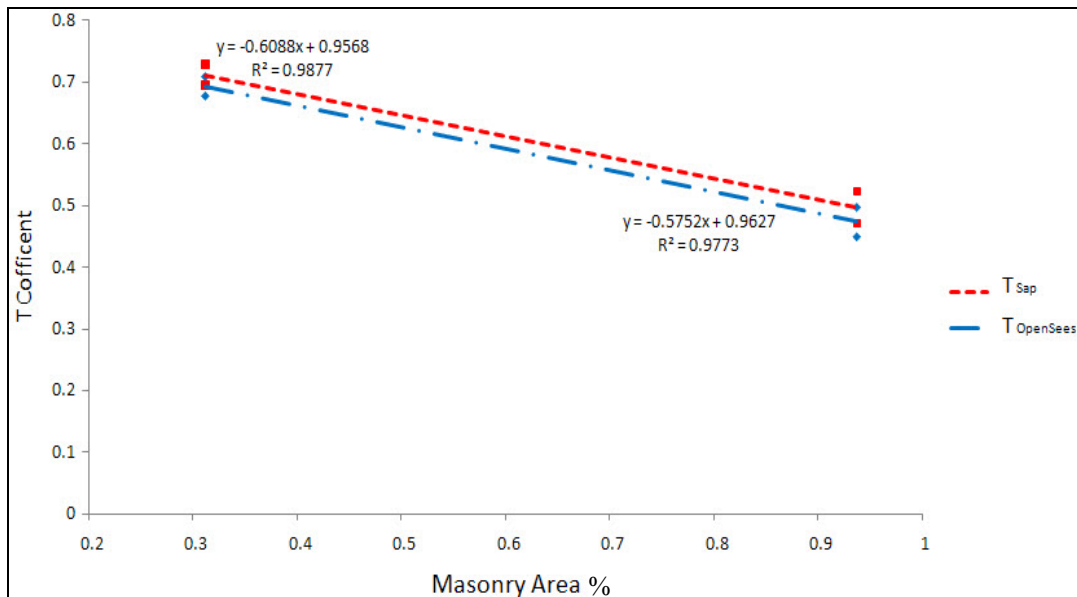
در شکل ۲۹-۳ میزان تغییر در پریود سازه در حالتی که دیوار داریم نسبت به پریود قاب خالی در نرم‌افزار OpenSees سنجیده شده است. این نسبت در آیین‌نامه ۲۸۰۰ برای تمامی حالات وجود

دیوار برابر  $8/0$  معرفی شده است در حالیکه در بعضی حالات به عدد  $449/0$  هم می‌رسد که این نشان می‌دهد آیین‌نامه  $2800$  در این قسمت در خلاف جهت اطمینان کار کرده است، زیرا با کمتر شدن پریود نیروی برش پایه‌ای که باید در طراحی لحاظ شود بزرگ‌تر می‌شود در حالی که به اشتباه سازه برای برش پایه‌ی کوچکتری طراحی شده است.



شکل ۳-۲۹ اثر دیوار در پریود سازه در نرم‌افزار OpenSees (نسبت پریود قاب با دیوار به پریود قاب خالی)

در شکل ۳-۳۰ میزان تغییر در پریود سازه در حالتی که دیوار داریم نسبت به پریود قاب خالی در دو نرم‌افزار OpenSees و Sap مقایسه شده است.



شکل ۳-۳۰ اثر دیوار در پریود سازه در نرم افزار OpenSees و Sap (نسبت پریود قاب با دیوار به پریود قاب خالی)

همانطور که در شکل مشاهده می‌شود اختلاف اندکی بین دو نرم افزار وجود دارد که این اختلاف ناشی از عدم در نظر گرفتن میلگردها در محاسبه سختی در نرم افزار Sap می‌باشد.

در جدول ۸-۳ روابط تجربی پریود در آییننامه‌های مختلف برای مدل‌های مورد بررسی آورده

شده است:

جدول ۸-۳ روابط تجربی پریود در آییننامه‌های مختلف

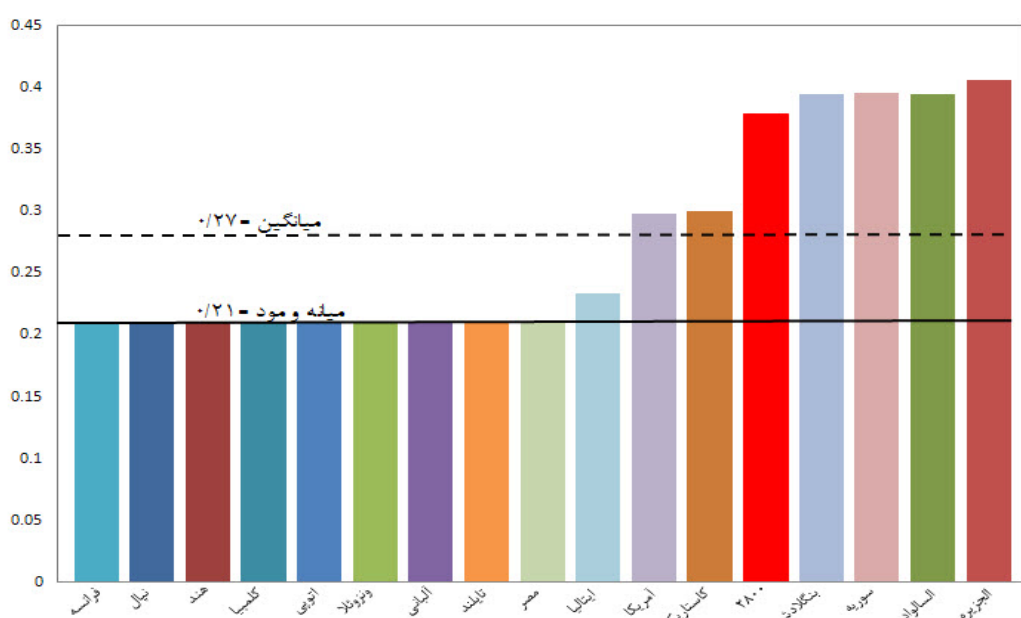
آییننامه	T	طبقه ۳ (Infill)	طبقه ۳ (Bare)	طبقه ۵ (Infill)	طبقه ۵ (Bare)	طبقه ۹ (Infill)	طبقه ۹ (Bare)
هند (2002) IS-1893	$T_a = \frac{0.09h}{\sqrt{d}}$	0.609	0.609	0.34342	0.34342	0.21048	0.21048
السالوادور	$T = 0.073h^{0.75}$	0.8766	0.8766	0.5702	0.5702	0.395	0.395
کلمبیا (NSR-98 1998)	$T_a = \frac{0.09h}{\sqrt{d}}$	0.609	0.609	0.34342	0.34342	0.21048	0.21048

$\times$	<b>0.9</b>	$\times$	<b>0.5</b>	$\times$	<b>0.3</b>	$T = 0.1N$	قاب خالی	کاستاریکا (۱۹۸۶)
<b>0.72</b>	$\times$	<b>0.4</b>	$\times$	<b>0.24</b>	$\times$	$T = 0.08N$	قاب با دیوار	
<b>0.609</b>	<b>0.609</b>	<b>0.34342</b>	<b>0.34342</b>	<b>0.21048</b>	<b>0.21048</b>	$T_a = \frac{0.09h}{\sqrt{d}}$		اتیوی (ESCP-1 1983)
<b>0.7205</b>	<b>0.7205</b>	<b>0.4687</b>	<b>0.4687</b>	<b>0.3246</b>	<b>0.3246</b>	$T = 0.06h^{0.75}$		نپال (1995) NBC-105
$\times$	<b>0.9</b>	$\times$	<b>0.5858</b>	$\times$	<b>0.4058</b>	$T_a = 0.075 h_N^{0.75}$	قاب خالی	الجزیره (۱۹۸۸)
<b>0.6004</b>	$\times$	<b>0.3905</b>	$\times$	<b>0.2705</b>	$\times$	$T_a = 0.05 h_N^{0.75}$	قاب با دیوار	
<b>0.609</b>	<b>0.609</b>	<b>0.34342</b>	<b>0.34342</b>	<b>0.21048</b>	<b>0.21048</b>	$T_a = \frac{0.09h}{\sqrt{d}}$		ونزئلا (۱۹۸۸)
<b>0.609</b>	<b>0.609</b>	<b>0.34342</b>	<b>0.34342</b>	<b>0.21048</b>	<b>0.21048</b>	$T_a = \frac{0.09h}{\sqrt{d}}$		آلبانی (۱۹۸۹)
$\times$	<b>0.609</b>	$\times$	<b>0.3434</b>	$\times$	<b>0.21</b>	$T_a = 0.09 \frac{h}{\sqrt{d}}$	قاب خالی	فرانسه (AFPS -90 1990)
<b>0.2738</b>	$\times$	<b>0.1294</b>	$\times$	<b>0.0663</b>	$\times$	$T_a = 0.06 \frac{h}{\sqrt{d}} \sqrt{\frac{h}{2d+h}}$	قاب با دیوار	
<b>0.609</b>	<b>0.609</b>	<b>0.34342</b>	<b>0.34342</b>	<b>0.21048</b>	<b>0.21048</b>	$T_a = \frac{0.09h}{\sqrt{d}}$		تایلند
<b>0.8766</b>	<b>0.8766</b>	<b>0.5702</b>	<b>0.5702</b>	<b>0.395</b>	<b>0.395</b>	$T = 0.073h^{0.75}$		بنگلادش
<b>0.8778</b>	<b>0.8778</b>	<b>0.571</b>	<b>0.571</b>	<b>0.39555</b>	<b>0.39555</b>	$T = 0.0731h^{0.75}$		سوریه
<b>0.609</b>	<b>0.609</b>	<b>0.34342</b>	<b>0.34342</b>	<b>0.21048</b>	<b>0.21048</b>	$T_a = \frac{0.09h}{\sqrt{d}}$		مصر (۱۹۸۸)

0.6604	0.6604	0.4296	0.4296	0.2976	0.2976	$T = 0.055h^{0.75}$	آمریکا
0.677	0.677	0.3815	0.3815	0.2338	0.2338	$T_a = \frac{0.1h}{\sqrt{d}}$	ایتالیا

در شکل ۳۱-۳ مقادیر پریود در آییننامه‌های مختلف دنیا برای ساختمان ۳ طبقه با ارتفاع ۹,۵

متر آورده شده است.



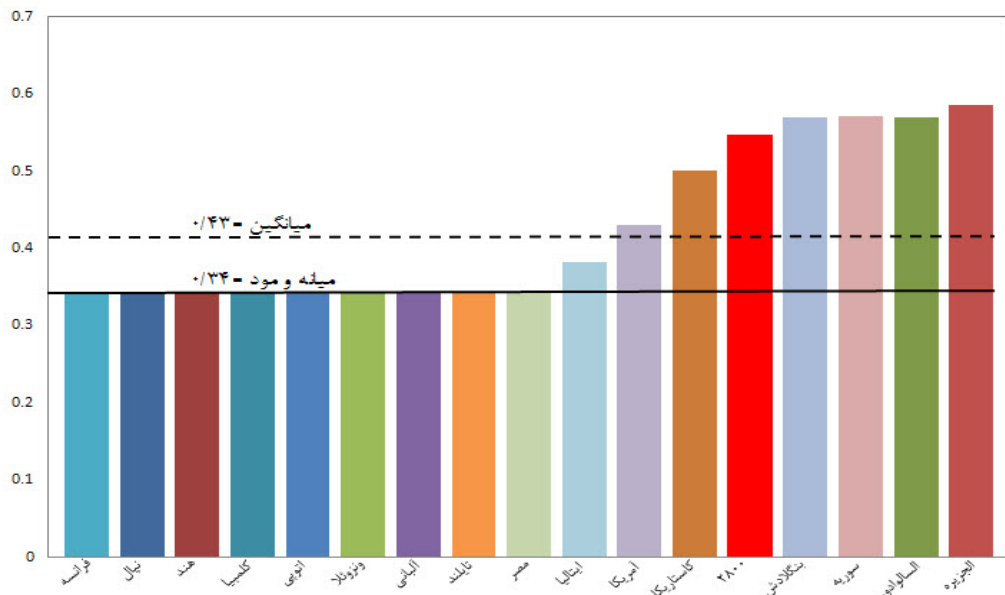
شکل ۳۱-۳ مقادیر پریود در آییننامه‌های مختلف دنیا برای ساختمان ۳ طبقه

آییننامه ۲۸۰۰ با رنگ قرمز در شکل نشان داده شده است. همانطور که مشاهده می‌شود مقدار

پریود هم از مقدار میانگین ۱۷ آییننامه و همچنین از مقدار مود در این آییننامه‌ها بیشتر می‌باشد.

در شکل ۳۲-۳ مقادیر پریود در آییننامه‌های مختلف دنیا برای ساختمان ۵ طبقه با ارتفاع

۱۵,۵ متر آورده شده است.

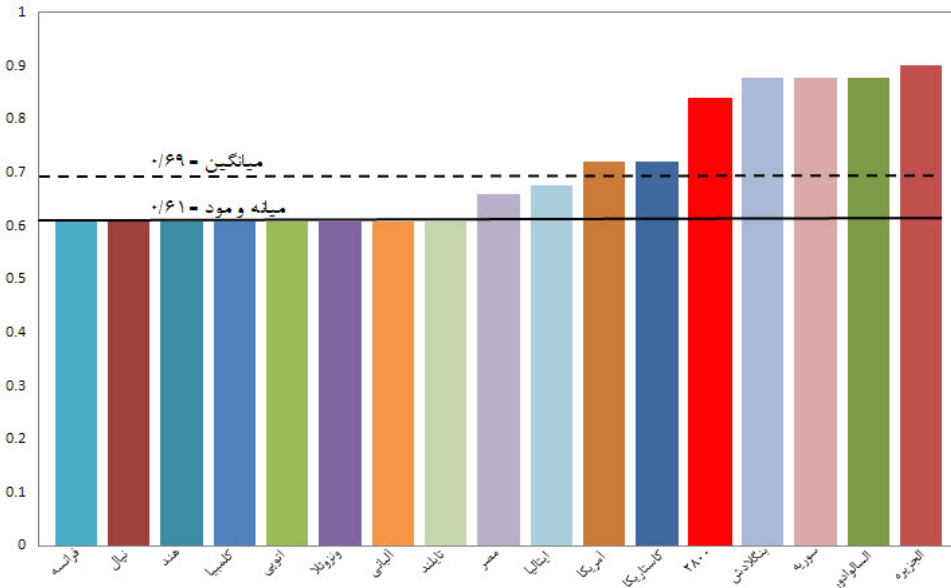


شکل ۳۲-۳ مقادیر پریود در آییننامه‌های مختلف دنیا برای ساختمان ۵ طبقه

نتایج بیان‌گر این موضوع است که آییننامه ۲۸۰۰ پریود بیشتری را نسبت به ۱۷ آییننامه بررسی شده برای سازه‌های بتونی در نظر می‌گیرد که این مساله نشان دهنده طراحی سازه برای برش پایه کمتری می‌باشد که در خلاف جهت اطمینان می‌باشد.

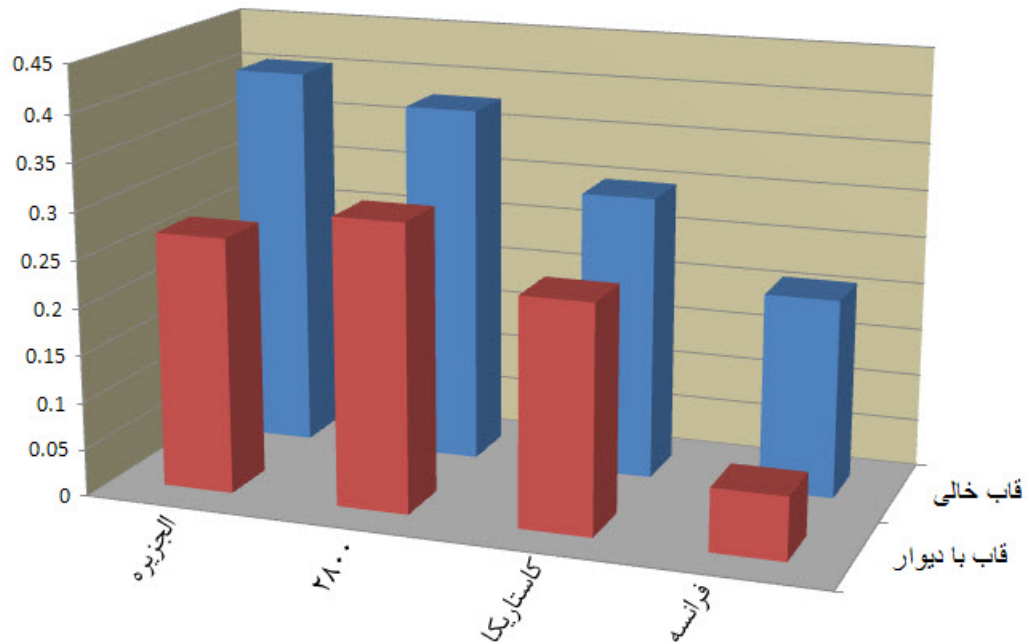
در شکل ۳۳-۳ مقادیر پریود در آییننامه‌های مختلف دنیا برای ساختمان ۹ طبقه با ارتفاع

۲۷,۵ متر آورده شده است.



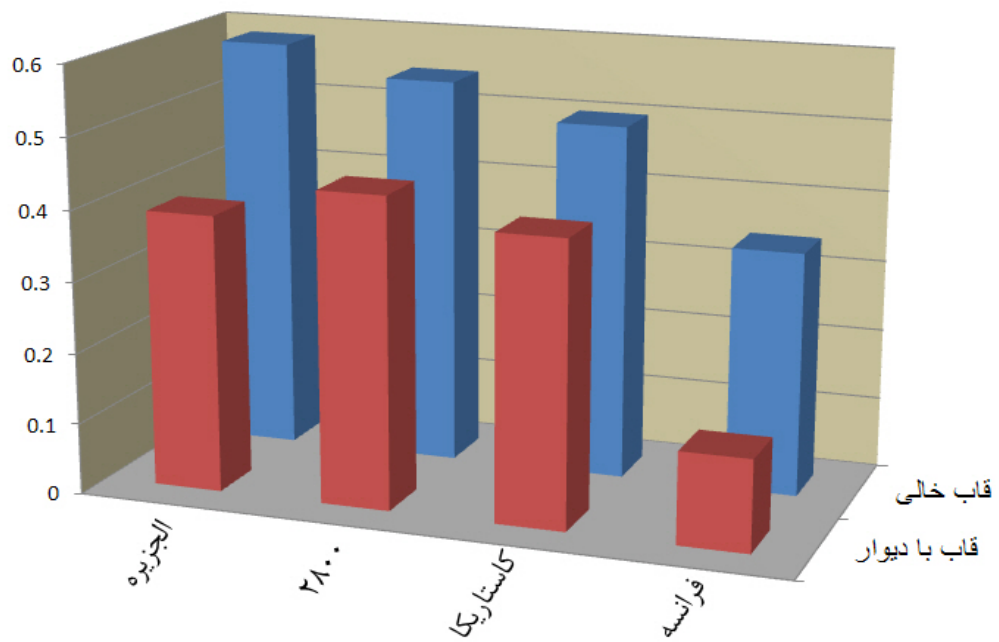
شکل ۳۳-۳ مقادیر پریود در آییننامه‌های مختلف دنیا برای ساختمان ۵ طبقه

اما هدف از بررسی این آییننامه‌ها بررسی این موضوع می‌باشد که کدام کشورها تاثیر دیوار پرکننده آجری را در آییننامه خود وارد کرده‌اند. کشورهایی از قبیل الجزیره، کاستاریکا، فرانسه و ایران تاثیر دیوار را در پریود سازه لحاظ کرده‌اند. در شکل ۳۴-۳ میزان این تاثیر در سازه ۳ طبقه بتنی مشخص شده است.



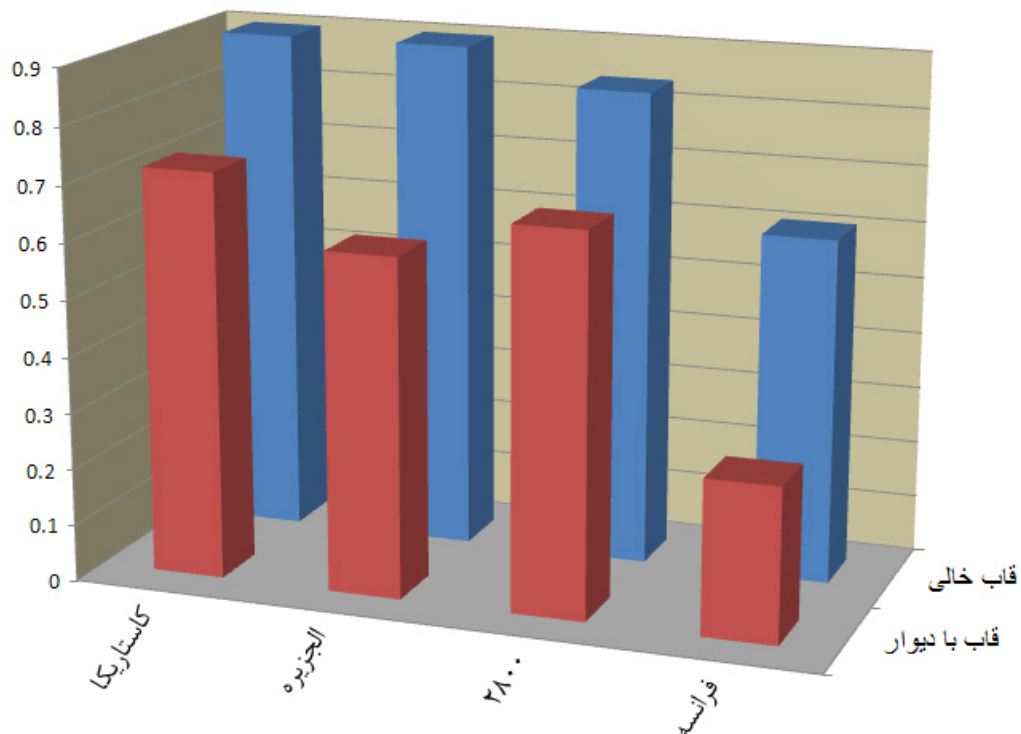
شکل ۳۴-۳ میزان تاثیر دیوار در پریود سازه ۳ طبقه بتنی

در شکل ۳۵-۳ میزان تاثیر دیوار در پریود سازه ۵ طبقه بتنی مشخص شده است.



شکل ۳۵-۳ میزان تاثیر دیوار در پریود سازه ۵ طبقه بتنی

در شکل ۳۶-۳ میزان تاثیر دیوار در پریود سازه ۹ طبقه بتنی مشخص شده است.



شکل ۳۶-۳ میزان تاثیر دیوار در پریود سازه ۹ طبقه بتنی

همامطور که در شکل‌های ۳۶-۳ الی ۳۴-۳ مشاهده می‌شود آیین‌نامه ۲۸۰۰ تاثیر دیوار پرکننده آجری را در پریود سازه کم در نظر می‌گیرد. آیین‌نامه الجزیره و فرانسه تاثیر دیوار را به خوبی در پریود سازه در نظر می‌گیرند.

#### ۴-۳- تعیین سهم قاب و دیوار از بار جانبی

در یک قاب دارای دیوار پرکننده‌ی آجری، نیروی جانبی زلزله به نسبت سختی جانبی بین قاب و دیوارهای پرکننده‌ی آجری توزیع می‌شود. از آن‌جا که دیوارهای آجری دارای سختی اولیه‌ی زیاد هستند، اغلب بار جانبی را جذب می‌کنند. اما پس از ایجاد شکست در این دیوارها، سهم بار آن‌ها به قاب منتقل می‌شود. در چنین مواردی قاب‌های بتُنی باید مقاومت پشتونه‌ی کافی برای جلوگیری از فروریزش ساختمان داشته باشد. EC8 مقرر می‌دارد که قاب‌های بتُنی تمام بار قائم و حداقل ۵٪ تا ۶٪ کل بار جانبی را تحمل کنند.

آیین‌نامه‌ی کلمبیا (NSR 1998-98)، مصر (1988)، اتیوپی (ESCP-1 1983) مقرر می‌دارند که دیوارهای پرکننده‌ی آجری باید بتوانند بدون مشارکت قاب بتُنی، تمام بار جانبی را تحمل کنند. در چنین مواردی باید دیوارها به نحو مناسبی به قاب متصل شوند. آیین‌نامه‌ی الجزیره (1988) بیان می‌دارد که دیوارهای پرکننده‌ی آجری حداقل ۲۰٪ کل بارهای قائم را تحمل کنند. براساس اغلب آیین‌نامه‌ها، انتظار نمی‌رود که پرکننده‌های آجری هیچ سهمی از بارهای قائم را غیر از وزن خودشان تحمل کنند. برای طراحی این‌مان باید قاب بتُنی علاوه بر بارهای ثقلی حداقل ۲۵٪ بار جانبی زلزله را نیز تحمل کنند [۵].

برای مدل ۱ دهانه ۱ طبقه چگونگی بازپیش نیرو در محدوده‌ی الاستیک که بطبق سختی می‌باشد در زیر آورده شده است.

سختی ستون بتُنی از فرمول زیر محاسبه می‌شود:

$$K_c = \frac{12EI}{L^3} \quad (25-3)$$

با فرض صلبیت سقف سختی قاب بتنی برابر مجموع سختی ستون‌ها می‌باشد.

سختی دیوار پرکننده آجری از فرمول زیر محاسبه می‌شود:

$$K_{\text{infill}} = 0.175 \left[ \frac{\sin 2\theta}{4E_{Fe} I_{col} h_{\text{inf}}} \right]^{-0.1} h_{\text{col}}^{-0.4} (t_{\text{inf}} E_{me})^{0.9} \cos^2 \theta \quad (26-3)$$

انجام محاسبات نشان‌گر این است که سهم دیوار از نیروی زلزله ۷۲٪ و سهم قاب از نیروی زلزله ۲۸٪ درصد می‌باشد.

برای مدل ۱ دهانه ۱ طبقه چگونگی بازپخش نیرو در محدوده‌ی پلاستیک که برطبق مقاومت برشی می‌باشد در زیر آورده شده است.

مقاومت برشی ستون بتنی از فرمول زیر محاسبه می‌شود:

$$V_c = \left[ \frac{0.5\sqrt{f'_c}}{\frac{a}{d}} \sqrt{1 + \frac{P}{0.5\sqrt{f'_c} A_g}} \right] 0.8 A_g \quad (27-3)$$

$$V_s = \frac{A_{st} f_{yt} d}{s} \quad (28-3)$$

$$V_n = V_c + V_s \quad (29-3)$$

مقاومت برشی دیوار پرکننده آجری از فرمول زیر محاسبه می‌شود:

$$V_{\text{infill}} = A f'_m \cos \theta \quad (30-3)$$

انجام محاسبات نشان‌گر این است که سهم دیوار از نیروی زلزله ۶۲٪ و سهم قاب از نیروی زلزله ۳۸٪ درصد می‌باشد. اما برای طراحی در جهت اطمینان همان‌طور که در آیین‌نامه ۲۸۰۰ برای سیستم دوگانه دیوار برشی بعلاوه قاب خمشی طراحی دیوار برشی برای ۱۰۰٪ درصد نیروی زلزله و

قاب خمی برای ۲۵٪ درصد نیروی زلزله پیشنهاد شده، به دلیل ترد بودن دیوار پرکننده آجری و شکست زودهنگام دیوار در زلزله پیشنهاد می‌شود دیوار برای ۶۲٪ درصد نیروی زلزله و قاب بتی برای ۶۰٪ تا ۷۰٪ نیروی زلزله طراحی شود.

### ۳-۵- جابه‌جایی نسبی جانبی

جابه‌جایی نسبی میان‌طبقه‌ای در ترازهای مختلف ساختمان بتی دارای دیوار پرکننده، به توزیع این دیوارها در ساختمان بستگی دارد. هرچه دیوارها در قسمت پایین ساختمان متمرکز شده باشند، توزیع تغییرمکان جانبی مطلوب‌تر خواهد بود.

آیین‌نامه‌ی چین (GBJ-11-89 1989) برای کنترل تغییرشکل جانبی قاب‌های بتی دارای دیوار پرکننده، ضوابطی ارائه کرده است. جابه‌جایی الاستیک نسبی طبقه،  $\Delta U_e$  تحت زلزله‌ای که احتمال رخداد آن زیاد است، باید از حد داده شده در معادله‌ی زیر تجاوز کند:

$$\Delta U_e \leq (\theta_e)H \quad \text{units : } \begin{cases} \Delta U_e, H & \text{in } m \\ \theta_e & \text{in rad} \end{cases} \quad (31-3)$$

که در آن  $H$  ارتفاع طبقه،  $\theta_e$  دریفت الاستیک و برابر  $\frac{1}{550}$  با درنظرگرفتن سختی دیوارها است. تغییرمکان جانبی واقعی غیرخطی،  $\Delta U_p$  در تمامی طبقات باید از حد ارائه شده در معادله زیر کمتر باشد:

$$\Delta U_p \leq (\theta_p)H_w \quad \text{units : } \begin{cases} \Delta U_p, H_w & \text{in } m \\ \theta_p & \text{in rad} \end{cases} \quad (32-3)$$

که در آن  $\theta_p$  دریفت در زلزله طرح و برابر  $\frac{1}{50}$  است. در صورتی که ستون‌ها شکل‌پذیر باشند این مقدار ۲۰٪ افزایش می‌یابد.  $H_w$  ارتفاع طبقه است. چنین ساختمان‌هایی باید دارای تغییرات

شدید در سختی طبقات بوده و تعداد طبقات نیز نباید بیشتر از ۱۲ باشد.

تعداد اندکی از آییننامه‌های لرزه‌ای مانند EC8، NBC-105، ۱۹۹۵، ۱۹۹۸ و NSR-98

آییننامه‌ی کاستاریکا (۱۹۸۶) مقدار جابه‌جایی نسبی مجاز (در ساختمان‌های بتونی دارای پرکننده‌ی آجری) تحت زلزله طراحی را به ۱٪ ارتفاع طبقه محدود کرده‌اند.

FEMA 306 (ATC 1999) مقادیر زیر را برای دریافت ساختمان دارای پرکننده‌ی آجری

پیشنهاد می‌کند:

- دیوار آجری: ۱٪

- بلوک بتونی تزریق شده: ۰.۲٪

- بلوک بتونی تزریق نشده: ۰.۲٪

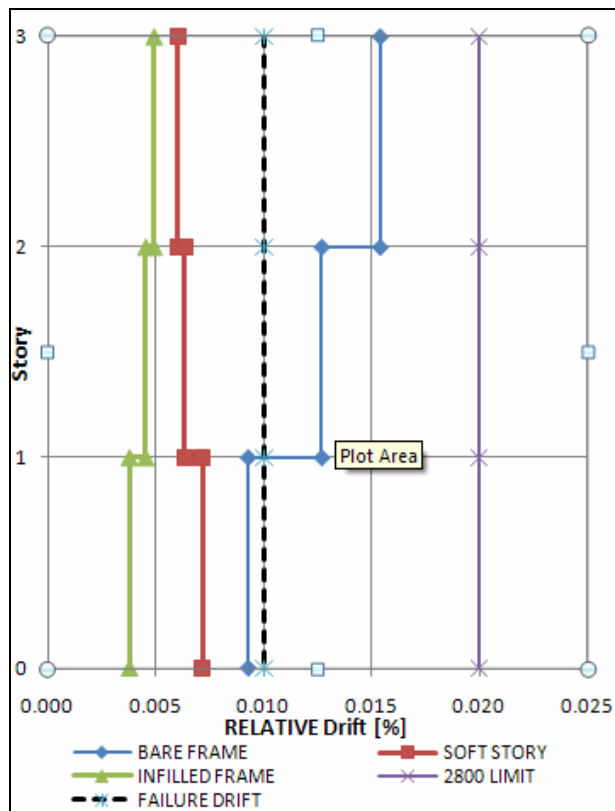
البته این نگرانی وجود دارد که این مقادیر، بسیار بزرگ باشد و نیاز به آزمایش‌های بیشتری

است [۵].

در ادامه نتایج مدل‌های ۳-۳، ۳-۵ و ۹-۳ در حالت وجود دیوار در تمام دهانه‌ها، در حالت

طبقه نرم و قاب خالی با فرض کرنش شکست جانبی ۱٪ برای دیوار آورده شده است.

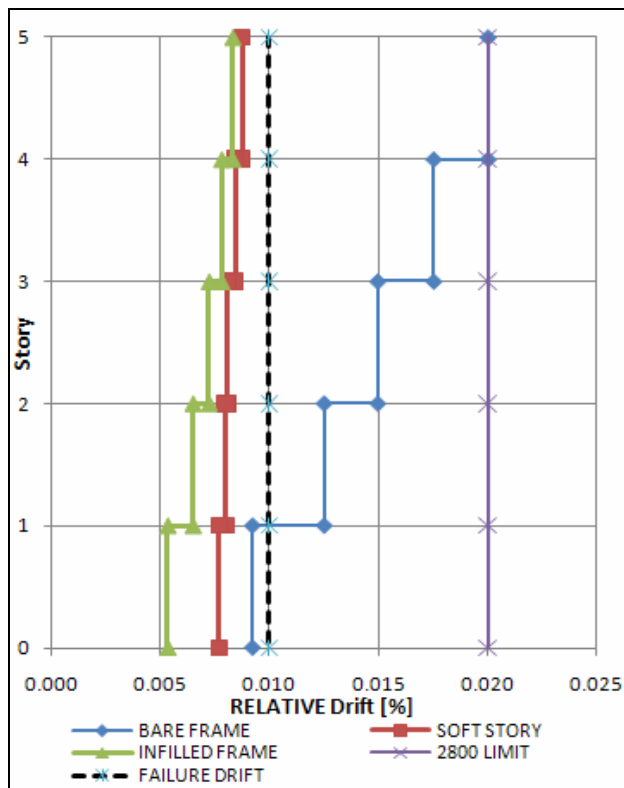
### ۳-۵-۱- قاب ۳ طبقه:



۳۱-۳ جابجایی نسبی مربوط به ساختمان ۳ طبقه

همانطور که در شکل ۳۱-۳ مشاهده می‌شود دیوار پرکننده آجری باعث افزایش سختی سازه در محدوده الاستیک شده و متناظر با آن جابجایی نسبی پیش‌بینی شده سازه‌ها کاهش قابل یافته‌اند. کرنش شکست دیوار پرکننده آجری حدوداً برابر  $1/3\%$  می‌باشد که این مقدار کرنش فشاری شکست دیوار در راستای قطری دیوار می‌باشد که معادل آن در راستای جانبی برابر  $1\%$  می‌باشد که در شکل ۳۱-۳ با خطچین مشکی مشخص شده است. جابجایی نسبی قاب خالی از محدوده مجاز آینه‌نامه ۲۸۰۰ که برابر  $2/0\%$  برای سازه‌هایی با پریود کمتر از  $7/0$  ثانیه می‌باشد که با رنگ بنفش مشخص شده تجاوز نکرده است. با در نظر گرفتن تاثیر دیوار پرکننده آجری در سازه مشخص می‌شود که جابجایی نسبی سازه ۳ طبقه از این محدوده تجاوز نکرده و می‌توان از اثرات مثبت دیوار در افزایش سختی و کاهش شکل‌پذیری بهره برد.

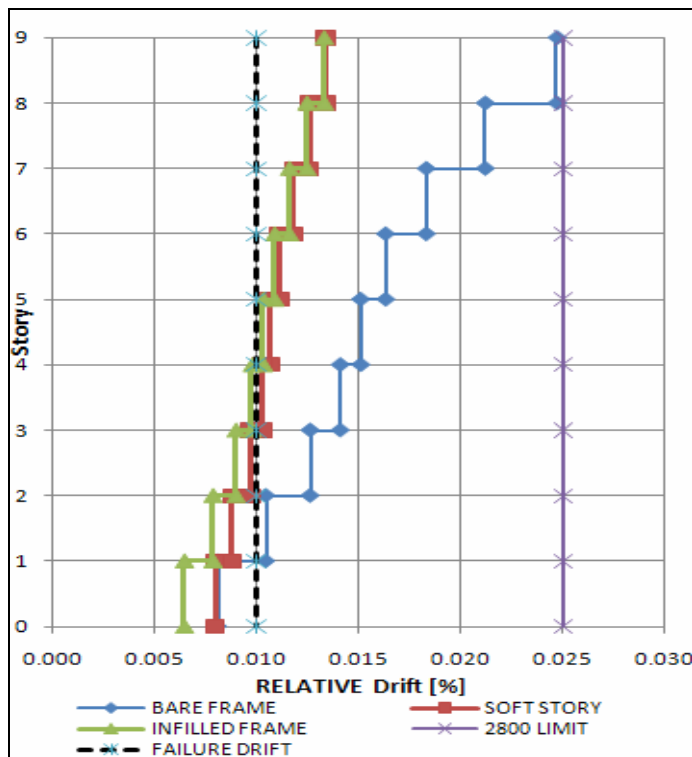
## ۳-۵-۲- قاب ۵ طبقه:



۳۲-۳ جابجایی نسبی مربوط به ساختمان ۵ طبقه

همانطور که در شکل ۳۲-۳ مشاهده می‌شود دیوار پرکننده آجری باعث افزایش سختی سازه در محدوده الاستیک شده و متناظر با آن جابجایی نسبی پیش‌بینی شده سازه‌ها کاهش قابل یافته‌اند. کرنش شکست دیوار پرکننده آجری حدوداً برابر  $1/3\%$  می‌باشد که این مقدار کرنش فشاری شکست دیوار در راستای قطری دیوار می‌باشد که معادل آن در راستای جانبی برابر  $1\%$  می‌باشد که در شکل ۳۲-۳ با خطچین مشکی مشخص شده است. جابجایی نسبی سازه از محدوده مجاز آیین‌نامه ۲۸۰۰ که برابر  $0/02\%$  برای سازه‌هایی با پریود کمتر از  $7/0$  ثانیه می‌باشد که با رنگ بنفش مشخص شده تجاوز نکرده است. با در نظر گرفتن تاثیر دیوار پرکننده آجری در سازه مشخص می‌شود که جابجایی نسبی سازه ۵ طبقه از این محدوده تجاوز نکرده و می‌توان از اثرات مثبت دیوار در افزایش سختی و کاهش شکل‌پذیری بهره برد

### ۳-۵-۳- قاب ۹ طبقه:



۳۳-۳ جابجایی نسبی مربوط به ساختمان ۵ طبقه

همانطور که در شکل ۳۳-۳ مشاهده می‌شود دیوار پرکننده آجری باعث افزایش سختی سازه در محدوده الاستیک شده و متناظر با آن جابجایی نسبی پیش‌بینی شده سازه‌ها کاهش قابل یافته‌اند. کرنش شکست دیوار پرکننده آجری حدوداً برابر  $1/3\%$  می‌باشد که این مقدار کرنش فشاری شکست دیوار در راستای قطری دیوار می‌باشد که معادل آن در راستای جانبی برابر  $1\%$  می‌باشد که در شکل ۳۳-۳ با خطچین مشکی مشخص شده است. جابجایی نسبی سازه از محدوده مجاز آیین‌نامه ۲۸۰۰ که برابر  $0.25\%$  برای سازه‌هایی با پریود بیشتر از  $7/0$  ثانیه می‌باشد که با رنگ بنفش مشخص شده تجاوز نکرده است. با در نظر گرفتن تاثیر دیوار پرکننده آجری در سازه‌ها مشخص می‌شود که جابجایی نسبی سازه ۹ طبقه از این محدوده تجاوز کرده و نمی‌توان از اثرات مثبت دیوار در افزایش سختی و کاهش شکل‌پذیری بهره برد و نباید دیوار به قاب بتنی متصل باشد.

در جدول زیر پیشنهادات برای اتصال یا عدم اتصال دیوار به قاب برای مدل‌های مورد بررسی

آورده شده است.

جدول ۹-۳ جدول پیشنهاد برای اتصال یا عدم اتصال دیوار به قاب

پیشنهاد برای اتصال یا عدم اتصال	کرنش شکست دیوار (EC8)	جابجایی نسبی (دربافت)	بریوود	طبقه	
×	۱٪	۲,۴۶٪	۰,۷۴۹۸	قاب خالی	۹
خیر	۱٪	۱,۳٪	۰,۴۶۳	قاب با دیوار	
خیر	۱٪	۱,۳۲٪	۰,۵۵	طبقه نرم	
×	۱٪	۲,۰٪	۱,۰۰	قاب خالی	۵
بله	۱٪	۰,۸۳٪	۰,۶۵۹۸	قاب با دیوار	
بله	۱٪	۰,۸۷٪	۰,۷۱۳۷	قاب با دیوار	
×	۱٪	۱,۵۳٪	۱,۳۳۵۶	قاب خالی	۳
بله	۱٪	۰,۴۹٪	۱,۰۳۳	قاب با دیوار	
بله	۱٪	۰,۶۳٪	۱,۰۵۷	طبقه نرم	

#### ۴-۵-۳- نتیجه‌گیری

نتایج بیان‌گر این است که دیوار پرکننده آجری باعث افزایش سختی سازه در محدوده الاستیک شده و متناظر با آن جابجایی نسبی پیش‌بینی شده سازه‌ها کاهش قابل توجهی یافته‌اند. کرنش شکست دیوار پرکننده آجری حدوداً برابر  $1/3\%$  می‌باشد که این مقدار کرنش فشاری شکست دیوار در راستای قطری دیوار می‌باشد که معادل آن در راستای جانبی برابر  $1\%$  می‌باشد که در شکل‌های ۳۱-۳، ۳۲-۳ و ۳۳-۳ با خط‌چین مشکی مشخص شده است. جابجایی نسبی سازه‌های محدوده مجاز آیین‌نامه ۲۸۰۰ که برابر  $20\%$  برای سازه‌هایی با پریود کمتر از  $7/0$  ثانیه و  $25/0$  برای سازه‌هایی با پریود بیشتر از  $7/0$  ثانیه می‌باشد که با رنگ بنفش مشخص شده تجاوز نکرده است. با در نظر گرفتن تاثیر دیوار پرکننده آجری در سازه‌ها مشخص می‌شود که جابجایی نسبی سازه در حالت ۳ و ۵ طبقه از این محدوده تجاوز نکرده و می‌توان از اثرات مثبت دیوار در افزایش سختی و کاهش شکل‌پذیری بهره برد، اما در سازه‌های بلندتر از ۵ طبقه جابجایی نسبی سازه از مقدار مجاز کرنش شکست دیوار تجاوز کرده و پیشنهاد می‌شود که در این سازه‌ها دیوار به قاب متصل نشود. نکته دیگر این است که با افزایش تعداد طبقات به علت افزایش سختی سازه میزان تاثیر دیوارهای پرکننده بر رفتار سازه کاهش می‌یابد.

## ٤ فصل

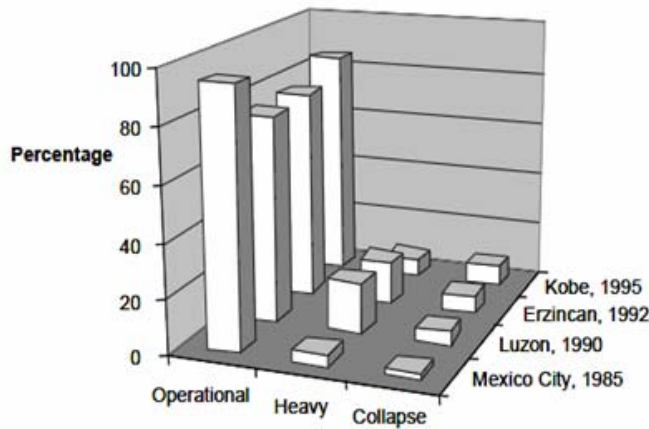
# بررسی مبانی تئوری گسیختگی برشی

## ۱-۴- مقدمه

گسیختگی سازه‌ای ساختمان‌های بتنی مسلح قدیمی‌تر در طی زلزله بسیار رایج و عمومی است. بنابراین گزارشات عادی تحقیقات زلزله به عنوان یک قانون منجر به این نتیجه می‌شوند که ساختمان‌های بتنی خطرناک هستند. گزارشات otani (۱۹۹۹) آمارهای خرابی ساختمانهای بتنی مسلح را از زلزله‌های Hyogoken, Erzincan, Lzon (Philippin), Mexico ارائه می‌دهد. گزارشات otani بررسی گروه‌های ژاپنی در مناطق مختلف است. او خرابی‌ها را در سه دسته گزارش کرده است:

- ۱- خرابی عملکردی (خرابی سبک یا کوچک): ستون‌ها یا دیوارهای سازه‌ای به تدریج در خم شکسته شوند و ترک‌های برشی در دیوارهای غیرسازه‌ای ممکن است مشاهده شود.
- ۲- خرابی‌های سنگین (خرابی متوسط یا بزرگ): پوسته‌شدن یا خردشدن بتن، کمانش آرماتورها یا گسیختگی برشی ستون‌ها مشاهده شد و مقاومت جانبی دیوارهای جانبی با ترک‌خوردگی برشی، ممکن است کاهش یابد.
- ۳- فروریزش (قسمتی یا تمام ساختمان): ساختمان‌هایی هستند که به هنگام بررسی کاملاً فروریخته‌اند.

شکل ۱-۴ توزیع خرابی را در زلزله‌های عنوان شده بر مبنای گزارشات otani نشان می‌دهد و نتایج شکل ۱-۴ نشان می‌دهد خوشبختانه حتی در مناطق با بالاترین خرابی در زلزله‌های مشهور سرعت فروریزش ساختمان‌های بتنی مسلح نسبتاً پایین است.



شکل ۱-۴ آمار خرابی ۴ زلزله

#### ۱-۱-۴- گسیختگی مؤلفه‌هایی موثر در فروریزش

مرحله اول ارزیابی لزهای یک سازه، آزمایش کردن مقاومت و شکل‌پذیری مؤلفه‌هاست. سه مؤلفه‌ای که گسیختگی آن‌ها منجر به گسیختگی ساختمان بتن مسلح می‌شود در زیر شرح داده شده‌اند:

#### ۱-۱-۱-۴- گسیختگی ستون

این نوع گسیختگی رایج‌ترین دلیل فروریزش ساختمان در طی زلزله است. شکل ۲-۴ مثالی از زلزله Kocaeli در سال ۱۹۹۹ را نشان می‌دهد. در این مثال آشکار است گسیختگی برشی قسمت نسبتاً کوتاه که بین دو کف مجاور قرار دارد، منجر به خردشدن ستون و افت ظرفیت باربری در جهت قائم می‌شود. گسیختگی ستون‌ها به دلیل چند نقیصه رخ می‌دهد. اگر مقاومت برشی کمتر از ظرفیت نیاز<sup>۱</sup> ستون در زلزله باشد گسیختگی برشی رخ خواهد داد و منجر به افت ظرفیت باربری در جهت قائم می‌شود. گسیختگی فشاری - خمشی برای ستون‌های با فواصل زیاد تسلیح عرضی ممکن است رخ دهد. به ویژه برای ستون‌های خارجی و گوشه‌ای که اثرات معکوس شدن زلزله منجر به فشار محوری بزرگی می‌شود. گسیختگی پیوستگی که به دلیل نیازمندی‌های پیوستگی خمشی یا طول

<sup>1</sup> Demend

گیرایی ناکافی اتصالات آرماتورهای طولی نیز مشاهده شده است.



شکل ۲-۴ گسیختگی برشی و محوری ستون، زلزله Kokaeli (۱۹۹۹)

#### ۲-۱-۱-۴ گسیختگی اتصالات تیر-ستون

اتصالات تیر - ستون ممکن است به شدت تحت تنش قرار گیرد و در نتیجه به دلایل ترک\_خوردگی قطری بتن در اتصال و تنزل مکانیزم‌های باربری دچار گسیختگی شود. تقریباً بررسی زلزله‌ها هیچ مثالی از ارتباط مستقیم فروریزش ساختمان با دلیل مشکلات اتصالات تیر - ستون داخلی مشاهده نشده است و گاهی بعضی از مثال‌های گسیختگی اتصال تیر-ستون خارجی به عنوان علت اولیه گسیختگی ساختمان ذکر شده است (شکل ۳-۴).



شکل ۳-۴ گسیختگی متناظر با فروریزش اتصال تیر-ستون

### ۴-۱-۳- ساخت یکپارچه که در چند دهه اخیر رایج شده

حتی هنگامی که این نوع به عنوان بخشی از سیستم مقاوم بار جانبی طراحی نشده باشد، تغییرشکل‌های خرابی در نتیجه خستگی سازه در زلزله و تاب‌خوردن آن گسترش می‌یابد. ترکیب نیرهای خمشی و برشی در دال اطراف ستون می‌تواند تنش زیادی را سبب شود و در نتیجه گسیختگی برشی پانچینگ را خواهد داشت، مگر اینکه تسلیح کافی برای تحمل پانچینگ وجود داشته باشد، ظرفیت باربری قائم اتصال افت می‌کند که منجر به انتقال بار قائم به اتصالات مجاور می‌شود. اگر آن اتصالات متعاقباً دچار تنش‌های بسیار بالا شود، افت خواهد کرد.

### ۴-۲- ظرفیت تغییرشکل ستون‌های سازه‌های قدیمی تر

اولین گام تعیین ظرفیت تغییرشکل ستون مشخص نمودن معیارهای خمشی، برشی، خمشی - برشی آن می‌باشد. ستون‌هایی که در آن‌ها معیار خمش بحرانی است، در خمش تسلیم می‌شوند و برش متناظر با مقاومت برشی آنها بیشتر از برش متناظر با مقاومت خمشی است، بنابراین گسیختگی برشی رخ نمی‌دهد. ستون بحرانی در برش قبل از تسلیم خمشی در برش گسیخته می‌شود. ستون بحرانی در خمش - برش ابتدا در خمش تسلیم می‌شود اما در برش به دلیل تنزل چرخه‌ای گسیخته می‌شود.

این دسته‌بندی با تعریف نسبت  $\frac{V_p}{V_n}$  آغاز می‌شود، که مقاومت خمشی و  $L_c$  ارتفاع این دسته‌بندی با تعیین نسبت  $\frac{2M_n}{L_c}$  معرفی شده است. مقدار  $V_n$  مشخص ستون است،  $M_n$  مقاومت برشی اسمی ستون تحت بارگذاری استاتیکی است که براساس آین نامه ACI تعریف می‌شود.

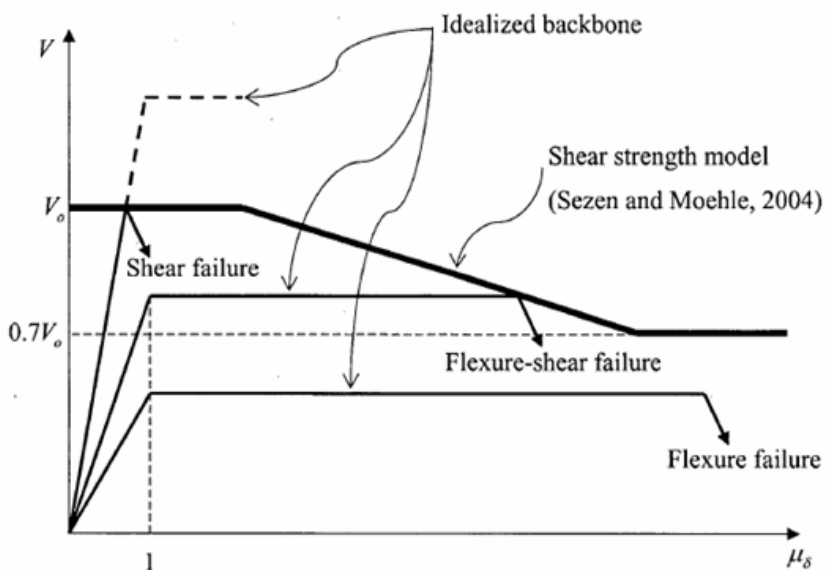
### ۴-۲-۱- دسته‌بندی ستون‌ها

به منظور کمک به مهندسین برای درک بهتر رفتار ستون‌های بتنی مسلح و برای انتخاب یک مدل مناسب تخمین ظرفیت ستون دسته‌بندی ستون‌ها مورد نیاز است. مدل‌های ظرفیت دریافت

موجود برای مد گسیختگی ستون مورد نظر یا رفتار ستون ارتقا داده می‌شوند. برای مثال Elwood و Moehle مدل ظرفیت محوری مشخص برای ستون‌ها را ارتقا دادند که انتظار تجربه تسلیم خمشی قبل از گسیختگی برشی از آن‌ها می‌رود. از این رو ظرفیت دریفت قابلیت‌ها و محدودیت‌های خاص خود را دارد. مدهای گسیختگی ستون باید با بکارگیری پیشرفت‌هه از مدل‌های ظرفیت دریفت تعیین شوند. هنگامی که دسته‌بندی ستون کامل شود، مدل ظرفیت دریفت مناسب انتخاب می‌شود. به علاوه، اطلاعات مد گسیختگی ستون مورد انتظار (یا پاسخ ستون) برای مهندسین در زمینه بهسازی ساختمان‌های بتن مسلح مفید است.

#### ۲-۲-۴- مدهای گسیختگی

فرض می‌شود شروع گسیختگی ستون با افت ۲۰ درصدی مقاومت جانبی آغاز شود و سپس سه مد گسیختگی ستون مورد بررسی قرار می‌گیرد (گسیختگی برشی، خمشی، برشی - خمشی). تعریف سه مد گسیختگی به صورت نموداری در شکل ۴-۴ شرح داده شده است.



شکل ۴-۴ تعریف تصویری از مدهای گسیختگی ستون

#### **۴-۲-۱- مد گسیختگی خمثی**

تنزل ظرفیت بار جانبی بعد از تسلیم تسليح طولی به دلیل خرابی که با تغییر مکان خمثی ارتباط دارد رخ می‌دهد که از نشانه‌های آن پوسته شدن بتن، کمانش آرماتورها و خردشدن بتن می‌باشد. در این نوع گسیختگی ستون، نیروی جانبی بیشینه از مقاومت برشی کمتر است.

#### **۴-۲-۲- مد گسیختگی برشی**

تنزل ظرفیت بار جانبی قبل از تسلیم تسليح طولی به دلیل ضعف برشی ستون رخ می‌دهد. در این نوع گسیختگی جابجایی جانبی ستون کمتر از جابجایی تسلیم ستون است.

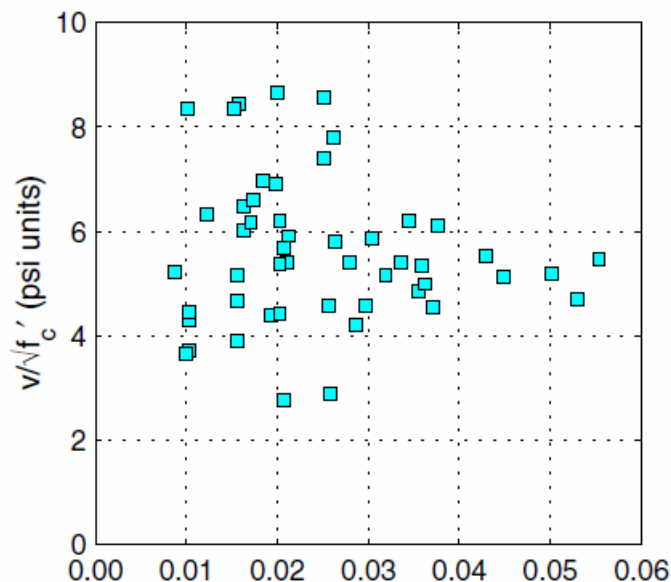
#### **۴-۲-۳- مد گسیختگی برشی - خمثی**

تنزل ظرفیت بار جانبی بعد از تسلیم تسليح طولی به دلیل ضعف برشی ستون رخ می‌دهد. گسیختگی خمثی - برشی ستون‌ها سطح مشخص شکل‌پذیری را قبل از گسیختگی نهایی خواهند داشت.

#### **۴-۳- مدل‌های ظرفیت جابجایی نسبی پیشنهادی**

ستون‌های بتن مسلح موجود با تسلیح عرضی کم در برابر گسیختگی برشی در طی پاسخ زلزله آسیب‌پذیرند. این مدل مقاومت برشی، که تنزل مقاومت برشی را با افزایش نیاز شکل‌پذیری جابجایی مدل می‌کند، به طور گسترده برای محاسبه ظرفیت جابجایی نسبی بین طبقه‌ای چنین ستون‌هایی استفاده می‌شود. برای تعیین مدل ظرفیت جابجایی نسبی ۵۰ مدل پایه آزمایش شده است. این مدل ظرفیت جابجایی نسبی بر مبنای حالت بحرانی ستون تخمین بهتری از جابجایی نسبی بین طبقه‌ای گسیختگی برشی را ارائه می‌دهد. این مدل ظرفیت پارامترهای بحرانی که بر ظرفیت جابجایی نسبی مؤثرند را در نظر می‌گیرد که از آن جمله می‌توان به موارد نسبت تسلیح عرضی، نیاز تنش برشی، نسبت بار محوری اشاره کرد.

در ادامه این مدل کاربردی برمبنای مشاهدات داده‌های آزمایشگاهی معرفی می‌شود. هدف از ارائه این مدل بدست آوردن روابط ساده‌ای است که پارامترهای بحرانی تاثیرگذار بر جابجایی نسبی در گسیختگی برشی ستون‌های ساختمانی که معیار برش حاکم است را تعیین می‌کند.



شکل ۴-۵ تاثیر پارامترهای کلیدی در جابجایی نسبی گسیختگی برشی

بر اساس این مشاهدات رابطه پیشنهادی برای جابجایی نسبی در گسیختگی برشی عبارت است

: از

$$\frac{\Delta_s}{L} = \frac{1}{30} + 5\rho'' - \frac{4}{1000} \frac{\nu}{\sqrt{f'_c}} \geq \frac{1}{100} \quad (1-4)$$

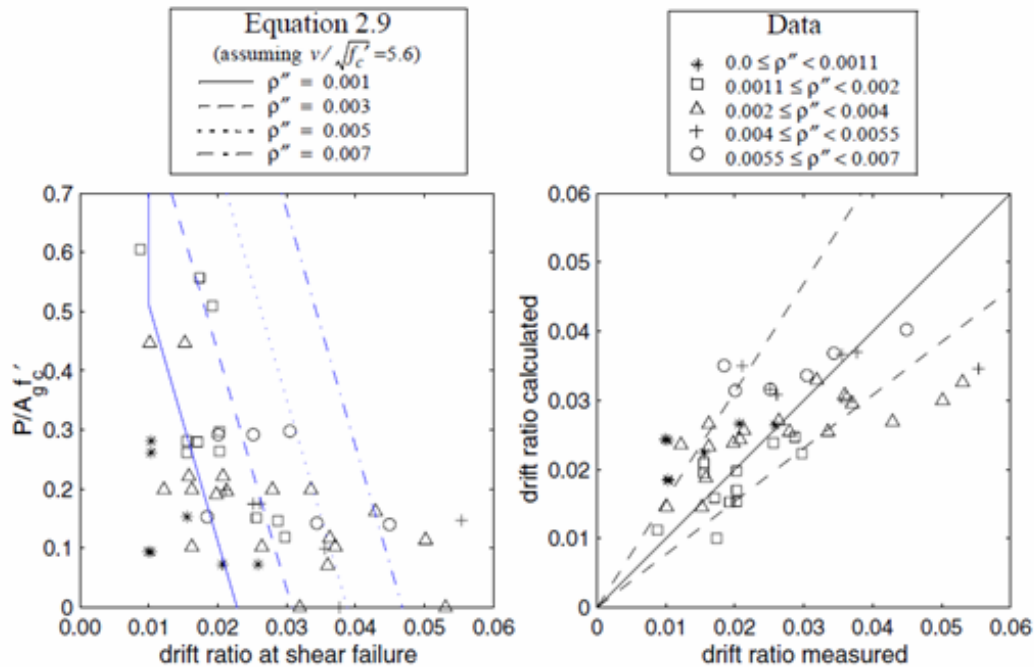
تاثیر بار محوری در جابجایی نسبی گسیختگی برشی با توجه به داده‌های آزمایشگاهی عبارت

است از:

$$\frac{\Delta_s}{L} = \frac{3}{100} + 4\rho'' - \frac{1}{500} \frac{\nu}{\sqrt{f'_c}} - \frac{1}{40} \frac{P}{A_g f'_c} \geq \frac{1}{100} \quad (2-4)$$

شکل ۴-۶ معادله ۲-۴ را با نتایج داده‌های آزمایشگاهی مقایسه می‌کند. شکل ۴-۶ سمت چپ

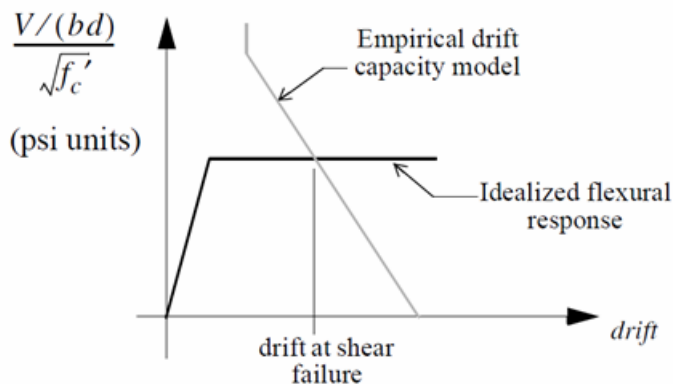
معادله ۲-۴ را با استفاده از مقدار میانگین  $\frac{v}{\sqrt{f'_c}}$  داده‌های آزمایشگاهی با بار محوری و نسبت تسلیح عرضی هر ستون مقایسه می‌کند. نتایج داده‌ها پیشنهاد می‌کند که برای ستون‌های با تسلیح عرضی کم،  $\rho'' \leq 0.004$  افزایش نسبت بار محوری منجر به کاهش جابجایی نسبی در گسیختگی برشی می‌شود. برای ستون‌های با  $\rho'' \geq 0.004$  ارتباط بین نسبت بار محوری و جابجایی نسبی کاملاً واضح نیست و پیشنهاد می‌شود معادله ۱-۴ که از تاثیر بار محوری صرف‌نظر کرده است برای چنین ستون‌هایی استفاده شود [۵۵].



شکل ۶-۴ مقایسه جابجایی نسبی محاسبه شده در گسیختگی برشی با توجه به معادله ۲-۴

معادلات ۱-۴ و ۲-۴ باید برای ستون‌هایی استفاده شوند که ظرفیت برشی تعریف شده توسط مدل مقاومت برشی (معادله ۱ sezen2002) از نیاز برشی محاسبه شده براساس روند تحلیلی تجاوز کند. معادلات ۱-۴ و ۲-۴ سطح حالت حدی را برای تعیین نقطه گسیختگی برشی ستون تعیین می‌کند. همانطور که در شکل ۷-۴ نشان داده شده است پاسخ خمشی پیش‌بینی شده ستون می‌تواند در امتداد خط تعریف شده با معادله ۱-۴ و ۲-۴ رسم شود و نقطه تقاطع تخمینی از نقطه

گسیختگی برشی ستون است. بررسی زلزله‌ها نشان می‌دهد که ستون‌هایی که در ساختمان‌های بتُنی مسلح تا قبل از سال ۱۹۷۰ ساخته شده‌اند یعنی قبل از بیان جزئیات اجرایی لرزه‌ای، در گسیختگی برشی آسیب‌پذیرند. این ستون‌ها تنש برشی ماکزیمم بزرگتر از  $\sqrt{f'_c}$  را تحمل می‌کنند و نسبت تسلیح عرضی آنها کمتر از ۲٪ است. معادلات ۱-۴ و ۲-۴ جابجایی نسبی گسیختگی برشی برای ستون‌هایی را بیان می‌کند که دامنه‌شان از ۱٪ تا ۳۵٪ است.



شکل ۷-۴ محاسبه جابجایی نسبی در گسیختگی برشی

#### ۱-۳-۴- مدل گسیختگی محوری

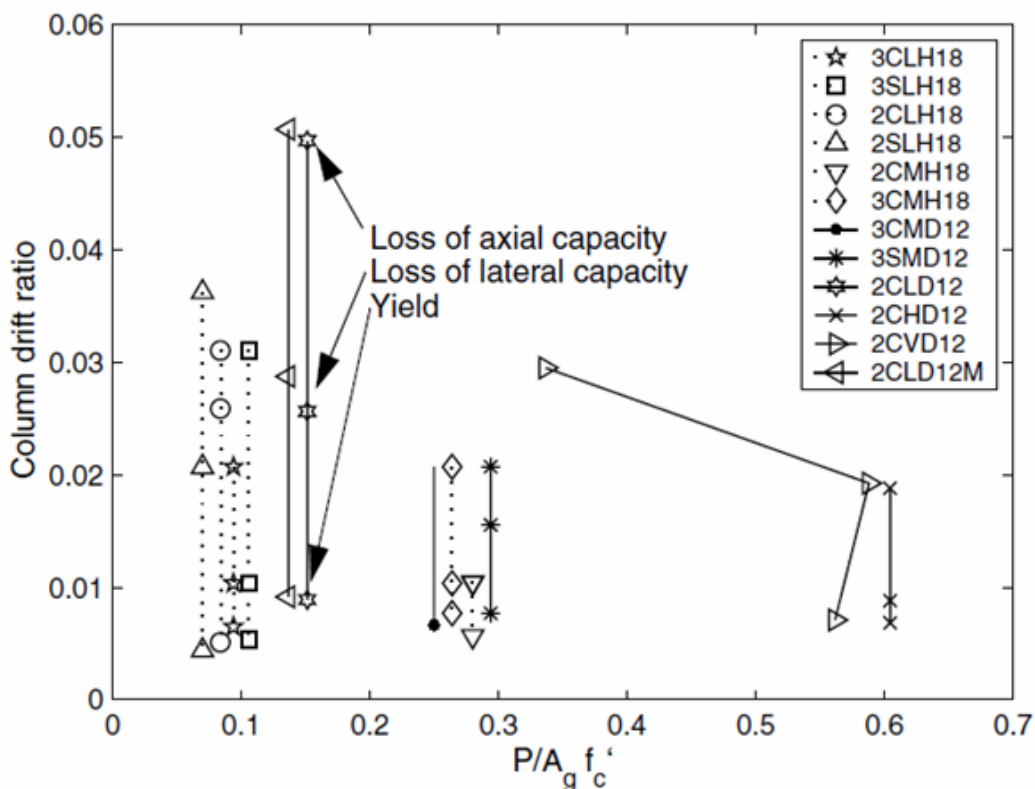
در این قسمت روش محاسبه ظرفیت محوری ستون که در مرحله قبلی تحت برش گسیخته شده است بیان می‌شود. با توجه به چنین مدلی، مهندسین در زمینه مقاوم‌سازی لرزه‌ای قادر به درک بهتر این مطلب خواهند بود که آیا المان بحرانی در برابر برش که نمی‌تواند تغییرشکل جانبی اعمالی را بدون گسیختگی برشی تحمل کند قادر خواهد بود بارهای ثقل را تحمل نماید یا خیر. چنین مدلی میزان بار ثقلی را که باید به المان‌های همسایه مجاور پس از گسیختگی برشی ستون انتقال یابد را مشخص می‌نماید.

#### ۱-۱-۳-۴- رخدادهای تجربی

آزمایش ستون‌های بتُن تحت بار لرزه‌ای نشان می‌دهند که این ستون‌ها اندکی پس از

دست دادن ظرفیت بار جانبی ستون نیز مقاومت خواهند کرد. برای سازه‌های موجود که یا محاسبات مقاومت لرزه‌ای در آن‌ها انجام شده است و یا مقاوم‌سازی لرزه‌ای شده‌اند، روند محافظه‌کارانه کمتری در جنبه‌های اقتصادی و عملی مدنظر قرار می‌گیرد. نکته مهم اینجاست که اگر یک ستون بتواند بار ثقلی را پس از آنکه تنزل مقاومت جانبی‌اش آغاز شد تحمل کند آنگاه قطعاً این ستون به عنوان یک المان ثانویه محسوب خواهد شد.

شکل ۸-۴ نسبت دریفت متناظر با رخدادهای خاص برای ۱۲ ستون گزارش شده توسط Lynn و Sezen را نشان می‌دهد. برای ستون‌هایی که بارهای محوری کمتری دارند تمایل به رخداد گسیختگی بار محوری در جابجایی‌های نسبی بزرگ وجود دارد صرفنظر از اینکه گسیختگی برشی در جابجایی نسبی کمتری رخ داده است. برای ستون‌هایی با بارهای محوری بزرگتر، گسیختگی بار محوری تمایل به رخداد در جابجایی نسبی کمتر را دارد و ممکن است حتی بلافاصله پس از افت ظرفیت بار جانبی رخ دهد [۵۶].



شکل ۸-۴ جابجایی نسبی به عنوان تابعی از بار محوری برای ستون‌های بتونی

شکل ۴-۸ جابجایی نسبی به عنوان تابعی از بار محوری برای ستون‌هایی که توسط Lynn و Sezen در سال‌های ۲۰۰۱ و ۲۰۰۲ آزمایش شدند را نشان می‌دهد. خطوط نقطه‌چین و توپر به ترتیب ستون‌های با تسلیح عرضی ۱۸، ۰۰۱۲ و ۰۰۰۰ را نشان می‌دهند.

#### ۴-۳-۲- مدل اصطکاک - برش

ستون نشان داده شده در شکل ۹-۴ در زلزله kokaeli در سال ۱۹۹۹ فروریخته است. بارهای محوری که توسط این ستون تخریب شده تحمل می‌شوند باید در سطح گسیختگی برشی انتقال یابند. چنین انتقال باری توسط مکانیسم اصطکاک - برش مدل می‌شود. مدل‌های اصطکاک - برش تنش برشی را که در طول ترک انتقال می‌یابد به عنوان تابعی از تنش نرمال روی سطح ترک محاسبه می‌کند و تنش نرمال از افزایش طول تسلیح در عرض ترک و یا نیروهای اعمالی قائم بر سطح ترک نتیجه می‌شود. برای ستونی که در شکل ۹-۴ نشان داده شده است، تسلیح عرضی سطح گسیختگی برشی و بار محوری تحمل شده توسط ستون ترکیب می‌شوند تا نیروی نرمالی را تولید کنند و از این‌رو برش در سطح گسیختگی برشی انتقال می‌یابد. شکل ۹-۱۰ دیاگرام جسم آزاد را برای قسمت بالایی ستون شکل ۹-۴ نشان می‌دهد. نیروی برشی خارجی  $V$  برابر صفر در نظر گرفته می‌شود، به این دلیل که ستون تقریباً تمام مقاومت بار جانبی‌اش را در گسیختگی برشی از دست می‌دهد. فرض می‌شود سطح آزاد مورب قسمت پایینی دیاگرام جسم آزاد همان سطح ترک معادل با سطح ترک برشی را داشته باشد. در تحقیق صورت گرفته ترک بحرانی بر اساس مدل ایده‌آل در حالت گسیختگی بار محوری حاصل می‌شود یعنی نیاز اصطکاک - برش از مقاومت اصطکاک - برش در طول ترک فراتر می‌رود. نیروهای دوگانه تسلیح عرضی در بدست آوردن این روابط صرف نظر می‌شود. معادلات تعادل نیروهای نشان داده شده در دیاگرام جسم آزاد به صورت زیر است:

$$\sum F_y = 0 \Rightarrow P = N \sin \theta + V_{sf} \sin \theta + 2P_s$$

۳-۴

$$\sum F_x = 0 \Rightarrow N \sin \theta = V_{sf} \cos \theta + \frac{A_{sw} f_y h \tan \theta}{s} + 2V_d \quad 4-4$$

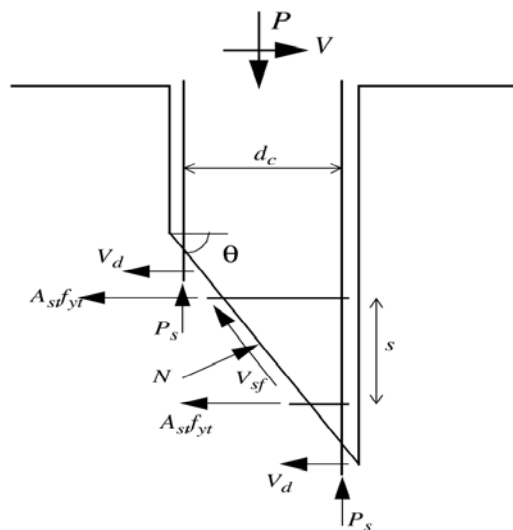
حرکت نسبی سطح گسیختگی برشی تمایل به فشردن تسليح طولی دارد و به دلیل تمایل به کمانش به ویژه در حالت حدی، ظرفیت نیروی محوری تسليح طولی فرض می‌شود که برابر صفر باشد.  
بنابراین معادلات ۴-۳ و ۴-۴ به صورت زیر در می‌آید:

$$P = N \cos \theta + V_{sf} \sin \theta \quad (5-4)$$

$$N \sin \theta = V_{sf} \cos \theta + \frac{A_v f_y h \tan \theta}{s} \quad (6-4)$$



شکل ۹-۴ ستون گسیخته شده در زلزله kokaeli در سال ۱۹۹۹



شکل ۱۰-۴ دیاگرام جسم آزاد ستون پس از گسیختگی برشی

#### ۱-۲-۳-۴- زاویه ترک بحرانی

مدل‌های قابل اعتماد کمی برای تخمین  $\theta$  سطح مورب گسیختگی وجود دارد. مسیر پایه‌ای برای تعریف این زاویه عبارت است از: تعیین تنش کششی اسمی هنگامی که به ظرفیت کششی بتن تحت ترکیب برش و بار محوری می‌رسد با استفاده از دایره موهر که موقعیت تنش را نشان می‌دهد. مدل پیشنهاد شده توسط Kim Mander [۵۷] زاویه ترک بر اساس کمینه کردن کار خارجی نسبت به نیروی برشی واحد بدست می‌آید. برای ستون‌هایی که توسط Lynn و Sezen تست شده‌اند زاویه این ترک بین ۶۵ تا ۷۱ درجه تخمین زده شده است. شکل ۱۱-۴ زاویه میانگین مشاهده شده ترک‌های برشی بحرانی را نشان می‌دهد. این زاویه می‌تواند تقریباً ۶۵ درجه نسبت به افق تخمین زده شود یا از رابطه زیر به دست آید:

$$\theta = 55 + 35 \frac{P}{P_0} \quad (7-4)$$

ظرفیت محوری ستون خراب نشده است که:  $P_0$

$$P_0 = 0.85 f'_c (A_g - A_{st}) + f_{yl} A_{sl} \quad (8-4)$$

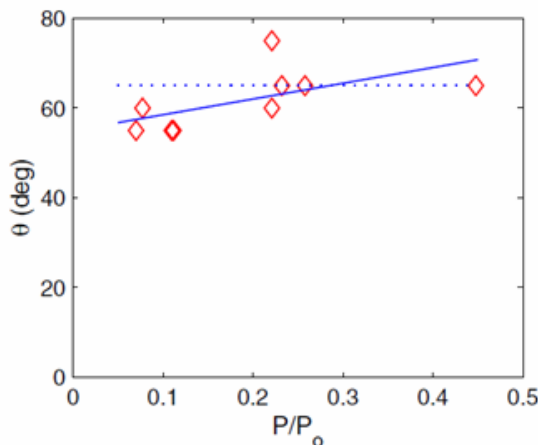
مقاومت فشاری بتن،  $A_{sl}$  سطح مقطع فولادهای طولی،  $A_g$  سطح مقطع ناخالص بتن،  $f'_c$  مقاومت تسلیم تسلیح طولی.

### ۴-۳-۳- ظرفیت جابجایی نسبی در گسیختگی محوری

این قسمت شرحی برای تعیین نسبت دریفت در گسیختگی محوری دارد که وابسته به پارامترهای بار محوری، تسلیح عرضی و تسلیح طولی تعریف می‌باشد که به صورت زیر است:

$$\left(\frac{\Delta}{L}\right)_{axial} = \frac{4}{100} \frac{1 + (\tan \theta)^2}{\tan \theta + P \left( \frac{s}{A_{sl} f_{yt} d_c \tan \theta} \right)} \quad (9-4)$$

در این رابطه فرض می‌شود  $\theta$  برابر ۶۵ درجه باشد.



شکل ۱۱-۴ ارتباط بین زاویه مشاهده شده ترک بحرانی و بار محوری [۵۵]

### ۴-۴- بررسی برش در آبین نامه های مختلف

#### ۱-۴-۱- مقدمه

اعضای خمشی معمولاً علاوه بر خمش، تحت تاثیر برش نیز قرار می‌گیرد. در هر ناحیه‌ای از عضو که تغییرات لنگر خمشی وجود داشته باشد، برش هم وجود خواهد داشت. چرا که در حقیقت برش به صورت مشتق لنگر خمشی در طول عضو ظاهر می‌شود ( $V = dM/dx$ ). شکست برشی در

یک مقطع بتن آرمه به صورت ناگهانی و بدون هشدار قبلی و یا با ظهور اندک آثار شکست زودرس رخ می‌دهد. به همین دلیل ععمولاً با انتخاب ضرایب اطمینان بزرگ‌تر در برش نسبت به خمس این المان‌ها را طوری طراحی می‌کنند که در خمس تحت بارهای کمتری نسبت به بارهایی که باعث شکست برشی می‌شوند به حد گسیختگی برسند.

از آنجا که ضعف بتن در مقاومت کششی آن است اولین آثار گسیختگی مقطع به صورت ترک خوردگی ناشی از تنش‌های کششی اصلی و در راستای عمود بر آن تنش‌ها ظاهر می‌شود. بدین ترتیب مشکلی که برش برای یک عضو بتنی ایجاد می‌کند آن است که تنش‌های برشی به صورت خالص و یا در ترکیب با تنش‌های خمشی در راستایی که با افق زایه‌ای بین صفر تا ۴۵ درجه می‌دهد، تنش‌های کششی قطری ایجاد می‌کنند که این تنش‌ها در حقیقت همان تنش‌های اصلی بوده و بیشترین تنش کششی ممکن در نقطه‌ی مربوطه هستند. بدین‌هی است که تنش‌های کششی اصلی تا حد مقاومت کششی بتن، توسط مقطع تحمل شده و از آن به بعد مقطع با ترک خوردگی روبرو خواهد شد. بر اساس توضیحات قبلی در یک عضو بتنی با رفتار الاستیک، در اثر عمل توان برش و خمس سه نوع ترک خوردگی محتمل رخ خواهد داد.

#### ۲-۴-۴- ترک‌های برشی جان

این ترک‌ها در ناحیه‌ای از عضو رخ می‌دهد که تنش برشی تقریباً خالص وجود داشته باشد. نواحی نزدیک تکیه‌گاه‌ها در تیرهای دو سر ساده، نواحی مستعدی برای وقوع این نوع ترک هستند. این ترک‌ها با زاویه‌ی ۴۵ درجه و در عمق جان مقطع تشکیل شده و از پایین یا بالای مقطع قابل مشاهده نیستند.

#### ۳-۲-۴- ترک‌های خمشی - برشی

این ترک‌ها در ناحیه‌ای به وقوع می‌پیوندد که هر دو تنش‌های برشی و خمشی قابل توجه

باشند. این نوع ترک ابتدا در ناحیه‌ی لنگر مثبت، تحت تاثیر تنش کششی خالص که از خمین ناشی می‌شود، آغاز شده و با رسیدن به موقعیت فولادهای خمشی به تدریج تحت تاثیر توام برش و خمین تورب پیدا می‌کند، تا آن که در محدوده‌ی تار خنثی تحت تاثیر تنش برشی خالص زاویه‌ی ۴۵ درجه با محور خنثی تشکیل دهد.

#### ۴-۲-۴- ترک‌های خمشی

این ترک‌ها در ناحیه‌ای از تیر که برش ناچیز بوده و فقط تنش خمشی وجود دارد (نظیر وسط یک تیر دو سر ساده) اتفاق می‌افتد. این ترک‌ها به صورت تقریباً قائم بالا رفته و تا محور خنثی نفوذ می‌کند. بدیهی است که فولادهای خمشی تعبیه شده در مقطع اثر این ترک‌ها را جبران کرده و یک مقطع بتن‌آرمه را به صورت پایدار باقی نگه می‌دارد.

#### ۳-۳- حالت‌های شکست عضو بتنی

همان‌طور که می‌دانیم مقدار و جهت تنش کششی حداکثر که همان تنش اصلی بوده و مهم‌ترین عامل تاثیرگذار در ایجاد و توسعه‌ی ترک‌های ناشی از عمل توام برش و خمین است. به نسبت تنش خمشی به تنش برشی  $\left(\frac{f}{v}\right)$  وابسته است. به صورت تقریبی می‌توان تنش خمشی را متناسب با نسبت  $\left(\frac{V}{bd}\right)$  فرض نمود، بدین ترتیب نسبت تنش خمشی به تنش برشی را متناسب با نسبت  $\left(\frac{M}{bd^2}\right)$  تنش برشی به صورت زیر خواهد بود:

$$\frac{f}{v} = k \frac{M}{Vd} \quad (10-4)$$

$\frac{M}{Vd}$  ضریب است. رابطه‌ی بالا نشان می‌دهد که متغیر بدون بعد  $K$  بر شدت تنش کششی

قطری حداکثر و جهت آن تاثیرگذار است. از طرفی برای المان‌هایی تحت بارهای متمرکز نسبت  $\frac{M}{V}$

در ناحیه‌ای که در آن برش قابل توجه وجود دارد و بین بار متمرکز و تکیه‌گاه، برابر فاصله‌ی بار متمرکز از تکیه‌گاه است. این فاصله معمولاً به نام "دهانه برش" خوانده شده و با  $a$  نشان داده می‌شود. بدین ترتیب نسبت تنفس خمثی به تنفس برشی با نسبت دهانه برشی به عمق مؤثر  $\frac{a}{d}$  متناسب خواهد بود. برای دهانه‌های تحت بار گسترده می‌توان دهانه برش را برابر با دهانه‌ی آزاد  $l_c$  در نظر گرفت.

#### ۱-۳-۴- شکست خمثی

$$\frac{a}{d} \geq 5.5 \quad \text{مربوط به بار متمرکز}$$

$$\frac{l_c}{d} \geq 16 \quad \text{مربوط به بار گسترده}$$

#### ۲-۳-۴- شکست قطری کششی

$$2.5 < \frac{a}{d} < 5.5 \quad \text{مربوط به بار متمرکز}$$

$$11 < \frac{l_c}{d} < 16 \quad \text{مربوط به بار گسترده}$$

#### ۳-۳-۴- شکست برشی فشاری و شکست برشی کششی

این حالت از شکست ممکن است برای تیرهای نسبتاً عمیق تحت بار متمرکز با  $\frac{a}{d} < 2.5$  و  $1 < \frac{a}{d} < 1$

یا تحت بار گسترده با  $\frac{l_c}{d} < 5$  اتفاق بیافتد. در این حالت نیز ابتدا چندین ترک خمثی ظریف در

وسط دهانه ایجاد می‌شود و با از بین رفتن چسبندگی بین میلگردها و بتن اطراف آنها در ناحیه

تکیه‌گاه، پیش روی ترک‌های خمثی متوقف می‌شود. سپس ناگهان یک ترک مورب با شبیه تندتر از

آنچه که در شکست قطری کششی اتفاق می‌افتد، ایجاد شده و به طرف محور خنثی جلو می‌رود.

همزمان با خرد شدن بتن در تارهای فشاری بالای مقطع، با توزیع تنفس در ناحیه‌ی فشاری به وقوع

پیوسته و پیش روی ترک مورب به طرف بالا کندتر می‌شود. سرانجام با اتصال ترک مورب به ناحیه

بتن خرد شده، شکست برشی فشاری به صور ناگهانی رخ می‌دهد.

لازم به ذکر است که شکست برشی فشاری اگرچه یک شکست ترد محسوب می‌شود، اما به دلیل باز توزیع محدود تنش در ناحیه فشاری نسبت به شکست قطری کششی با تردی کمتری تلقی می‌شود. این شکست به میزان محدودی با هشدار قبلی همراه می‌باشد. در محدوده‌ی نسبت دهانه برشی به عمق مؤثر ذکر شده، همچنین ممکن است قبل از اینکه هرگونه خردشدنگی در ناحیه فشاری بتن اتفاق بیافتد، شکست مقطع با از بین رفتن کامل چسبندگی بین فولاد کششی و بتن تا تکیه‌گاه و جداشدن بتن رخ دهد. این شکست مقطع تحت عنوان شکست برشی کششی خوانده می‌شود.

#### ۴-۴- بررسی معادلات مقاومت برشی پیشنهادی [۷۱-۵۵]

در طی سالیان اخیر، مدل‌های مقاومت برشی متفاوتی پیشنهاد شده‌اند و برای طراحی و محاسبه ستون‌های بتنی مسلح استفاده شده‌اند. بر اساس این مدل‌ها، مقاومت برشی به صورت مجموع مقاومت برشی بتن و تسلیح برشی می‌باشد. تاثیر پارامترهای مختلف از قبیل بار محوری، شکل‌پذیری و پارامترهای نسبی در بعضی از این مدل‌ها نشان داده شده‌اند. تعدادی از این تحقیقات تجربی در این قسمت آورده شده است. تمام واحدها بر اساس ib,in,psi می‌باشد.

#### ۱-۴-۴- آشتو

استاندارد آشتو معادلات زیر را بر مبنای فرض مدل خرپای ۴۵ درجه ارائه داده است:

$$V_n = V_C + V_s \quad (11-4)$$

$$V_C = \left( 1 + \frac{P}{14A_g} \right) \left( \frac{\sqrt{f'_c}}{6} \right) \lambda b_w d \quad (12-4)$$

$$V_C = \left( \sqrt{\frac{f'_c}{6}} \right) \quad (13-4)$$

$$V_c = \left( \frac{10P}{f'_c A_g} \right) \frac{\sqrt{f'_c}}{6(b_w d)} \quad (14-4)$$

$$\frac{A_V f_{yt} d}{s} \quad (15-4)$$

$$d = \frac{D}{2} + \frac{D_r}{\pi} \quad (16-4)$$

که  $A_v$  سطح مقطع عرضی فولاد عرضی،  $f_{yt}$  مقاومت تسلیم فولاد عرضی،  $D$  قطر ستون،  $D_r$  قطر دایره عبوری از مرکز فولادهای طولی،  $s$  فاصله عمودی بین حلقهای عرضی.

برای طراحی غیرلرزهای، معادلات ۱۲-۴ یا ۱۳-۴ برای توزیع مقاومت برشی بتن استفاده می‌شود، بسته به تاثیر بار محوری، معادلات ۱۲-۴ یا ۱۳-۴ همچنین در نواحی مفصل پلاستیک برای بتن استفاده می‌شود. با این حال اگر نسبت بار محوری کمتر از  $1/0$  باشد  $V_c$  به صورت خطی از معادله ۱۲-۴ یا معادله ۱۳-۴ به صفر کاهش می‌یابد و در این حالت معادله ۱۴-۴ استفاده می‌شود. سهم مقاومت برشی فولاد توسط معادله ۱۵-۴ بدست می‌آید. معادله ۱۶-۴ برای مقاطع دایروی استفاده می‌شود.

#### (1973-1977) ASCE-ACI ۴-۲-۲-۴ - کمیته

کمیته مشترک ASCE-ACI گزارشی در سال ۱۹۷۳ در خصوص مقاومت برشی اعضای بتن مسلح منتشر کردند. گزارشات بر اساس مشاهدات زلزله San Fernando در سال ۱۹۷۱ نوشته شد. چاپ مجدد این گزارش در سال ۱۹۷۷ نوشته شد. در گزارش ۱۹۷۳ دلایل شکست برشی نامطلوب اعضای بتن مسلح بررسی شد. این گزارش مکانیزم انتقال برش عمومی، پیشنهادات طراحی و تحقیقات موجود را مرور کرده است. این گزارش مکانیزم‌های انتقال برشی مهم را به صورت زیر بیان می‌کند:

۱- انتقال برش توسط بتن ترک نخوردہ

۲- انتقال برش پیوستگی در بتن ترک‌خورده که از درگیری ذرات ایجاد می‌شود.

۳- انتقال برش توسط تسليح عرضی

۴- عملکرد قوسی در اعضای عمیق

در روند طراحی بحرانی‌ترین مکانیزم، مکانیزم انتقال برش توسط بتن و تسليح عرضی است.

کمیته ASCE-ACI روشهای شبيه به آيین نامه ACI داده شده است. در اعضاي که در معرض فشار

محوري قرار گرفته‌اند. سهم بتن از رابطه زير محاسبه می‌شود:

$$V_c = v_c \left( 1 + \frac{3P}{f'_c A_g} \right) bd \quad (17-4)$$

برای اعضای با وزن نرمال بتنی که در معرض تنش محوري بيشتر از  $0.5\sqrt{f'_c} A_g$  قرار گرفته‌اند،

نيروي برشی که توسط بتن حمل می‌شود:

$$V_c = v_c \left( 1 + \frac{3P}{f'_c A_g} \right) bd \quad (17-4)$$

كه  $v_c$  تنش برشی تحمل شده توسط بتن است و از فرمول زير بدست می‌آيد:

$$v_c = (0.8 + 100\rho_l) \sqrt{f'_c} \leq 0.2 \sqrt{f'_c} \quad (18-4)$$

$$\rho_l = \frac{A_s}{bd} \quad \text{نسبت تسليح طولي است.}$$

معادله پيشگويانه ديگر برای محاسبه مقاومت برشی نياز به آغاز ترک‌هاي برشی مختلفی دارد.

$$V_{ci} = v_c bd + \frac{M_0}{a} \quad (18-4)$$

برای ستون‌هایی که تحت انحنای مضاعف بارگذاری شده‌اند، دهانه برش، a، معادل با  $L/2$

است،  $M_0$  عبارت است از:

$$M_0 = \frac{P}{A_g} \frac{I}{y_t} \quad (18-4)$$

با جایگذاری ممان اینرسی ثانویه،  $I$ ،  $A_g$  و فرض کردن  $y_t$  به صورت نصف ارتفاع مقطع

$$\text{معادله به صورت زیر در می‌آید: } \left( y_t = \frac{h}{2} \right)$$

$$V_{ci} = v_c bd + 0.167 \frac{hP}{a} \quad (19-4)$$

این کمیته به صورت جزئی، فاکتورهای مؤثر بر مقاومت برشی شامل اثر شکل مقطع عرضی و ابعاد مقاومت تسلیح و جزئیات آن، نسبت عمق به دهانه و نوع بارگذاری را بررسی می‌کند. کمیته برای عضوهایی که نسبت عمق به دهانه کمی دارند، پیشنهاد کرده است که تنش برشی بتن،  $V_c$ ، باید با نسبت عمق به دهانه کم شود. توجه شود که سهم بار محوری به برش که توسط بتن حمل می‌شود همچنین با همین نسبت ارتفاع مقطع به دهانه کم می‌شود. (معادله ۱۹-۴).

#### ۳-۴-۴ - پیشنهادات (1973) SEAOC

معادلات مقاومت برشی ستون ACI 318-02 را شامل می‌شود به جز اینکه سهم

بتن، برای تنش های محوری  $\frac{P}{A_g}$  کمتر از  $0.12f'_c$  صفر فرض می‌شود. سهم تسلیح عرضی از معادله

۲۰-۴ محاسبه می‌شود.

$$V_s = \frac{A_v f_{yt} d}{s} \quad (19-4)$$

سهم بتن،  $V_c$ ، از معادله ۲۰-۴ محاسبه می‌شود به استثنای اینکه سطح بتن که در برابر برش مقاومت می‌کند معادل با  $bd$  است و بنابراین:

$$V_c = 3.5\sqrt{f'_c} \sqrt{1+0.002\left(\frac{P}{A_g}\right)} A_s \quad (20-4)$$

که  $A_c$  سطح بتن که در برابر برش مقاومت می‌کند می‌باشد.

#### (1999) Aschheim and Moehle - پیشنهادات ۴-۴-۴

در تحقیق انجام شده توسط Moehle و Aschheim در سال ۱۹۹۲ از داده‌های آزمایشات ستون‌های پل طره‌ای استفاده شده است. داده‌ها نشان می‌دهند که مقاومت برشی ستون تابعی از نیاز شکل‌پذیری،  $\mu_\delta$ ، کمیت تسلیح عرضی و بار محوری است. مقاومت برشی به صورت مجموع سهم‌های مقاومت بتن و تسلیح عرضی است (معادله ۲۳-۴). سهم تسلیح عرضی از معادله ۲۱-۴ محاسبه می‌شود. سهم بتن بدین صورت تعریف می‌شود:

$$V_c = \alpha \left( 1 + \frac{P}{2000A_g} \right) \sqrt{f'_c} bd \leq 3.5\sqrt{f'_c} bd \quad (21-4)$$

برای طراحی و محاسبات ستون‌های بتن مسلح با حلقه مستطیل:

$$\alpha' = \frac{0.006\rho_w f_{yw}}{\mu_s} \quad (22-4)$$

.  $\rho_w = A_{sw}/bs$  نسبت تسلیح عرضی است،

$$V_n = V_C + V_s \quad (23-4)$$

$$V_C = 0.3 \left( k + \frac{P}{14A_g} \right) \sqrt{f'_c} A_e \quad (24-4)$$

$$0 \leq k = \frac{4 - \mu_\delta}{3} \leq 1 \quad (25-4)$$

$$V_s = \frac{\pi}{2} \frac{A_{sp} f_{yh} d}{s} \cot 30 \quad (26-4)$$

#### (1995) Caltrans - ۴-۵-۴ پیشنهادات

برای محاسبه مقاومت برشی ستون‌های بتن مسلح موجود، سازمان حمل و نقل کالیفرنیا معادله ۲۷-۴ را برای محاسبه مقاومت برشی،  $V_n$ ، پیشنهاد کرده است که  $V_s$  از معادله ۲۸-۴ محاسبه می‌شود. سهم بتن،  $V_c$ ، فرض می‌شود تابعی از بار محوری اعمالی، شکل‌پذیری و محصورشدنگی است.

$$V_c = (F_1)(F_2)\sqrt{(f'_c)(0.8A_g)} \leq 4\sqrt{(f'_c)(0.8A_g)} \quad (27-4)$$

$$F_1 = \frac{\rho''f_y}{150} + 3.67 - \mu_s \leq 3.0 \quad (28-4)$$

$\rho''$  نسبت حجم تسلیح عرضی به حجم بتن هسته است. توجه کنید نسبت تسلیح عرضی معادله ۱۴-۲ در عوض نسبت سطح تسلیح عرضی به سطح مقطع بتن است  $A_{sw}/bs$ . ضریب بار محوری است که بین ۱ برای تنش محوری صفر و ۱,۵ برای تنش فشاری  $F_2$  ضریب بار محوری است که بین ۱ برای تنش محوری صفر و ۱,۵ برای تنش فشاری ۱۰۰۰psi است.

#### (1994) Pristly - ۴-۶-۶

پریستلی پیشنهاد کرده است که برای محاسبه مقاومت برشی ستون‌ها تحت بارهای جانبی سیکلی سهم بتن، مکانیزم خرپایی یا تسلیح عرضی و مکانیزم قوسی مرتبط با بار محوری  $V_p$ ، به صورت زیر است:

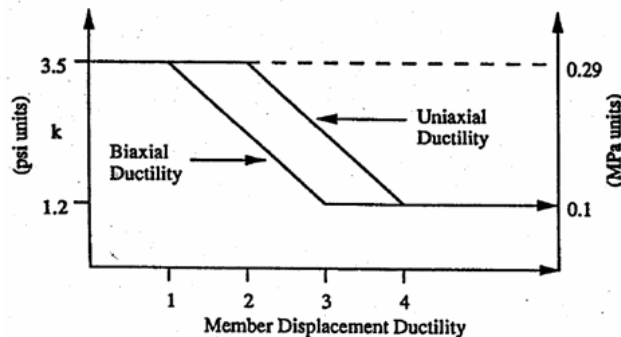
$$V_n = V_c + V_s + V_p \quad (29-4)$$

مؤلفه بتن عبارت است از:

$$V_c = k\sqrt{f'_c}0.8A_g \quad (30-4)$$

$$V_s = k\sqrt{f'_c}A_e \quad (31-4)$$

۱۲-۴ که  $A_e = 0.8A_g$  و پارامتر  $k$  مرتبط با میزان شکل‌پذیری عضو است که در شکل ۱۲-۴ تعریف شده است. همان‌طور که در شکل ۱۲-۴ شرح داده شده است، سهم بتن با افزایش شکل‌پذیری به میزان ۶۶٪ کاهش می‌یابد.



شکل ۱۲-۴ کاهش مقاومت برشی بتن با افزایش شکل‌پذیری

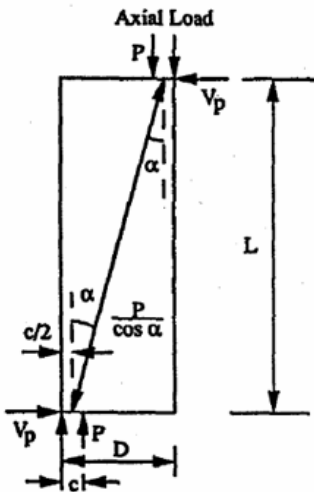
سهم تسلیح عرضی مقاومت برشی بر مبنای مکانیزم خرپایی با زاویه  $30^\circ$  درجه بین دستک فشاری قطری و محور طولی ستون است برای ستون‌های با مقطع عرضی مستطیلی، مؤلفه مکانیزم خرپایی،  $V_s$  عبارت است از:

$$V_s = \frac{A_{sw} f_{sw} D}{s} \cot 30 \quad (32-4)$$

که  $D'$  فاصله موازی با برش اعمالی بین مرکز حلقه‌های پیرامونی است. سهم مکانیزم قوسی عبارت است از:

$$V_p = P \tan \alpha = \frac{D - s}{2\alpha} P \quad (33-4)$$

است.  $\alpha$ ، تورب دستک فشاری قطری است (شکل ۱۳-۴)،  $s$ ، عمق تار خنثی و  $D$  عمق کل مقطع



شکل ۱۳-۴ سهم بار محوری در مقاومت برشی

مکانیزم مقاومت برشی که در شکل ۱۳-۴ نشان داده است مشابه با مدل مکانیزم قوسی تعریف شده توسط Watanabe & Ichinose در سال ۱۹۹۲ می‌باشد و در شکل ۱۰-۴ نشان داده شده است. با این حال مدل موجود در آیین‌نامه ژاپن از بار محوری اعمالی مستقل است. باید توجه کرد که عمق تار خنثی  $c$  بسته به انحنای مقطع بحرانی و شکل پذیری متغیر است. هنگامی که نسبت گفته شده افزایش می‌یابد سهم بار محوری کاهش می‌یابد. همچنین با افزایش بار محوری، افزایش می‌یابد. تاثیر بار کششی محوری روی مقاومت برشی تعریف نشده است.

$$V_n = V_c + V_s \quad (34-4)$$

$$V_c = k \sqrt{f'_c} A_e \quad (35-4)$$

$$\left\{ \begin{array}{l} 2 \leq \mu_\Delta \leq 4 : k = 0.25 - 0.0835(\mu_\Delta - 2) \\ \mu_\Delta = 4 : k = 0.083 \\ 4 \leq \mu_\Delta \leq 8 : k = 0.083 - 0.0125(\mu_\Delta - 4) \\ 8 \leq \mu_\Delta : k = 0.042 \end{array} \right. \quad (36-4)$$

$$V_s = \frac{\pi A_{sp} f_{yh} D_{sp}}{2s} \cot 35 \quad (37-4)$$

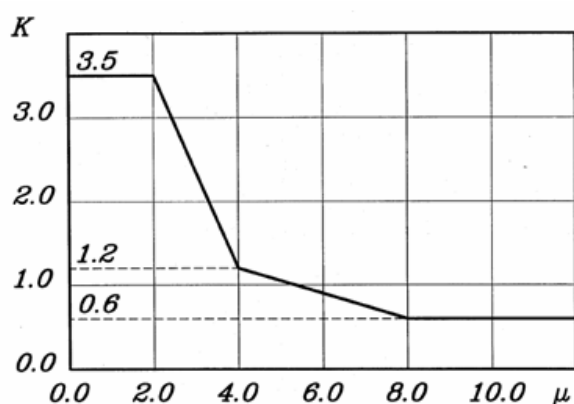
$$V_p = 0.85P \tan \alpha = 0.85P \frac{D_c}{2L} \quad (38-4)$$

#### (1997) Kowalski -۷-۴-۴

مدل پیشنهاد شده توسط پریستلی، Kowalski بازنگری شده است (۱۹۹۷). برای داشتن تاثیرات نسبت ابعاد ستون و تسلیح طولی، سهم بتن بدین صورت تعریف می‌شود:

$$V_c = \alpha \beta k \sqrt{f'_c} 0.8 A_g \quad (39-4)$$

که  $\alpha$  تاثیر نسبت ابعاد را شامل می‌شود  $\alpha = \frac{2-a}{h} + 1$  و نمی‌تواند کوچکتر از ۱ و بزرگتر از  $1/5$  باشد و  $\beta$  برای تاثیر تسلیح عرضی آورده شده است  $\beta = 0.5 + 20\rho_l$ . به شواهد بین ضریب  $\beta$  و تنفس برشی توصیه شده توسط کمیته ASCE-ACI (معادله ۱۹-۴) توجه شود. همان‌طور که در شکل ۱۴-۴ نشان داده شده است ضریب تنزل مقاومت،  $k$ ، در شکل پذیری‌های بزرگتر کاهش می‌یابد.



شکل ۱۴-۴ کاهش مقاومت برشی با افزایش شکل پذیری

شکل ۱۴-۴ کاهش سهم بتن را تا ۸۳ درصد در جابجایی‌های بزرگ نشان می‌دهد، مؤلفه بار محوری،  $V_p$  همان معادله ۲۱-۴ باقی می‌ماند، مؤلفه مکانیزم خرپایی،  $V_s$ ، با رابطه زیر اصلاح می‌شود:

$$V_s = \frac{A_{sw} f_{sw} D}{s} \cot 30 \quad (40-4)$$

$D'$ : قطر فولادهای طولی ستون دایروی.

#### (1996) Konwinski -۸-۴-۴

تحقیق انجام شده توسط Konwinski که بر اساس داده‌های تجربی آزمایشات ستون شکل‌پذیر است متذکر می‌شود که مقاومت برشی ستون وابسته به نیاز شکل‌پذیری است. روش پیشنهاد شده شامل مؤلفه بتن و تسلیح عرضی برای محاسبه مقاومت برشی ستون است. سهم تسلیح عرضی،  $V_s$ ، نسبت به رابطه ذکر شده در آیین نامه ACI 318-02 به میزان ۵۰٪ کاهش می‌یابد و عبارت است از:

$$V_s = \frac{A_{sw} f_{sw} D}{s} \cot 30 \quad (40-4)$$

مؤلفه بتن،  $V_c$ ، عبارت است از:

$$V_c = \alpha \sqrt{f'_c} \sqrt{1 + \frac{(P/A_g)}{12\sqrt{f'_c}}} 0.85 A_g \quad (41-4)$$

که  $\alpha = 6 \frac{d}{a}$ ، اما  $2 \leq \alpha \leq 4$  محدود شده است. در این روش برای محاسبه مقاومت برشی، طرفیت تغییرشکل اعضا لازم نیست که شناخته شود. اگرچه معادله ۳۶-۴ ارتباط غیرمستقیم با نیاز شکل‌پذیری دارد، با این حال تاثیر شکل‌پذیری به صورت مجازی اشاره شده است. برای اینکه تاثیر تنزل مقاومت بهدلیل بارگذاری سیکلی در نظر گرفته شود، تنش برشی ماکزیمم بتن هسته است. این روش فرض می‌کند که کاور بتن پوسته شده است.

#### (1997) FEMA 273 -۹-۴-۴

معادلات مقاومت برشی ستون که در FEMA273 راهنمای NEHRP برای مقاومسازی لرزه‌ای سازه‌ها پیشنهاد شده است بر مبنای مروری از داده‌های تجربی ممکن برای ستون‌های موجود تحت بار

محوری و جابجایی‌های جانبی سیکلی برگشت‌پذیر است. مرجع اولیه داده‌ها بر اساس ستون‌های با تسلیح عرضی بالاتر نسبت به ساختمان‌های قدیمی‌تر است. در FEMA273، نیاز شکل‌پذیری ستون‌های قدیمی‌تر به روش ساده‌ای قابل تبدیل است.

سهم فولاد عرضی برای مقاومت برشی از معادله ۱۹-۴ در آیین نامه SEAOC محاسبه می‌شود و سهم بتن عبارت است از:

$$V_c = 0.29 \left( k + \frac{P}{13.8 A_g} \right) \sqrt{f'_c} bd \quad (42-4)$$

$$V_c = 3.5 \lambda \left( k + \frac{P}{2000 A_g} \right) \sqrt{f'_c} bd \quad (43-4)$$

که فاکتور شکل‌پذیری  $k$ ، برابر با ۱ برای نیاز شکل‌پذیری کم و ۰,۷ برای نیاز شکل‌پذیری بالا و متوسط است، و  $\lambda$  برای بتن با وزن نرمال برابر با ۱ است. نسبت نیاز به ظرفیت برابر با ۲ یا شکل‌پذیری کمتر از ۲ برای نیاز شکل‌پذیری کم است. بار محوری  $P$  در تنش کششی برابر با صفر است.

#### ۱۰-۴-۴- مدل مقاومت برشی جایگزین

همانطور که FEMA273 اشاره کرده است، در یک ستون بتنی مقاومت برشی به دلیل اندرکنش تنش کششی و باز توزیع فعالیت‌های داخلی هنگام رخداد ترک، کاهش می‌یابد. این تاثیر تقریباً با معرفی ترم  $a/d$  نشان داده می‌شود که  $a$  برابر با فاصله از ممان بیشینه تا نقطه عطف است:

$$V_c = k \left( \frac{6\sqrt{f'_c}}{a/d} \sqrt{1 + \frac{P}{6\sqrt{f'_c} A_g}} \right) A_g \quad (44-4)$$

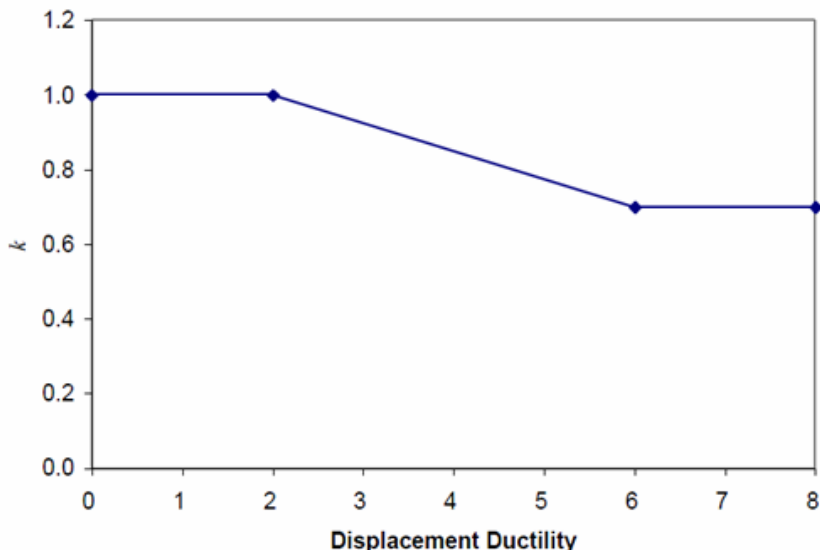
هیچ حد و مرزی برای نسبت  $a/d$  وجود ندارد، اما توجه شود که رنج مقادیر آن در داده‌های آزمایشگاهی بین ۲ تا ۳/۹ بوده است.

در معادله ۶، پارامتر  $k$  یک پارامتر اصلاحی برای محاسبه تنزل مقاومت هنگام تشکیل مفاصل پلاستیک خمی است و سایر ترمها در سایر مدل‌های مقاومت برشی تعریف شده است. برای این داده فرض کنید  $k$  در شکل ۷ تعریف شده است. (Aschhiem,1993;Pristley,1994) روابط نزولی که توسط سایر محققین پیشنهاد شده است، که شامل ستون‌های با مقادیر بالاتر تسليح عرضی است نرخ تنزل را بالاتر تخمین می‌زنند.

سهم فولاد  $V_s$  در معادله ۴۵-۴ تعریف شده است، که برابر با معادله ۴۶-۴ است به جز حالتی که سهم مقاومت برشی همراه با تسليح عرضی با افزایش شکل‌پذیری با همان ضریب  $k$  کاهش می‌یابد (در شکل ۱۵-۴ تعریف شده است). مطالعات روی داده‌ها در جدول ۱ نشان می‌دهند که مدل‌های پیشنهادی توسط Aschhiem,1993;Pristley,1994 سهم حلقه‌ها را بالا تخمین می‌زنند:

$$V_s = \frac{A_{sw} f_{sw} d}{s} \quad (45-4)$$

$$V_s = k \frac{A_{sw} f_{sw} d}{s} \quad (46-4)$$



شکل ۱۵-۴ پارامتر  $k$

## ۱۱-۴-۴- رابطه پیشنهادی Moehle و Sezen

Moehle و Sezen مدل مقاومت برشی را برای ستون‌های بتنی مسلح کم خاموت ارائه داده‌اند

که تنزل مقاومت را محاسبه می‌کند که با تسلیم خمشی همراه است [۵۶]

$$V_{n,sezen} = k \frac{A_s f_y d}{s} + k \left( \frac{6\sqrt{f'_c}}{a/d} \sqrt{1 + \frac{(P_u)}{6\sqrt{f'_c} A_g}} \right) 0.8 A_g (\text{psi}) \quad (47-4)$$

$$V_{n,sezen} = k \frac{A_s f_y d}{s} + k \left( \frac{0.5\sqrt{f'_c}}{a/d} \sqrt{1 + \frac{(P_u)}{0.5\sqrt{f'_c} A_g}} \right) 0.8 A_g (\text{Mpa}) \quad (48-4)$$

فاصله ممان بیشینه مقطع تا نقطه عطف است  $a$

〃 جابجایی شکل‌پذیر که:

$$\begin{aligned} \mu \leq 2 &\triangleright k = 1 \\ \mu \geq 6 &\triangleright k = 0.7 \end{aligned} \quad (49-4)$$

و برای مقادیر بین،  $k$  به صورت خطی تغییر می‌کند.

## ATC/MCEER -۱۲-۴-۴

NCHRP 12-49 آینه نامه طراحی لزه‌ای برای AASHTO-LRFD بر مبنای ATC/MCEER

پیشنهاد کرده است. معادله ۵۰-۴ تا ۵۶-۴ برای محاسبات مقاومت برشی اسمی در ناحیه پلاستیک استفاده

می‌شود. برای تعیین ضریب ثابت  $A$  در معادلات ۵۱-۴ تا ۵۴-۴ که ضریب شرایط مرزی است، اگر دوسر

گیردار باشد ۲ اعمال می‌شود. وقتی یک سر گیردار است و سر دیگر آزاد مثل طره، این ضریب ۱ خواهد بود.

در معادله ۵۲-۴،  $D'$  قطر دایره فولاد طولی در ستون دایروی است. زاویه ترک  $\theta$  که در معادله ۲۷ تعیین

می‌شود فولاد عرضی و طولی را در نظر می‌گیرد و برای محاسبه  $V_s$  استفاده می‌شود. مقاومت برشی تسلیح

برای ستون‌های دایروی در معادله ۲۶ آورده می‌شود. تاثیر بار محوری در معادله ۲۳ آمده است.

$$V_n = V_c + V_s + V_p \quad (50-4)$$

$$V_p = \frac{\gamma}{2} P \tan \alpha \quad (51-4)$$

$$\tan \alpha = \frac{D'}{L} \quad (52-4)$$

$$V_c = 0.05 \sqrt{f'_c} b_w d \quad (53-4)$$

$$V_s = \frac{\pi}{2} \frac{A_{sp} f_{yh} d}{s} \cot \theta \quad (54-4)$$

$$\tan \theta = \left( \frac{1.6 \rho_v A_v}{\gamma \rho_t A_g} \right)^{0.25} \geq \tan \alpha \quad (55-4)$$

$$\rho_v = \frac{\rho_s}{2} = \frac{2A_{sp}}{sD_{sp}} \quad (56-4)$$

### ATC-32 -13-4-4

$$\Phi V_n = \Phi (V_c + V_s) \geq V_u \quad (57-4)$$

مقاومت برشی بتن:

$$V_c = \frac{1}{6} \left( 1 + 0.075 \frac{P}{A_g} \right) \sqrt{f'_c} bd \text{ (MPa)} \quad \text{خارج از محدوده مفصل پلاستیک} \quad (58-4)$$

$$V_c = \frac{1}{6} \left( 0.5 + 0.075 \frac{P}{A_g} \right) \sqrt{f'_c} bd \text{ (MPa)} \quad \text{در محدوده مفصل پلاستیک} \quad (59-4)$$

مقاومت برشی خاموتها:

$$V_s = \frac{A_v f_{yh} d}{s} \quad (59-4)$$

مقاومت برشی اسمی بتن،  $V_s$  مقاومت برشی تسلیح عرضی،  $V_u$  نیاز برشی در نقط(ماکریم برش تجربی در آزمایشات)،  $f'_c$  مقاومت برشی بتن،  $A_v$  مساحت کلی تسلیح برش

موازی با راستای اعمال نیروی برشی با فواصل  $\delta$  در طول محور عضو،  $b$  عرض مقطع،  $d$  فاصله تار فشاری تا مرکز تسليح کششی طولی،  $\Phi$  فاکتور کاهشی مقاومت.

#### ۱۴-۴-۴- استاندارد نیوزیلند

استاندارد نیوزیلند معادلات زیر را بر مبنای مدل خرپایی ۴۵ درجه برای مقاومت برشی ستون‌های بتن مسلح ارائه داده است. در تعیین  $V_c$  برای نواحی مفصل پلاستیک، میزان فولاد طولی و تاثیر بار محوری در نظر گرفته شده است. البته تاثیر بار محوری در حالتی که نسبت بار محوری از ۱/۰ تجاوز کند همان‌طور که در معادله ۶۱-۴ نشان داده شده است منظور می‌شود. بنابراین در حالتی که نسبت بار محوری کوچکتر مساوی ۱/۰ باشد، از سهم بتن برای مقاومت برشی صرف نظر می‌شود. برای منظور کردن فولاد طولی، پارامتر آخر در معادله ۶۳-۴ برای ستون‌های دایره‌ای اعمال می‌شود، که سطح مقطع فولاد طولی و  $A_{st}$  سطح مقطع ستون است. مقاومت برشی تسليح  $V_s$  در معادله ۶۴-۴ برای ستون‌های دایره‌ای محاسبه می‌شود.

$$V_n = V_c + V_s \quad (60-4)$$

$$V_c = \left( 4v_b \sqrt{f'_c} \sqrt{\frac{P}{f'_c A_g} - 0.1} \right) b_w d \quad (61-4)$$

$$v_b = 0.07 + 10\rho_w \quad (62-4)$$

$$\rho_w = \frac{A_{s,tens}}{b_w d} = \frac{0.5A_{st}}{A_c} \quad (63-4)$$

$$V_s = \frac{\pi}{2} \frac{A_{sp} f_{yh} D_{sp}}{s} \quad (64-4)$$

#### FEMA 356 - ۱۵-۴-۴

ارزیابی لرزه‌ای و مقاومسازی ساختمان‌ها در آمریکا، به صورت گزارشات توصیه‌ای FEMA356 آورده شده است. به منظور پیاده کردن توصیه‌های FEMA356 برای یک سازه موجود، مهندس باید

قادر به محاسبه سختی ستون، مقاومت و ظرفیت تغییرشکل باشد. او باید همچنین قادر به تعیین پتانسیل گسترش گسیختگی در خمش و برش باشد. روند مدل‌سازی و تعیین مقاومت ستون‌ها با استفاده از داده‌های ۴ ستون آزمایش شده اینجا بحث شده است.

در گزارشات FEMA356 مقاومت برشی به صورت زیر است:

$$V_{356} = k_1 \frac{A_s f_y d}{s} + \lambda k_2 \left( \frac{6\sqrt{f'_c}}{M/Vd} \sqrt{1 + \frac{P_u}{6\sqrt{f'_c} A_g}} \right) 0.8 A_g (\text{psi}) \quad (65-4)$$

$$V_{356} = k_1 \frac{A_s f_y d}{s} + \lambda k_2 \left( \frac{0.5\sqrt{f'_c}}{M/Vd} \sqrt{1 + \frac{P_u}{0.5\sqrt{f'_c} A_g}} \right) 0.8 A_g (\text{MPa}) \quad (66-4)$$

$k_1$  برای فواصل تسليحات کمتر از  $\frac{d}{2}$ ، و  $k_1 = 0.5$  برای مقادیر بیشتر از  $\frac{d}{2}$ ، البته توجه شود که نباید بیشتر از  $d$  شود. اگر بیشتر بود  $k_1 = 0$  خواهد بود.

$$\begin{aligned} \mu \leq 2 &\Rightarrow k_2 = 1 \\ \mu \geq 4 &\Rightarrow k_2 = 0.7 \end{aligned} \quad (67-4)$$

و برای مقادیر مابین  $\mu$ ،  $k_2$  به صورت خطی تغییر می‌کند.

جدول ۱-۴ مقایسه روابط پیشنهاد شده برای برش

code	$V_n$	$V_c$		$V_s$		$V_p$
ACI	$V_c + V_s$	Shear, flexure	Shear, flexure, axial	section		
		$\left(\sqrt{\frac{f'_c}{6}}\right)\lambda b_w d$	$\left(1 + \frac{N_u}{14A_g}\right)\left(\frac{\sqrt{f'_c}}{6}\right)\lambda b_w d$	Rectangular	Circle	
New Zealand standard	$V_c + V_s$			$4v_b \sqrt{f'_c} \sqrt{\frac{P}{f'_c A_g} - 0.1} b_w d$	$\frac{A_v f_{yt} d}{s}$	
FEMA356	$V_c + V_s$			$\lambda k_2 \left( \frac{0.5 \sqrt{f'_c}}{M/Vd} \sqrt{1 + \frac{P_u}{0.5 \sqrt{f'_c} A_g}} \right) 0.8 A_g$	$k_2 \frac{A_v f_y d}{s}$	
FEMA273	$V_c + V_s$			$V_c = 0.29 \left( k + \frac{P}{13.8 A_g} \right) \sqrt{f'_c} b d$		
AASHTO	$V_c + V_s$			$\left(1 + \frac{P}{14A_g}\right) \left(\frac{\sqrt{f'_c}}{6}\right) \lambda b_w d$	$\frac{A_v f_{yt} d}{s}$	
ASCE	$V_c + V_s$			$v \left(1 + \frac{P}{6\sqrt{f'_c} A_g}\right) b d$ $v_c \left(1 + \frac{3P}{f'_c A_g}\right) b d$	$\frac{A_v f_{yt} d}{s}$	
SEAOC	$V_c + V_s$			$3.5 \sqrt{f'_c} \sqrt{1 + 0.002 \left(\frac{P}{A_g}\right)} A_s$	$\frac{A_v f_{yt} d}{s}$	
Caltrans1995	$V_c + V_s$			$(F_1)(F_2) \sqrt{f'_c} (0.8 A_g)$	$\frac{A_v f_{yt} d}{s}$	
هیئت معماری و این راهنمای طراحی سازه‌های (۱۹۹۴)	$V_c + V_s$			$Factor1 \times Factor2 \times \sqrt{f'_c} \leq 0.33 \sqrt{f'_c}$	$\frac{\pi}{2} \frac{A_{st} f_{yh} D}{s}$	
Pristly(1994)	$V_c + V_s + V_p$	$V_c = k \sqrt{f'_c} 0.8 A_g$			$\frac{A_{sw} f_{sw} D}{S} \cot 30$	$P \tan \alpha = \frac{D-s}{2\alpha} P$
Kowalski(1997)	$V_c + V_s$	$V_c = \alpha \beta k \sqrt{f'_c} 0.8 A_g$			$\frac{A_{sw} f_{sw} D}{S} \cot 30$	$P \tan \alpha = \frac{D-s}{2\alpha} P$
Konwinski(1996)	$V_c + V_s$	$\alpha \sqrt{f'_c} \sqrt{1 + \frac{(P/A_g)}{12\sqrt{f'_c}}} 0.85 A_g$			$0.85 \frac{A_{sw} f_{sw} h}{s}$	
Sezen&Moehle	$V_c + V_s$	$k \left( \frac{0.5 \sqrt{f'_c}}{a/d} \sqrt{1 + \frac{(P_u)}{0.5 \sqrt{f'_c} A_g}} \right) 0.85 A_g$			$K \frac{A_s f_s d}{s}$	
ATC/MCEER	$V_c + V_s + V_p$	$0.5 \sqrt{f'_c} b_w d$			$\frac{A_v f_{yt} d}{s}$	$\frac{\pi}{2} \frac{A_{sw} f_{sw} D}{s} \cot \theta$
Aschheim and Moehle (1992)	$V_c + V_s$	$\alpha \left(1 + \frac{P}{2000 A_g}\right) \sqrt{f'_c} b d$			$K \frac{A_s f_y d}{s}$	
ATC-32	$V_c + V_s$	$V_c = \frac{1}{6} \left(1 + 0.075 \frac{P}{A_g}\right) \sqrt{f'_c} b d$			$K_2 \frac{A_s f_y d}{s}$	
ATC-40		$V_c(t) = 0.17 \lambda \left(1 + \frac{N_u(t)}{14A_g}\right) \sqrt{f'_c} b_w d$				

## فصل ۵

# تحلیل استاتیکی افزاینده<sup>۱</sup>

---

<sup>۱</sup> Push over analytical

## ۱-۵ مقدمه

روش‌های مختلف آنالیز، در ارزیابی لرزه‌ای ساختمان‌های موجود شامل تحلیل‌های الاستیک (خطی) و غیرالاستیک (غیرخطی) می‌باشند. در بسیاری از موارد با استفاده از تحلیل خطی نمی‌توان ارزیابی رفتار سازه را تحت اثر زلزله‌های گوناگون تعیین کرد، از طرفی در تمام موارد نمی‌توان تحلیل دینامیکی غیرخطی انجام داد، چرا که چنین تحلیلی بسیار وقت‌گیر و مشکل است. در حالتی که شناخت نیاز و ظرفیت موجود سازه‌ها بسیار پیچیده و غیر مطمئن باشد، به علت محدودیت توانایی و دانش طراحی، باید بسیاری از فرضیات ساده کننده را بکار برد، تحلیل بار افزاینده یک راه حل میانی برای حل مسائل پیچیده درباره نیروها و تغییرمکان‌های واردۀ بر سازه تحت حرکات زمین می‌باشد. با استفاده از این روش مناسب و دقیق می‌توان اطلاعات ارزشمندی را بدست آورد که بدون کمک به آنالیزهای استاتیکی یا دینامیکی به آنها نمی‌توان دست یافت. مهمترین روش تحلیل غیرالاستیکی که به طور کامل غیرخطی می‌باشد تحلیل تاریخچه زمانی می‌باشد. با در نظر گرفتن جنبه‌های مختلف استفاده از تحلیل تاریخچه زمانی، مانند حساسیت زیاد پاسخ به رکوردهای ورودی، عدم انطباق شرایط ساختگاهی محل ثبت رکورد با محل سازه مورد بررسی وجود پارامترهای متنوع بر پاسخ سازه (نظیر محتوی فرکانسی، دوره تناب خاک، مدت زمان زلزله، رفتارهای کاهنده سازه و غیره) که منجر به لزوم تحلیل‌های متعدد و بهره‌گیری از نتایج آماری آنها شده است، می‌توان گفت که این روش، نسبتاً مشکل و پر هزینه می‌باشد. با وجودی که تحلیل الاستیک به خوبی ظرفیت الاستیک سازه و محل ایجاد نخستین تسلیم را مشخص می‌کند اما مکانیزم خرابی را نمی‌تواند پیش‌بینی کند و توزیع مجدد نیرو، در خلال افزایش تصاعدی تسلیم را نیز نمی‌تواند بکار گیرد. تحلیل غیرالاستیک به وسیله تشخیص مدهای خرابی سازه عملکرد واقعی سازه را نشان می‌دهد و پتاسیل سازه را برای افزایش خرابی مشخص می‌کند. استفاده از تحلیل غیرالاستیک در طراحی و ارزیابی سازه، یک روش مناسب برای پی‌بردن به عملکرد سازه در هنگام زلزله‌های واقعی است، البته فرض می‌شود که ظرفیت

الاستیک سازه بیش از ظرفیت غیرالاستیک است. همچنین تحلیل غیرالاستیک مجھولات آئیننامه‌ها و تحلیل الاستیک را رفع و تصویر واضحتری از رفتار سازه را نمایش می‌دهد. روش طیف ظرفیت یک روش تحلیل استاتیکی غیرخطی است، که نمایش گرافیکی از منحنی ظرفیت نیرویی سازه را نشان می‌دهد، همچنین طیف‌های پاسخ سازه را از جابجایی‌های زلزله با هم مقایسه می‌کند، نمایش گرافیکی، تصویر واضحی از چگونگی پاسخ سازه تحت حرکت زمین در اثر زلزله را نشان می‌دهد. این روش در ارزیابی لرزه‌ای و طراحی بهسازی لرزه‌ای ساختمان‌های موجود بسیار سودمند می‌باشد.<sup>[۷۲، ۷۳]</sup>

وقوع یک زلزله، آزمایشگاه بزرگ و محکی جدی برای معلومات پیشین متخصصین زلزله و سازه پدید آورده و امکان بازنگری و تجدید نظر و یا تأیید آئیننامه‌های رایج را فراهم می‌آورد. زلزله‌های ۳۰ سال اخیر تحولی شگرف در نحوه نگرش متخصصین امر زلزله و سازه به این پدیده و راهکارهای مواجهه با آن را سبب شده است. از این رو آئیننامه‌های طراحی جدیدی برای طرح سازه‌های مقاوم در برابر نیروهای زلزله تهیه شده که ضوابط جدیدی را به آئیننامه‌های رایج در طراحی سازه‌ها افزوده است. از جمله این آئیننامه‌ها که برای طراحی سازه‌ها تدوین شده می‌توان به آئیننامه‌های معتبر FEMA<sup>۱</sup> و ATC<sup>۲</sup> اشاره کرد.

## ۲-۵- روش‌های تحلیل

تحلیل باید تقاضای لرزه‌ای و ظرفیت تحمل این تقاضاها را برای همه المان‌های سازه‌ای زیر مورد توجه قرار دهد.

۱- المان‌هایی که برای پایداری جانبی سازه، لازم هستند (المان‌های اصلی)

۲- المان‌هایی که برای برابری عمودی ساختمان لازم هستند.

<sup>۱</sup> Federal Emergency Management Agency

<sup>۲</sup> Applied Technology Council

۳- المان‌هایی که برای برآوردن هدف بهسازی، بحرانی هستند و می‌توانند در اثر زلزله آسیب

بینند.

روش تحلیل باید شامل یکی از موارد زیر باشد:

- تحلیل خطی شامل روش استاتیکی خطی (LSP)، و روش دینامیکی خطی (LDP)، شامل:

۱- تحلیل طیف بازتاب

۲- تحلیل تارچه زمانی خطی

- تحلیل غیرخطی، شامل روش استاتیکی غیرخطی (NSP)، و روش دینامیکی غیرخطی

(NDP)

## ۱-۲-۵- روش‌های تحلیل خطی

روش‌های خطی، برای هر فن بهسازی قابل کاربرد هستند، مگر فنونی که کاربرد سیستم‌های

اتلاف انرژی تکمیلی و بعضی از سیستم‌های جداسازی لرزه‌ای را پیشنهاد می‌کنند.

نتایج روش‌های خطی، وقتی که برای سیستم‌های سازه‌ای با نامنظمی زیاد بکار می‌روند،

می‌توانند خیلی ناصحیح باشد، مگر اینکه ساختمان قادر باشد تا به زلزله‌های طرح، در رفتاری تقریباً

خطی پاسخ دهد. بنابراین روش‌های خطی نباید برای ساختمان‌های با نامنظمی زیاد بکار رود، مگر

اینکه تقاضای شکل‌پذیری زلزله روی ساختمان بطور مناسب کم باشد.

## ۲-۲-۵- روش‌های تحلیل غیرخطی

روشهای تحلیل غیرخطی را می‌توان برای هر یک از فنون بهسازی بکار برد. روش‌های

غیرخطی، بخصوص برای تحلیل ساختمان‌هایی که نامنظمی‌های تعریف شده در بخش قبل را دارند،

توصیه می‌شود. روش تحلیل استاتیکی غیرخطی اساساً برای ساختمان‌هایی که اثرات مدهای بالاتر در

آنها ناچیز می‌باشد، قابل استفاده است. روش تحلیل دینامیکی غیرخطی، برای هر سازه‌ای مناسب

است ولی نیاز به قضاوت مهندسی در تحلیل نتایج دارد.

### ۱-۲-۲-۵- روش استاتیکی غیرخطی<sup>۱</sup>

این روش برای هر سازه‌ای و با هر هدف بهسازی ممکن است بکار رود مگر در موارد زیر:

- این روش نباید برای سازه‌هایی که در آنها اثرات مدهای بالاتر مهم هستند، بکار رود، مگر

اینکه یک تحلیل دینامیکی خطی انجام شود.

- این روش در مواردی که آگاهی وسیع از سازه وجود ندارد، نباید بکار رود.

### ۱-۲-۲-۵- روش دینامیکی غیرخطی<sup>۲</sup>

این روش برای هر سازه‌ای به هر هدف بهسازی بکار می‌رود، مگر اینکه:

- این روش برای سازه‌های چوبی مناسب نمی‌باشد.

- از این روش فقط در مواردی که آگاهی وسیع از سازه وجود دارد باید استفاده کرد.

طراحی و تحلیل باید تحت بازبینی یک مهندس، با تجربه کافی در طراحی لرزمات و روش‌های

غیرخطی قرار گیرد.

### ۵-۳- آنالیزهای استاتیکی غیرخطی

#### ۱-۳-۵- تحلیل استاتیکی غیرخطی

استفاده از روش‌های دینامیکی غیرخطی برای یافتن پاسخ‌های سازه بسیار هزینه‌بر بوده و

همچنین نیاز به اطلاعات جامع دارد. امروزه با توسعه روش‌های استاتیکی غیرخطی یافتن پاسخ‌های

سازه‌ها به نسبت ساده‌تر شده است. در زمینه آنالیز استاتیکی غیرخطی در سال‌های اخیر تحقیقات

---

<sup>1</sup> Nonlinear Static Procedure

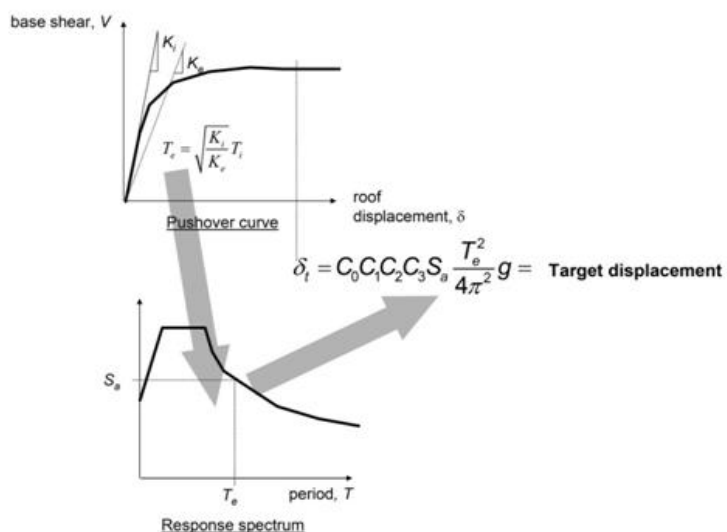
<sup>2</sup> Nonlinear Dynamic Procedure

بی‌شماری صورت گرفته است. راوینکلر (Krawinkler) و سِنوایرنا (Seneviratna) به توصیف جامعی از آنالیز استاتیکی غیرخطی پرداختند. کالکن (Kalkan) و کانث (Kunnath) به مقایسه روش‌های استاتیکی غیرخطی مختلف پرداختند. بسیاری از مطالعات در این زمینه مربوط به چگونگی توزیع بار جانبی و چگونگی در نظر گرفتن اثرات مودهای بالاتر به خصوص در سازه‌های با پریود بالاتر می‌باشد. در این زمینه به عنوان نمونه می‌توان به مطالعات چوپرا (Chopra) و گویل (Goel) اشاره کرد که توزیع بار جانبی را بر مبنای مشارکت مودهای اساسی سازه به دست می‌دهد. از دیگر مطالعات می‌توان به مطالعات جَن (Jan) و همکاران اشاره کرد که یک توزیع جانبی بار بر اساس دو مود اول ارتعاش سازه پیشنهاد کردند.

در روش‌های استاتیکی ابتدا با استفاده از یک آنالیز معتبر، مقدار جابجایی هدف (جابجایی بیشینه که انتظار می‌رود سازه در طول عمر خود تجربه کند) به دست می‌آید. بدین منظور لازم است که ابتدا منحنی پوش‌اور سازه به دست آید. برای این منظور، بعد از اعمال بارگذاری استاتیکی (مانند وزن)، یک توزیع بار جانبی به سازه اعمال می‌شود، این بارگذاری مرتباً افزایش می‌یابد در هر مرحله جابجایی نقطه مرجع (مانند مرکز جرم بام) بر حسب برش پایه بر روی مختصات منحنی برده می‌شود. با داشتن منحنی پوش‌اور که نماینده ظرفیت سازه می‌باشد، و همچنین با اطلاع از دامنه بارهای وارد می‌توان مقدار جابجایی هدف را تعیین کرد. روش‌های مرسوم در این زمینه، روش‌های طیف ظرفیت (Coeficient Method) و روش ضرایب ATC40 (Capacity-Spectrum Method) و اصلاح شده این دو روش، که در FEMA440 آمده است، می‌باشد. با محاسبه جابجایی FEMA356 هدف مقادیر پاسخ‌های سازه حساب شده و بر مبنای نوع عمل و سطح عملکرد، ارزیابی صورت می‌گیرد. در زیر به شرح مختصری پیرامون روش ضرایب FEMA356 پرداخته می‌شود. در این مطالعه جهت تعیین نقطه عملکرد از روش ضرایب FEMA356 استفاده شده است که شرح مختصری از آن ارائه می‌شود.

## FEMA 356 - ۳-۲ - روش ضرایب

در روش ضرایب، بیشینه جابجایی غیرالاستیک (جابجایی هدف) از ضرب پاسخ الاستیک خطی در یک سری ضرایب به دست می‌آید (شکل ۱-۵). این ضرایب از مطالعات آماری با تاریخچه زمانی غیرخطی سیستم‌های یک درجه آزادی به دست می‌آیند. در این روش از رابطه (۱-۵) برای یافتن جابجایی هدف استفاده می‌شود. شکل ۲-۵ نمودار پوش‌اور یک سازه و منحنی دوخطی معادل آن را که در تعیین ضرایب به کار می‌رond نشان می‌دهد. در این تحقیق میزان جابجایی هدف را دریفت نسبی ۴٪ که متناظر با حد فروریزش<sup>۱</sup> سازه می‌باشد، در نظر می‌گیریم و سازه را تا وقتی که جابجایی نسبی یکی از طبقات به این مقدار برسد به صورت جانبی حرکت می‌دهیم. برای توزیع نیروی جانبی در هنگام پوش کردن از توزیع مثلثی آیین‌نامه ۲۸۰۰ استفاده شده است.



شکل ۱-۵ روش ضرایب برای تعیین جابجایی هدف

$$\delta_t = C_0 C_1 C_2 C_3 S_a \frac{T_e^2}{4\pi^2} g \quad (1-5)$$

$C_0$  : ضریب اصلاح به منظور ارتباط جابجایی سیستم یک درجه آزادی معادل به جابجایی با م

<sup>۱</sup> Collapse

## ساختمان سیستم چند درجه آزادی

جدول ۱-۵ مقادیر ضریب  $C_0$

تعداد طبقات ساختمان	ساختمان‌های برشی		سایر ساختمان‌ها هر نوع توزیع بار
	توزیع نوع اول	توزیع بار یکنواخت	
۱	۱/۰	۱/۰	۱/۰
۲	۱/۲	۱/۱۵	۱/۲
۳	۱/۲	۱/۲	۱/۳
۵	۱/۳	۱/۲	۱/۴
۱۰ و بیشتر	۱/۳	۱/۲	۱/۵

: ضریب اصلاح به منظور ارتباط جابجایی مورد انتظار یک درجه آزادی غیراستیک با

خواص هیسترزیس الاستیک کاملاً پلاستیک به جابجایی حساب شده از پاسخ الاستیک خطی

ضریب  $C_1$  از رابطه زیر محاسبه می‌شود:

$$C_1 = \begin{cases} \frac{1}{1 + (R - 1) \frac{T_0}{T_e}} & T_e \geq T_0 \\ \frac{R}{R} & T_e < T_0 \end{cases} \quad ۲-۵$$

در این رابطه  $R$  نسبت مقاومت است که از رابطه زیر محاسبه می‌شود:

$$R = \frac{S_a}{V_y/W} C_m \quad ۳-۵$$

در این رابطه  $S_a$  شتاب طیفی به ازای زمان تناوب اصلی مؤثر است و  $C_m$  ضریب جرم مؤثر در

مود اول است.

: ضریب اصلاح برای مشارکت اثر هیسترزیس، افت سختی و افت مقاومت دربیشینه

جابجایی

ضریب  $C_2$  اثرات کاهش سختی و مقاومت اعضای سازه‌ای را بر تغییر مکان‌ها به دلیل رفتار غیرارتجاعی آن‌ها منظور می‌کند و مقدار آن با استفاده از جدول زیر تعیین می‌شود:

جدول ۲-۵ مقادیر ضریب  $C_2$

$T \geq T_0$		$T \leq 0.1$		سطح عملکرد مورد نظر
قاب نوع دو	قاب نوع یک	قاب نوع دو	قاب نوع یک	
۱/۰	۱/۰	۱/۰	۱/۰	قابلیت استفاده بی‌وقفه
۱/۰	۱/۱	۱/۰	۱/۳	ایمنی جانی
۱/۰	۱/۲	۱/۰	۱/۵	آستانه فرو ریزش

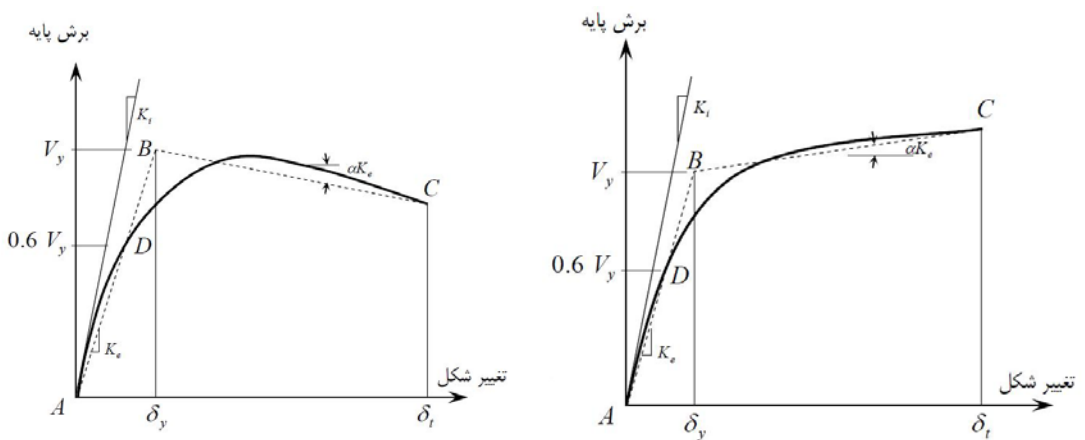
در این جدول قاب‌های نوع یک شامل سیستم‌های سازه‌ای هستند که در آن‌ها بیش از ۳۰ درصد بار جانبی توسط اعضایی حمل می‌شود که هنگام زلزله صدمه می‌بینند. قاب‌های خمثی معمولی، قاب‌های مهاربندی شده با محورهای متقارب، قاب‌های با اتصالات نیمه صلب، قاب‌های با مهاربندی‌های لاغر که فقط برای کشش طراحی شده‌اند، دیوارهای بنایی غیرمسلح و دیوارهای غیر شکل‌پذیر در برش از این نوع می‌باشند. سایر سیستم‌های سازه‌ای از نوع دو محسوب می‌شود. برای مقادیر  $T$  بین ۰/۰ و  $T_0$  مقدار  $C_2$  با استفاده از درون‌یابی خطی محاسبه می‌شود.

ضریب اصلاح برای محاسبه جابجایی اضافی در اثر پی - دلتا (برابر یک برای ساختمان‌های سازه‌ای که پس از تسلیم دارای سختی مثبت هستند)  $(\alpha < 0)$  با سختی بعد از الاستیک مثبت).

ضریب  $C_3$  برای سازه‌هایی که پس از تسلیم دارای سختی منفی هستند ( $\alpha > 0$ ) برابر ۱ و برای سازه‌هایی که پس از تسلیم دارای سختی منفی هستند ( $\alpha < 0$ ) از رابطه زیر محاسبه می‌شود:

$$C_3 = 1.0 + \frac{|\alpha| [R-1]^{1.5}}{T_e} \quad (4-5)$$

مقدار  $\alpha$  با توجه به رفتار سازه تعیین می‌شود:



شکل ۲-۵ منحنی ساده شده نیرو تغییر مکان

$S_a$ ، شتاب طیف پاسخ،  $T_e$  پریود اساسی موثر سازه و  $g$  شتاب جاذبه می‌باشند.

$K_i$  پریود اساسی موثر سازه از رابطه ۵-۵ به دست می‌آید.  $T_i$  پریود اساسی الاستیک سازه،

سختی جانبی الاستیک و  $K_e$  سختی جانبی موثر سازه می‌باشد.

$$T_e = T_i \sqrt{\frac{K_i}{K_e}} \quad (5-5)$$

طبق این روش، بعد از رسم منحنی پوش اور سازه، منحنی دوخطی معادل آن را با استفاده از روش استاندارد FEMA356 به دست می‌آید. مقدار جابجایی هدف وابسته به رفتار سازه و منحنی دوخطی معادل فرضی است و از طرفی برای تعیین منحنی دوخطی ابتدا باید جابجایی هدف به دست آید و در نتیجه فرآیند تعیین جابجایی هدف طبق این روش یک فرآیند سعی و خطا است.

### ۳-۳-۵ مدل رفتار دوخطی نیرو - تغییر مکان در استاندارد FEMA356

رفتار غیرخطی سازه که ارتباط بین برش پایه و تغییر مکان نقطه‌ی کنترل را مطابق شکل ۲-۵ مشخص می‌نماید به منظور محاسبه‌ی سختی جانبی موثر ( $K_e$ ) و برش تسليم موثر ( $V_y$ ) باید با یک مدل رفتار دوخطی ساده جایگزین شود. برای ساده سازی مدل رفتار غیرخطی، نقطه‌ی B باید چنان

انتخاب شود که سطح زیر مدل رفتار دوخطی برابر سطح زیر منحنی رفتار غیرخطی باشد و همچنین طول پاره خط  $AD$  برابر  $0.6AB$  باشد. در آن صورت نیروی مربوط به نقطه  $B$ , برش تسلیم موثر ( $V_y$ ) بوده و برای برش پایه  $0.6V_y$  در منحنی رفتار غیرخطی، مدول سکانت بیان‌گر سختی جانبی موثر ( $K_e$ ) می‌شود. در مدل ساده شده باید دقت شود که ( $V_y$ ) بزرگ‌تر از بیشینه برش پایه در منحنی رفتار غیرخطی نشود. در سازه‌هایی که پس از تسلیم دارای سختی مثبت هستند  $(\alpha < 0)$  مدل رفتاری مطابق شکل سمت راست در شکل ۲-۵ است و در سازه‌هایی که پس از تسلیم دارای سختی منفی هستند  $(\alpha > 0)$  مدل رفتاری مطابق شکل سمت چپ در شکل ۲-۵ می‌باشد.

#### **۴-۵- سطح عملکرد<sup>۱</sup>**

حالت مطلوب ساختمان از نظر قابلیت بهره‌برداری از آن پس از وقوع زلزله می‌باشد، که میزان نفایص (خرابی و تلفات) ناشی از زلزله را نشان می‌دهد. علاوه بر تلفات، نفایص ممکن است از نوع خصوصیت و توانایی عمل سازه باشد. سطوح عملکرد به دو دسته سازه‌ای و غیرسازه‌ای تقسیم بندی می‌شوند [۷۳]

#### **۴-۱- سطح عملکرد ساختمان<sup>۲</sup>**

عبارت است از ترکیب یک سطح عملکرد سازه‌ای و یک سطح عملکرد غیرسازه‌ای، که توصیف جامعی از آسیب کلی بدست می‌دهد.

#### **۴-۲- سطوح و محدوده‌های عملکرد لرزه‌ای**

هر سطح عملکرد ساختمان از یک سطح عملکرد سازه‌ای، که محدوده خرابی سیستم‌های

<sup>1</sup>Performance Level

<sup>2</sup>Building Performance Level

سازه‌ای را توصیف می‌کند و یک سطح عملکرد غیرسازه‌ای که محدوده خرابی سیستم‌های غیرسازه‌ای را توصیف می‌کند، تشکیل شده است.

۱- سطح عملکرد ممانعت از فروریزش

۲- سطح عملکرد ایمنی جانی

۳- سطح عملکرد قابلیت استفاده بی‌وقفه

۴- سطح عملکرد خدمت رسانی بی‌وقفه

### ۵-۴-۳- سطوح و محدوده‌های عملکرد اجزای سازه‌ای

#### الف) سطح عملکرد قابلیت استفاده بی‌وقفه<sup>۱</sup>

چهار سطح عملکرد اصلی سازه‌ای و دو محدوده عملکرد سازه‌ای بینابینی، تعریف می‌شود.

معیارهای پذیرش، که مربوط به نیروها و تغییرشکهای مجاز در المانهای مختلف سازه می‌شود،

مستقیماً به این سطوح و محدوده‌های عملکرد سازه‌ای وابسته است. چهار سطح عملکرد سازه‌ای که

در زیر تعریف می‌شوند، منطبق بر عمومی‌ترین احتیاجات عملکرد سازه‌ای هستند. دو محدوده عملکرد

سازه‌ای، شامل قابلیت استفاده بی‌وقفه، سطح ایمنی جانی، سطح ممانعت از فروریزش و سطح عملکرد

لحاظ نشده هستند [۷۴].

این سطح عملکرد سازه‌ای، به حالتی گفته می‌شود که فقط خرابی سازه‌ای بسیار محدودی

اتفاق می‌افتد. سیستم‌های باربر جانبی و عمودی ساختمان، تقریباً همه مقاومت و سختی قبل از زلزله

خود را حفظ می‌کنند. خطر تهدید جانی تاشی از خرابی سازه‌ای بسیار کم است و اگر چه مقداری

ترمیم سازه‌ای ممکن است نیاز باشد، ولی عموماً جهت استفاده دوباره الزامی نیستند.

#### ب) سطح عملکرد ایمنی جانی<sup>۱</sup>

---

<sup>۱</sup> Immediate Occupancy Performance Level

این سطح عملکرد به حالتی از خرابی پس از زلزله گفته می‌شود که در آن آسیب عمده به سازه وارد شده، اما حاشیه‌ای در مقابل فروریزش سازه‌ای کلی یا جزئی باقی‌مانده است. بعضی از اجزاء و المانهای سازه‌ای به شدت آسیب دیده‌اند، اما این باعث خطرات فروریزش آوار، چه در داخل ساختمان یا در خارج آن نمی‌شود. جراحاتی ممکن است در طی زلزله اتفاق بیفتد. بهر حال انتظار می‌رود که خطر کلی تهدید جانی ناشی از آسیب سازه‌ای حداقل باشد. ممکن است سازه ترمیم شود، هر چند گاهی به دلایل اقتصادی ممکن است این مسئله مقرون به صرفه نباشد.

#### پ) سطح عملکرد آستانه فروریزش<sup>۲</sup>

این سطح عملکرد سازه‌ای به این معنی است که ساختمان در آستانه فروریزش کلی یا جزئی قرار دارد. آسیب اساسی وراد شده به سازه، شامل تنزل قابل توجه در سختی و مقاومت سیستم باربر جانبی، تغییرشکل جانبی دائمی زیاد در سازه و در محدوده بیشتر تنزل در ظرفیت باربری جانبی سازه است. در این حال، همه اجزای باربر ثقلی، باید به حمل بار ثقلی خود ادامه دهند. خطرات مهم به علت فروریزش ممکن است وجود داشته باشد. تعمیر سازه از لحاظ تکنیکی عملی نیست و ساختمان برای سکونت مناسب نیست، چرا که هر لرزشی می‌تواند باعث فروریزش شود.

#### ت) محدوده عملکرد کنترل خرابی

این محدوده، محدوده پیوسته‌ای از حالات خرابی است، که موجب خرابی کمتری از آنچه برای سطح عملکرد ایمنی جانی و بیشتر از آنچه برای سطح قابلیت استفاده بی‌وقفه، تعریف شده می‌شود. معیار پذیرش برای این محدوده، توسط درونیابی مقادیر ارائه شده برای سطح قابلیت استفاده بی‌وقفه و ایمنی جانی بدست می‌آید.

#### ث) محدوده عملکرد ایمنی جانی محدود

<sup>1</sup>Life Safety Performance Level

<sup>2</sup>Collapse Prevention Performance Level

محدوده‌ای پیوسته از حالات خرابی بین ایمنی جانی و ممانعت از آستانه فروریزش است، به طوری که پیش‌بینی می‌شود میزان خرابی‌ها به اندازه‌ای باشد که خسارت جانی کمینه شود.

#### ج) سطح عملکرد لحاظ نشده

چنانچه برای اجزای سازه‌ای، عملکرد خاصی انتخاب نشده باشد، سطح عملکرد اجزای سازه‌ای لحاظ نشده نامیده می‌شود. به عنوان مثال در بعضی از اجزای سازه تأمین یا عدم تأمین سطح عملکرد مهم نیست، سطح عملکرد مطلوب در این اعضا سطح عملکرد لحاظ نشده می‌باشد.

#### ج) سطح عملکرد لحاظ نشده

چنانچه برای اجزای سازه‌ای، عملکرد خاصی انتخاب نشده باشد، سطح عملکرد اجزای سازه‌ای لحاظ نشده نامیده می‌شود. به عنوان مثال در بعضی از اجزای سازه تأمین یا عدم تأمین سطح عملکرد مهم نیست، سطح عملکرد مطلوب در این اعضا سطح عملکرد لحاظ نشده می‌باشد.

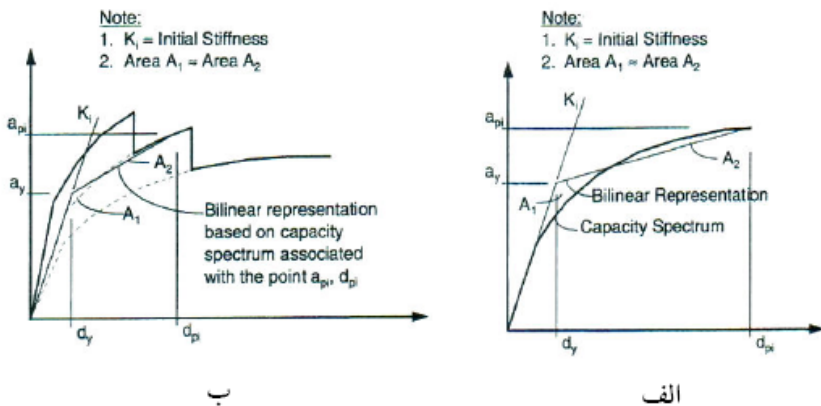
### ۶-۵ مقایسه اصول طراحی بر اساس مقاومت و طراحی بر اساس عملکرد

آیین‌نامه‌های بهسازی اصولاً دو روش تحلیل را مشخص کرده‌اند: خطی و غیرخطی. هر یک از این روش به دو صورت استاتیکی و دینامیکی می‌توانند اجرا شوند. به‌دلیل اینکه در روش‌های خطی رفتار غیرخطی مصالح در نظر گرفته نمی‌شود بنابراین نمی‌توان از میرایی هیسترزیس مصالح جهت برآورد دقیقتر نیروی زلزله بهره‌برد. علت استفاده از روش غیرخطی، جایگزینی فلسفه طراحی براساس تغییرشکل بجای طراحی بر اساس مقاومت است که روش نگرش به طراحی لرزمای و نحوه تحلیل و طراحی سازه را به طور بنیادین دگرگون ساخته است. به‌همین دلیل در آیین‌نامه‌های بهسازی استفاده از روش‌های غیرخطی توصیه نمی‌شود.

### ۵-۵- تقریب منحنی ظرفیت سازه به صورت دو خطی

این تقریب از طیف ظرفیت به منظور تخمین میرائی مؤثر سازه و کاهش طیف نیاز براساس این

میرائی، لازم می‌باشد. برای طراحی مناسب منحنی دوخطی، باید نقطه‌ای به مختصات  $a_{pi}$  و  $d_{pi}$  به عنوان سعی نقطه عملکرد انتخاب شود و میرائی مؤثر براساس این سعی مشخص شود. اگر طیف پاسخ کاهش یافته براساس این میرائی با طیف ظرفیت در این نقطه تلاقی نماید، سعی تخمین زده شده، نقطه عملکرد می‌باشد. در غیر این صورت نقطه‌ای دیگر به عنوان سعی باید انتخاب شود. برای تقریب دوخطی از طیف ظرفیت و براساس نقطه عملکرد می‌باشد. در غیر این صورت نقطه‌ای دیگر به عنوان سعی باید انتخاب شود. برای تقریب دوخطی از طیف ظرفیت و براساس نقطه عملکرد، ابتدای منحنی توسط خطی که شبیه آن برابر شبیه منحنی در مبدأ مختصات است، تقریب زده می‌شود و بقیه منحنی توسط خطی دیگر چنان تقریب زده می‌شود که سطح زیر منحنی برابر سطح زیر این دو خط شود. در طیف ظرفیت دندانه‌ای، رفتار دوخطی باید براساس طیف ظرفیتی باشد که رفتار سازه را در جابجایی  $d_{pi}$  نشان می‌دهد.

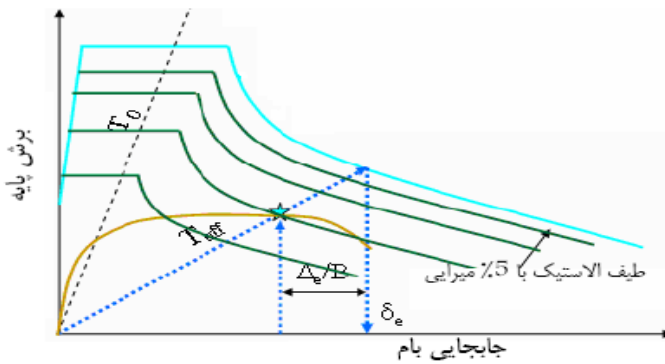


شکل ۵-۳ الف- تقریب منحنی ظرفت سازه به صورت دو خطی ب- تقریب منحنی ظرفیت دندانه ای

#### ۶-۵- تعیین نقطه عملکرد

##### ۱-۶-۵- روش طیف ظرفیت

در روش طیف ظرفیت، سعی می‌شود بیشینه جابجایی مورد انتظار در طیف پاسخ داده شده، پیش‌بینی شود و در واقع نقطه‌ای مشخص شود که در آن ظرفیت لرزه‌ای سازه با جابجایی تحمیل شده بر سازه در اثر حرکت زمین برابر باشد.



شکل ۴-۵ تعیین نقطه عملکرد با استفاده از روش ATC40

در این روش، یک سعی جابجایی،  $\delta$  و شتاب طیفی متناظر با آن جابجایی در منحنی ظرفیت انتخاب می‌شود. میرایی ویسکوز در ارتباط با این شتاب طیفی با استفاده از معادلات ۱۱-۵ تا ۱۵-۵ تخمین زده می‌شود و طیف پاسخ کاسته شده براساس این میرایی به همراه منحنی ظرفیت در دستگاه مختصات به فرمت ADRS ترسیم می‌شود. اگر سعی جابجایی، با جابجایی در محل تلاقی دو منحنی برابر باشد، سعی انتخاب شده صحیح می‌باشد، در غیر این صورت مراحل فوق تا رسیدن به حد رواداری مجاز تکرار می‌شود. در شکل ۴-۵ تعیین نقطه عملکرد با استفاده از روش ATC40 نشان داده است.

#### - تبدیل به فرمت ADRS

برای استفاده از روش طیف-ظرفیت لازم است که هر دو منحنی پاسخ و ظرفیت سازه، در یک ناحیه شتاب طیفی و جابجایی طیفی، رسم شوند. طیف‌های رسم شده تحت عنوان <sup>۱</sup>ADRS شناخته می‌شوند.

#### ۱- تبدیل منحنی پاسخ به طیف پاسخ

هر نقطه روی طیف پاسخ، با شتاب طیفی،  $S_a$ ، سرعت ثابت طیفی،  $S_v$ ، جابجایی طیفی،  $S_d$ ، و پریود، T، وابسته است. برای تبدیل یک طیف براساس استاندارد آئیننامه‌های ساختمانی سازه‌ها از

<sup>۱</sup>Acceleration Displacement Response Spectra

فرمت (S<sub>a</sub> - T) به فرمت ADRS لازم است که جابجایی طیفی، S<sub>di</sub>، برای هر یک نقطه به مختصات (S<sub>ai</sub> - T<sub>i</sub>) با استفاده از رابطه ۱۶-۵ مشخص شود.

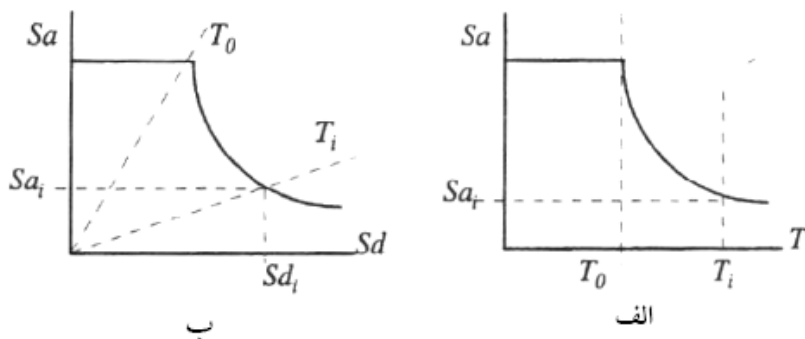
$$S_{di} = \frac{T_i^2}{4\pi^2} S_{ai} g \quad (16-5)$$

طیف‌های پاسخ استاندارد شامل محدوده‌ای از شتاب طیفی ثابت و سرعت طیفی ثابت می‌باشد.

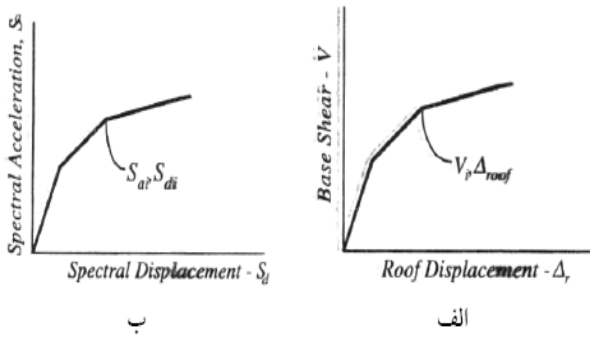
شتاب طیفی و جابجایی طیفی در زمان تناوب T<sub>i</sub> در روابط ۱۷-۵ و ۱۸-۵ آمده است. شکل‌های ۵-۵-الف و ۵-۵-ب به ترتیب منحنی شتاب در دستاندارد و دستگاه ADRS را نشان می‌دهند.

$$S_{ai} g = \frac{2\pi}{T_i} S_v \quad (17-5)$$

$$S_{di} = \frac{T_i}{2\pi} S_v \quad (18-5)$$



شکل ۵-۵ الف- منحنی شتاب در دستاندارد ب- طیف شتاب در دستگاه ADRS



شکل ۵-۶ الف- منحنی ظرفیت در دستگاه استاندارد ب- طیف ظرفیت در دستگاه ADRS

## ۲- تبدیل منحنی ظرفیت به طیف ظرفیت

به منظور تبدیل منحنی ظرفیت به طیف ظرفیت لازم است که یک نقطه به نقطه‌ای دیگر در دستگاه مختصات هم رتبه طیف مد اول نگاشته شود. برای این تبدیل از معادلات ۱۸-۵ تا ۲۱-۵ استفاده می‌شود. شکل‌های ۵-۶-الف و ۵-۶-ب به ترتیب منحنی ظرفیت و طیف ظرفیت در دستگاه استاندارد و دستگاه ADRS را نشان می‌دهند.

$$PF_1 = \left[ \frac{\sum_{i=1}^N (w_i \phi_{i1}) / g}{\sum_{i=1}^N (w_i \phi_{i1}^2) / g} \right] \quad (18-5)$$

$$\alpha_1 = \frac{\left[ \sum_{i=1}^N (w_i \phi_{i1}) / g \right]^2}{\left[ \sum_{i=1}^N w_i / g \right] \left[ \sum_{i=1}^N (w_i \phi_{i1}^2) / g \right]} \quad (19-5)$$

$$S_a = \frac{V_i / W}{\alpha_1} \quad (20-5)$$

$$S_d = \frac{\Delta_{roo}}{PF_1 \times \varphi_{roo,1}} \quad (21-5)$$

در روابط ۱۸-۵ تا ۲۱-۵  $\alpha_1$  و  $PF_1$  به ترتیب ضریب جرم مودال و ضریب میزان مشارکت مودال برای نخستین مود طبیعی سازه می‌باشند. سایر پارامترهای مورد استفاده در این روابط عبارتند از:

$\frac{W_i}{g}$ , دامنه مد اول در طبقه  $i$ ام،  $N$  بالاترین طبقه ساختمان،  $V$  برش پایه ساختمان،

جرم اختصاص یافته به طبقه  $i$ ام ساختمان،  $W$  مجموع بار مرده و زنده ساختمان.

## ۲-۶-۵- روش ضریب تغییرمکان

روشی که در آئین نامه FEMA در تعیین بیشینه جابجایی استفاده می شود روش ضریب نامیده می شود. این روش براساس آنالیزهای آماری از نتایج تاریخچه زمانی پایه ریزی شده است. جابجایی در روش ضریب، جابجایی هدف<sup>۱</sup> نامیده می شود و از رابطه تقریبی ۲۲-۵ محاسبه می شود.

$$\sigma_t = C_0 C_1 C_2 C_3 S_a \frac{T_e}{4\pi^2} g \quad (22-5)$$

که در آن:

$C_0$ : ضریب اصلاح برای ارتباط تغییرمکان طیفی سیستم یک درجه آزادی به تغییرمکان با می سیستم چند درجه آزادی است که برابر یکی از مقادیر زیر انتخاب می شود.

- ضریب مشارکت مود اول

- مقادیر تقریبی دستورالعمل بهسازی لرزهای

$C_1$ : برای محاسبه حداکثر تغییر شکل های غیرارتجاعی در سازه هایی که دارای حلقه های هیسترزیس پایدار و کامل هستند در حداکثر تغییر شکل های حاصل از تحلیل ارجاعی خطی ضرب می شود.

$$T_e \geq T_0 \Rightarrow C_1 = 1.0 \quad (23-5)$$

$$T_e \leq T_0 \Rightarrow C_1 = \frac{\left[ 1.0 + (r-1) \frac{T_0}{T_e} \right]}{R} \quad (24-5)$$

---

<sup>۱</sup>Target displacement

در روابط فوق  $T_0$  زمان تناوب مشترک بین دو ناحیه شتاب و سرعت ثابت در طیف بازتاب طرح می‌باشد.  $T_e$ ، زمان تناوب اصلی مؤثر در امتداد مورد بررسی بر اساس مدل رفتار دوخطی است و  $R$  نسبت مقاومت نیاز الاستیک به مقاومت تسلیم است و از رابطه ۲۵-۵ محاسبه می‌شود.

$$R = \frac{S_a}{V_y / W} C_m \quad (25-5)$$

$C_m$ : ضریب جرم مؤثر در مود اول است و  $S_a$  شتاب طیفی است.

$C_2$ : اثر کاهش سختی و افت مقاومت اجزای سازه بر تغییر شکل‌ها می‌باشد که از جدول ۳-۵ در دستورالعمل بهسازی برداشت می‌شود.

$C_3$ : برای در نظر گرفتن اثر  $\Delta - P$ ، در سیستم‌هایی سازه‌ایی است که دارای سختی فرا-تسلیم منفی می‌باشند و موجب تشدید قابل ملاحظه تغییر شکل‌ها می‌شود. این ضریب برای سازه‌هایی که پس از تسلیم دارای سختی مثبت هستند برابر ۱ و برای سازه‌هایی که پس از تسلیم دارای سختی منفی هستند از رابطه ۲۶-۵ محاسبه می‌شود.

$$C_3 = 1.0 + \frac{|\alpha| [R - 1]^{1.5}}{T_e} \quad (26-5)$$

که در آن  $\alpha$  مقدار نسبت سختی فرا-تسلیم به سختی اولیه می‌باشد.

## ۷-۵- ارزیابی عملکرد

بعد از تعیین نقطه عملکرد، ارزیابی از طراحی، به وسیله مقایسه با شرایط قابل پذیرش انجام می‌پذیرد. شرایط عمومی قابل پذیرش آئین نامه ATC-40 برای اجزای غیرسازه‌ای در سطوح عملکرد مختلف در جدول ۳-۵ ارائه شده است. شرایط ارائه شده با آئین نامه FEMA مشترک می‌باشد.

جدول (۳-۵) شرایط عمومی قابل پذیرش در آئین نامه ATC-40

parameter	Performance level		
	IO	Damage control	LS
Maximum interstory drift	0.010	0.01–0.02	0.02
Maximum inelastic drift	0.005	0.005–0.015	No limit

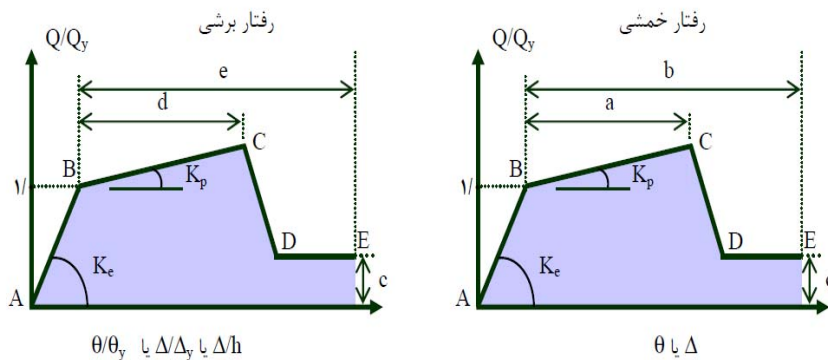
## ۹-۵- مقایسه آئین نامه ۲۸۰۰ (ویرایش سوم) و دستورالعمل بهسازی لرزه‌ای

مطابق تعریف دستورالعمل بهسازی لرزه‌ای نیاز یا عدم نیاز به بهسازی ساختمان با استاندارد ۲۸۰۰ کنترل می‌شود. در صورتی که نیاز به بهسازی لرزه‌ای توسط استاندارد ۲۸۰۰ مورد تأیید بوده یا تأمین سطح عملکرد خاصی تحت خطر زلزله معینی مورد نظر باشد که در استاندارد ۲۸۰۰ پیش‌بینی نشده است نیاز به بهسازی باید مورد بررسی قرار گیرد.

ساختمانی که براساس آئین نامه ۲۸۰۰ طراحی لرزه‌ای شده است هدف بهسازی مبنا را تأمین می‌کند. در بهسازی مبنا انتظار می‌رود که تحت زلزله "سطح خطر-۱" ایمنی جانی ساکنین تأمین شود. در بهسازی مطلوب انتظار می‌رود که هدف بهسازی مبنا تأمین شده و علاوه بر آن تحت زلزله "سطح خطر-۲" ساختمان فرونریزد.

## ۹-۶- مدل کردن رفتار غیرخطی اعضاء

برای مدل کردن رفتار غیرخطی اعضاء می‌توان از منحنی نیرو - تغییرمکان استفاده کرد. در مدل کردن رفتار غیرخطی اعضاء (تیر و ستون) تمامی ساختمان‌ها، از منحنی نیرو - تغییرمکان که توسط پارامترهای  $a$ ,  $b$ ,  $c$  که این پارامترها نیز با توجه به خصوصیات هندسی و سازه‌ای مقاطع بدست می‌آید، استفاده می‌شود.



شکل ۷-۵ منحنی رفتار اعضای سازه و پارامترهای مدلسازی [۵۲]

نقطه A همواره در مبدأ قرار دارد.

نقطه B متناظر با نقطه تسلیم مقطع می‌باشد، بدون توجه به شکل معرفی شده برای این نقطه،

قبل از رسیدن به آن هیچ تغییرشکلی ایجاد نمی‌شود.

نقطه C بیان‌گر حداکثر ظرفیت مقطع در تحلیل غیرخطی استاتیکی می‌باشد.

نقطه D بیان‌گر وضعیت و مقاومت پسماند عضو می‌باشد.

نقطه E بیان‌گر گسیختگی مقطع می‌باشد. پس از این نقطه، مقدار نیروی قابل تحمل توسط

مقطع به طور قائم افت کرده و به مقدار صفر می‌رسد.

علاوه بر موارد فوق، می‌توان تغییرشکل متناظر با معیارهای کیفی وضعیت سازه (CP, LS, IO)

را نیز معرفی کرد. این معیار تأثیری بر رفتار سازه در عملیات تحلیلی ندارد و فقط در ارائه اطلاعات

خروجی تحلیل و در طراحی عملکرد سازه بکار می‌رود. در روش استاتیکی غیرخطی به عوض استفاده از

نتایج آزمایش یا تحلیل می‌توان از منحنی نیرو - تغییرشکل ارائه شده در دستورالعمل، استفاده نمود.

## ۱۰-۵- نرم‌افزارهای تحلیل غیرخطی سازه‌ها

در سال‌های اخیر تحلیل استاتیکی پوشآور که در بهسازی و مقاومسازی سازه‌ها کاربرد دارد

مورد توجه متخصصان سازه و زلزله قرار گرفته است. با توجه به مباحث مطرح شده در حیطه‌ی

مقاومسازی و بهسازی و همچنین آشنایی اکثر مهندسان عمران ایرانی با نرم‌افزار انجام می‌شود. با

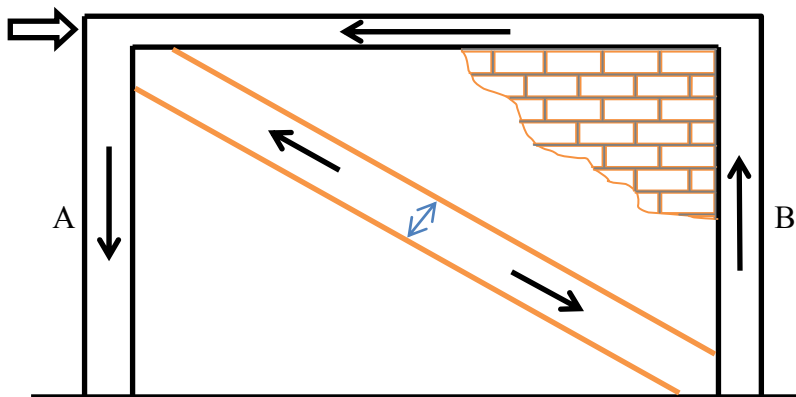
توجه به امکانات بسیار مناسب قرار داده شده در SAP2000 و OpenSees برای تحلیل استاتیکی غیرخطی و همچنین وجود پیشفرضهای مناسب جهت معرفی مشخصات مفاصل براساس معیارهای PERFORM، نرمافزار SAP2000 در مقایسه با خانواده‌ی نرمافزارهای DRAIN و FEMA-356 بیشتر مورد توجه جامعه‌ی مهندسی کشور قرار گرفته است. اخیراً با ظهر روش طراحی براساس عملکرد، تحلیل استاتیکی غیرخطی پوش‌آور بسیار مورد توجه قرار گرفته است. تحلیل پوش‌آور، یک تحلیل استاتیکی غیرخطی است که بار اعمالی روی سازه به صورت نموی طبق یک الگوی مشخص، افزایش داده می‌شود. با ادامه‌ی بارگذاری و افزایش بار اعمالی به صورت یکنواخت بر سازه اثر داده می‌شود، اثرات رفت‌وبرگشتی بارهای زلزله به وسیله‌ی تغییر در معیار بار تغییرشکل و تقریب میرایی تخمین زده می‌شود.

تحلیل استاتیکی پوش‌آور با کوشش مهندسان حرفه‌ای برای ارزیابی مقاومت واقعی سازه‌ها توسعه داده شده است و وعده داده شده که این نوع آنالیز به ابزار مناسب و مؤثری برای طراحی براساس عملکرد تبدیل شود. مدارک ATC40 و FEMA-273 ضوابط مربوط به روش‌های مدل‌سازی، معیارهای پذیرش و روش‌های تحلیل برای تحلیل پوش‌آور را توسعه داده‌اند. در این مدارک معیار نیرو - تغییرشکل برای مفاصل استفاده شده در تحلیل پوش‌آور تعیین شده است. همان‌طور که در شکل ۷-۵ نشان داده شده، پنج نقطه با نام‌های A، B، C، D و E برای تعیین رفتار نیرو - تغییرشکل مفصل و سه نقطه با نام‌های LS، IO و CP برای تعیین معیارهای پذیرش مفصل استفاده شده است. مقادیری که به این نقاط نسبت داده می‌شوند متغیرند و بستگی به نوع عضو و دیگر پارامترهای معرفی شده در مدارک ATC40 و FEMA-273 دارند.

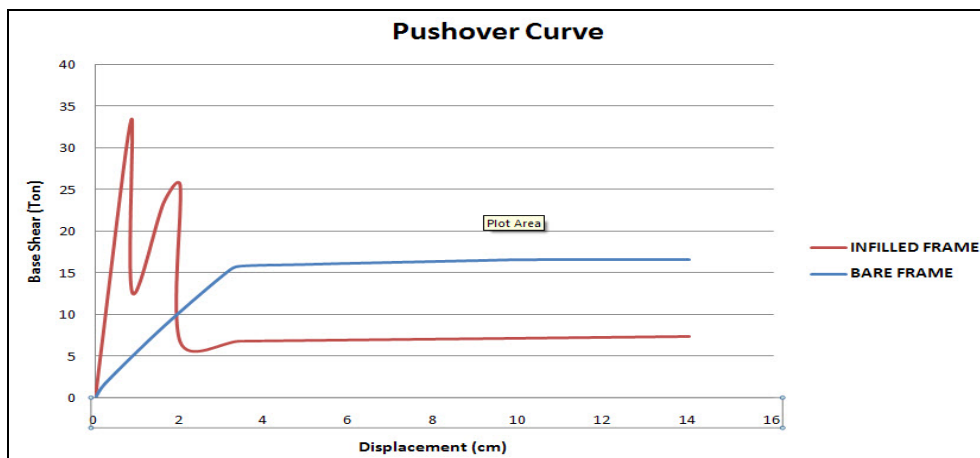
با توجه به توانایی‌های برنامه‌ی SAP2000 در تحلیل استاتیکی پوش‌آور کاربر می‌تواند این نوع تحلیل را به صورت ساده و سریع برای سازه‌های دوبعدی و سه‌بعدی براساس روش‌های معرفی شده در مدارک ATC40 و FEMA-273 انجام دهد.

## ۱۱-۵- نمودارهای پوش اور مربوط به حالت های مختلف وجود دیوار

۱-۱۱-۵- قاب ۱ طبقه



شکل ۸-۵ قاب خالی ۱ طبقه

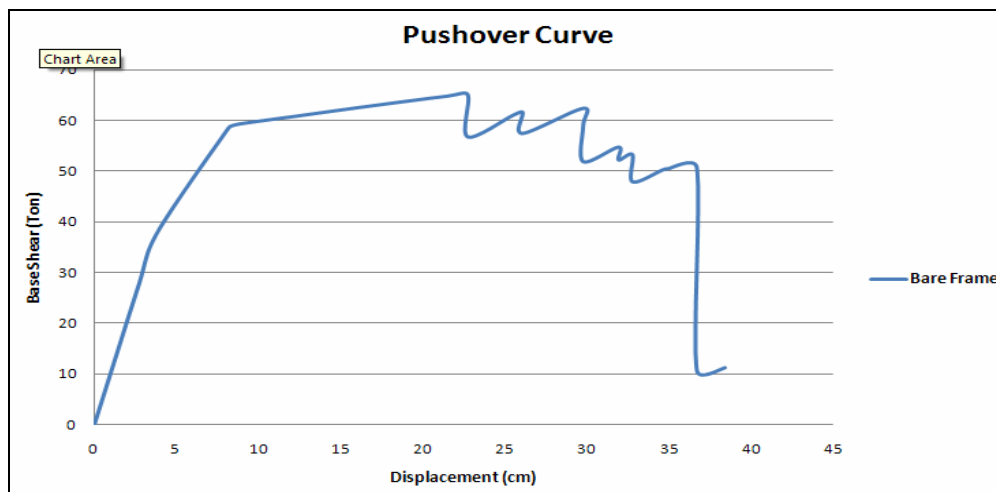


شکل ۹-۵ منحنی های پوش اور برای قاب ۱ طبقه

همان طور که در شکل ۹-۵ دیده می شود ابتدا منحنی قاب خالی رسم شد و بعد منحنی پوش اور مربوط به قاب همراه با دیوار رسم شده است و دیده می شود که در ابتدا دیوار سختی سازه را زیاد می کند ولی به علت بوجود آمدن نیروهای برشی مرکزی در بالا ستون A و پایین ستون B در یک جا بجا گیری کم ستون B و ستون A دچار خرابی شده و افت مقاومت رخ می دهد. میزان افت مقاومت ستون A برابر ۱۹,۸۶ تن و . میزان افت مقاومت ستون B برابر ۱۹,۲۶ تن می باشد که برابر مقادیر محاسبه شده از فرمول های ظرفیت برشی ارائه شده در فصل ۴ می باشد.

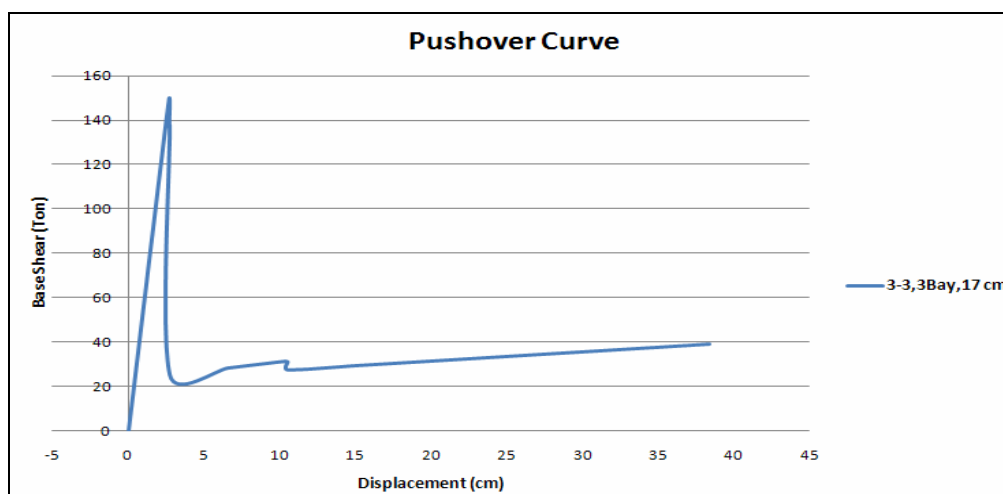
### ۵-۱۱-۲- قاب ۳ طبقه

در شکل ۱۰-۵ منحنی‌های پوش اور برای قاب خالی ۳ طبقه نشان داده شده است.



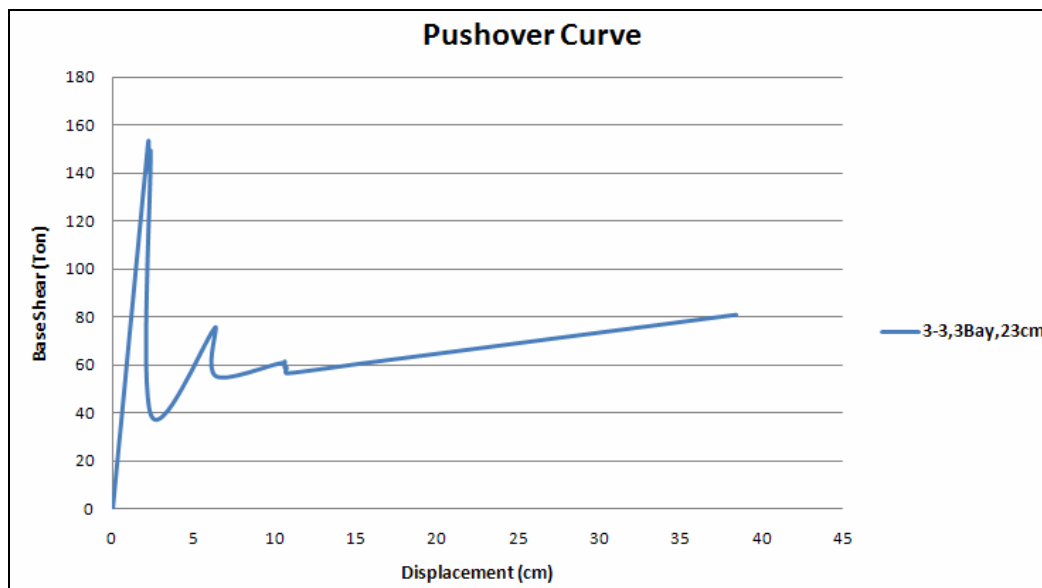
شکل ۱۰-۵ منحنی‌های پوش اور برای قاب خالی ۳ طبقه

در شکل ۱۱-۵ منحنی‌های پوش اور برای قاب ۳ طبقه در حالت وجود دیوار ۱۷ سانتی‌متری در تمام دهانه‌ها نشان داده شده است.



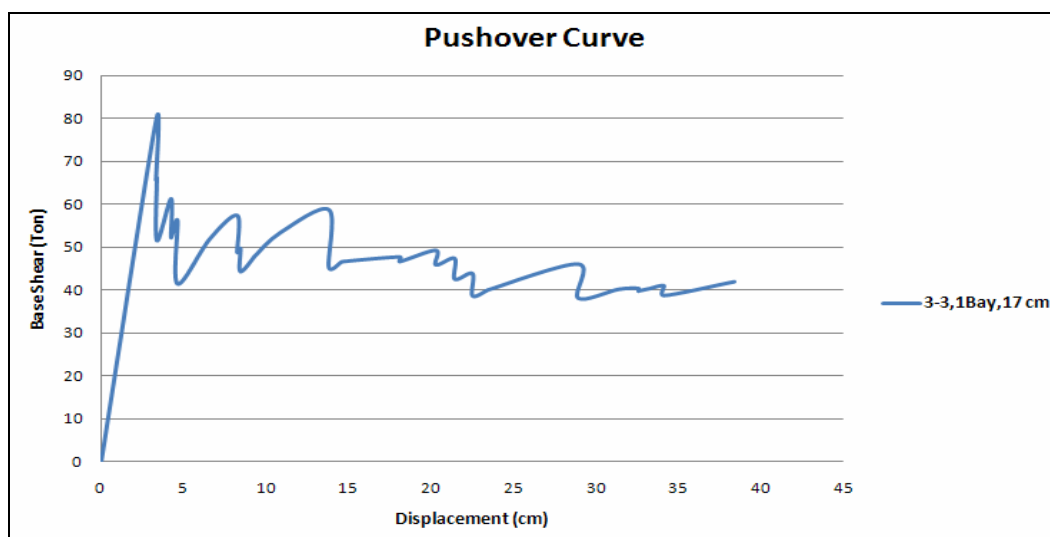
شکل ۱۱-۵ منحنی‌های پوش اور برای قاب ۳ طبقه در حالت وجود دیوار ۱۷ سانتی‌متری در تمام دهانه‌ها

در شکل ۱۲-۵ منحنی‌های پوش اور برای قاب ۳ طبقه در حالت وجود دیوار ۲۳ سانتی‌متری در تمام دهانه‌ها نشان داده شده است.



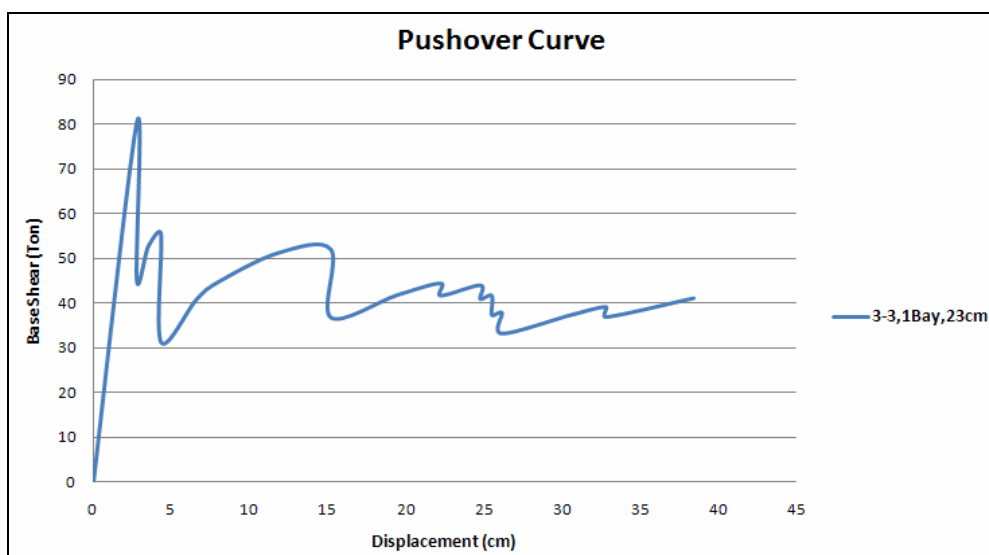
شکل ۱۲-۵ منحنی‌های پوش اور برای قاب ۳ طبقه در حالت وجود دیوار ۲۳ سانتی‌متری در تمام دهانه‌ها

در شکل ۱۳-۵ منحنی‌های پوش اور برای قاب ۳ طبقه در حالت وجود دیوار ۱۷ سانتی‌متری در دهانه وسطی نشان داده شده است.

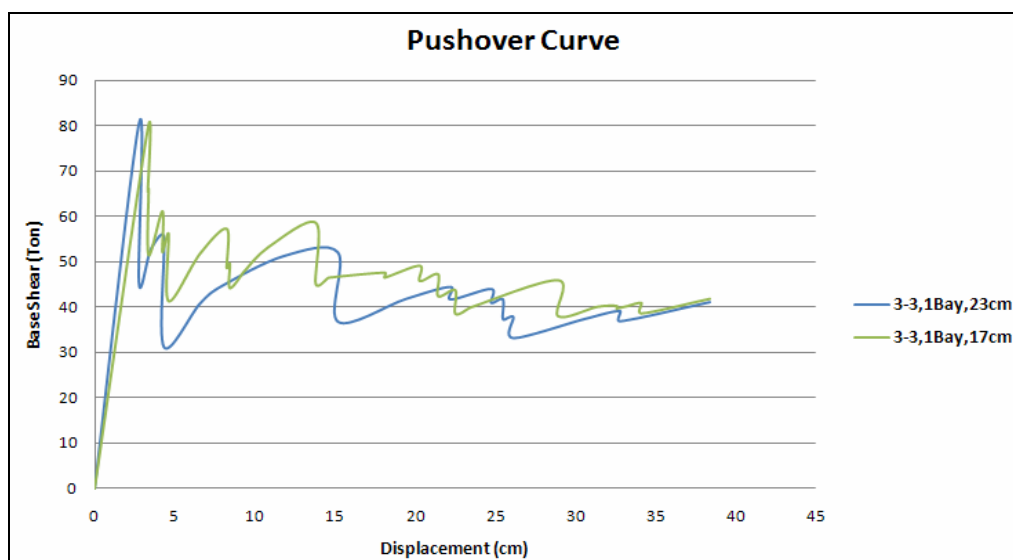


شکل ۱۳-۵ منحنی‌های پوش اور برای قاب ۳ طبقه در حالت وجود دیوار ۱۷ سانتی‌متری در دهانه وسطی

در شکل ۱۴-۵ منحنی‌های پوش اور برای قاب ۳ طبقه در حالت وجود دیوار ۲۳ سانتی‌متری در دهانه وسطی نشان داده شده است.

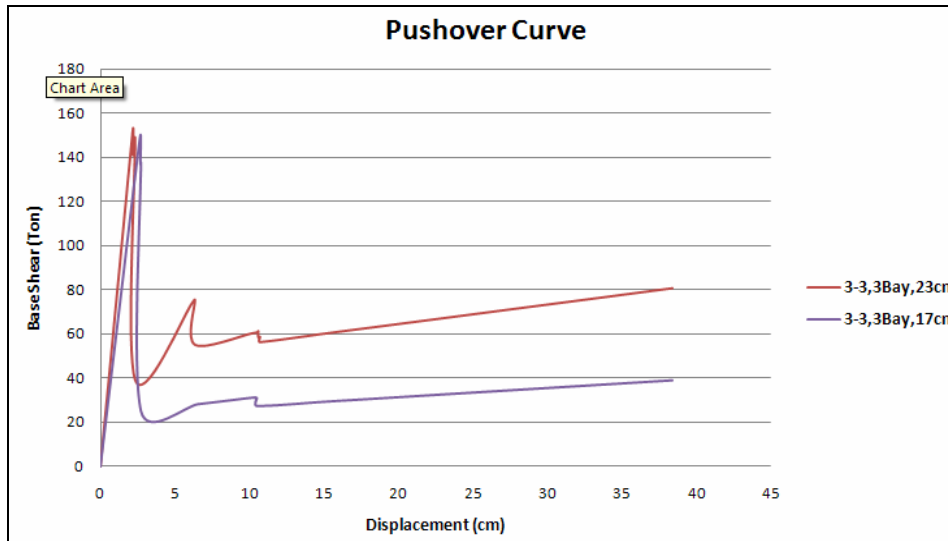


شکل ۱۴-۵ منحنی‌های پوش اور برای قاب ۳ طبقه در حالت وجود دیوار ۲۳ سانتی‌متری در دهانه وسطی در اشکال ۱۵-۵ و ۱۶-۵ منحنی‌های پوش اور برای قاب ۳ طبقه در حالت ۱ دهانه دیوار و ۳ دهانه دیوار برای مقایسه و مشاهده میزان تاثیر ضخامت دیوار در سختی و مقاومت نشان داده شده است.



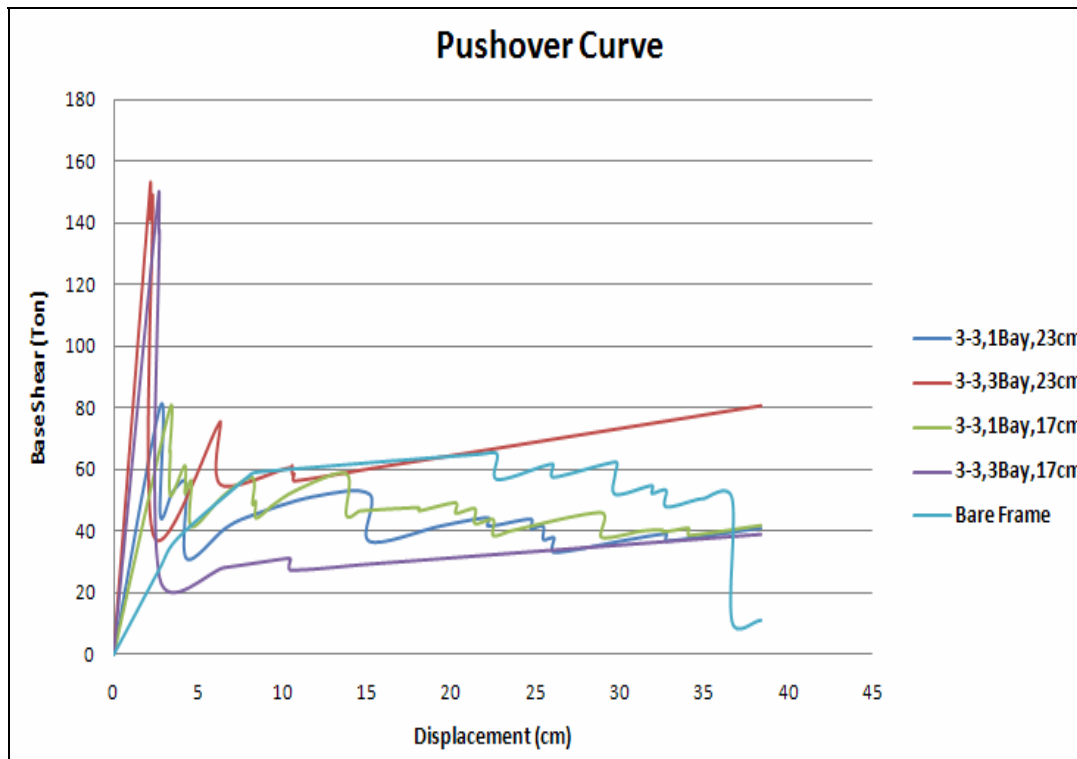
شکل ۱۵-۵ منحنی‌های پوش اور قاب‌های ۳ طبقه در حالت ۱ دهانه دیوار

همانطور که در شکل ۱۶-۵ مشاهده شد سختی نمودار آبی رنگ از نمودار سبز رنگ بیشتر است که این افزایش سختی به خاطر افزایش ضخامت دیوار از ۱۷ سانتی‌متر به ۲۳ سانتی‌متر می‌باشد.



شکل ۱۶-۵ منحنی‌های پوش اور قاب‌های ۳ طبقه در حالت ۳ دهانه دیوار

همانطور که در شکل ۱۶-۵ مشاهده شد سختی نمودار قرمز رنگ از نمودار بنفش رنگ بیشتر است که این افزایش سختی به خاطر افزایش ضخامت دیوار از ۱۷ سانتی‌متر به ۲۳ سانتی‌متر می‌باشد. در شکل ۱۷-۵ منحنی‌های پوش اور برای قاب ۳ طبقه در تمام حالات برای مقایسه و مشاهده میزان تاثیر ضخامت دیوار در سختی و مقاومت نشان داده شده است.

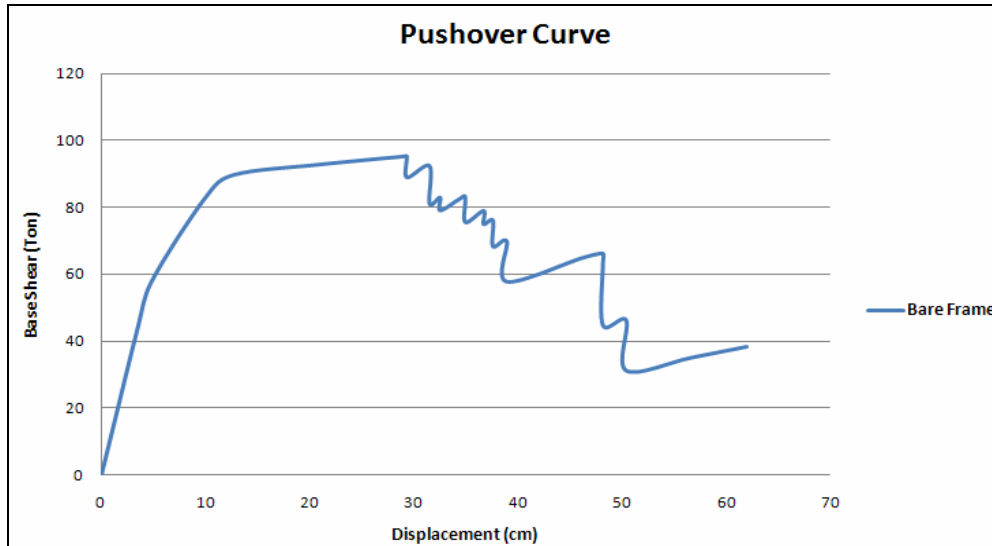


شکل ۱۷-۵ منحنی های پوش اور تمام قاب های ۳ طبقه

همانطور که مشاهده می شود سختی نمودار قرمز رنگ از نمودار بنفش رنگ بیشتر است که این افزایش سختی به خاطر افزایش ضخامت دیوار از ۱۷ سانتی متر به ۲۳ سانتی متر می باشد. همچنین تفاوت فاحشی بین حالت وجود دیوار در تمام دهانه ها و وجود دیوار در دهانه وسط مشاهده می شود که بیانگر تاثیر بسیار زیاد دیوار در سختی و مقاومت اولیه سازه می باشد.

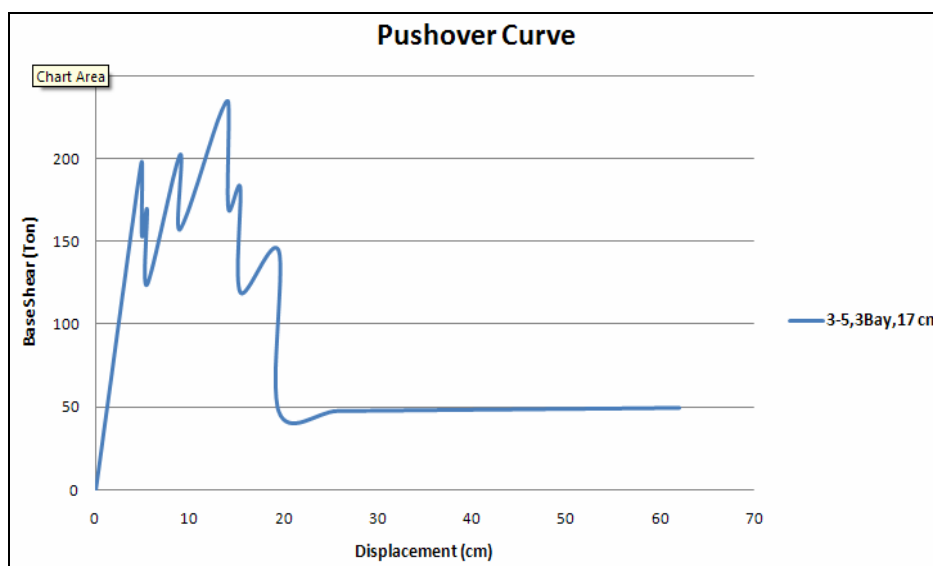
### ۳-۱۱-۵ قاب ۵ طبقه

در شکل ۱۸-۵ منحنی‌های پوش اور برای قاب خالی ۵ طبقه نشان داده شده است.



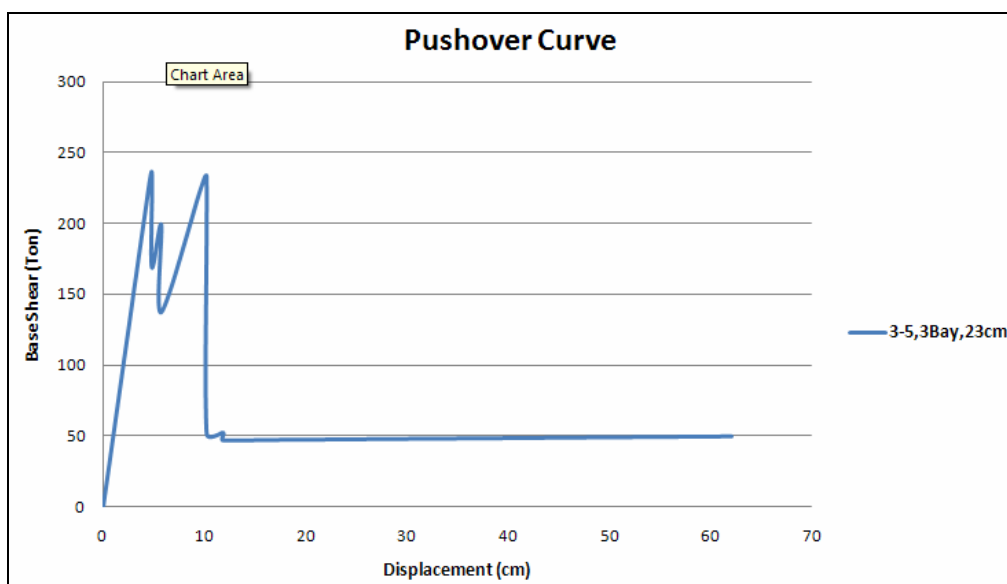
شکل ۱۸-۵ منحنی‌های پوش اور برای قاب خالی ۵ طبقه

در شکل ۱۹-۵ منحنی‌های پوش اور برای قاب ۵ طبقه در حالت وجود دیوار ۱۷ سانتی‌متری در تمام دهانه‌ها نشان داده شده است.

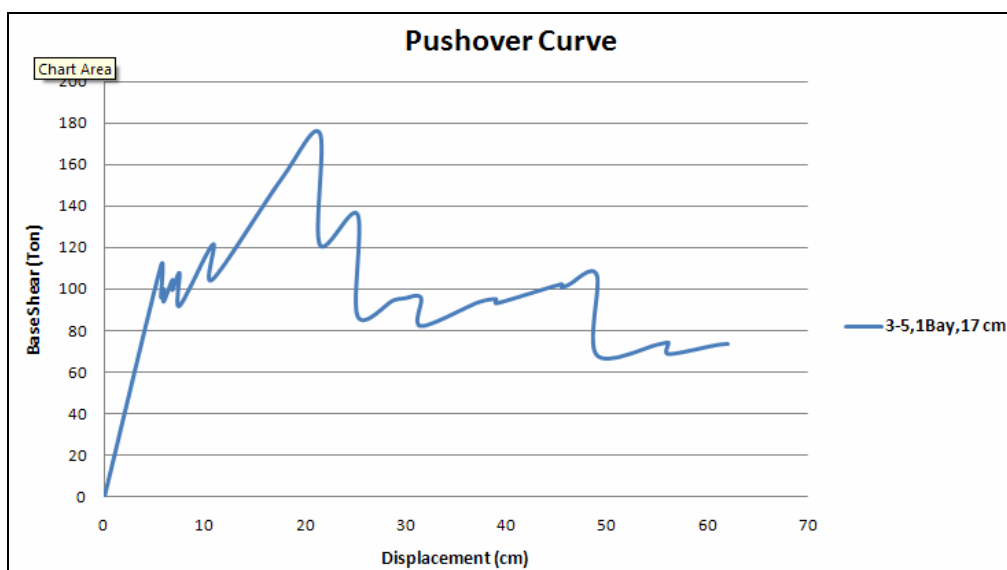


شکل ۱۹-۵ منحنی‌های پوش اور برای قاب ۵ طبقه در حالت وجود دیوار ۱۷ سانتی‌متری در تمام دهانه‌ها

در شکل ۲۰-۵ منحنی‌های پوش اور برای قاب ۵ طبقه در حالت وجود دیوار ۲۳ سانتی‌متری در تمام دهانه‌ها نشان داده شده است.

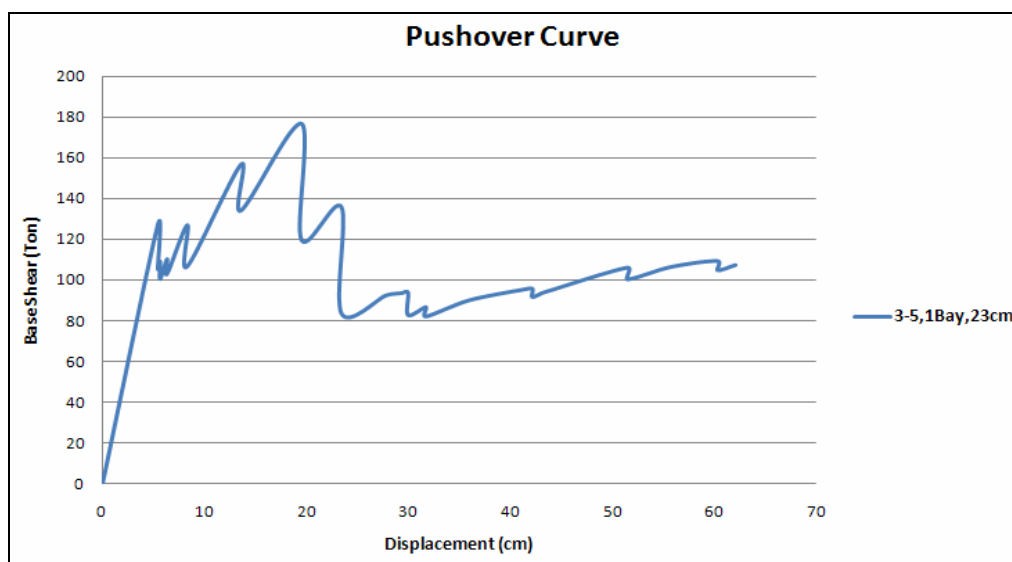


شکل ۲۰-۵ منحنی‌های پوش اور برای قاب ۵ طبقه در حالت وجود دیوار ۲۳ سانتی‌متری در تمام دهانه‌ها در شکل ۲۱-۵ منحنی‌های پوش اور برای قاب ۵ طبقه در حالت وجود دیوار ۱۷ سانتی‌متری در دهانه وسطی نشان داده شده است.

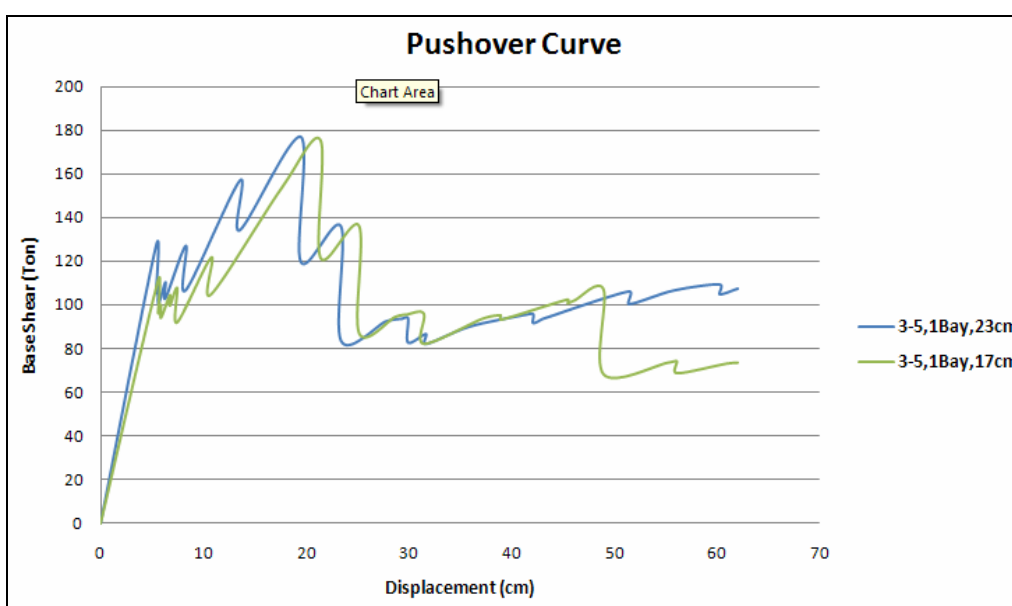


شکل ۲۱-۵ منحنی‌های پوش اور برای قاب ۵ طبقه در حالت وجود دیوار ۱۷ سانتی‌متری در دهانه وسطی

در شکل ۲۲-۵ منحنی های پوش اور برای قاب ۵ طبقه در حالت وجود دیوار ۲۳ سانتی متری در دهانه وسطی نشان داده شده است.

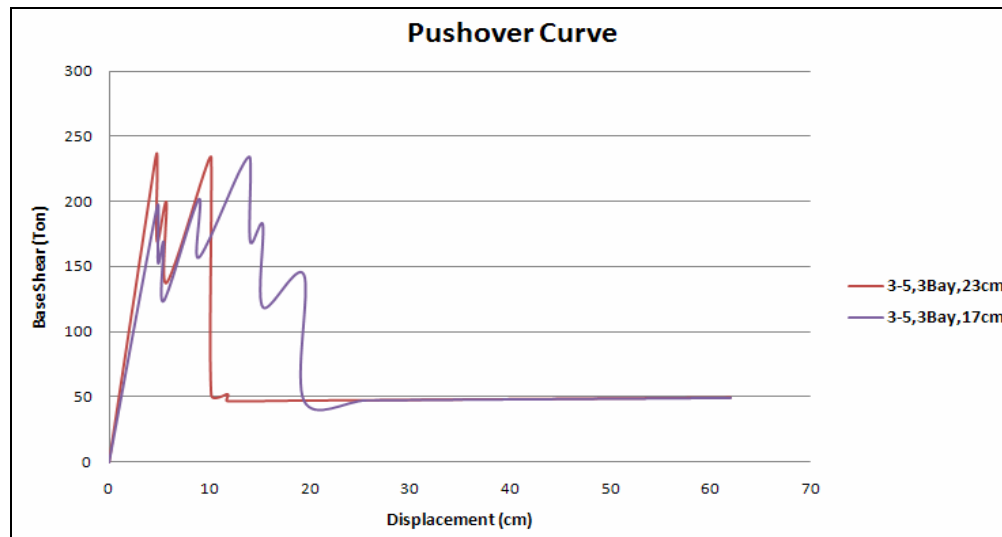


شکل ۲۲-۵ منحنی های پوش اور برای قاب ۵ طبقه در حالت وجود دیوار ۲۳ سانتی متری در دهانه وسطی در اشکال ۲۳-۵ و ۲۴-۵ منحنی های پوش اور برای قاب ۵ طبقه در حالت ۱ دهانه دیوار و ۳ دهانه دیوار برای مقایسه و مشاهده میزان تاثیر ضخامت دیوار در سختی و مقاومت نشان داده شده است.



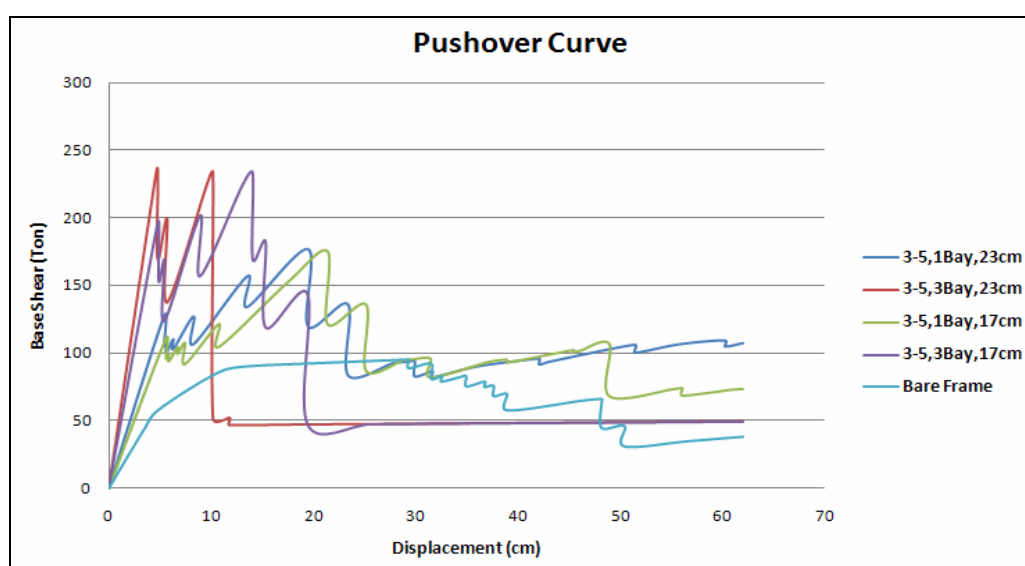
شکل ۲۳-۵ منحنی های پوش اور قاب های ۵ طبقه در حالت ۱ دهانه دیوار

همانطور که در شکل ۲۳-۵ مشاهده شد سختی نمودار آبی رنگ از نمودار سبز رنگ بیشتر است که این افزایش سختی به خاطر افزایش ضخامت دیوار از ۱۷ سانتی‌متر به ۲۳ سانتی‌متر می‌باشد.



شکل ۲۴-۵ منحنی‌های پوش اور قاب‌های ۵ طبقه در حالت ۳ دهانه دیوار

همانطور که در شکل ۲۴-۵ مشاهده شد سختی نمودار قرمز رنگ از نمودار بنفس رنگ بیشتر است که این افزایش سختی به خاطر افزایش ضخامت دیوار از ۱۷ سانتی‌متر به ۲۳ سانتی‌متر می‌باشد. در شکل ۲۵-۵ منحنی‌های پوش اور برای قاب ۵ طبقه در تمام حالات برای مقایسه و مشاهده میزان تاثیر ضخامت دیوار در سختی و مقاومت نشان داده شده است.



شکل ۲۵-۵ منحنی‌های پوش اور تمام قاب‌های ۵ طبقه

همانطور که مشاهده می‌شود تفاوت فاحشی بین حالت وجود دیوار در تمام دهانه‌ها و وجود دیوار در دهانه وسط مشاهده می‌شود که بیانگر تاثیر بسیار زیاد دیوار در سختی و مقاومت اولیه سازه می‌باشد. وجود دیوار در تمام دهانه‌ها باعث افزایش ۴۵ درصدی در مقاومت اولیه سازه می‌شود. همچنین سختی اولیه سازه حدوداً ۲ برابر می‌شود که نشان‌گر تاثیر بسیار زیاد دیوار آجری در رفتار سازه می‌باشد.

## فصل ۶

معرفی نرم افزار OpenSees و نحوه

مدل سازی در آن

با توجه به تشریح روند فرضیات انجام شده در مورد مدل‌ها و شرح نحوه طراحی آن‌ها و بدست آوردن مدل‌ها، در این قسمت ابتدا توضیحاتی در مورد نرم افزار انتخابی (OpenSees)، انواع المان‌های موجود در برنامه، مدل‌های رفتاری مصالح موجود و نحوه تحلیل آن‌ها توضیحاتی داده می‌شود. سپس در قسمت بعد المان‌ها و مدل‌های رفتاری مصالح مورد استفاده برای مدل‌سازی قاب‌های مورد نظر با این نرم افزار توضیحات مختصری داده می‌شود.

## ۶-۱- معرفی نرم‌افزار OpenSees

برنامه‌ای که در این پایان‌نامه از آن استفاده شده است، نرم‌افزار OpenSees می‌باشد. OpenSees یک نرم‌افزار المان محدود است که به وسیله Fenves, McKenna, Mazzoni تهیه شده و همچنان در حال تکمیل است. این نرم‌افزار مجموعه کاملی از المان‌ها و خصوصیات مواد و روش‌های مختلف آنالیز است.

این نرم‌افزار به طور تخصصی در حوزه سیستم‌های عملکردی خاک و سازه تحت زلزله طراحی شده است و با این هدف از سال‌های ۱۹۹۰ تاکنون تحت بررسی و توسعه است. این برنامه چنان‌چه از نامش پیداست از طریق اینترنت در دسترس همگان بوده و کد برنامه‌نویسی آن به صورت باز می‌باشد. این نکته مهم که از جمله مزایای نرم‌افزار مذکور است سبب شده که امکان اصلاح کمبودها، تکمیل آن از طریق کلیه افرادی که در دنیا از آن استفاده می‌کنند وجود داشته باشد. لذا عیوب آن شناسایی، تغییرات و اصلاحات با سرعت فوق العاده‌ای صورت می‌گیرد. نرم‌افزار مذکور در زمینه‌های مختلف مدل‌سازی و تحلیل سازه، دائمًا در حال پیشرفت است و به صورت باورنکردنی در سراسر دنیا مورد استفاده قرار می‌گیرد و در زمینه‌های مختلف بهره‌برداری می‌شود. مرکز PEER که کنسرسیومی از دانشگاه‌های غرب آمریکا است در زمینه مهندسی زلزله، ریسک و عملکرد مهندسی زلزله، .... در پروژه‌های متفاوتی از جمله، UC Science Building از نرم‌افزار OpenSees استفاده می‌کند. این

مرکز از برنامه مذکور پشتیبانی کرده، تیم اصلی گردآورندگان آن از اعضای این مرکز می‌باشند [۴۲].

این نرم افزار از قسمت‌های زیر تشکیل شده است:

۱- ساخت مدل (Model - Building)

۲- آنالیز (Analysis)

۳- ضبط کننده (Recorder)

#### ۶-۱-۱- ساخت مدل (Model-Building)

از این قسمت برای ایجاد فیزیک مدل استفاده می‌شود و شامل بخش‌های تعریف مدل، تعریف نقطه، تعریف جرم، تعریف مصالح تک محوره، تعریف مصالح چند محوره، تعریف مقطع، تعریف عضو، تعریف قطعه، تعریف حوزه، تعریف تبدیلات هندسی، سری‌های زمانی و تعریف الگوی بار می‌باشد. از موارد فوق به بیان قسمت‌های تعریف مصالح تک محوره، تعریف مقطع و تعریف عضو می‌پردازیم [۴۲].

#### ۶-۱-۱-۱- انواع مدل‌های مصالح تک محوره

از این بخش برای ایجاد مصالح تک محوره که نمایان‌گر روابط تنش – کرنش می‌باشد، استفاده می‌شود. انواع مصالح تک محوره موجود در این بخش عبارتند از:

۱- مصالح الاستیک (Elastic Material)

۲- مصالح (Elastic- Perfectly Plastic Material)

۳- مصالح (Elastic- Perfectly Plastic Gap Material)

۴- مصالح موازی (Parallel Material)

۵- مصالح سری (Series Material)

۶- مصالح سخت شونده (Hardening Material)

۷- مصالح فولادی (Steel01 Material)

۸- مصالح بتنی (Concrete01 Material)

۹- مصالح الاستیک بدون کشش (Elastic-No Tension Material)

۱۰- مصالح هیسترزیس (Hysteretic Material)

۱۱- مصالح ویسکوز (Viscous Material)

۱۲- مصالح (Barslip Material)

۱۳- مصالح (PINCHING4 Material)

۱۴- مصالح (Fedeas Material)

## ۶-۱-۱-۲- انواع مدل‌های مقاطع

از بخش‌های مهم در این قسمت نرم‌افزار بخش تعریف مقطع می‌باشد. در این بخش پاسخ

نیرو - تغییرشکل ایجاد شده در اعضاء صفحه‌ای و مقطع اعضای تیر-ستون تعریف می‌شود. انواع

مقاطع به شرح زیر می‌باشد:

۱- مقاطع الاستیک Elastic Section: با استفاده از ثابت‌های هندسی مقطع و مصالح تعریف

می‌شود.

۲- مقاطع برآیند Uniaxial Section: پاسخ نیرو - تغییرمکان را در حالت کلی بیان می‌کند،

مانند منحنی لنگر - انحنا.

۳- مقاطع الیافی Fiber Section: مقطع به نواحی کوچکی تقسیم می‌شود تا پاسخ یکپارچه شده‌ای از رفتار

تنش - کرنش مصالح را نمایش دهد.

## ۶-۱-۱-۳- انواع المان (اعضاء)

در تعریف اعضاء موارد زیر را می‌توان مورد استفاده قرار داد و بر حسب نوع عضو مورد نظر از

آن‌ها استفاده نمود.

۱- المان خرپائی (Truss Element)

۲- المان خرپائی (Corotational Truss Element)

۳- المان تیر- ستون الاستیک (Elastic Beam Column Element)

۴- المان تیر- ستون غیرخطی (NonLinear Beam - Column Elements)

۵- المان با طول صفر (Zero- Length Elements)

۶- المان چهارضلعی (Quadrilateral Elements)

۷- المان مکعب (Brick Elements)

۸- المان (FourNodeQuadUP Element)

۹- المان تیر ستون گرهی (Beam-Column Joint Element)

## ۲-۶- فرضیات مدلسازی در OpenSees

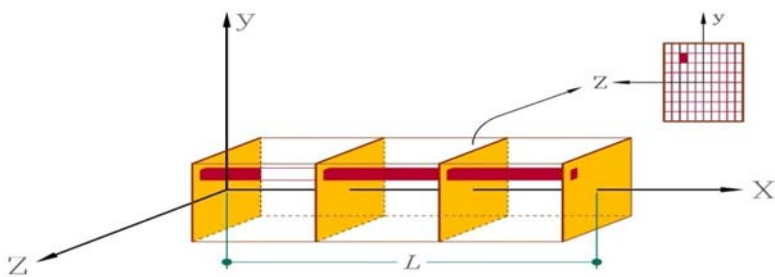
برای مدلسازی قابها در این نرمافزار برای انجام آنالیز غیرخطی فرضیات زیر در نظر گرفته شده است. پای ستون‌ها گیردار بوده و ستون‌ها بصورت سرتاسری مدل شده‌اند. کف طبقات با بستن درجه آزادی گره‌ها در راستای افقی بهم (Equal Dof) به صورت صلب در نظر گرفته شده است. جرم طبقات بصورت بار گسترده بر روی تیرها و جرم ستون‌ها به صورت گره‌ای در نقاط اتصال تیر و ستون تعریف شده است.

یکی از قابلیت‌های این نرمافزار در برگرفتن رفتارهای غیرخطی‌ناشی از تغییرات به وجود آمده در هندسه سازه و تغییر مشخصات مصالح می‌باشد. تحلیل تاریخچه زمانی برای تعیین پاسخ سازه‌ای که تحت بارهای وابسته به زمان قرار دارد، به وسیله انتگرال‌گیری عددی گام به گام از معادلات حرکت انجام می‌گیرد. برای این کارتاکنون روش‌های متعددی پیشنهاد شده است. از جمله این روش‌ها میتوان به روش شتاب متوسط، شتاب خطی، روش تتا - ویلسون، روش تفاضل مرکزی و روش نیومارک اشاره کرد. در این تحقیق جهت تحلیل مدل‌ها از آنالیزهای استاتیکی غیرخطی و مودال و تاریخچه زمانی غیرخطی استفاده شده است. برای انتگرال‌گیری گام به گام از روش نیومارک با

پارامترهای  $\gamma = 0.5$  و  $\beta = 0.25$  استفاده شده است. گام زمانی اولیه در نظر گرفته شده جهت تحلیل و بررسی مدل‌ها در اکثر موارد برابر گام زمانی زلزله متناظر در نظر گرفته شده و هنگامی که نرمافزار با مشکل عدم همگرایی مواجه شد به وسیله حلقه نوشته شده در مدل‌ها به صورت خودکار گام‌های زمانی را کوچک و کوچک‌تر می‌کند تا جایی که بتواند جواب‌ها را در آن محدوده زمانی از آنالیز همگرا کند. جهت اعمال میرایی نیز از میرایی رایلی توضیح داده شده در بخش ۶-۲-۶-استفاده شده است.

#### ۶-۱-۲- تعریف المان‌های سازه‌ای

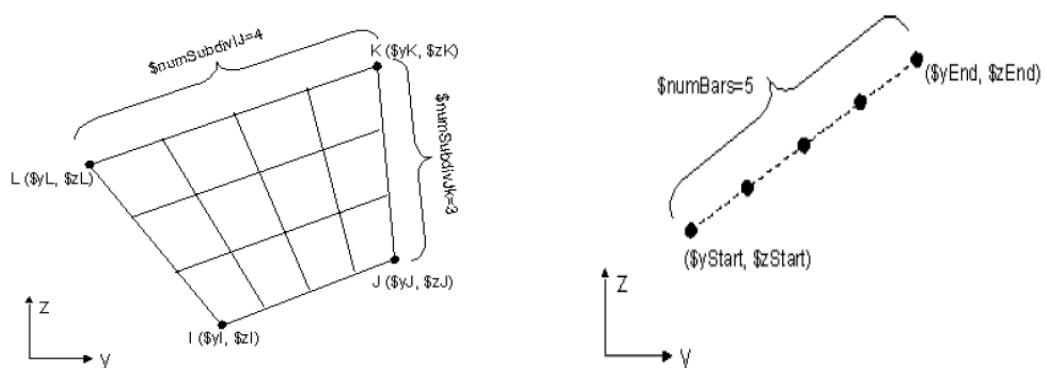
جهت مدل‌سازی اضای بتنی مسلح از المان‌های تیر-ستون غیرخطی(Nonlinear Beam Column) با مقاطع فایبر(Fiber Section) در نرمافزار OpenSees استفاده شده است. در این حالت اعضا همان‌گونه که در شکل ۱-۶ نشان داده شده است به رشتلهای طولی تقسیم می‌شوند. روابط محوری تنش-کرنش برای هر تار مشخص شده و روابط نیرو-تغییرشکل کلی هر مقطع با انتگرال‌گیری از تنش-کرنش تارهای آن مقطع بدست می‌آید. در المان مذکور فرض شده که تغییرشکل‌ها کوچکند و مقاطع دچار اعوجاج نشده و بصورت صفحه باقی می‌مانند [۴۲].



شکل ۱-۶ عضو با مقاطع فایبر

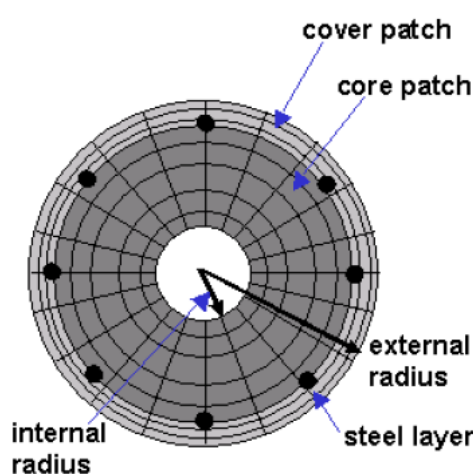
با استفاده از مقطع فایبر و تخصیص آن به المان تیرستون غیرخطی، خاصیت پلاستیسیته گستردگی در کل طول المان (هم در طول و هم در عمق) در نظر گرفته می‌شود. مقطع فایبر دارای

پیکربندی هندسی کلی می باشد که از بخش های منظم تر و شکل های هندسی ساده تر به اسم پچ (Patch) تشکیل شده است. علاوه بر این، لایه های میلگرد را نیز می توان در مقطع های فایبر مدل کرد. برای ساخت پچ ها و لایه های میلگردی به ترتیب از دو دستور "Patch" و "Layer" استفاده می شود. به جز این دو دستور، دستور دیگری با نام "Fiber" وجود دارد که با استفاده از آن می توان فایبرهای تکی با مشخصات مصالح دلخواه در مختصات دلخواه (مشخصات محلی سطح مقطع) قرار داد. با ترکیب این سه دستور می توان هر نوع مقطعی با هر شکل و هر خواص مصالحی را با دقت مطلوب مدل نمود. نمونه هایی از نحوه استفاده از این سه دستور در شکل ۲-۶ و شکل ۳-۶ و شکل ۴-۶ آورده شده اند.



شکل ۳-۶ استفاده از دستور Patch برای ساخت مقطع فایبر

شکل ۲-۶ استفاده از دستور Layer برای ساخت مقطع فایبر



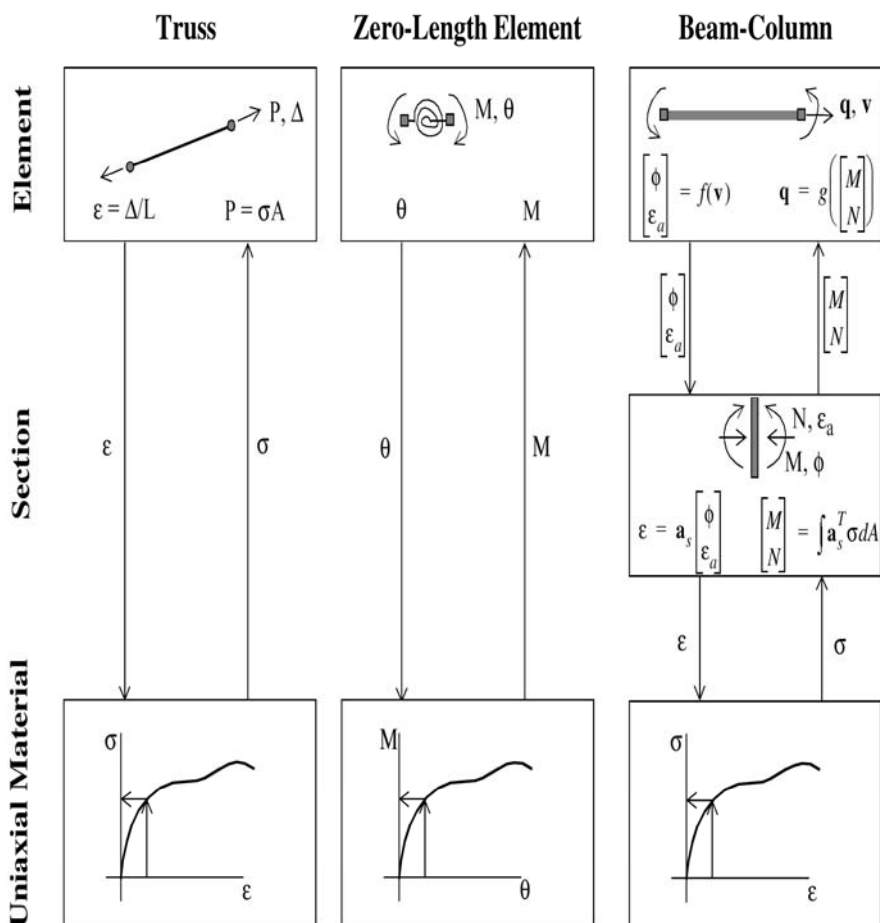
شکل ۴-۶ نمونه یک مقطع فایبر ساخته شده با دستورات Layer و Patch

تعداد ۷ نقطه انتگرال‌گیری در المان در نظر گرفته شده است. نحوه تخصیص نقاط انتگرال‌گیری در OpenSees بر پایه قاعده Gauss-Lobatto یعنی دو نقطه اجباری انتگرال‌گیری در ابتدا و انتهای عضو می‌باشد. لازم به ذکر است که تعداد حداقل نقاط انتگرال‌گیری که برای هر المان در این نرمافزار می‌توان در نظر گرفت، ۱۰ نقطه می‌باشد که با افزایش تعداد نقاط انتگرال‌گیری دقت محاسبات افزایش و متعاقب آن زمان تحلیل طولانی‌تر می‌شود.

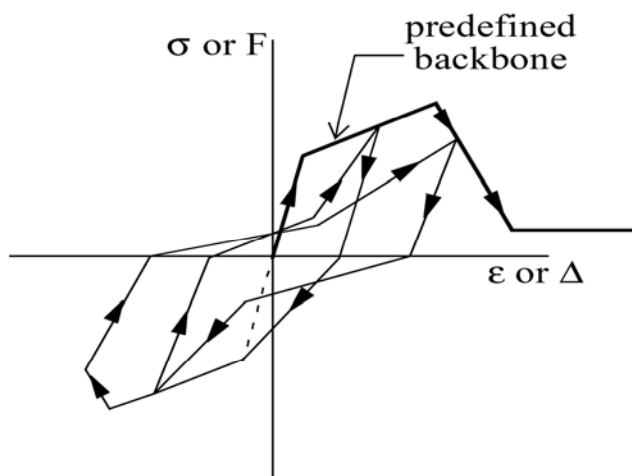
## ۶-۲-۲- مدل‌های مصالح تک محوره مورد استفاده در OpenSees

مدل‌های مصالح تک محوره در OpenSees یک رابطه ترکیبی را نشان می‌دهد. با توجه به کاربرد، مصالح می‌تواند به صورت روابط تنش - کرنش، نیرو - تغییرمکان، ممان - انحنای ممان - زاویه چرخشی تعریف شود. ارتباط بین المان‌ها و مصالح در شکل ۵-۶ شرح داده شده است. المان‌های تک بعدی، مانند فنرها و خرپاها، فقط یک مصالح تک محوره به آن‌ها اختصاص داده می‌شود. برای فنر با طول صفر مصالح تک محوره روابط نیرو - تغییرمکان (یا ممان - زاویه چرخشی) مستقیماً تعریف می‌شود. المان‌های چند بعدی مانند المان‌های تیر - ستون چندین مصالح تک محوره به آن‌ها اختصاص می‌یابد. برای المان‌های تیر - ستون چندین مصالح تک محوره به آن‌ها اختصاص می‌یابد. برای المان‌های تیر - ستون مصالح تک محوره باهم یک گره را تشکیل می‌دهند تا مقاطع را شکل دهند. مقاطع می‌توانند بسته به نقاط انتگرال‌گیری در طول المان یا در انتهایش قرار گیرند. مصالح تکمحوره برای تعریف روابط تنش - کرنش فایبرها (رشته‌ها) استفاده می‌شود و تحلیل‌های مقطع استاندارد (با فرض اینکه مقطع مسطح، مسطح باقی بماند) همانطورکه در شکل ۵-۶ نشان داده شده است، برای تعیین خروجی‌های نیرویی مقطع انجام شود. توجه شود که مصالح تکمحوره که رابطه تنش برشی\_کرنش برشی را تعریف می‌کند می‌تواند به هر مقطعی اضافه شوند. مصالح تکمحوره که در این بخش شرح داده شده‌اند بر مبنای مصالح تکمحوره هیسترتیک موجود در OpenSees است. مصالح هیسترتیک، پوش سه نقطه‌ای از قبل تعریف شده و ۵ پارامتر دارد تا رفتار

هیسترتیک شامل پینچینگ و تنزل سختی تعریف شود. همانطور که در شکل ۶-۶ نشان داده شده است، پوش می‌تواند شامل تنزل مقاومت باشد.



شکل ۶-۶ روابط بین مصالح و المان‌ها در OpenSees



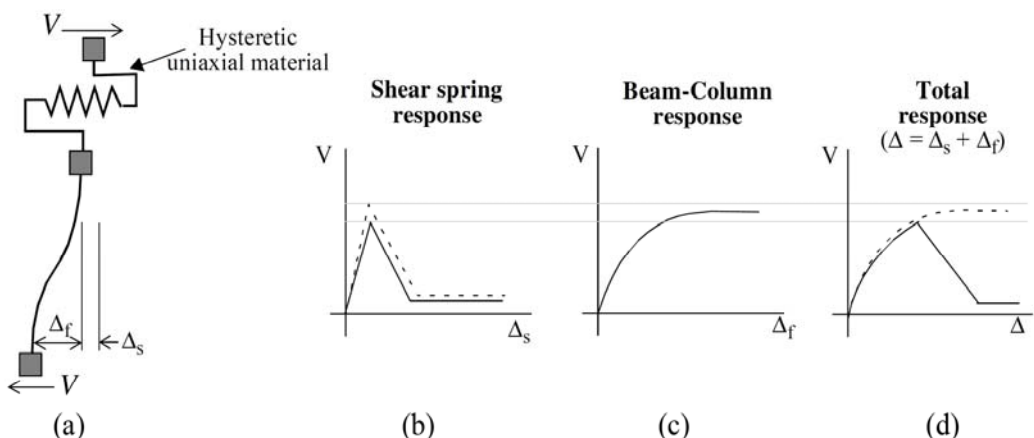
شکل ۶-۶ مصالح تک محوره هیسترتیک

### ۳-۲-۶ مدل کردن ستون:

مثالی از به کار بردن فنر برشی در مجموعه‌ای با المان تیر-ستون، همانطور که در شکل ۶-۶ نشان داده شده است، برای مدل کردن تنزل مقاومت برشی ستون‌های بحرانی در برش را در نظر بگیرید. فنر برشی المان با طول صفر جداگانه است. مدل مصالح تکمحوره هیسترتیک، با تنزل مقاومت می‌تواند برای تعریف روابط ترکیبی فنر برشی استفاده شود. هر نوع المان تیر - ستون برای مدل کردن تغییرشکل‌های خمی می‌تواند استفاده شود. در ادامه بحث، فرض می‌شود که تغییرشکل‌های خمی توسط المان تیر - ستون مدل شده شامل هر دو تغییرشکل ناشی از انحنای ستون و لغزش آرماتورهای لنگرگاه باشد. در این مدل، تمام تغییرشکل‌های خمی در المان تیر - ستون متمرکز می‌شود و تغییرشکل‌های برشی توسط فنر برشی مدل می‌شود. اگر مقاومت برشی کمتر از مقاومت تسلیم خمی ستون باشد آنگاه مدل رفتار نزولی را به خود می‌گیرد، همانطور که با خط توپر برای پاسخ کلی ستون در شکل ۷-۶ (d) نشان داده شده است. اگر مقاومت برشی به گونه‌ای تخمین زده شده باشد که بالاتر از مقاومت تسلیم خمی ستون باشد، آنگاه با توجه به سخت‌شدگی کرنشی محدود شده در رفتار خمی، مدل تنزل برش را به خود نمی‌گیرد، همانطور که توسط نقطه چین در شکل ۷-۶ (d) نشان داده شده است. مطالعات گوناگونی نشان داده که مقاومت برشی با افزایش تغییرشکل پلاستیک، کاهش می‌یابد. (Watanabe and Ichinose, 1991, Aschheim and Moehle, 1992, Pristly et al 1994)

از این‌رو، پاسخ کلی نقطه چین در شکل ۷-۶ (d) برای ستون‌هایی که در خمی نزدیک به مقاومت برشی‌شان تسلیم می‌شود، منطقی نیست. نقطه گسیختگی برشی باید با در نظر گرفتن هردو پارامتر نیرو و تغییرشکل تعیین شود. مدل شکل ۷-۶(a) نقطه گسیختگی برشی را برمبنای برش ستون نشان می‌دهد. رفتار مدل کلی با استفاده از مصالح محوری برای فنر برشی بسط داده می‌شود، که فقط بعد از گسیختگی برشی تنزل می‌یابد. تنزل گسیختگی برشی باید برمبنای برش ستون و تغییرشکل کلی ستون باشد. محاسبه تغییرشکل کلی نیازمند با هم عمل کردن فنر برشی و المان

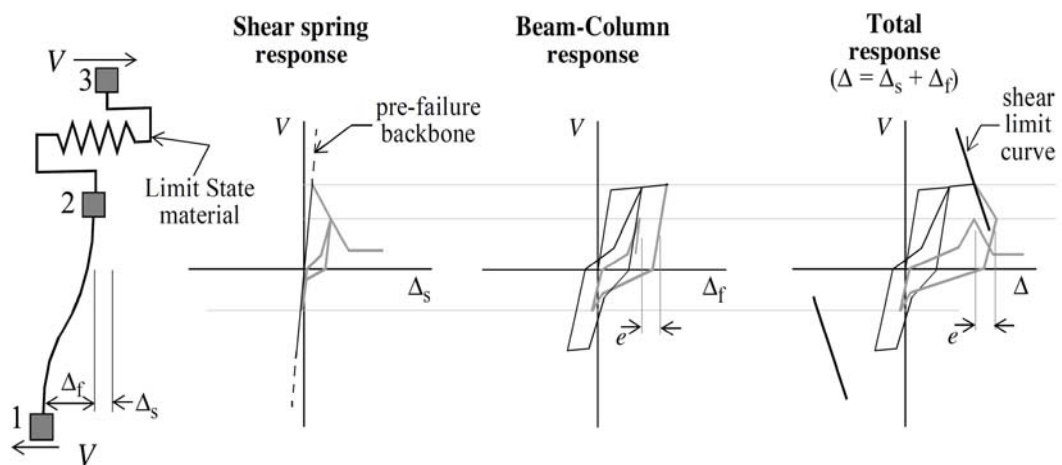
تیر - ستون است. این هدف با استفاده از مصالح تک محوره جدید به دست می‌آید که رفتار المان تیر - ستون را دنبال می‌کند و پوش خود را هنگامی که پاسخ المان از سطح حالت حدی پیش فرض تجاوز کند تغییر می‌دهد تا تنزل مقاومت را نشان دهد.



شکل ۷-۶ فنر برشی در مدل مصالح هیستریتیک

#### ۶-۲-۴- سیستم فنر برشی:

در اینجا مدل مصالح حالت حدی برای تعریف روابط نیرو - تغییرشکل فنر برشی استفاده می‌شود. مصالح تک محوره، پاسخ المان تیر-ستون را که به فنر برشی متصل است کنترل می‌کند. مانند شکل ۸-۶، منحنی حدی بر مبنای برش ستون،  $V$ ، و جابجایی،  $\Delta$ ، یا دریافت طبقه‌ای تعریف می‌شود.



شکل ۸-۶ فنر برشی در مدل استفاده شده برای مصالح حالت حدی

اگر ستون در برابر گسیختگی برشی بعد از تسلیم خمشی آسیب‌پذیر باشد، آنگاه مدل ظرفیت دریفت عملی، از بخش مربوطه برای تعریف منحنی حدی استفاده می‌شود. پوش قبل از گسیختگی مربوط به مصالح حالت حدی با شبیه برابر با سختی برشی ستون ترک نخورده به صورت خطی تعریف می‌شود. قابل توجه است که با تعریف حالت حدی بر مبنای جابجایی کلی، تغییرشکل برشی بخشی از جابجایی‌هایی است که توسط مصالح تکمحوره مشاهده و چک می‌شود و گسیختگی برشی بر مبنای جمع تغییرشکل‌های برشی و خمشی است.

مطالعات تجربی نشان می‌دهد که گسیختگی محوری تمایل به رخداد دارند هنگامی که مقاومت برشی تا مقدار صفر تنزل می‌یابد. از اینرو،  $k_{\text{deg}}^t$  با استفاده از دریفت محاسبه شده در گسیختگی محوری می‌تواند تخمین زده شود. هنگامی که گسیختگی برشی رخ می‌دهد، بر مبنای تقاطع پاسخ کلی و منحنی حالت برشی، شبیه نزولی پاسخ کلی عبارت است از:

$$k_{\text{deg}}^t = \frac{V_u}{\Delta_a - \Delta_s} \quad (1-6)$$

$V_u$ : ظرفیت برشی نهایی ستون

$$k_{\text{deg}} = \left( \frac{1}{k_{\text{deg}}^t} - \frac{1}{k_{\text{unload}}} \right)^{-1} \quad (2-6)$$

$k_{\text{unload}}$  باید به عنوان پارامتر ورودی در مصالح محوری حالت حدی وارد شود.

## ۶-۵-۲- سیستم فنر محوری:

مصالح تک محوره حالت حدی همچنین می‌تواند برای مدل کردن گسیختگی محوری استفاده شود که منحنی حدی آن توسط مدل اصطکاک - برش تعریف می‌شود. چون مدل اصطکاک - برش فرض می‌کند که گسیختگی برشی رخ می‌دهد، گسیختگی محوری باید با استفاده از اتصال با یکی از مدل‌های گسیختگی برشی، مدل شود. مدل شکل ۱۰-۶ فرض می‌کند که گسیختگی برشی توسط

فرن برشی رخ می‌دهد. منحنی حدی برشی باید با استفاده از دریفت یا چرخش ستون (که با فرن برشی به مقاطع ستون پیوند می‌خورد) تعریف می‌شود.

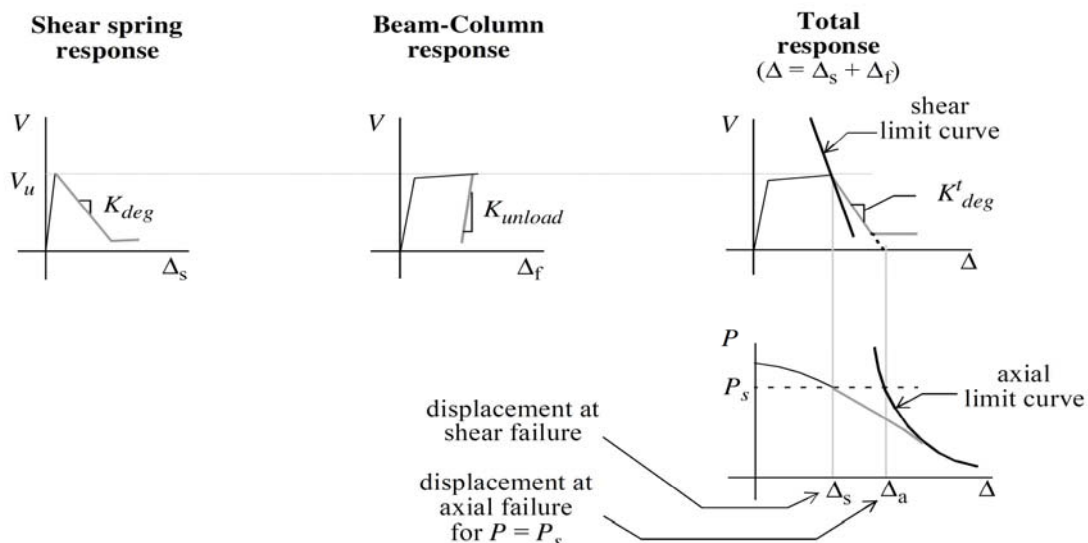
**گسیختگی محوری منحنی حدی روی نمودار بار محوری  $P$  در برابر دریفت جانبی کلی تعریف شده است، و فقط نیاز به مؤلفه مقاومت تسلیح عرضی**

$$\left( \frac{A_{st} f_{yt} d_c}{s} \right)$$

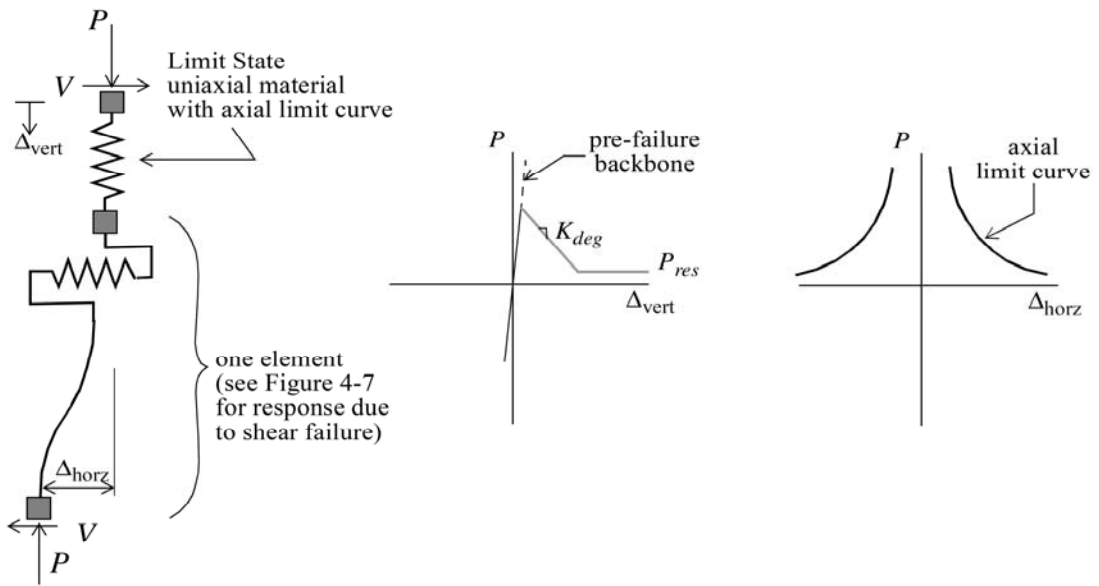
برای تعریف شکل خود دارد.

اگر المان تیر - ستون شامل انعطاف‌پذیری محوری باشد، پوش قبل از گسیختگی فرن محوری باید با شبیب تند تعریف شود تا مطمئن باشیم که فرن انعطاف‌پذیری محوری اضافی را به مدل، اضافه نمی‌کند. به عبارت دیگر، المان تیر-ستون فرض می‌شود که به لحاظ محوری صلب باشد، سپس شبیب پوش قبل از گسیختگی فرن محوری برابر با سختی اولیه محوری ستون باشد. پس از گسیختگی محوری، پوش برای در نظر گرفتن شبیب نزولی ( $k_{deg}$ ) و مقاومت پسماند ( $P_{res}$ ) دوباره تعریف می‌شود. چون مدل برش-اصطکاک فقط برای گسیختگی فشاری بسط داده شده، پوش فقط برای بارهای محوری فشاری دوباره تعریف می‌شود.

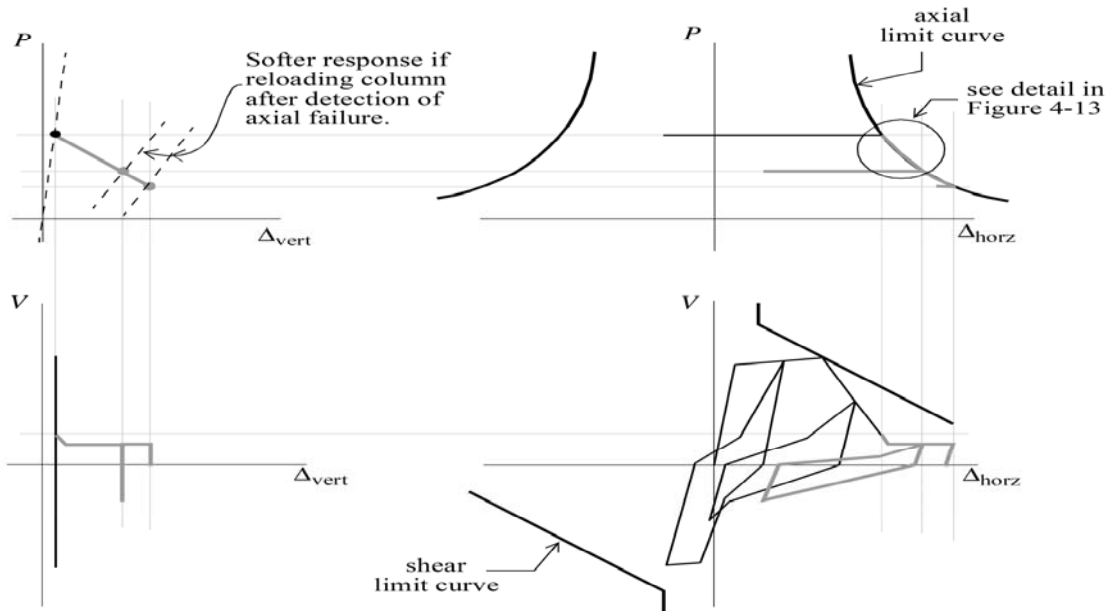
روند تشکیل مفصل برشی به صورت شماتیک در شکل‌های ۹-۶ تا ۱۵-۶ نشان داده شده است.



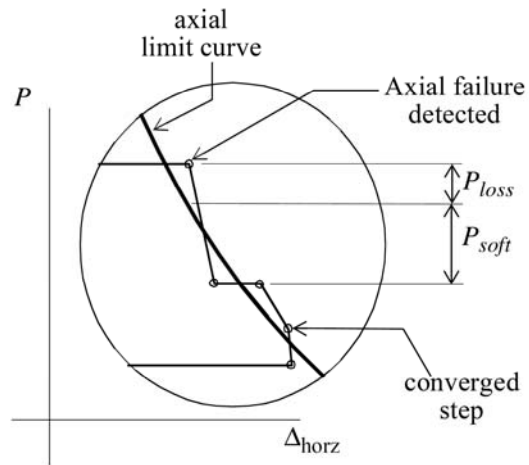
شکل ۹-۶ تعریف شبیب نزولی،  $K_{deg}$



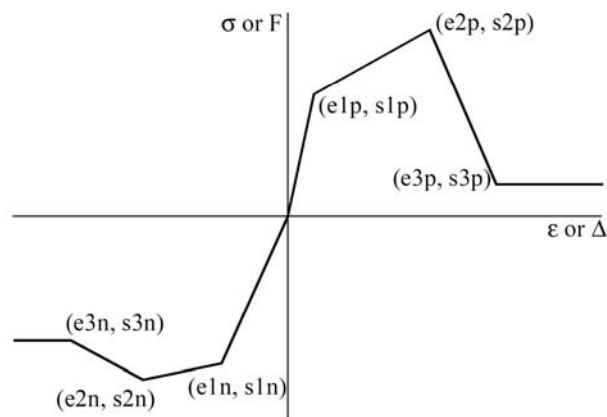
شکل ۱۰-۶ فنر محوری در مدل



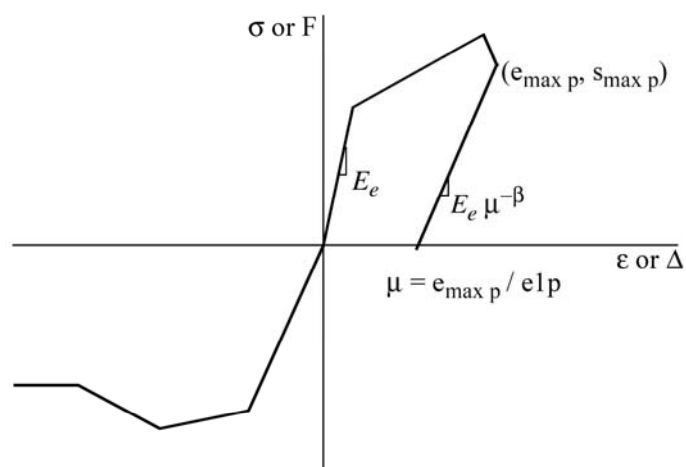
شکل ۱۱-۶ فنر ترکیبی برشی - محوری بعد از گسیختگی محوری مدل نشان داده شده در شکل ۱۰-۶



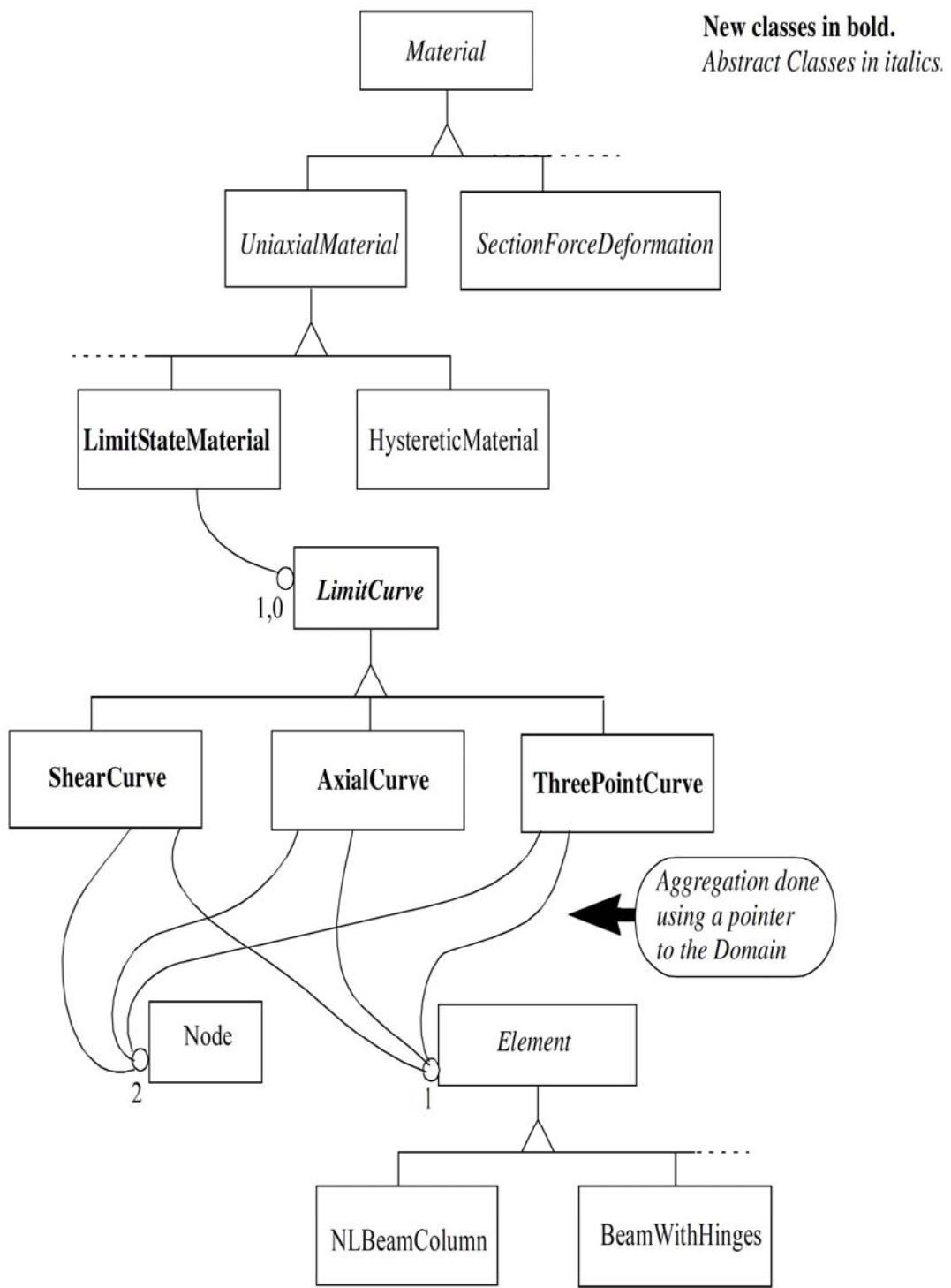
شکل ۱۲-۶ جزئیات افت بار محوری شکل ۱۱-۶



شکل ۱۳-۶ تعریف پارامترهای backbone مربوط به مصالح هیسترتیک



شکل ۱۴-۶ تعریف پارامترهای باربرداری در مصالح هیسترتیک

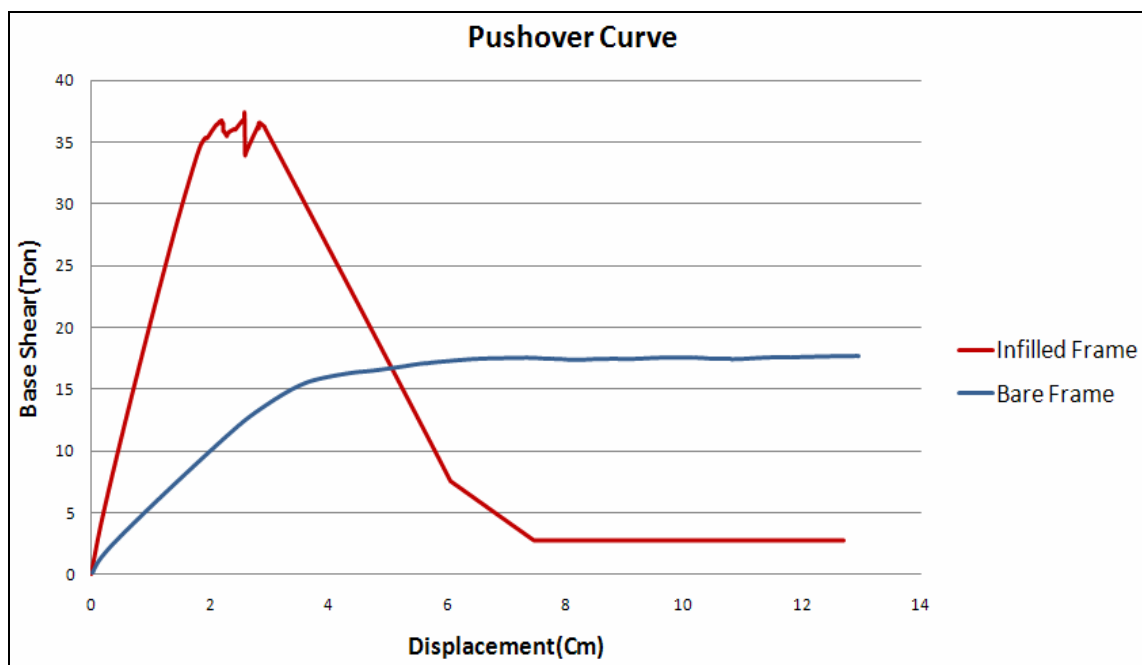


شکل ۱۵-۶ روند تعریف مراحل انجام کار در OpenSees

### ۶-۳-۳- مدل‌های مورد بررسی در نرم‌افزار OpenSees

#### ۶-۳-۱- قاب ۱ دهانه ۱ طبقه

در شکل ۱۶-۶ نمودار پوش اور برای قاب ۱ دهانه ۱ طبقه در حالت وجود دیوار و عدم آن رسم شده است.

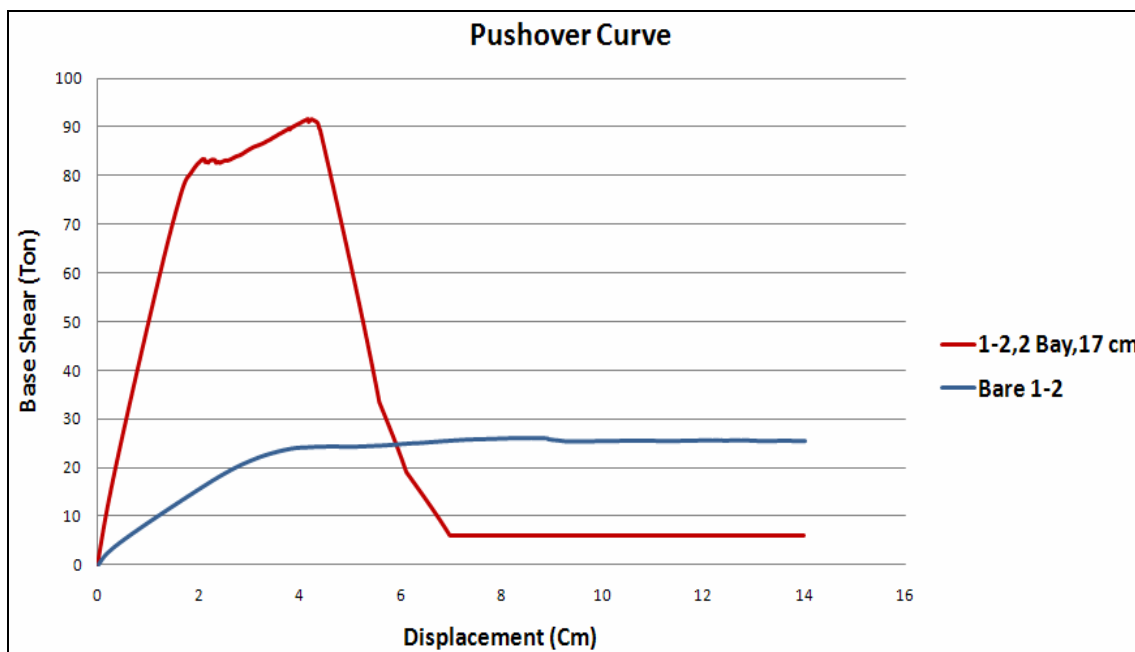


شکل ۱۶-۶ منحنی‌های پوش اور برای قاب ۱ طبقه

همان‌طور که در شکل ۱۶-۶ دیده می‌شود ابتدا منحنی قاب خالی رسم شد و بعد منحنی پوش اور مربوط به قاب همراه با دیوار رسم شده است و دیده می‌شود که در ابتدا دیوار سختی سازه را زیاد می‌کند ولی به علت بوجود آمدن نیروهای برشی متمرکز در بالا و پایین ستون‌ها در یک جا بجایی کم ستون‌ها دچار شکست برشی شده و افت مقاومت رخ می‌دهد.

### ۶-۳-۲- قاب ۲ دهانه ۱ طبقه

در شکل ۱۷-۶ نمودار پوش اور برای قاب ۲ دهانه ۱ طبقه در حالت وجود دیوار و عدم آن رسم شده است.

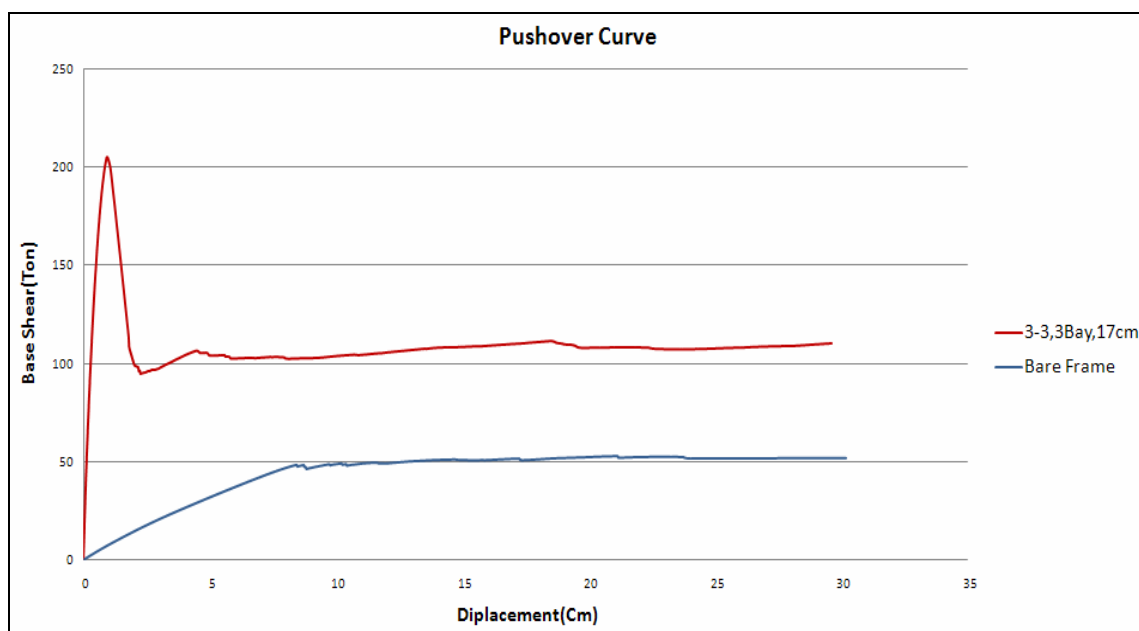


شکل ۱۷-۶ منحنی های پوش اور برای قاب ۱ طبقه ۲ دهانه

همان طور که در شکل ۱۷-۶ دیده می شود ابتدا منحنی قاب خالی رسم شد و بعد منحنی پوش اور مربوط به قاب همراه با دیوار رسم شده است و دیده می شود که در ابتدا دیوار سختی سازه را زیاد می کند ولی به علت بوجود آمدن نیروهای برشی متمرکز در بالا و پایین ستون ها در یک جا بجا یی کم ستون ها دچار شکست برشی شده و افت مقاومت رخ می دهد.

### ۶-۳-۳- قاب ۳ دهانه ۳ طبقه

در شکل ۱۸-۶ نمودار پوش اور برای قاب ۳ دهانه ۳ طبقه در حالت وجود دیوار و عدم آن رسم شده است.



شکل ۱۸-۶ منحنی های پوش اور برای قاب ۳ طبقه ۳ دهانه

همان طور که در شکل ۱۸-۶ دیده می شود ابتدا منحنی قاب خالی رسم شد و بعد منحنی پوش اور مربوط به قاب همراه با دیوار رسم شده است و دیده می شود که دیوار سختی سازه را بسیار افزایش می دهد ولی به علت بوجود آمدن نیروهای برشی متمرکز در بالا و پایین ستون ها در یک جا بجا گیری کم ستون ها دچار شکست برشی شده و افت مقاومت رخ می دهد. نکته قابل ذکر این است که دیوارهای طبقه اول نیز دچار شکست شده که این اتفاق در مدل های دیگر رخ نداده است.

## ۴-۶- جمع‌بندی و نتیجه‌گیری

در این تحقیق سازه‌های بتنی ۳ و ۵ و ۹ طبقه با سیستم قاب خمشی متوسط ابتدا با آیین‌نامه‌های ۲۸۰۰ برای بار جانبی و ۵۱۹ (مبحث ششم) برای بار ثقلی طراحی شده‌اند. این سازه‌ها همگی دارای پلان مشابه ۳ دهانه‌ای با طول دهانه ۵/۵ متر می‌باشند. الگوهای مختلف قرارگیری دیوار پرکننده آجری در طبقات بالای طبقه اول در حالت‌های دیوار ۱۷ سانتی‌متری و دیوار ۲۳ سانتی‌متری در حالت‌های وجود دیوار در ۱ دهانه وسط یا در هر ۳ دهانه می‌باشند.

هدف اصلی این تحقیق بررسی الزامات تعیین ضریب رفتار سازه‌های بتنی با دیوار پرکننده آجری می‌باشد که این الزامات عبارتند از:

- تأثیر دیوار پرکننده آجری بر پریود سازه‌های بتنی

- تأثیر دیوار پرکننده آجری بر مقاومت و سختی اولیه سازه

- چگونگی پخش نیرو در حالات خطی و غیرخطی بین دیوار پرکننده آجری و قاب بتنی

- تأثیر دیوار پرکننده آجری بر جابجایی جانبی سازه

- بررسی اندرکنش بین دیوار پرکننده آجری و ستون قاب بتنی

در ابتدا برای تعیین این الزامات تأثیر دیوار پرکننده آجری بر پریود سازه‌های بتنی را مورد بررسی قرار دادیم که نتایج حاصله بیان‌گر این است که دیوار تأثیر به سزاوی در پریود سازه‌ها خواهد داشت، اما نکته قابل توجه اینجاست که آیین‌نامه ۲۸۰۰ ضریب کاهشی پریود به دلیل وجود دیوار را کم در نظر می‌گیرد. همچنین اثر وجود دیوارها را روی پریود اصلی سازه بررسی کردیم و نشان دادیم که اگر به اشتباه در ابتدای طراحی سازه اثر آن نادیده گرفته شود تا چه حد می‌تواند در محاسبه‌ی بار جانبی زلزله به روش استاتیکی معادل تغییر ایجاد کند.

دیوارهای آجری را با دستک‌های معادل فشاری جایگزین کرده و پارامترهای مربوط به این

دستک را با استفاده از مصالح موجود در کشور و روابط آییننامه‌های استرالیا و نیوزلند استخراج کردیم.

سپس اثر دیوار در مقاومت و سختی اولیه سازه را بررسی کردیم که نتایج بیان‌گر تاثیر بسیار زیاد دیوار در سختی و مقاومت اولیه سازه می‌باشد.

سپس به بررسی چگونگی پخش نیرو در حالات خطی و غیرخطی بین دیوار پرکننده آجری و قاب بتنی پرداختیم که طراحی قاب بتنی برای ۶۰٪ تا ۷۰٪ نیروی جانبی و طراحی دیوار پرکننده آجری برای ۶۲٪ نیروی جانبی پیشنهاد شد.

همچنین مشاهده شد که دیوار پرکننده آجری باعث بوجود آمدن نیروهای برشی مرکز در بالا و پایین ستون‌ها می‌شود که در صورت وجود خاموت برشی کم در این نواحی شکست برشی ستون رخ خواهد داد. برای استفاده از اثرات مثبت دیوار در سازه‌ها می‌بایست راهکارهایی برای اثرات منفی دیوار در سازه که عبارتند از:

- طبقه نرم

- پیچش

- ستون کوتاه بتنی

- اندرکنش قاب و دیوار

در طراحی در نظر گرفته شود، که این اثرات منفی توسط افراد زیر بررسی و راهکارهایی ارائه شده است.

- طبقه نرم(آقای مجتبی حسینی، ضریب افزایش مقاومت برای طراحی ستون‌های طبقه اول)

- پیچش(آقای امیر آزاد، چیدمان مناسب و متقارن دیوار در سازه)

- ستون کوتاه بتنی(خانم افسان موسوی، در نظر گرفتن پدیده ستون کوتاه در طراحی و بهسازی لرزه‌ای سازه‌های بتنی)

- اندرکنش قاب و دیوار

و برای اندرکنش بین قاب و دیوار پیشنهار می‌شود که در نقاط ویژه خاموت برشی ویژه لحاظ شود.

تمامی نتایج و کارهای انجام شده در شکل ۱۹-۶ آورده شده است.



## مراجع

- [۱] تابش‌پور، محمد رضا، ۱۳۸۸، دستنامه ۱۸ مهندسی زلزله، «دیوار پرکننده آجری در قاب‌های سازه‌ای»، انتشارات فدک ایساتیس
- [۲] تابش‌پور، محمد رضا، ۱۳۸۸، دستنامه ۱۹؛ «بهسازی لرزه‌ای قاب‌های سازه‌ای دارای دیوار پرکننده آجری»، انتشارات فدک ایساتیس، تهران، ۱۳۸۸
- [۳] تابش‌پور، محمد رضا، ۱۳۸۸، دستنامه ۲۰ مهندسی زلزله، «الزامات دیوار پرکننده آجری در آینین نامه ۲۸۰۰»، انتشارات فدک ایساتیس.
- [۴] تابش‌پور، محمد رضا، آزاد، امیر، موسوی، افسانه، کریمی، کمیل؛ «پیشرفت‌هایی در دیوار پرکننده سازه‌ای»، انتشارات فدک ایساتیس. زیر چاپ
- [۵] تابش‌پور، محمد رضا؛ "اثر دیوار پرکننده آجری بر رفتار لرزه‌ای سازه‌ها"، دومین همایش مقررات ملی ساختمان (شیراز ۱۵ و ۱۶ اسفند ۸۸)
- [۶] تابش‌پور، م. ر، قناد، م. ع، بخشی، ع، و گل‌افشانی، ع. ا، "اثر دیوار آجری بر رفتار لرزه‌ای قاب‌های بتی"؛ اولین کنگره ملی مهندسی عمران، دانشگاه صنعتی شریف، اردیبهشت ۱۳۸۳
- [۷] تابش‌پور، محمد رضا؛ "ضرورت تکمیل و اصلاح آینین نامه‌های موجود در خصوص دیوار پرکننده آجری دومین همایش مقررات ملی ساختمان (شیراز ۱۵ و ۱۶ اسفند ۸۸)
- [۸] تابش‌پور، م. ر، آزاد، ا.، و گل‌افشانی، ع. ا، "تحلیل استاتیکی غیرخطی ساختمان فولادی با چیدمان نامنظم دیوار پرکننده"؛ سومین همایش ملی مقاوم‌سازی و مدیریت شهری، اردیبهشت ۱۳۸۹
- [۹] تابش‌پور، م. ر، آزاد، ا، گل‌افشانی، ع، ا، "بهسازی لرزه‌ای ساختمان فولادی دارای چیدمان نامنظم دیوار پرکننده در پلان با میراگر اصطکاکی"؛ اولین کنفرانس ملی سازه و فولاد و دومین کنفرانس کاربرد فولادهای پر استحکام در صنعت سازه، ۶ و ۷ اردیبهشت ۱۳۹۰
- [۱۰] تابش‌پور، محمد رضا؛ "لزوم بازنویسی قسمت مربوط به ستون کوتاه در استاندارد ۲۸۰۰ و مبحث ششم دومین همایش مقررات ملی ساختمان (شیراز ۱۵ و ۱۶ اسفند ۸۸)
- [۱۱] تابش‌پور، م. ر، موسوی، ا، س، "بررسی ستون کوتاه بتی ناشی از دیوار پرکننده با استفاده از تحلیل استاتیکی غیرخطی"؛ ششمین کنگره ملی مهندسی عمران، ۶ و ۷ اردیبهشت ۱۳۹۰

- [12] Mallick D.V. and Severn R.T., (1967), "The Behaviour of Infilled Frames under Static Loading", The Institution of Civil Engineers, Proceedings, 39, 639-656.
- [13] Goodman, R.E.; Taylor, R.L.; Brekke, T.L., 1968. A model for the mechanics of jointed rock. J. Soil Mech. Found. Div., ASCE, 94(3), pp. 637-659.
- [14] Mallick, D. V., and Garg, R. P., 1971. Effect of openings on the lateral stiffness of infilled frames, Proceedings of the Institution of Civil Engineers 49, 193–209.
- [15] kosit E.G. et all, 1974. Non-linear dynamic analysis of frames with filler panels. Am. Soc.Civ.Engrs, J.struct. Div., 100, 743-757.
- [16] King G.J.W. and Pandey P.C. (1978). The analysis of infilled frames using finite elements. Proc. Instn Civ. Engrs, Part 2, 65, 749-760.
- [17] Liauw, T. C., and Kwan, K. H., 1984. Nonlinear behavior of non-integral infilled frames, Comput. Struct. 18, 551–560.
- [18] Liauw T.C. and Kawn K.H. (1984), "New Development in Research of Infilled

- Frames", Proc. 8th World Conf. on Earthq. Engng., San Francisko, 4, 623-630.
- [19] Liauw, T. C., 1972. An approximate method of analysis for infilled frames with or without opening, Build. Sci. 7, 233–238.
- [20] Liauw T.C. and Kwan K.H. (1985a). "Static and Cyclic Behaviors of Multistory Infilled Frames with Different Interface Conditions." Journal of Sounds and Vibrations, Volume 99, No. 2: 275-283.
- [21] Liauw T.C. and Kwan K.H. (1985b). "Unified Plastic Analysis for Infilled Frames." Journal of Structural Engineering, ASCE, Volume 111, No. 7: 1427-1448.
- [22] Rivero C.E. and Walker W.H. (1984), "An Analytical Study of The Interaction of Frames and Infill Masonry Walls", Proc. 8th World Conf. on Earthq. Engng., San Francisko, 4, 591-598.
- [23] Shing, P. B. et al. (1992). "Finite element analysis of shear resistance of masonry wall panels with and without confining frames" Proc. 10 th World Conf. on Earthq. Engng, Madrid, 2581-2586
- [24] Shing, P. B., and Mehrabi, A. B. (2002). "Behaviour and analysis of masonry-infilled frames." Progress in Structural Engineering and Materials, 4(3), 320-331.
- [25] Mehrabi, A. B., and Shing, P. B. (1997). "Finite Element Modeling of Masonry-Infilled RC Frames."Journal of Structural Engineering, 123(5), 604-613.
- [26] Mehrabi, A. B., Shing, P. B., Schuller, M. P., and Noland, J. L., 1994. Performance of Masonry-Infilled R/C Frames under In-Plane Lateral Loads, Report CU/SR-94/6. UC Colorado, CO
- [27] Mehrabi, A. B., and Shing, P. B., 2003. Seismic analysis of masonry infilled reinforced concrete frames, Masonry Soc. J. 21, 81–94
- [28] Klinger R.E. and Bertero V.V. (1976). Infilled frames in earthquake resistant construction. Earthquake Engineering Research Center, University of California, Berkeley, CA, Rep. EERC 76-32, Dec.
- [29] Klinger R.E. and Bertero V.V. (1969). Infilled Frames in Earthquake Resistant Construction, Earthquake Engineering Research Center, University of California, Berkeley, CA, Rep. UCB/EERC-76/32.
- [30] Klingner R.E., Rubiano N.R., Bashandy T.R. and Sweeney S.C. (1996). "Evaluation and Analytical Verification of Shaking Table Data from Infilled Frames". Part 2: Out-of-Plane Behavior." Proceedings of the 7th North American Masonry Conference, Notre Dame.
- [31] Polyakov, S. V., 1956. Masonry in Framed Buildings (An investigation into the strength and stiffness of masonry infilling). Gosudarstvennoe izdatel'stvo Literatury po stroitel'stvu i arkhitektur'e, Moscow. (English translation by G. L. Cairns, National Lending Library for Science and Technology, Boston, Yorkshire, England, 1963)
- [32] Holmes, M., 1961. Steel frames with brickwork and concrete infilling, Proceedings of the Institution of Civil Engineers 19, 473–478 (eISSN 1753-7789).
- [33] Holmes M. (1963). "Combined Loading on Infilled Frames." Proceeding Of The Institution Of Civil Engineers, Volume 25: 31-38.
- [34] Stafford Smith B. (1968), "Model Test Results of Vertical and Horizontal Loading of Infilled Frames", ACI J., 65(4), 618-624.
- [35] Stafford-Smith B.S. (1962). "Lateral Stiffness of Infilled Frames." Journal of Structural Division, ASCE, Volume 88, No. ST1: 183-199.
- [36] Stafford-Smith B.S. (1966). "Behavior of Square Infilled Frames." Journal of

Structural Division, ASCE, Volume 92, No. ST1: 381-403.

- [37] Stafford-Smith B.S. (1968). "Model Test Results of Vertical and Horizontal Loading of Infilled Frames." ACI Journal, Volume 65, No. 8: 618-625.
- [38] Mainstone, R. J., 1971. On the stiffness and strengths of infilled frames, Proceedings, Institution of Civil Engineers, Supplement IV, 57-90.
- [39] Kadir M.R.A. (1974). The structural behavior of masonry infill panels framed structures. University of Edinburgh, PhD thesis.
- [40] Chrysostomou, C.Z. (1991). "Effect of Degrading Infill Walls on the Nonlinear Seismic Response of Two-Dimensional Steel Frames." PhD dissertation, Cornell University, Ithaca, N.Y.

[41] آیین‌نامه طراحی ساختمان‌ها در برابر زلزله استاندارد ۲۸۰۰ ویرایش ۳، مرکز تحقیقات ساختمان و مسکن، ۱۳۸۴

- [42] PEER. Open system for earthquake engineering simulation (OpenSees). Version 2.2.1. Berkeley: Pacific Earthquake Eng. Research Center, Univ. of California; 2005. <http://opensees.berkeley.edu/>.

- [43] CSI (2001). "SAP2000 Non-linear Version 11.0.7 : Structural Analysis Program", Computers and structures ,Inc., Berkeley, California, U.S.A.

- [44] Structural Response Modification Factors , ATC-19. National Science Foundation Grant NO.ECE-8600721 and National Center For Earthquake Engineering Research NCEER Project NO.92-4601.

- [45] Chia-Ming Uang , Associate Member , ASCE . Establishing R (or Rw) and Cd Factors For Building Seismic Provisions.

- [46] Paulay T, Priestley MJN. Seismic design of reinforced concrete and masonry buildings . John Wiley and Sons , Inc, 1992.

- [47] Newmark , N.M.and Hall, W.J.1982,Earthquake Spectra and Design, EERI Monograph Series , EERI , Oakland.

- [48] Krawinkler, H.and Nassar ,A.A.1992,"Seismic design based on ductility and cumulative damage demands and capacities,"Nonlinear Seismic Analysis and Design of Reinforced Concrete Buildings, Fagfar , Krawinkler , Edd , Elsevier, Applied Science , New York.

[49] تابش‌پور، محمد رضا؛ «تفسیر مفهومی کاربردی آیین‌نامه طراحی ساختمان‌ها در برابر زلزله، ویرایش سوم آیین-نامه ۲۸۰۰ (جلد اول: فصل اول آیین‌نامه)»، انتشارات گنج هنر، تهران، ۱۳۸۶.

- [50] Allowable stress design (ASD) manual of steel construction . (1989).Amer. Inst. of steel constr., Chicago,Ill.

- [51] Uniform Building Code (UBC). (1988) .Int. conf.of Bldg. Officials, Whittier, Calif. Whittaker, A.S.,Uang,C.-M.,and Bertero. "Experimental behavior of a dual steel system."

- [52] NEHRP recommende provisions for the development of seismic regulations for new buildings . (1989) .Building Seismic Safety Council , Washington , D.C.

[53] غزنوی زاده ، حامد «بررسی ضریب رفتار ساختمان‌های بتنی مسلح در تحلیل لرزه‌ای» پایان نامه کارشناسی ارشد سازه ، ۱۳۸۶

[54] ابراهیمیان، محسن « تعیین ضریب رفتار سازه‌های فولادی مت Shank از بادیند همگرا و واگرا و بررسی ضریب رفتار سیستم پیشنهادی بادیندی» پایان نامه کارشناسی ارشد سازه ، ۱۳۸۹

- [55] Moehle, J. P., Elwood, K. J., and Sezen, H., 2002, Gravity Load Collapse of Building Frames during Earthquakes, S.M. Uzumeri Symposium: Behavior and Design of Concrete Structures for Seismic Performance, ACI SP-197, American Concrete Institute, Farmington
- [56] Sezen, H., 2002, Seismic Response and Modeling of Reinforced Concrete Building Columns, Ph.D. Dissertation, Department of Civil and Environmental Engineering, University of California, Berkeley.
- [57] Kim, J.H., and Mander, J.B., 1999, Truss Modeling of Reinforced Concrete Shear-Flexure Behavior, MCEER-99-0005, Multidisciplinary Center for Earthquake Engineering Research, Buffalo, N.Y.
- [58] Holmes, W.T., 2000, "Risk Assessment and Retrofit of Existing Buildings", Proceedings of the 12th World Conference on Earthquake Engineering, New Zealand Society for Earthquake Engineering, Upper Hutt, New Zealand, Paper No. 2826.
- [59] Kabeyasawa, T., Tasai, A., and Igarashi, S., 2002, An Economical and Efficient Method of Strengthening Reinforced Concrete Columns Against Axial Load Collapse during Major Earthquake, Third US-Japan Workshop on Performance-Based Earthquake Engineering Methodology for Reinforced Concrete Building Structures, Seattle, WA, PEER report 2002/02. Berkeley, Calif.: Pacific Earthquake Engineering Research Center, University of California, pp. 399-412.
- [60] Kato, D., and Ohnishi, K., 2002, Axial Load Carrying Capacity of R/C Columns under Lateral Load Reversals, Third US-Japan Workshop on Performance-Based Earthquake Engineering Methodology for Reinforced Concrete Building Structures, Seattle, WA, PEER 0.85fc%&Ag – Asl' + fylAsl 23 report 2002/02. Berkeley, Calif.: Pacific Earthquake Engineering Research Center, University of California, pp. 247-255.
- [61] Nakamura, T., and Yoshimura, M., 2002, Gravity Load Collapse of Reinforced Concrete Columns with Brittle Failure Modes, Journal of Asian Architecture and Building Engineering, Vol. 1, No. 1, pp. 21-27.
- [62] Tasai, A., 1999, Residual Axial Capacity and Restorability of Reinforced Concrete Columns Damaged due to Earthquake, US-Japan Workshop on Performance-Based Earthquake Engineering Methodology for Reinforced Concrete Building Structures, Maui, Hawaii, PEER report 1999/10. Berkeley, Calif.: Pacific Earthquake Engineering Research Center, University of California, pp. 191-202.
- [63] Tasai, A., 2000, Residual Axial Capacity of Reinforced Concrete Columns during Shear Deterioration, Second US-Japan Workshop on Performance-Based Earthquake Engineering Methodology for Reinforced Concrete Building Structures, Sapporo, Japan, PEER report 2000/10. Berkeley, Calif.: Pacific Earthquake Engineering Research Center, University of California, pp. 257-267.
- [64] Yoshimura, M., and Yamanaka, N., 2000, Ultimate Limit State of RC Columns, Second USJapan Workshop on Performance-Based Earthquake Engineering Methodology for Reinforced Concrete Building Structures, Sapporo, Japan, PEER report 2000/10. Berkeley, Calif.: Pacific Earthquake Engineering Research Center, University of California, pp. 313- 326.
- [65] Lynn, A.C., 2001, Seismic Evaluation of Existing Reinforced Concrete Building Columns, Ph.D. Dissertation, Department of Civil and Environmental Engineering, University of California, Berkeley.
- [66] Pantazopoulou, S.J., 1998, Detailing for Reinforcement Stability in RC Members, Journal of Structural Engineering, Vol. 124, No. 6, pp. 623-632.

- [67] Mattock, A.H., and Hawkins, N., 1972, Shear Transfer in Reinforced Concrete – Recent Research, Journal of Prestressed Concrete Institute, Vol. 17, No. 2, pp. 55-75.
- [68] Mattock, A.H., 1988, Reader Comments of “Influence of Concrete Strength and Load History on the Shear Friction Capacity of Concrete Members” by J. Walraven, J. Frenay, and A. Pruijssers (PCI Journal, Vol 32, No. 1, 1987), PCI Journal, Vol. 33, No. 1, pp. 165-166.
- [69] Mau, S.T., and Hsu, T.T.C., 1988, Reader Comments of “Influence of Concrete Strength and Load History on the Shear Friction Capacity of Concrete Members” by J. Walraven, J. Frenay, and A. Pruijssers (PCI Journal, Vol 32, No. 1, 1987), PCI Journal, Vol. 33, No. 1, pp. 166-168.
- [70] Krawinkler, H., Medina, R., and Alavi, B., 2003, Seismic Drift and Ductility Demands and their dependence on Ground Motions, Engineering Structures, Vol. 25, No. 5, pp. 637-653.
- [71] Pujol, S., 2002, Drift Capacity of Reinforced Concrete Columns Subjected to Displacement Reversals, Ph.D. Thesis, School of Civil Engineering, Purdue University.
- [72] Deric J.Oehlers Mark A.Bradford"Elementary Behaviour of Composite Steel and Concrete Strutural Members"
- [73] H.Krawinkler, "Pushover analysis, why, how, when and when not to useit",structural engineering Association of California,1994
- [74] H.Krawinkler, "Static Pushover Analysis", SEAONE,1994,fall seminar on thedeveloping art of seismic engineering,1994
- [75] Applied Technology Cuncil (ATC) octobr 1997,Washington.D.C,NEHRP Guidelines for the seisemic rehabilitation of building,FEMA274
- [76] K.C TSIA, J.W.LAI, "Research and application of double-core buckling restrained braces in Taiwan",13th WCEE,Vancouver,2004
- [77] Applied technology council (ATC), 1996, seismic evaluation and retrofit concrete building.

## **Abstract**

For the past couple of decades, numerous engineers and researchers has been working on the effects of masonry infilled walls in concrete frames. Also the effects of infill walls on the behavior of structures has always been an important issue for structural engineers. Since the quality of materials and their strength and stiffness are related to the quality of materials and their availability, most countries have set specific rules in their codes for effects of masonry infill walls. Also, our country, IRAN, has done the same thing and for the past few years, we have seen some of these changes in Iranian seismic code. In article 1-5-6, for example, the effect of masonry infill walls in building behavior is noted. According to this article if

non-structural elements prevent the lateral movements of the structure, we must consider the interaction between these elements and structural elements in analysis. In Iran, due to lack of adequate knowledge about behavior of masonry infill walls engineers are not interested in modeling the masonry infill walls and as result they ignore the positive and negative effects of masonry infill walls on the behavior of structures.

The objective of this study is to determine the requirement parameters of the R factor of infilled frames. Some of these requirement are as follows:

- Surveying the interaction between masonry infill walls and concrete columns
- The effect of masonry infill walls on the period of concrete structures.
- The effect of masonry infill walls on strength and initial stiffness of structures

- Distribution of forces in elastic and plastic modes between masonry infill walls and concrete frames.
- The effect of masonry infill walls on lateral displacement (drift)

In this study by using a nonlinear static analysis (pushover) interaction between concrete frame and masonry infill walls and also effects of masonry infill walls on the period of concrete structures and lateral drift has been determined.

**Key Word:** Interaction between masonry infill walls and concrete columns, Masonry infill walls, Period of structure, Lateral displacement.



**Shahrood University of Technology  
Faculty of Civil Engineering**

## **Requirement parameters to determine R factor of infilled frames**

**Komeil Karimi**

Supervisor:  
**Dr. Vahid Reza Kalatjari**  
**Dr. Mohammad Reza Tabeshpour**

Advisor:  
**Eng. Mohammadi**

July 2011